



**CITTA' DI SCAFATI**  
\*Croce al Valor Militare e  
Medaglia d'oro alla Resistenza\*

# CITTA' DI SCAFATI

(Provincia di Salerno)

Lavori di Adeguamento Sismico della Scuola Elementare e Materna Ferdinando II di  
Borbone di Via Genova – CUP: G83H19000720001

## CORPO C

**PNRR: Missione 5-Componente 2 Investimento/Subinvestimento 2.1 "Rigenerazione Urbana"**

### STAZIONE APPALTANTE

Comune di Scafati (SA) – Via P. Melchiade - 84018

Settore VI – LL.PP. e Manutenzione

Descrizione

**PROGETTO DEFINITIVO-ESECUTIVO**  
Relazione sulle fondazioni stato di progetto – Corpo  
ricostruito

Codice

C\_RT\_11

Scala

-



II R.U.P.

Arch. Mirko Sasso

Scafati, 2 maggio 2023

II RTP

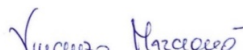
Ing. Massimo Viglianisi  
Ing. Vincenzo Marcianò  
Ing. Girolamo Siciliano

Ing. Massimo  
Viglianisi

Dott. Ing. Massimo VIGLIANISI  
Iscrizione all'Albo n° A 3245  
alla Sezione degli Ingegneri (Sez. A)  
- Settore civile e ambientale  
ORDINE DEGLI INGEGNERI  
DELLA PROVINCIA DI REGGIO CALABRIA

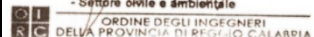


Ing. Vincenzo  
Marcianò



Ing. Girolamo  
Siciliano

Dott. Ing. Girolamo SICILIANO  
Iscrizione all'Albo n° A 3656  
alla Sezione degli Ingegneri (Sez. A)  
- Settore civile e ambientale  
ORDINE DEGLI INGEGNERI  
DELLA PROVINCIA DI REGGIO CALABRIA



# RELAZIONE SULLE FONDAZIONI

## NORMATIVE DI RIFERIMENTO

In quanto di seguito riportato viene fatto esplicito riferimento alle seguenti Normative:

- **LEGGE n° 64 del 02/02/1974.** "Provvedimenti per le costruzioni, con particolari prescrizioni per le zone sismiche.";
- **D.M. LL.PP. del 11/03/1988.** "Norme tecniche riguardanti le indagini sui terreni e sulle rocce, la stabilità dei pendii naturali e delle scarpate, i criteri generali e le prescrizioni per la progettazione, l'esecuzione e il collaudo delle opere di sostegno delle terre e delle opere di fondazione.";
- **D.M. LL.PP. del 16/01/1996.** "Norme tecniche per le costruzioni in zone sismiche.";
- **Circolare Ministeriale LL.PP. n° 65/AA.GG. del 10/04/1997.** "Istruzioni per l'applicazione delle "Norme Tecniche per le costruzioni in zone sismiche" di cui al D.M. 16/01/1996.";
- **Eurocodice 1 - Parte 1** - "Basi di calcolo ed azioni sulle strutture - Basi di calcolo -.";
- **Eurocodice 7 - Parte 1** - "Progettazione geotecnica - Regole generali -.";
- **Eurocodice 8 - Parte 5** - "Indicazioni progettuali per la resistenza sismica delle strutture - Fondazioni, strutture di contenimento ed aspetti geotecnici -.";
- **D.M. 17/01/2018 - NUOVE NORME TECNICHE PER LE COSTRUZIONI**
- **Circolare n. 7 del 21/01/2019**

## INDAGINI IN SITO E CARATTERIZZAZIONE GEOTECNICA DEI TERRENI DI FONDAZIONE

La finalità della presente relazione è quella di definire il comportamento meccanico del volume di terreno (volume significativo) influenzato direttamente o indirettamente dalla costruzione di un manufatto e che a sua volta influenza il comportamento strutturale del manufatto stesso. Di seguito si illustrano i risultati delle indagini geologiche eseguite, nonché l'interpretazione dei risultati ottenuti. Dal quadro generale in tal modo scaturito si definiscono le caratteristiche della fondazione da adottare ed il modello da utilizzare per le elaborazioni relative alla interazione sovrastruttura-fondazione e fondazione-terreno.

## CARICO LIMITE DI FONDAZIONI SUPERFICIALI SU TERRENI

Per la determinazione del carico limite del complesso terreno-fondazione (inteso come valore asintotico del diagramma carico-cedimento) si fa riferimento a due principali meccanismi di rottura: il "meccanismo generale" e quello di "punzonamento". Il primo è caratterizzato dalla formazione di una superficie di scorrimento: il terreno sottostante la fondazione rifluisce lateralmente e verso l'alto, conseguentemente il terreno circostante la fondazione è interessato da un meccanismo di sollevamento ed emersione della superficie di scorrimento. Il secondo meccanismo è caratterizzato dall'assenza di una superficie di scorrimento ben definita: il terreno sotto la fondazione si comprime ed in corrispondenza della superficie del terreno circostante la fondazione si osserva un abbassamento generalizzato. Quest'ultimo meccanismo non consente una precisa individuazione del carico limite in quanto la curva cedimenti-carico applicato non raggiunge mai un valore asintotico ma cresce indefinitamente. Vesic ha studiato il fenomeno della rottura per punzonamento assimilando il terreno ad un mezzo elasto-plastico e la rottura per carico limite all'espansione di una cavità cilindrica. In questo caso il fenomeno risulta retto da un indice di rigidezza " $I_r$ " così definito:

$$I_r = \frac{G}{c' + \sigma' \cdot \operatorname{tg}(\varphi)}$$

Per la determinazione del modulo di rigidezza a taglio si utilizzeranno le seguenti relazioni:

$$G = \frac{E}{2 \cdot (1 + \nu)}; \quad E = E_{ed} \frac{1 - \nu - 2 \cdot \nu^2}{1 - \nu}; \quad \nu = \frac{k_0}{1 + k_0}; \quad k_0 = 1 - \operatorname{sen}(\varphi).$$

L'indice di rigidezza viene confrontato con l'indice di rigidezza critico " $I_{r,crit}$ ":

$$I_{r,crit} = \frac{e^{\left[ \left( 3.3 - 0.45 \frac{B}{L} \right) \cdot ctg \left( 45^\circ - \frac{\varphi}{2} \right) \right]}}{2}$$

La rottura per punzonamento del terreno di fondazione avviene quando l'indice di rigidezza è minore di quello critico. Tale teoria comporta l'introduzione di coefficienti correttivi all'interno della formula trinomia del carico limite detti "coefficienti di punzonamento" i quali sono funzione dell'indice di rigidezza, dell'angolo d'attrito e della geometria dell'elemento di fondazione. La loro espressione è la seguente:

- se  $I_r < I_{r,crit}$  si ha :

$$\Psi_\gamma = \Psi_q = e^{\left[ \left( 0.6 \frac{B}{L} - 4.4 \right) \cdot tg(\varphi) + \frac{3.07 \cdot \sin(\varphi) \log_{10}(2I_r)}{1 + \sin(\varphi)} \right]} \quad \text{se } \varphi = 0 \Rightarrow \Psi_\gamma = \Psi_q = 1$$

$$\Psi_c = \Psi_q - \frac{1 - \Psi_q}{N_c \cdot tg(\varphi)} \quad \text{se } \varphi = 0 \Rightarrow \Psi_c = 0.32 + 0.12 \cdot \frac{B}{L} + 0.6 \cdot \log_{10}(I_r)$$

- se  $I_r > I_{r,crit}$  si ha che  $\psi_\gamma = \psi_q = \psi_c = 1$ .

Il significato dei simboli adottati nelle equazioni sopra riportate è il seguente:

- $E_{ed}$  modulo edometrico del terreno sottostante la fondazione
- $\nu$  coefficiente di Poisson del terreno sottostante la fondazione
- $k_0$  coefficiente di spinta a riposo del terreno sottostante la fondazione
- $\varphi$  angolo d'attrito efficace del terreno sottostante il piano di posa
- $c'$  coesione (espressa in termini di tensioni efficaci)
- $\sigma'$  tensione litostatica effettiva a profondità  $D+B/2$
- $L$  luce delle singole travi di fondazione
- $D$  profondità del piano di posa della fondazione a partire dal piano campagna
- $B$  larghezza della trave di fondazione

Definito il meccanismo di rottura, il calcolo del carico limite viene eseguito modellando il terreno come un mezzo rigido perfettamente plastico con la seguente espressione:

$$q_{ult} = \gamma_1 \cdot D \cdot N_q \cdot s_q \cdot d_q \cdot i_q \cdot \Psi_q + c \cdot N_c \cdot s_c \cdot d_c \cdot i_c \cdot \Psi_c + \gamma_2 \cdot \frac{B}{2} \cdot N_\gamma \cdot s_\gamma \cdot d_\gamma \cdot i_\gamma \cdot \Psi_\gamma \cdot r_\gamma$$

Il significato dei termini presenti nella relazione trinomia sopra riportata è il seguente:

- $N_q, N_c, N_\gamma$ , fattori adimensionali di portanza funzione dell'angolo d'attrito interno  $\varphi$  del terreno
- $s_q, s_c, s_\gamma$ , coefficienti che rappresentano il fattore di forma
- $d_q, d_c, d_\gamma$ , coefficienti che rappresentano il fattore dell'approfondimento
- $i_q, i_c, i_\gamma$ , coefficienti che rappresentano il fattore di inclinazione del carico
- $\gamma_1$  peso per unità di volume del terreno sovrastante il piano di posa
- $\gamma_2$  peso per unità di volume del terreno sottostante il piano di posa

Per fondazioni aventi larghezza modesta si dimostra che il terzo termine non aumenta indefinitamente e per valori elevati di "B", sia secondo Vesic che secondo de Beer, il valore limite è prossimo a quello di una fondazione profonda. Bowles per fondazioni di larghezza maggiore di 2.00 metri propone il seguente fattore riduttivo:

$$r_\gamma = 1 - 0.25 \cdot \log_{10} \left( \frac{B}{2} \right) \quad \text{dove "B" va espresso in metri.}$$

Questa relazione risulta particolarmente utile per fondazioni larghe con rapporto D/B basso (platee e simili), caso nel quale il terzo termine dell'equazione trinomia è predominante.

Nel caso di carico eccentrico Meyerhof consiglia di ridurre le dimensioni della superficie di contatto ( $A_f$ ) tra fondazione e terreno (B, L) in tutte le formule del calcolo del carico limite. Tale riduzione è espressa dalle seguenti relazioni:

$$B_{rid} = B - 2 \cdot e_B \quad L_{rid} = L - 2 \cdot e_L \quad \text{dove } e_B, e_L \text{ sono le eccentricità relative alle dimensioni in esame.}$$

L'equazione trinomia del carico limite può essere risolta secondo varie formulazioni, di seguito si riportano quelle che sono state implementate:

### Formulazione di Hansen (1970)

$$N_q = \operatorname{tg}^2\left(\frac{90^\circ + \varphi}{2}\right) \cdot e^{\pi \cdot \operatorname{tg}(\varphi)} \quad N_\gamma = 1.5 \cdot (N_q - 1) \cdot \operatorname{tg}(\varphi) \quad N_c = (N_q - 1) \cdot \operatorname{ctg}(\varphi)$$

- se  $\varphi \neq 0$  si ha:

$$s_q = 1 + \frac{B}{L} \cdot \operatorname{tg}(\varphi) \quad s_\gamma = 1 - 0.4 \cdot \frac{B}{L} \quad s_c = 1 + \frac{N_q \cdot B}{N_c \cdot L}$$
$$d_q = 1 + 2 \cdot \operatorname{tg}(\varphi) \cdot (1 - \operatorname{sen}(\varphi))^2 \cdot \Theta \quad d_\gamma = 1.0 \quad d_c = 1 + 0.4 \cdot \Theta$$

$$\text{dove: se } \frac{D}{B} \leq 1 \Rightarrow \Theta = \frac{D}{B}, \text{ se } \frac{D}{B} > 1 \Rightarrow \Theta = \operatorname{arctg}\left(\frac{D}{B}\right)$$

$$i_q = \left[1 - \frac{0.5 \cdot H}{V + A_f \cdot c_a \cdot \operatorname{ctg}(\varphi)}\right]^{\alpha_1} \quad i_\gamma = \left[1 - \frac{0.7 \cdot H}{V + A_f \cdot c_a \cdot \operatorname{ctg}(\varphi)}\right]^{\alpha_2} \quad i_c = i_q - \frac{1 - i_q}{N_q - 1}$$

- se  $\varphi = 0$  si ha:

$$s_q = 1.0 \quad s_\gamma = 1.0 \quad s_c = 1 + 0.2 \cdot \frac{B}{L}$$
$$d_q = 1.0 \quad d_\gamma = 1.0 \quad d_c = 1 + 0.4 \cdot \Theta$$

$$i_q = 1.0 \quad i_\gamma = 1.0 \quad i_c = 0.5 \cdot \left(1 + \sqrt{1 - \frac{H}{A_f \cdot c_a}}\right)$$

### Formulazione di Vesic (1975)

$$N_q = \operatorname{tg}^2\left(\frac{90^\circ + \varphi}{2}\right) \cdot e^{\pi \cdot \operatorname{tg}(\varphi)} \quad N_\gamma = 2 \cdot (N_q + 1) \cdot \operatorname{tg}(\varphi) \quad N_c = (N_q - 1) \cdot \operatorname{ctg}(\varphi)$$

- se  $\varphi \neq 0$  si ha:

$$s_q = 1 + \frac{B}{L} \cdot \operatorname{tg}(\varphi) \quad s_\gamma = 1 - 0.4 \cdot \frac{B}{L} \quad s_c = 1 + \frac{N_q \cdot B}{N_c \cdot L}$$
$$d_q = 1 + 2 \cdot \operatorname{tg}(\varphi) \cdot (1 - \operatorname{sen}(\varphi))^2 \cdot \Theta \quad d_\gamma = 1.0 \quad d_c = 1 + 0.4 \cdot \Theta$$

$$\text{dove: se } \frac{D}{B} \leq 1 \Rightarrow \Theta = \frac{D}{B}, \text{ se } \frac{D}{B} > 1 \Rightarrow \Theta = \operatorname{arctg}\left(\frac{D}{B}\right)$$

$$i_q = \left[1 - \frac{H}{V + A_f \cdot c_a \cdot \operatorname{ctg}(\varphi)}\right]^m \quad i_\gamma = \left[1 - \frac{H}{V + A_f \cdot c_a \cdot \operatorname{ctg}(\varphi)}\right]^{m+1} \quad i_c = i_q - \frac{1 - i_q}{N_q - 1}$$

$$\text{dove: } m = m_B = \frac{2 + \frac{B}{L}}{1 + \frac{B}{L}} \quad m = m_L = \frac{2 + \frac{L}{B}}{1 + \frac{L}{B}}$$

- se  $\varphi = 0$  si ha:

$$s_q = 1.0 \quad s_\gamma = 1.0 \quad s_c = 1 + 0.2 \cdot \frac{B}{L}$$
$$d_q = 1.0 \quad d_\gamma = 1.0 \quad d_c = 1 + 0.4 \cdot \Theta$$

$$i_q = 1.0 \quad i_\gamma = 1.0 \quad i_c = 1 - \frac{m \cdot H}{A_f \cdot c_a \cdot N_c}$$

### Formulazione di Brinch-Hansen

$$N_q = \operatorname{tg}^2\left(\frac{90^\circ + \varphi}{2}\right) \cdot e^{\pi \cdot \operatorname{tg}(\varphi)} \quad N_\gamma = 2 \cdot (N_q + 1) \cdot \operatorname{tg}(\varphi) \quad N_c = (N_q - 1) \cdot \operatorname{ctg}(\varphi)$$

- se  $\varphi \neq 0$  si ha:

$$s_q = 1 + 0.1 \cdot \frac{B \cdot (1 + \sin(\varphi))}{L \cdot (1 - \sin(\varphi))} \quad s_\gamma = 1 + 0.1 \cdot \frac{B \cdot (1 + \sin(\varphi))}{L \cdot (1 - \sin(\varphi))} \quad s_c = 1 + 0.2 \cdot \frac{B \cdot (1 + \sin(\varphi))}{L \cdot (1 - \sin(\varphi))}$$

$$d_q = 1 + 2 \cdot \operatorname{tg}(\varphi) \cdot (1 - \sin(\varphi))^2 \cdot \Theta \quad d_\gamma = 1.0 \quad d_c = d_q - \frac{1 - d_q}{N_q \cdot \operatorname{tg}(\varphi)}$$

$$\text{dove: se } \frac{D}{B} \leq 1 \Rightarrow \Theta = \frac{D}{B}, \text{ se } \frac{D}{B} > 1 \Rightarrow \Theta = \operatorname{arctg}\left(\frac{D}{B}\right)$$

$$i_q = \left[ 1 - \frac{H}{V + A_f \cdot c_a \cdot \operatorname{ctg}(\varphi)} \right]^m \quad i_\gamma = \left[ 1 - \frac{H}{V + A_f \cdot c_a \cdot \operatorname{ctg}(\varphi)} \right]^{m+1} \quad i_c = i_q - \frac{1 - i_q}{N_q - 1}$$

$$\text{dove: } m = m_B = \frac{2 + \frac{B}{L}}{1 + \frac{B}{L}} \quad m = m_L = \frac{2 + \frac{L}{B}}{1 + \frac{L}{B}}$$

- se  $\varphi = 0$  si ha:

$$s_q = 1.0 \quad s_\gamma = 1.0 \quad s_c = 1 + 0.2 \cdot \frac{B}{L}$$

$$d_q = 1.0 \quad d_\gamma = 1.0 \quad d_c = 1 + 0.4 \cdot \Theta$$

$$i_q = 1.0 \quad i_\gamma = 1.0 \quad i_c = 1 - \frac{m \cdot H}{A_f \cdot c_a \cdot N_q}$$

### Formulazione Eurocodice 7

$$N_q = \operatorname{tg}^2\left(\frac{90^\circ + \varphi}{2}\right) \cdot e^{\pi \cdot \operatorname{tg}(\varphi)} \quad N_\gamma = 2 \cdot (N_q - 1) \cdot \operatorname{tg}(\varphi) \quad N_c = (N_q - 1) \cdot \operatorname{ctg}(\varphi)$$

- se  $\varphi \neq 0$  si ha:

$$s_q = 1 + \frac{B}{L} \cdot \sin(\varphi) \quad s_\gamma = 1 - 0.3 \cdot \frac{B}{L} \quad s_c = \frac{s_q \cdot (N_q - 1)}{N_q - 1}$$

$$d_q = 1 + 2 \cdot \operatorname{tg}(\varphi) \cdot (1 - \sin(\varphi))^2 \cdot \Theta \quad d_\gamma = 1.0 \quad d_c = 1 + 0.4 \cdot \Theta$$

$$\text{dove: se } \frac{D}{B} \leq 1 \Rightarrow \Theta = \frac{D}{B}, \text{ se } \frac{D}{B} > 1 \Rightarrow \Theta = \operatorname{arctg}\left(\frac{D}{B}\right)$$

- se H è parallela al lato B si ha:

$$i_q = \left[ 1 - \frac{0.7 \cdot H}{V + A_f \cdot c_a \cdot \operatorname{ctg}(\varphi)} \right]^3 \quad i_\gamma = \left[ 1 - \frac{H}{V + A_f \cdot c_a \cdot \operatorname{ctg}(\varphi)} \right]^3 \quad i_c = \frac{i_q \cdot N_q - 1}{N_q - 1}$$

- se H è parallela al lato L si ha:

$$i_q = 1 - \frac{H}{V + A_f \cdot c_a \cdot \operatorname{ctg}(\varphi)} \quad i_\gamma = 1 - \frac{H}{V + A_f \cdot c_a \cdot \operatorname{ctg}(\varphi)} \quad i_c = \frac{i_q \cdot N_q - 1}{N_q - 1}$$

- se  $\varphi = 0$  si ha:

$$s_q = 1.0 \quad s_\gamma = 1.0 \quad s_c = 1 + 0.2 \cdot \frac{B}{L}$$

$$d_q = 1.0 \quad d_\gamma = 1.0 \quad d_c = 1 + 0.4 \cdot \Theta$$

$$i_q = 1.0 \quad i_\gamma = 1.0 \quad i_c = 0.5 \cdot \left( 1 + \sqrt{1 - \frac{H}{A_f \cdot c_a}} \right)$$

Si ricorda che per le relazioni sopra riportate nel caso in cui  $\varphi = 0 \Rightarrow N_q = 1.0, N_\gamma = 1.0$  e  $N_c = 2 + \pi$ .

Il significato dei termini presenti nelle relazioni su descritte è il seguente:

- V componente verticale del carico agente sulla fondazione
- H componente orizzontale del carico agente sulla fondazione (sia lungo B che lungo L)
- $c_a$  adesione fondazione-terreno (valore variabile tra il 60% e 100% della coesione)

- $\alpha_1, \alpha_2$  esponenti di potenza che variano tra 2 e 5

Nel caso in cui il cuneo di fondazione sia interessato da falda idrica il valore di  $\gamma_2$  nella formula trinomia assume la seguente espressione:

$$\gamma_2 = \frac{\gamma \cdot z + \gamma_{sat} \cdot (h_c - z)}{h_c} \quad h_c = \frac{B}{2} \cdot \operatorname{tg}\left(\frac{90 + \varphi}{2}\right)$$

dove i termini dell'espressione hanno il seguente significato:

- $\gamma$  peso per unità di volume del terreno sottostante il piano di posa
- $\gamma_{sat}$  peso per unità di volume saturo del terreno sottostante il piano di posa
- $z$  profondità della falda dal piano di posa
- $h_c$  altezza del cuneo di rottura della fondazione

Tutto ciò che è stato detto sopra è valido nell'ipotesi di terreno con caratteristiche geotecniche omogenee. Nella realtà i terreni costituenti il piano di posa delle fondazioni sono quasi sempre composti, o comunque riconducibili, a formazioni di terreno omogenee di spessore variabile che si sovrappongono (caso di terreni stratificati). In queste condizioni i parametri vengono determinati con la seguente procedura:

- viene determinata l'altezza del cuneo di rottura in funzione delle caratteristiche geotecniche degli strati attraversati; quindi si determinano il numero degli strati interessati da esso
- in corrispondenza di ogni superficie di separazione, partendo da quella immediatamente sottostante il piano di posa della fondazione, fino a raggiungere l'altezza del cuneo di rottura, viene determinata la capacità portante di ogni singolo strato come somma di due valori: il primo dato dall'applicazione della formula trinomia alla quota  $i$ -esima dello strato; il secondo dato dalla resistenza al punzonamento del terreno sovrastante lo strato in esame
- il minimo di questi due valori sarà assunto come valore massimo della capacità portante della fondazione stratificata

Si può formulare il procedimento anche in forma analitica:

$$q'_{ult} = [q''_{ult} + q_{resT}]_{\min} = \left[ q''_{ult} + \frac{p}{A_f} (P_V \cdot K_s \cdot \operatorname{tg}(\varphi) + d \cdot c) \right]_{\min}$$

dove i termini dell'espressione hanno il seguente significato:

- $q''_{ult}$  carico limite per un'ipotetica fondazione posta alla quota dello strato interessato
- $p$  perimetro della fondazione
- $P_V$  spinta verticale del terreno dal piano di posa allo strato interessato
- $K_s$  coefficiente di spinta laterale del terreno
- $d$  distanza dal piano di posa allo strato interessato

## CARICO LIMITE DI FONDAZIONI SUPERFICIALI SU ROCCIA

Per la determinazione del carico limite nel caso di presenza di ammasso roccioso bisogna valutare molto attentamente il grado di solidità della roccia stessa. Tale valutazione viene in genere eseguita stimando l'indice *RQD* (Rock Quality Designation) che rappresenta una misura della qualità di un ammasso roccioso. Tale indice può variare da un minimo di 0 (caso in cui la lunghezza dei pezzi di roccia estratti dal carotiere è inferiore a 100 mm) ad un massimo di 1 (caso in cui la carota risulta integra) ed è calcolato nel seguente modo:

$$RQD = \frac{\sum \text{lunghezze dei pezzi di roccia intatta} > 100\text{mm}}{\text{lunghezza del carotiere}}$$

Se il valore di *RQD* è molto basso la roccia è molto fratturata ed il calcolo della capacità portante dell'ammasso roccioso va condotto alla stregua di un terreno sciolto utilizzando tutte le formulazioni sopra descritte.

Per ricavare la capacità portante di rocce non assimilabili ad ammassi di terreno sciolto sono state implementate due formulazioni: quella di Terzaghi (1943) e quella di Stagg-Zienkiewicz (1968), entrambe correlate all'indice *RQD*. In definitiva il valore della capacità portante sarà espresso dalla seguente relazione:

$$q'_{ult} = q''_{ult} \cdot RQD^2$$

dove i termini dell'espressione hanno il seguente significato:

- $q'_{ult}$  carico limite dell'ammasso roccioso
- $q''_{ult}$  carico limite calcolato alla Terzaghi o alla Stagg-Zienkiewicz

In questo caso l'equazione trinomia del carico limite assume la seguente forma:

$$q_{ult}'' = \gamma_1 \cdot D \cdot N_q + c \cdot N_c \cdot s_c + \gamma_2 \cdot \frac{B}{2} \cdot N_\gamma \cdot s_\gamma$$

I termini presenti nell'equazione hanno lo stesso significato già visto in precedenza; i coefficienti di forma assumeranno i seguenti valori:

$s_c = 1.0$  per fondazioni di tipo nastriforme

$s_c = 1.3$  per fondazioni di tipo quadrato;

$s_\gamma = 1.0$  per fondazioni di tipo nastriforme

$s_\gamma = 0.8$  per fondazioni di tipo quadrato.

I fattori adimensionali di portanza a seconda della formulazione adottata saranno:

### Formulazione di Terzaghi (1943)

$$N_q = \frac{e^{2 \left( 0.75 \cdot \pi - \frac{\varphi}{2} \right) \cdot \operatorname{tg}(\varphi)}}{2 \cdot \cos^2 \left( \frac{90^\circ + \varphi}{2} \right)} \quad N_\gamma = \frac{\operatorname{tg}(\varphi)}{2} \left( \frac{K_{py}}{\cos^2(\varphi)} - 1 \right) \quad N_c = (N_q - 1) \cdot \operatorname{ctg}(\varphi)$$

se  $\varphi = 0 \Rightarrow N_c = 1.5 \cdot \pi + 1$

$\varphi$	0	5	10	15	20	25	30	35	40	45	50
$K_{py}$	10.8	12.2	14.7	18.6	25.0	35.0	52.0	82.0	141.0	298.0	800.0

### Formulazione di Stagg-Zienkiewicz (1968)

$$N_q = \operatorname{tg}^6 \left( \frac{90^\circ + \varphi}{2} \right) \quad N_\gamma = N_q + 1 \quad N_c = 5 \cdot \operatorname{tg}^4 \left( \frac{90^\circ + \varphi}{2} \right)$$

## VERIFICA A ROTTURA PER SCORRIMENTO DI FONDAZIONI SUPERFICIALI

Se il carico applicato alla base della fondazione non è normale alla stessa bisogna effettuare anche una verifica per rottura a scorrimento. Rispetto al collasso per scorrimento la resistenza offerta dal sistema fondale viene valutata come somma di due componenti: la prima derivante dall'attrito fondazione-terreno, la seconda derivante dall'adesione. In generale, oltre a queste due componenti, può essere tenuto in conto anche l'effetto della spinta passiva del terreno di ricoprimento esercita sulla fondazione fino ad un massimo del 30%. La formulazione analitica della verifica può essere esposta nel seguente modo:

$$T_{Sd} \leq T_{Rd} = N_{Sd} \cdot \operatorname{tg}(\delta) + A_f \cdot c_a + S_p \cdot f_{Sp}$$

dove i termini dell'espressione hanno il seguente significato:

- $T_{Sd}$  componente orizzontale del carico agente sulla fondazione (sia lungo B che lungo L)
- $N_{Sd}$  componente verticale del carico agente sulla fondazione
- $c_a$  adesione fondazione-terreno (valore variabile tra il 60% e 100% della coesione)
- $\delta$  angolo d'attrito fondazione-terreno (valore variabile tra il 60% e 100% dell'angolo di attrito)
- $S_p$  spinta passiva del terreno di ricoprimento della fondazione
- $f_{Sp}$  percentuale di partecipazione della spinta passiva
- $A_f$  superficie di contatto del piano di posa della fondazione

La verifica deve essere effettuata sia per componenti taglianti parallele alla base della fondazione che per quelle ortogonali.

## DETERMINAZIONE DELLE TENSIONI INDOTTE NEL TERRENO

Ai fini del calcolo dei cedimenti è essenziale conoscere lo stato tensionale indotto nel terreno a varie profondità da un carico applicato in superficie. Tale determinazione viene eseguita ipotizzando che il terreno si comporti come un mezzo continuo, elastico-lineare, omogeneo e isotopo. Tale assunzione, utilizzata per la determinazione della variazione delle tensioni verticali dovuta all'applicazione di un carico in superficie, è

confortata dalla letteratura (Morgenstern e Phukan) perché la non linearità del materiale poco influenza la distribuzione delle tensioni verticali. Per ottenere un profilo verticale di pressioni si possono utilizzare tre metodi di calcolo: quello di Boussinesq, quello di Westergaard oppure quello di Mindlin; tutti basati sulla teoria del continuo elastico. Il metodo di Westergaard differisce da quello di Boussinesq per la presenza del coefficiente di Poisson "ν", quindi si adatta meglio ai terreni stratificati. Il metodo di Mindlin differisce dai primi due per la possibilità di posizionare il carico all'interno del continuo elastico mentre i primi due lo pongono esclusivamente sulla frontiera quindi si presta meglio al caso di fondazioni molto profonde. Nel caso di fondazioni poste sulla frontiera del continuo elastico il metodo di Mindlin risulta equivalente a quello di Boussinesq. Le espressioni analitiche dei tre metodi di calcolo sono:

$$\text{Boussinesq} \Rightarrow \Delta\sigma_v = \frac{3 \cdot Q \cdot z^3}{2 \cdot \pi \cdot (r^2 + z^2)^{\frac{5}{2}}} \quad \text{Westergaard} \Rightarrow \Delta\sigma_v = \frac{Q}{2 \cdot \pi \cdot z^2} \cdot \frac{\sqrt{1-2 \cdot \nu}}{\sqrt{2-2 \cdot \nu}} \cdot \left( \frac{1-2 \cdot \nu}{2-2 \cdot \nu} + \frac{r^2}{z^2} \right)^{\frac{3}{2}}$$

dove i termini dell'espressioni hanno il seguente significato:

- Q carico puntiforme applicato sulla frontiera del mezzo
- r proiezione orizzontale della distanza del punto di applicazione del carico dal punto in esame
- z proiezione verticale della distanza del punto di applicazione del carico dal punto in esame

$$\text{Mindlin} \Rightarrow \Delta\sigma_v = \frac{Q}{8 \cdot \pi \cdot (1-\nu) \cdot D^2} \left( \frac{(1-2 \cdot \nu) \cdot (m-1)}{A^3} + \frac{(1-2 \cdot \nu) \cdot (m-1)}{B^3} - \frac{3 \cdot (m-1)^3}{A^5} - \frac{30 \cdot m \cdot (m+1)^3}{B^7} - \frac{3 \cdot (3-4 \cdot \nu) \cdot m \cdot (m+1)^2 - 3 \cdot (m+1) \cdot (5 \cdot m-1)}{B^5} \right)$$

$$n = \frac{r}{D}; \quad m = \frac{z}{D}; \quad A^2 = n^2 + (m-1)^2; \quad B^2 = n^2 + (m+1)^2$$

dove i termini dell'espressioni hanno il seguente significato:

- Q carico puntiforme applicato sulla frontiera o all'interno del mezzo
- D proiezione verticale della distanza del punto di applicazione del carico dalla frontiera del mezzo
- r proiezione orizzontale della distanza del punto di applicazione del carico dal punto in esame
- z proiezione verticale della distanza del punto di applicazione del carico dal punto in esame

Basandosi sulle ben note equazioni ricavate per un carico puntiforme, l'algoritmo implementato esegue un'integrazione delle equazioni di cui sopra lungo la verticale di ogni punto notevole degli elementi fondali estesa a tutte le aree di carico presenti sulla superficie del terreno; questo consente di determinare la variazione dello stato tensionale verticale "Δσ<sub>v</sub>". Bisogna sottolineare che, nel caso di pressione, "Q" va definito come "pressione netta", ossia la pressione in eccesso rispetto a quella geostatica esistente che può essere sopportata con sicurezza alla profondità "D" del piano di posa delle fondazioni. Questo perché i cedimenti sono causati solo da incrementi netti di pressione che si aggiungono all'esistente pressione geostatica.

## CALCOLO DEI CEDIMENTI DELLA FONDAZIONE

La determinazione dei cedimenti delle fondazioni assume una rilevanza notevole per il manufatto da realizzarsi, in special modo nella fase di esercizio. Nell'evolversi della fase di cedimento il terreno passa da uno stato di sforzo corrente dovuto al peso proprio ad uno nuovo dovuto all'effetto del carico addizionale applicato. Questa variazione dello stato tensionale produce una serie di movimenti di rotolamento e scorrimento relativo tra i granuli del terreno, nonché deformazioni elastiche e rotture delle particelle costituenti il mezzo localizzate in una limitata zona d'influenza a ridosso dell'area di carico. L'insieme di questi fenomeni costituisce il cedimento che nel caso in esame è verticale. Nonostante la frazione elastica sia modesta, l'esperienza ha dimostrato che ai fini del calcolo dei cedimenti modellare il terreno come materiale pseudoelastico permette di ottenere risultati soddisfacenti. In letteratura sono descritti diversi metodi per il calcolo dei cedimenti ma si ricorda che, qualunque sia il metodo di calcolo, la determinazione del valore del cedimento deve intendersi come la miglior stima delle deformazioni subite dal terreno da attendersi all'applicazione dei carichi. Nel seguito vengono descritte le teorie implementate:



**Metodo edometrico**, che si basa sulla nota relazione:

$$w_{ed} = \sum_{i=1}^n \frac{\Delta\sigma_{v,i}}{E_{ed,i}} \cdot \Delta z_i$$

dove i termini dell'espressioni hanno il seguente significato:

- $\Delta\sigma_{v,i}$  variazione dello stato tensionale verticale alla profondità "z<sub>i</sub>" dello strato i-esimo per l'applicazione del carico
- $E_{ed,i}$  modulo edometrico del terreno relativo allo strato i-esimo
- $\Delta z_i$  spessore dello strato i-esimo

Si ricorda che questo metodo si basa sull'ipotesi edometrica quindi l'accuratezza del risultato è maggiore quando il rapporto tra lo spessore dello strato deformabile e la dimensione in pianta delle fondazioni è ridotto, tuttavia il metodo edometrico consente una buona approssimazione anche nel caso di strati deformabili di spessore notevole.

**Metodo dell'elasticità**, che si basa sulle note relazioni:

$$w_{imp.} = \sum_{i=1}^n \frac{\Delta\sigma_{v,i}}{E_i} \cdot \Delta z_i \qquad w_{Lib.} = \sum_{i=1}^n \frac{\Delta\sigma_{v,i}}{E_i} \cdot \frac{1-2 \cdot \nu^2}{1-\nu} \cdot \Delta z_i$$

dove i termini dell'espressioni hanno il seguente significato:

- $w_{imp.}$  cedimento in condizioni di deformazione laterale impedita
- $w_{Lib.}$  cedimento in condizioni di deformazione laterale libera
- $\Delta\sigma_{v,i}$  variazione stato tensionale verticale alla profondità "z<sub>i</sub>" dello strato i-esimo per l'applicazione del carico
- $E_i$  modulo elastico del terreno relativo allo strato i-esimo
- $\Delta z_i$  spessore dello strato i-esimo

La doppia formulazione adottata consente di ottenere un intervallo di valori del cedimento elastico per la fondazione in esame (valore minimo per  $w_{imp.}$  e valore massimo per  $w_{Lib.}$ ).

## **SIMBOLOGIA ADOTTATA NEI TABULATI DI CALCOLO**

Per maggior chiarezza nella lettura dei tabulati di calcolo viene riportata la descrizione dei simboli principali utilizzati nella stesura degli stessi. Per comodità di lettura la legenda è suddivisa in paragrafi con la stessa modalità in cui sono stampati i tabulati di calcolo.

### ***Dati geometrici degli elementi costituenti le fondazioni superficiali***

*per tipologie travi e plinti superficiali:*

- Indice Strat. indice della stratigrafia associata all'elemento
- Prof. Fon. profondità del piano di posa dell'elemento a partire dal piano campagna
- Base larghezza della sezione trasversale dell'elemento
- Altezza altezza della sezione trasversale dell'elemento
- Lung. Elem. dimensione dello sviluppo longitudinale dell'elemento
- Lung. Travata nel caso l'elemento appartenga ad un macroelemento, rappresenta la dimensione dello sviluppo longitudinale del macroelemento

*per tipologia platea:*

- Indice Strat. indice della stratigrafia associata all'elemento
- Prof. Fon. profondità del piano di posa dell'elemento dal piano campagna
- Dia. Eq. diametro del cerchio equivalente alla superficie dell'elemento
- Spessore spessore dell'elemento
- Superficie superficie dell'elemento
- Vert. Elem. Numero dei vertici che costituiscono l'elemento
- Macro nel caso l'elemento appartenga ad un macroelemento, rappresenta il numero del macroelemento

Nel caso si avesse scelto di determinare la portanza anche per gli elementi platea è presente un ulteriore riga

nella quale sono riportate le caratteristiche geometriche del plinto equivalente alla macro/platea in esame.

### ***Dati di carico degli elementi costituenti le fondazioni superficiali***

*per tipologie travi e plinti superficiali:*

- Cmb numero della combinazione di carico
- Tipologia tipologia della combinazione di carico
- Sismica flag per l'applicazione della riduzione sismica alle caratteristiche meccaniche del terreno di fondazione per la combinazione di carico in esame
- Ecc. B eccentricità del carico normale agente sul piano di fondazione in direzione parallela alla sezione trasversale dell'elemento
- Ecc. L eccentricità del carico normale agente sul piano di fondazione in direzione parallela allo sviluppo longitudinale dell'elemento
- S.Taglio B sforzo di taglio agente sul piano di fondazione in direzione parallela alla sezione trasversale dell'elemento
- S.Taglio L sforzo di taglio agente sul piano di fondazione in direzione parallela allo sviluppo longitudinale dell'elemento
- S.Normale carico normale agente sul piano di fondazione
- T.T.min minimo valore della distribuzione tensionale di contatto tra terreno ed elemento fondale
- T.T.max massimo valore della distribuzione tensionale di contatto tra terreno ed elemento fondale

*per tipologia platea:*

- Cmb numero della combinazione di carico
- Tipologia tipologia della combinazione di carico
- Sismica flag per l'applicazione della riduzione sismica alle caratteristiche meccaniche del terreno di fondazione per la combinazione di carico in esame
- Press. N1 tensione di contatto tra terreno e fondazione nel vertice n° 1 dell'elemento
- Press. N2 tensione di contatto tra terreno e fondazione nel vertice n° 2 dell'elemento
- Press. N3 tensione di contatto tra terreno e fondazione nel vertice n° 3 dell'elemento
- Press. N4 tensione di contatto tra terreno e fondazione nel vertice n° 4 dell'elemento
- S.Taglio X sforzo di taglio agente sul piano di fondazione in direzione parallela all'asse X del riferimento globale
- S.Taglio Y sforzo di taglio agente sul piano di fondazione in direzione parallela all'asse Y del riferimento globale

Nel caso si avesse scelto di determinare la portanza anche per gli elementi platea è presente un'ulteriore riga nella quale sono riportate le macroazioni (integrale delle azioni applicate sui singoli elementi che compongono la platea) agenti sul plinto equivalente alla macro/platea in esame.

### ***Valori di calcolo della portanza per fondazioni superficiali***

- Cmb numero della combinazione di carico
- Qlim capacità portante totale data dalla somma di Qlim q, Qlim g, Qlim c e di Qres P (nel caso in cui si operi alle tensioni ammissibili corrisponde alla portanza ammissibile)
- Qlim q termine relativo al sovraccarico della formula trinomia per il calcolo della capacità portante (nel caso in cui si operi alle tensioni ammissibili corrisponde alla relativa parte della portanza ammissibile)
- Qlim g termine relativo alla larghezza della base di fondazione della formula trinomia per il calcolo della capacità portante (nel caso in cui si operi alle tensioni ammissibili corrisponde alla relativa parte della portanza ammissibile)
- Qlim c termine relativo alla coesione della formula trinomia per il calcolo della capacità portante (nel caso in cui si operi alle tensioni ammissibili corrisponde alla relativa parte della portanza ammissibile)
- Qres P termine relativo alla resistenza al punzonamento del terreno sovrastante lo strato di rottura. Diverso da zero solo nel caso di terreni stratificati dove lo strato di rottura è diverso dal primo (nel caso in cui si operi alle tensioni ammissibili corrisponde alla relativa parte della portanza ammissibile)

- $Q_{max} / Q_{lim}$  rapporto tra il massimo valore della distribuzione tensionale di contatto tra terreno ed elemento fondale ed il valore della capacità portante (verifica positiva se il rapporto è  $< 1.0$ ).
- $TB_{lim}$  valore limite della resistenza a scorrimento in direzione parallela alla sezione trasversale dell'elemento
- $TB / TB_{lim}$  rapporto tra lo sforzo di taglio agente ed il valore limite della resistenza a scorrimento in direzione parallela alla sezione trasversale dell'elemento (verifica positiva se il rapporto è  $< 1.0$ )
- $TL_{lim}$  valore limite della resistenza a scorrimento in direzione parallela allo sviluppo longitudinale dell'elemento
- $TL / TL_{lim}$  rapporto tra lo sforzo di taglio agente ed il valore limite della resistenza a scorrimento in direzione parallela allo sviluppo longitudinale dell'elemento (verifica positiva se il rapporto è  $< 1.0$ )
- Sgm. Lt. tensione litostatica agente alla quota del piano di posa dell'elemento fondale

Nel caso si avesse scelto di determinare la portanza anche per gli elementi platea è presente un'ulteriore riga nella quale sono riportate le verifiche di portanza del plinto equivalente alla macro/platea in esame.

### **Valori di calcolo dei cedimenti per fondazioni superficiali**

- Cmb numero della combinazione di carico e tipologia
- Nodo vertice dell'elemento in cui viene calcolato il cedimento
- Car. Netto valore del carico netto applicato sulla superficie del terreno
- Cedimento/i valore del cedimento (nel caso di calcolo di cedimenti elastici i valori riportati sono due, il primo corrisponde al cedimento  $w_{mp,}$ , mentre il secondo al cedimento  $w_{Lib.}$ )

## **PARAMETRI DI CALCOLO**

### **Metodi di calcolo della portanza per fondazioni superficiali:**

- Per terreni sciolti: Brinch - Hansen
- Per terreni lapidei: Terzaghi

### **Fattori utilizzati per il calcolo della portanza per fondazioni superficiali :**

- Riduzione dimensioni per eccentricità: no
- Fattori di forma della fondazione: si
- Fattori di profondità del piano di posa: si
- Fattori di inclinazione del carico: si
- Fattori di punzonamento (Vesic): no
- Fattore riduzione effetto piastra (Bowles): si
- Fattore di riduzione dimensione Base equivalente platea: 20.0 %
- Fattore di riduzione dimensione Lunghezza equivalente platea: 20.0 %

### **Coefficienti parziali di sicurezza per Tensioni Ammissibili, SLE nel calcolo della portanza per fondazioni superficiali:**

- Coeff. parziale di sicurezza  $F_c$  (statico): 2.50
- Coeff. parziale di sicurezza  $F_q$  (statico): 2.50
- Coeff. parziale di sicurezza  $F_g$  (statico): 2.50
- Coeff. parziale di sicurezza  $F_c$  (sismico): 3.00
- Coeff. parziale di sicurezza  $F_q$  (sismico): 3.00
- Coeff. parziale di sicurezza  $F_g$  (sismico): 3.00

### **Combinazioni di carico:**

#### **APPROCCIO PROGETTUALE TIPO 2 - Comb. (A1+M1+R3)**

Coefficienti parziali di sicurezza per SLU nel calcolo della portanza per fondazioni superficiali :

I coeff. A1 risultano combinati secondo lo schema presente nella relazione di calcolo della struttura.

- Coeff. M1 per  $\tan \phi$  (statico): 1
- Coeff. M1 per  $c'$  (statico): 1
- Coeff. M1 per  $C_u$  (statico): 1
- Coeff. M1 per  $\tan \phi$  (sismico): 1

- Coeff. M1 per c' (sismico): 1
- Coeff. M1 per Cu sismico): 1
- Coeff. R3 capacità portante (statico e sismico): 2.30
- Coeff. R3 scorrimento (statico e sismico): 1.10

**Parametri per la verifica a scorrimento delle fondazioni superficiali:**

- Fattore per l'adesione (6 < Ca < 10): 8
- Fattore per attrito terreno-fondazione (5 < Delta < 10): 7
- Frazione di spinta passiva fSp: 50.00 %
- Coeff. resistenza sulle sup. laterali: 1.30

**Metodi e parametri per il calcolo dei cedimenti delle fondazioni superficiali:**

- Metodo di calcolo tensioni superficiali: Boussinesq
- Modalità d'interferenza dei bulbi tensionali: sovrapposizione dei bulbi
- Metodo di calcolo dei cedimenti del terreno: cedimenti edometrici

**ARCHIVIO STRATIGRAFIE**

Indice / Descrizione: 001 / Nuova stratigrafia n. 1  
 Numero strati: 6  
 Profondità falda: 450.00 cm

Strato n.	Quota di riferimento	Spessore	Indice / Descrizione terreno	Attrito Neg.
1	da 0.0 a -100.0 cm	100.0 cm	002 / Riporto	Assente
2	da -100.0 a -260.0 cm	160.0 cm	004 / Sabbia e limo	Assente
3	da -260.0 a -460.0 cm	200.0 cm	006 / Pomici	Assente
4	da -460.0 a -580.0 cm	120.0 cm	005 / Sabbia limosa	Assente
5	da -580.0 a -780.0 cm	200.0 cm	003 / Sabbia e limo	Assente
6	da -780.0 a -1200.0 cm	420.0 cm	001 / Pomici e litici	Assente

**ARCHIVIO TERRENI**

Indice / Descrizione terreno: **002 / Riporto**

Comportamento del terreno: condizione drenata

Peso Spec.	P. Spec. Sat.	Angolo Res.	Coesione	Mod.Elast.	Mod.Edom.	Dens.Rel.	Poisson	C. Ades.
daN/cm <sup>2</sup>	daN/cm <sup>2</sup>	Gradi°	daN/cm <sup>2</sup>	daN/cm <sup>2</sup>	daN/cm <sup>2</sup>	%	%	
1.440 E-3	1.560 E-3	28.000	0.000	17.403	27.570	60.0	0.347	1.00

Indice / Descrizione terreno: **004 / Sabbia e limo**

Comportamento del terreno: condizione drenata

Peso Spec.	P. Spec. Sat.	Angolo Res.	Coesione	Mod.Elast.	Mod.Edom.	Dens.Rel.	Poisson	C. Ades.
daN/cm <sup>2</sup>	daN/cm <sup>2</sup>	Gradi°	daN/cm <sup>2</sup>	daN/cm <sup>2</sup>	daN/cm <sup>2</sup>	%	%	
1.440 E-3	1.560 E-3	28.000	0.000	19.517	30.920	60.0	0.347	1.00

Indice / Descrizione terreno: **006 / Pomici**

Comportamento del terreno: condizione drenata

Peso Spec.	P. Spec. Sat.	Angolo Res.	Coesione	Mod.Elast.	Mod.Edom.	Dens.Rel.	Poisson	C. Ades.
daN/cm <sup>2</sup>	daN/cm <sup>2</sup>	Gradi°	daN/cm <sup>2</sup>	daN/cm <sup>2</sup>	daN/cm <sup>2</sup>	%	%	
1.440 E-3	1.560 E-3	30.000	0.000	33.181	49.710	60.0	0.333	1.00

Indice / Descrizione terreno: **005 / Sabbia limosa**

Comportamento del terreno: condizione drenata

Peso Spec.	P. Spec. Sat.	Angolo Res.	Coesione	Mod.Elast.	Mod.Edom.	Dens.Rel.	Poisson	C. Ades.
daN/cm <sup>2</sup>	daN/cm <sup>2</sup>	Gradi°	daN/cm <sup>2</sup>	daN/cm <sup>2</sup>	daN/cm <sup>2</sup>	%	%	
1.630 E-3	1.640 E-3	28.000	0.000	20.805	32.960	60.0	0.347	1.00

Indice / Descrizione terreno: **003 / Sabbia e limo**

Comportamento del terreno: condizione drenata

Peso Spec.	P. Spec. Sat.	Angolo Res.	Coesione	Mod.Elast.	Mod.Edom.	Dens.Rel.	Poisson	C. Ades.
daN/cm <sup>2</sup>	daN/cm <sup>2</sup>	Gradi°	daN/cm <sup>2</sup>	daN/cm <sup>2</sup>	daN/cm <sup>2</sup>	%	%	
1.630 E-3	1.640 E-3	27.000	0.000	36.581	59.500	60.0	0.353	1.00

Indice / Descrizione terreno: **001 / Pomici e litici**

Comportamento del terreno: condizione drenata

Peso Spec.	P. Spec. Sat.	Angolo Res.	Coesione	Mod.Elast.	Mod.Edom.	Dens.Rel.	Poisson	C. Ades.
daN/cm <sup>2</sup>	daN/cm <sup>2</sup>	Gradi°	daN/cm <sup>2</sup>	daN/cm <sup>2</sup>	daN/cm <sup>2</sup>	%	%	
1.630 E-3	1.640 E-3	30.000	0.000	39.810	59.640	60.0	0.333	1.00

## DATI GEOMETRICI DEGLI ELEMENTI COSTITUENTI LE FONDAZIONI SUPERFICIALI

Elemento n.	Tipologia	Id.Strat.	Prof. Fon. mm	Dia. Eq. mm	Spessore mm	Superficie mm <sup>2</sup>	Vertici n. per elem.	Macro n.
Platea n. 163	Platea	001	2000.00	599.33	500.00	282116.20	4	3
Platea n. 164	Platea	001	2000.00	599.00	500.00	281805.60	4	3
Platea n. 165	Platea	001	2000.00	598.66	500.00	281479.50	4	3
Platea n. 166	Platea	001	2000.00	597.89	500.00	280762.00	4	3
Platea n. 167	Platea	001	2000.00	597.51	500.00	280405.10	4	3
Platea n. 168	Platea	001	2000.00	597.45	500.00	280349.40	4	3
Platea n. 169	Platea	001	2000.00	597.92	500.00	280787.50	4	3
Platea n. 170	Platea	001	2000.00	598.27	500.00	281118.10	4	3
Platea n. 171	Platea	001	2000.00	686.32	500.00	369949.40	4	3
Platea n. 172	Platea	001	2000.00	601.62	500.00	284275.30	4	3
Platea n. 173	Platea	001	2000.00	601.85	500.00	284488.20	4	3
Platea n. 174	Platea	001	2000.00	601.45	500.00	284113.80	4	3
Platea n. 175	Platea	001	2000.00	599.38	500.00	282156.00	4	3
Platea n. 176	Platea	001	2000.00	599.08	500.00	281879.60	4	3
Platea n. 177	Platea	001	2000.00	598.77	500.00	281586.90	4	3
Platea n. 178	Platea	001	2000.00	597.88	500.00	280745.70	4	3
Platea n. 179	Platea	001	2000.00	600.03	500.00	282768.30	4	3
Platea n. 180	Platea	001	2000.00	679.30	500.00	362424.30	4	3
Platea n. 181	Platea	001	2000.00	603.92	500.00	286448.90	4	3
Platea n. 182	Platea	001	2000.00	603.95	500.00	286475.00	4	3
Platea n. 183	Platea	001	2000.00	603.04	500.00	285615.10	4	3
Platea n. 184	Platea	001	2000.00	599.78	500.00	282531.60	4	3
Platea n. 185	Platea	001	2000.00	599.20	500.00	281987.20	4	3
Platea n. 186	Platea	001	2000.00	598.55	500.00	281381.20	4	3
Platea n. 187	Platea	001	2000.00	597.09	500.00	280010.60	4	3
Platea n. 188	Platea	001	2000.00	601.21	500.00	283882.90	4	3
Platea n. 189	Platea	001	2000.00	672.22	500.00	354900.50	4	3
Platea n. 190	Platea	001	2000.00	606.21	500.00	288622.40	4	3
Platea n. 191	Platea	001	2000.00	605.81	500.00	288247.00	4	3
Platea n. 192	Platea	001	2000.00	604.84	500.00	287319.50	4	3
Platea n. 193	Platea	001	2000.00	600.57	500.00	283282.40	4	3
Platea n. 194	Platea	001	2000.00	598.99	500.00	281792.80	4	3
Platea n. 195	Platea	001	2000.00	598.67	500.00	281489.80	4	3
Platea n. 196	Platea	001	2000.00	597.78	500.00	280654.40	4	3
Platea n. 197	Platea	001	2000.00	600.51	500.00	283222.50	4	3
Platea n. 198	Platea	001	2000.00	665.05	500.00	347376.50	4	3
Platea n. 199	Platea	001	2000.00	608.48	500.00	290795.80	4	3
Platea n. 200	Platea	001	2000.00	607.94	500.00	290273.20	4	3
Platea n. 201	Platea	001	2000.00	607.33	500.00	289691.30	4	3
Platea n. 202	Platea	001	2000.00	600.43	500.00	283146.90	4	3
Platea n. 203	Platea	001	2000.00	599.44	500.00	282211.50	4	3
Platea n. 204	Platea	001	2000.00	599.30	500.00	282081.50	4	3
Platea n. 205	Platea	001	2000.00	598.68	500.00	281505.30	4	3
Platea n. 206	Platea	001	2000.00	600.18	500.00	282914.60	4	3
Platea n. 207	Platea	001	2000.00	657.81	500.00	339852.60	4	3
Platea n. 208	Platea	001	2000.00	610.75	500.00	292969.70	4	3
Platea n. 209	Platea	001	2000.00	608.21	500.00	290538.00	4	3
Platea n. 210	Platea	001	2000.00	602.10	500.00	284727.70	4	3
Platea n. 211	Platea	001	2000.00	594.26	500.00	277357.70	4	3
Platea n. 212	Platea	001	2000.00	595.93	500.00	278917.00	4	3
Platea n. 213	Platea	001	2000.00	598.79	500.00	281604.10	4	3
Platea n. 214	Platea	001	2000.00	598.61	500.00	281436.20	4	3
Platea n. 215	Platea	001	2000.00	599.59	500.00	282361.00	4	3
Platea n. 216	Platea	001	2000.00	650.49	500.00	332328.70	4	3
Platea n. 217	Platea	001	2000.00	585.24	500.00	269003.60	4	3
Platea n. 218	Platea	001	2000.00	589.16	500.00	272617.90	4	3
Platea n. 219	Platea	001	2000.00	589.62	500.00	273042.50	4	3
Platea n. 220	Platea	001	2000.00	583.52	500.00	267424.20	4	3
Platea n. 221	Platea	001	2000.00	575.10	500.00	259760.40	4	3
Platea n. 222	Platea	001	2000.00	572.38	500.00	257307.80	4	3
Platea n. 223	Platea	001	2000.00	572.37	500.00	257305.90	4	3
Platea n. 224	Platea	001	2000.00	572.37	500.00	257304.30	4	3
Platea n. 225	Platea	001	2000.00	613.93	500.00	296022.90	4	3
Platea n. 226	Platea	001	2000.00	587.60	500.00	271173.10	4	3
Platea n. 227	Platea	001	2000.00	588.38	500.00	271901.70	4	3
Platea n. 228	Platea	001	2000.00	582.94	500.00	266895.10	4	3
Platea n. 229	Platea	001	2000.00	575.95	500.00	260527.60	4	3

Platea n. 230	Platea	001	2000.00	572.57	500.00	257485.00	4	3
Platea n. 231	Platea	001	2000.00	572.57	500.00	257484.80	4	3
Platea n. 232	Platea	001	2000.00	572.57	500.00	257484.70	4	3
Platea n. 233	Platea	001	2000.00	572.57	500.00	257484.60	4	3
Platea n. 234	Platea	001	2000.00	606.78	500.00	289164.70	4	3
Platea n. 235	Platea	001	2000.00	588.82	500.00	272304.60	4	3
Platea n. 236	Platea	001	2000.00	590.60	500.00	273957.40	4	3
Platea n. 237	Platea	001	2000.00	587.24	500.00	270846.50	4	3
Platea n. 238	Platea	001	2000.00	574.36	500.00	259092.30	4	3
Platea n. 239	Platea	001	2000.00	572.78	500.00	257667.90	4	3
Platea n. 240	Platea	001	2000.00	572.78	500.00	257667.70	4	3
Platea n. 241	Platea	001	2000.00	572.78	500.00	257667.60	4	3
Platea n. 242	Platea	001	2000.00	572.78	500.00	257667.50	4	3
Platea n. 243	Platea	001	2000.00	599.54	500.00	282307.70	4	3
Platea n. 244	Platea	001	2000.00	590.81	500.00	274149.90	4	3
Platea n. 245	Platea	001	2000.00	591.61	500.00	274894.50	4	3
Platea n. 246	Platea	001	2000.00	590.72	500.00	274062.20	4	3
Platea n. 247	Platea	001	2000.00	572.98	500.00	257850.90	4	3
Platea n. 248	Platea	001	2000.00	572.98	500.00	257850.70	4	3
Platea n. 249	Platea	001	2000.00	572.98	500.00	257850.60	4	3
Platea n. 250	Platea	001	2000.00	572.98	500.00	257850.50	4	3
Platea n. 251	Platea	001	2000.00	572.98	500.00	257850.40	4	3
Platea n. 252	Platea	001	2000.00	592.21	500.00	275450.40	4	3
Platea n. 253	Platea	001	2000.00	593.78	500.00	276912.50	4	3
Platea n. 254	Platea	001	2000.00	593.99	500.00	277109.50	4	3
Platea n. 255	Platea	001	2000.00	592.99	500.00	276177.50	4	3
Platea n. 256	Platea	001	2000.00	573.18	500.00	258033.70	4	3
Platea n. 257	Platea	001	2000.00	573.18	500.00	258033.60	4	3
Platea n. 258	Platea	001	2000.00	573.18	500.00	258033.70	4	3
Platea n. 259	Platea	001	2000.00	573.18	500.00	258033.40	4	3
Platea n. 260	Platea	001	2000.00	573.18	500.00	258033.40	4	3
Platea n. 261	Platea	001	2000.00	584.79	500.00	268593.20	4	3
Platea n. 262	Platea	001	2000.00	595.89	500.00	278886.70	4	3
Platea n. 263	Platea	001	2000.00	596.18	500.00	279149.90	4	3
Platea n. 264	Platea	001	2000.00	595.75	500.00	278753.60	4	3
Platea n. 265	Platea	001	2000.00	573.38	500.00	258210.90	4	3
Platea n. 266	Platea	001	2000.00	573.38	500.00	258210.90	4	3
Platea n. 267	Platea	001	2000.00	573.38	500.00	258210.90	4	3
Platea n. 268	Platea	001	2000.00	573.38	500.00	258210.80	4	3
Platea n. 269	Platea	001	2000.00	573.38	500.00	258210.90	4	3
Platea n. 270	Platea	001	2000.00	577.27	500.00	261730.90	4	3
Platea n. 271	Platea	001	2000.00	489.04	500.00	187839.50	4	3
Platea n. 272	Platea	001	2000.00	482.78	500.00	183061.60	4	3
Platea n. 273	Platea	001	2000.00	484.32	500.00	184228.50	4	3
Platea n. 274	Platea	001	2000.00	476.45	500.00	178291.20	4	3
Platea n. 275	Platea	001	2000.00	473.88	500.00	176370.40	4	3
Platea n. 276	Platea	001	2000.00	425.67	500.00	142308.20	4	3
Platea n. 277	Platea	001	2000.00	495.94	500.00	193169.90	4	3
Platea n. 278	Platea	001	2000.00	489.50	500.00	188193.20	4	3
Platea n. 279	Platea	001	2000.00	491.16	500.00	189470.80	4	3
Platea n. 280	Platea	001	2000.00	479.59	500.00	180650.10	4	3
Platea n. 281	Platea	001	2000.00	465.56	500.00	170232.20	4	3
Platea n. 282	Platea	001	2000.00	459.75	500.00	166011.80	4	3
Platea n. 283	Platea	001	2000.00	495.58	500.00	192892.30	4	3
Platea n. 284	Platea	001	2000.00	486.00	500.00	185510.90	4	3
Platea n. 285	Platea	001	2000.00	487.25	500.00	186460.90	4	3
Platea n. 286	Platea	001	2000.00	481.38	500.00	181999.30	4	3
Platea n. 287	Platea	001	2000.00	463.15	500.00	168477.40	4	3
Platea n. 288	Platea	001	2000.00	462.32	500.00	167874.20	4	3
Platea n. 289	Platea	001	2000.00	495.26	500.00	192648.20	4	3
Platea n. 290	Platea	001	2000.00	486.24	500.00	185694.60	4	3
Platea n. 291	Platea	001	2000.00	487.94	500.00	186990.60	4	3
Platea n. 292	Platea	001	2000.00	482.43	500.00	182796.10	4	3
Platea n. 293	Platea	001	2000.00	461.66	500.00	167394.00	4	3
Platea n. 294	Platea	001	2000.00	463.13	500.00	168462.10	4	3
Platea n. 295	Platea	001	2000.00	493.65	500.00	191390.40	4	3
Platea n. 296	Platea	001	2000.00	487.88	500.00	186944.60	4	3
Platea n. 297	Platea	001	2000.00	491.66	500.00	189851.70	4	3
Platea n. 298	Platea	001	2000.00	483.83	500.00	183853.20	4	3
Platea n. 299	Platea	001	2000.00	463.66	500.00	168842.10	4	3
Platea n. 300	Platea	001	2000.00	458.85	500.00	165360.30	4	3
Platea n. 301	Platea	001	2000.00	491.92	500.00	190052.80	4	3

Platea n. 302	Platea	001	2000.00	484.55	500.00	184405.50	4	3
Platea n. 303	Platea	001	2000.00	483.60	500.00	183681.10	4	3
Platea n. 304	Platea	001	2000.00	481.40	500.00	182016.30	4	3
Platea n. 305	Platea	001	2000.00	469.33	500.00	172996.90	4	3
Platea n. 306	Platea	001	2000.00	419.59	500.00	138273.80	4	3
Platea n. 307	Platea	001	2000.00	312.30	500.00	76601.51	4	3
Platea n. 308	Platea	001	2000.00	312.30	500.00	76601.51	4	3
Platea n. 309	Platea	001	2000.00	312.30	500.00	76601.49	4	3
Platea n. 310	Platea	001	2000.00	312.30	500.00	76601.49	4	3
Platea n. 311	Platea	001	2000.00	312.30	500.00	76601.49	4	3
Platea n. 312	Platea	001	2000.00	312.30	500.00	76601.53	4	3
Platea n. 313	Platea	001	2000.00	169.26	500.00	22500.00	4	3
Platea n. 314	Platea	001	2000.00	215.13	500.00	36349.55	4	3
Platea n. 315	Platea	001	2000.00	266.62	500.00	55830.23	4	3
Platea n. 316	Platea	001	2000.00	266.62	500.00	55830.23	4	3
Platea n. 317	Platea	001	2000.00	266.62	500.00	55830.23	4	3
Platea n. 318	Platea	001	2000.00	266.62	500.00	55830.23	4	3
Platea n. 319	Platea	001	2000.00	266.62	500.00	55831.79	4	3
Platea n. 320	Platea	001	2000.00	310.81	500.00	75870.57	4	3
Platea n. 321	Platea	001	2000.00	310.81	500.00	75872.04	4	3
Platea n. 322	Platea	001	2000.00	310.81	500.00	75872.04	4	3
Platea n. 323	Platea	001	2000.00	310.81	500.00	75872.09	4	3
Platea n. 324	Platea	001	2000.00	310.81	500.00	75872.04	4	3
Platea n. 325	Platea	001	2000.00	310.81	500.00	75872.09	4	3
Platea n. 326	Platea	001	2000.00	325.57	500.00	83249.22	4	3
Platea n. 327	Platea	001	2000.00	325.57	500.00	83249.23	4	3
Platea n. 328	Platea	001	2000.00	325.57	500.00	83249.22	4	3
Platea n. 329	Platea	001	2000.00	325.57	500.00	83249.26	4	3
Platea n. 330	Platea	001	2000.00	325.57	500.00	83249.23	4	3
Platea n. 331	Platea	001	2000.00	325.57	500.00	83249.23	4	3
Platea n. 332	Platea	001	2000.00	169.26	500.00	22500.00	4	3
Platea n. 333	Platea	001	2000.00	325.08	500.00	83000.00	4	3
Platea n. 334	Platea	001	2000.00	325.08	500.00	83000.00	4	3
Platea n. 335	Platea	001	2000.00	325.58	500.00	83253.74	4	3
Platea n. 336	Platea	001	2000.00	325.57	500.00	83249.23	4	3
Platea n. 337	Platea	001	2000.00	325.57	500.00	83249.23	4	3
Platea n. 338	Platea	001	2000.00	325.57	500.00	83249.23	4	3
Platea n. 339	Platea	001	2000.00	325.57	500.00	83249.22	4	3
Platea n. 340	Platea	001	2000.00	325.57	500.00	83249.32	4	3
Platea n. 341	Platea	001	2000.00	310.82	500.00	75876.53	4	3
Platea n. 342	Platea	001	2000.00	310.81	500.00	75872.04	4	3
Platea n. 343	Platea	001	2000.00	310.81	500.00	75872.04	4	3
Platea n. 344	Platea	001	2000.00	310.81	500.00	75872.04	4	3
Platea n. 345	Platea	001	2000.00	310.81	500.00	75872.13	4	3
Platea n. 346	Platea	001	2000.00	310.81	500.00	75870.21	4	3
Platea n. 347	Platea	001	2000.00	266.62	500.00	55830.23	4	3
Platea n. 348	Platea	001	2000.00	266.62	500.00	55830.23	4	3
Platea n. 349	Platea	001	2000.00	266.62	500.00	55830.23	4	3
Platea n. 350	Platea	001	2000.00	266.62	500.00	55830.23	4	3
Platea n. 351	Platea	001	2000.00	215.13	500.00	36349.55	4	3
Platea n. 352	Platea	001	2000.00	169.26	500.00	22500.00	4	3
Platea n. 353	Platea	001	2000.00	238.23	500.00	44573.09	4	3
Platea n. 354	Platea	001	2000.00	302.25	500.00	71750.02	4	3
Platea n. 355	Platea	001	2000.00	169.26	500.00	22500.00	4	3
Platea n. 356	Platea	001	2000.00	310.97	500.00	75950.67	4	3
Platea n. 357	Platea	001	2000.00	310.97	500.00	75950.67	4	3
Platea n. 358	Platea	001	2000.00	310.97	500.00	75950.67	4	3
Platea n. 359	Platea	001	2000.00	310.97	500.00	75950.66	4	3
Platea n. 360	Platea	001	2000.00	310.97	500.00	75950.66	4	3
Platea n. 361	Platea	001	2000.00	310.97	500.00	75950.68	4	3
Platea n. 362	Platea	001	2000.00	310.97	500.00	75950.63	4	3
Platea n. 363	Platea	001	2000.00	310.97	500.00	75950.68	4	3
Platea n. 364	Platea	001	2000.00	358.61	500.00	101003.70	4	3
Platea n. 365	Platea	001	2000.00	169.26	500.00	22500.00	4	3

Elemento n.	Tipologia	Id.Strat.	Prof. Fon. mm	Base Eq. mm	Spessore mm	Lung. Eq. mm	Lung. Travata Eq. mm
Macro n. 3	Macro-Platea	001	2000.00	3844.22	500.00	6752.66	6752.66

## DATI DI CARICO DEGLI ELEMENTI COSTITUENTI LE FONDAZIONI SUPERFICIALI

**Elemento: Platea macro n. 3**

Cmb	Tipo	Sism.	Ecc. B	Ecc. L	S. Taglio B	S. Taglio L	S. Normale	T.T. min
n.	T.T. max		mm	mm	kN	kN	kN	kN/mm <sup>2</sup>
	kN/mm <sup>2</sup>							
003	SLU STR	No	243.08	267.79	-154.958	70.550	-3852.826	
	-0.00006039	-0.00014254						
004	SLU STR	No	242.24	266.68	-154.958	70.550	-3866.518	
	-0.00006074	-0.00014289						
005	SLU STR	No	224.93	263.15	-154.958	70.550	-4210.444	
	-0.00006858	-0.00015380						
006	SLU STR	No	224.23	262.15	-154.958	70.550	-4224.135	
	-0.00006893	-0.00015415						
007	SLU STR	No	223.64	265.55	-138.793	62.032	-2664.062	
	-0.00004335	-0.00009735						
008	SLU STR	No	222.53	263.97	-138.793	62.032	-2677.753	
	-0.00004370	-0.00009770						
009	SLU STR	No	200.65	259.35	-138.793	62.032	-3021.678	
	-0.00005154	-0.00010862						
010	SLU STR	No	199.78	257.98	-138.793	62.032	-3035.370	
	-0.00005190	-0.00010896						
011	SLU STR	No	241.42	265.59	-154.958	70.550	-3880.209	
	-0.00006109	-0.00014323						
012	SLU STR	No	230.04	264.45	-154.958	70.550	-4103.158	
	-0.00006612	-0.00015042						
013	SLU STR	No	228.57	262.41	-154.958	70.550	-4130.542	
	-0.00006683	-0.00015111						
014	SLU STR	No	221.44	262.41	-138.793	62.032	-2691.446	
	-0.00004406	-0.00009804						
015	SLU STR	No	206.95	261.05	-138.793	62.032	-2914.393	
	-0.00004909	-0.00010524						
016	SLU STR	No	205.10	258.21	-138.793	62.032	-2941.777	
	-0.00004980	-0.00010593						
017	SLU STR	No	225.51	265.21	-154.958	70.550	-4170.059	
	-0.00006752	-0.00015234						
018	SLU STR	No	224.80	264.20	-154.958	70.550	-4183.750	
	-0.00006787	-0.00015268						
019	SLU STR	No	214.41	262.26	-154.958	70.550	-4420.391	
	-0.00007325	-0.00016022						
020	SLU STR	No	213.77	261.32	-154.958	70.550	-4434.083	
	-0.00007361	-0.00016057						
021	SLU STR	No	201.14	262.18	-138.793	62.032	-2981.295	
	-0.00005048	-0.00010715						
022	SLU STR	No	200.25	260.79	-138.793	62.032	-2994.985	
	-0.00005084	-0.00010750						
023	SLU STR	No	187.83	258.39	-138.793	62.032	-3231.627	
	-0.00005622	-0.00011503						
024	SLU STR	No	187.07	257.11	-138.793	62.032	-3245.319	
	-0.00005657	-0.00011538						
025	SLU STR	No	236.94	270.22	-191.347	84.967	-3852.825	
	-0.00006100	-0.00014222						
026	SLU STR	No	236.13	269.11	-191.348	84.967	-3866.521	
	-0.00006136	-0.00014257						
027	SLU STR	No	224.28	266.74	-191.347	84.967	-4103.157	
	-0.00006674	-0.00015011						
028	SLU STR	No	223.56	265.70	-191.347	84.967	-4116.850	
	-0.00006709	-0.00015045						
029	SLU STR	No	214.76	269.07	-175.182	76.449	-2664.062	
	-0.00004397	-0.00009704						
030	SLU STR	No	213.70	267.47	-175.182	76.449	-2677.754	
	-0.00004432	-0.00009738						
031	SLU STR	No	198.84	264.27	-175.182	76.449	-2914.392	
	-0.00004970	-0.00010492						
032	SLU STR	No	197.94	262.83	-175.182	76.449	-2928.085	
	-0.00005006	-0.00010526						
033	SLV A1	Si	1485.31	718.31	333.223	257.717	-2993.103	0.00008669
	-0.00022482							
034	SLV A1	Si	1539.99	-100.87	365.289	-19.930	-2981.899	0.00009548
	-0.00025540							
035	SLV A1	Si	-1083.22	626.40	-570.096	115.162	-2971.052	0.00007498
	-0.00022216							
036	SLV A1	Si	-1037.86	-199.23	-538.030	-162.486	-2959.848	0.00002730



037	-0.00019909 SLV A1	Si	1481.18	710.18	326.774	255.838	-2992.366	0.00008522
038	-0.00022423 SLV A1	Si	1544.11	-92.51	371.737	-18.051	-2982.638	0.00009550
039	-0.00025606 SLV A1	Si	-1088.02	618.18	-576.544	113.283	-2970.312	0.00007564
040	-0.00022217 SLV A1	Si	-1033.06	-190.78	-531.582	-160.607	-2960.587	0.00002664
041	-0.00019908 SLV A1	Si	1463.88	736.01	335.011	215.240	-2992.033	0.00008401
042	-0.00022631 SLV A1	Si	1518.49	-83.40	367.076	-62.407	-2980.829	0.00009397
043	-0.00025041 SLV A1	Si	-1060.72	608.62	-571.884	157.638	-2972.121	0.00006998
044	-0.00022065 SLV A1	Si	-1015.30	-216.78	-539.819	-120.009	-2960.917	0.00002230
045	-0.00019758 SLV A1	Si	1459.75	727.87	328.562	213.362	-2991.294	0.00008255
046	-0.00022572 SLV A1	Si	1522.63	-75.04	373.525	-60.528	-2981.569	0.00009399
047	-0.00025106 SLV A1	Si	-1065.51	600.40	-578.333	155.759	-2971.382	0.00007064
048	-0.00022066 SLV A1	Si	-1010.51	-208.33	-533.370	-118.130	-2961.657	0.00002164
049	-0.00019757 SLV A1	Si	531.11	1636.87	-20.349	531.745	-2998.455	0.00004860
050	-0.00022909 SLV A1	Si	702.60	-1101.32	86.537	-393.747	-2961.111	0.00002284
051	-0.00021209 SLV A1	Si	-236.21	1611.52	-291.344	488.978	-2991.841	0.00003166
052	-0.00018849 SLV A1	Si	-74.04	-1133.12	-184.459	-436.513	-2954.494	0.00001104
053	-0.00014944 SLV A1	Si	524.59	1642.26	-19.812	519.002	-2998.134	0.00004780
054	-0.00022954 SLV A1	Si	696.01	-1096.15	87.073	-406.490	-2960.791	0.00002230
055	-0.00021059 SLV A1	Si	-229.59	1606.11	-291.881	501.721	-2992.163	0.00003016
056	-0.00018795 SLV A1	Si	-67.36	-1138.29	-184.996	-423.770	-2954.817	0.00001148
057	-0.00014864 SLV A1	Si	516.59	1610.54	-41.844	525.482	-2995.992	0.00004371
058	-0.00022713 SLV A1	Si	717.13	-1072.43	108.032	-387.483	-2963.574	0.00002213
059	-0.00021428 SLV A1	Si	-251.39	1585.11	-312.839	482.715	-2989.377	0.00003385
060	-0.00018778 SLV A1	Si	-58.82	-1104.14	-162.964	-430.250	-2956.958	0.00000908
061	-0.00014455 SLV A1	Si	510.06	1615.94	-41.307	512.738	-2995.670	0.00004291
062	-0.00022758 SLV A1	Si	710.56	-1067.26	108.568	-400.226	-2963.254	0.00002159
063	-0.00021278 SLV A1	Si	-244.77	1579.71	-313.376	495.458	-2989.698	0.00003235
064	-0.00018724 SLV A1	Si	-52.14	-1109.31	-163.500	-417.507	-2957.280	0.00000952
065	-0.00014375 SLD	Si	1281.80	673.94	258.385	231.054	-2990.973	0.00006582
066	-0.00020814 SLD	Si	1329.55	-69.79	287.561	-17.841	-2980.721	0.00007042
067	-0.00023025 SLD	Si	-871.14	594.94	-492.368	113.072	-2972.230	0.00004983
068	-0.00019709 SLD	Si	-830.55	-153.76	-463.193	-135.822	-2961.979	0.00000662
069	-0.00017639 SLD	Si	1277.86	666.67	252.227	229.336	-2990.308	0.00006450
070	-0.00020760 SLD	Si	1333.49	-62.34	293.719	-16.123	-2981.384	0.00007047
071	-0.00023086 SLD	Si	-875.59	587.61	-498.526	111.354	-2971.567	0.00005044
072	-0.00019714 SLD	Si	-826.10	-146.25	-457.035	-134.104	-2962.642	0.00000601

073	-0.00017634 SLD	Si	1264.33	688.55	260.318	196.264	-2990.049	0.00006363
074	-0.00020940 SLD	Si	1312.03	-55.36	289.493	-52.630	-2979.798	0.00006922
075	-0.00022613 SLD	Si	-852.90	580.28	-494.301	147.862	-2973.152	0.00004571
076	-0.00019590 SLD	Si	-812.25	-168.25	-465.125	-101.033	-2962.902	0.00000250
077	-0.00017520 SLD	Si	1260.38	681.28	254.160	194.546	-2989.385	0.00006231
078	-0.00020886 SLD	Si	1315.98	-47.91	295.651	-50.912	-2980.460	0.00006927
079	-0.00022674 SLD	Si	-857.34	572.95	-500.459	146.144	-2972.490	0.00004632
080	-0.00019595 SLD	Si	-807.81	-160.73	-458.967	-99.314	-2963.564	0.00000189
081	-0.00017515 SLD	Si	478.93	1509.66	-38.416	480.137	-2996.373	0.00003696
082	-0.00021630 SLD	Si	629.81	-975.28	58.835	-349.511	-2962.201	0.00001131
083	-0.00019776 SLD	Si	-164.46	1487.68	-263.642	444.742	-2990.749	0.00001733
084	-0.00017696 SLD	Si	-20.73	-1002.24	-166.391	-384.906	-2956.579	
085	-0.00000176 SLD	-0.00013780 Si	473.62	1514.11	-37.836	469.700	-2996.093	0.00003630
086	-0.00021668 SLD	Si	624.46	-971.01	59.414	-359.948	-2961.924	0.00001087
087	-0.00019652 SLD	Si	-159.09	1483.22	-264.222	455.179	-2991.026	0.00001609
088	-0.00017651 SLD	Si	-15.31	-1006.52	-166.971	-374.468	-2956.856	
089	-0.00000138 SLD	-0.00013714 Si	465.21	1486.09	-58.943	474.410	-2994.164	0.00003254
090	-0.00021453 SLD	Si	643.56	-949.63	79.362	-343.784	-2964.411	0.00001069
091	-0.00019979 SLD	Si	-178.69	1464.05	-284.169	439.015	-2988.540	0.00001937
092	-0.00017633 SLD	Si	-6.47	-976.52	-145.864	-379.178	-2958.789	
093	-0.00000353 SLD	-0.00013338 Si	459.90	1490.54	-58.364	463.973	-2993.886	0.00003188
094	-0.00021490 SLD	Si	638.21	-945.36	79.942	-354.221	-2964.135	0.00001024
095	-0.00019856 SLD	Si	-173.30	1459.59	-284.749	449.452	-2988.818	0.00001813
096	-0.00017589 SLD	Si	-1.05	-980.79	-146.444	-368.742	-2959.065	
097	-0.00000315 SLO	-0.00013272 Si	1019.00	581.73	168.556	188.666	-2987.523	0.00003719
098	-0.00018405 SLO	Si	1055.03	3.33	191.064	-4.989	-2979.564	0.00003715
099	-0.00019574 SLO	Si	-595.20	521.41	-395.872	100.221	-2973.388	0.00001532
100	-0.00016382 SLO	Si	-563.33	-59.90	-373.364	-93.434	-2965.427	
101	-0.00001823 SLO	-0.00014780 Si	1015.84	576.10	163.707	187.321	-2987.007	0.00003616
102	-0.00018364 SLO	Si	1058.19	9.07	195.913	-3.645	-2980.081	0.00003719
103	-0.00019622 SLO	Si	-598.66	515.75	-400.721	98.876	-2972.870	0.00001580
104	-0.00016387 SLO	Si	-559.87	-54.12	-368.515	-92.090	-2965.947	
105	-0.00001872 SLO	-0.00014776 Si	1005.97	592.57	170.102	162.752	-2986.812	0.00003556
106	-0.00018500 SLO	Si	1041.97	14.07	192.610	-30.903	-2978.853	0.00003627
107	-0.00019267 SLO	Si	-581.73	510.54	-397.417	126.135	-2974.099	0.00001225
108	-0.00016295 SLO	Si	-549.83	-70.67	-374.909	-67.520	-2966.140	

109	-0.00002130 SLO	-0.00014693 Si	1002.81	586.94	165.253	161.407	-2986.293	0.00003453
110	-0.00018458 SLO	Si	1045.14	19.80	197.459	-29.559	-2979.371	0.00003632
111	-0.00019315 SLO	Si	-585.18	504.87	-402.266	124.790	-2973.581	0.00001273
112	-0.00016299 SLO	Si	-546.38	-64.89	-370.060	-66.175	-2966.658	
113	-0.00002179 SLO	-0.00014688 Si	415.66	1232.76	-55.252	383.641	-2991.863	0.00001666
114	-0.00019182 SLO	Si	530.93	-698.64	19.773	-261.876	-2965.328	
115	-0.00000890 SLO	-0.00017276 Si	-67.15	1215.68	-224.581	357.108	-2987.622	
116	-0.00000766 SLO	-0.00015873 Si	43.96	-718.65	-149.555	-288.410	-2961.088	
117	-0.00002624 SLO	-0.00011951 Si	411.71	1236.06	-54.789	375.867	-2991.650	0.00001617
118	-0.00019210 SLO	Si	526.96	-695.46	20.237	-269.650	-2965.115	
119	-0.00000916 SLO	-0.00017184 Si	-63.16	1212.38	-225.044	364.882	-2987.836	
120	-0.00000858 SLO	-0.00015844 Si	47.97	-721.84	-150.019	-280.635	-2961.301	
121	-0.00002595 SLO	-0.00012043 Si	404.79	1214.41	-71.416	379.158	-2990.135	0.00001323
122	-0.00019044 SLO	Si	541.82	-679.02	35.937	-257.393	-2967.056	
123	-0.00000874 SLO	-0.00017436 Si	-78.31	1197.29	-240.745	352.625	-2985.896	
124	-0.00000606 SLO	-0.00015735 Si	55.15	-698.99	-133.391	-283.927	-2962.815	
125	-0.00002761 SLO	-0.00012111 Si	400.84	1217.70	-70.953	371.384	-2989.924	0.00001274
126	-0.00019073 SLO	Si	537.85	-675.84	36.401	-265.168	-2966.842	
127	-0.00000901 SLO	-0.00017344 Si	-74.33	1193.99	-241.208	360.399	-2986.110	
128	-0.00000698 SLO	-0.00015707 Si	59.16	-702.17	-133.855	-276.153	-2963.029	
129	-0.00002733 SLE rare	-0.00012203 No	239.08	265.31	-110.490	50.819	-2833.429	
130	-0.00004481 SLE rare	-0.00010445 No	238.34	264.32	-110.490	50.819	-2842.556	
131	-0.00004505 SLE rare	-0.00010468 No	222.81	261.26	-110.490	50.819	-3071.840	
132	-0.00005027 SLE rare	-0.00011196 No	222.17	260.36	-110.490	50.819	-3080.968	
133	-0.00005051 SLE rare	-0.00011219 No	237.60	263.33	-110.490	50.819	-2851.686	
134	-0.00004528 SLE rare	-0.00010491 No	227.42	262.41	-110.490	50.819	-3000.318	
135	-0.00004864 SLE rare	-0.00010971 No	226.09	260.56	-110.490	50.819	-3018.575	
136	-0.00004911 SLE rare	-0.00011017 No	223.32	263.13	-110.490	50.819	-3044.917	
137	-0.00004957 SLE rare	-0.00011098 No	222.68	262.21	-110.490	50.819	-3054.046	
138	-0.00004980 SLE rare	-0.00011121 No	213.25	260.53	-110.490	50.819	-3211.806	
139	-0.00005339 SLE rare	-0.00011624 No	212.66	259.67	-110.490	50.819	-3220.931	
140	-0.00005363 SLE rare	-0.00011647 No	233.52	267.51	-134.750	60.430	-2833.430	
141	-0.00004522 SLE rare	-0.00010424 No	232.79	266.51	-134.750	60.430	-2842.558	
142	-0.00004546 SLE rare	-0.00010447 No	222.16	264.49	-134.750	60.430	-3000.318	
143	-0.00004905 SLE rare	-0.00010950 No	221.51	263.55	-134.750	60.430	-3009.445	
144	-0.00004928 SLE freq	-0.00010973 No	240.94	264.57	-102.404	47.616	-2833.428	

145	-0.00004467 SLE freq	-0.00010452 No	229.17	261.71	-102.404	47.616	-3000.317
146	-0.00004850 SLE freq	-0.00010978 No	240.64	264.18	-102.404	47.616	-2837.080
147	-0.00004477 SLE freq	-0.00010461 No	230.77	262.10	-102.404	47.616	-2976.477
148	-0.00004795 SLE freq	-0.00010903 No	230.50	261.73	-102.404	47.616	-2980.128
149	-0.00004805 SLE freq	-0.00010912 No	239.08	265.31	-110.490	50.819	-2833.429
150	-0.00004481 SLE freq	-0.00010445 No	229.01	262.80	-110.490	50.819	-2976.475
151	-0.00004809 SLE q.p.	-0.00010896 No	240.94	264.57	-102.404	47.616	-2833.428
152	-0.00004467 SLE q.p.	-0.00010452 No	230.77	262.10	-102.404	47.616	-2976.477
	-0.00004795	-0.00010903					

### VALORI DI CALCOLO DELLA PORTANZA PER FONDAZIONI SUPERFICIALI

Ai fini dei calcoli di portanza le sollecitazioni sismiche saranno considerate moltiplicate per un coef.  $\Gamma_{RD} = 1.10$

La verifica nei confronti dello Stato Limite di Danno viene eseguita determinando il carico limite della fondazione per le corrispondenti azioni di SLD, impiegando i coefficienti parziali  $\gamma_R$  di cui alla tabella 7.11.II.

#### Macro platea: 3

Cmb. n.	$Q_{max}$ kN/mm <sup>2</sup>	$Q_{lim}$ kN/mm <sup>2</sup>	$Q_{max}/Q_{lim}$	TL daN	TLlim kN	TL/TLlim	TB kN	TBlim kN	TB/TBlim	Stato
3	0.00014254	0.00035462	0.402	70.550	1308.192	0.054	154.958	1354.330	0.114	Ok
4	0.00014289	0.00035471	0.403	70.550	1312.624	0.054	154.958	1358.762	0.114	Ok
5	0.00015380	0.00035692	0.431	70.550	1423.957	0.050	154.958	1470.095	0.105	Ok
6	0.00015415	0.00035700	0.432	70.550	1428.389	0.049	154.958	1474.527	0.105	Ok
7	0.00009735	0.00034667	0.281	62.032	923.374	0.067	138.793	969.512	0.143	Ok
8	0.00009770	0.00034685	0.282	62.032	927.805	0.067	138.793	973.944	0.143	Ok
9	0.00010862	0.00035678	0.310	62.032	1039.138	0.060	138.793	1085.277	0.128	Ok
10	0.00010896	0.00035092	0.310	62.032	1043.571	0.059	138.793	1089.709	0.127	Ok
11	0.00014323	0.00035481	0.404	70.550	1317.056	0.054	154.958	1363.194	0.114	Ok
12	0.00015042	0.00035627	0.422	70.550	1389.227	0.051	154.958	1435.365	0.108	Ok
13	0.00015111	0.00035644	0.424	70.550	1398.092	0.050	154.958	1444.230	0.107	Ok
14	0.00009804	0.00034702	0.283	62.032	932.238	0.067	138.793	978.376	0.142	Ok
15	0.00010524	0.00034965	0.301	62.032	1004.409	0.062	138.793	1050.547	0.132	Ok
16	0.00010593	0.00034995	0.303	62.032	1013.273	0.061	138.793	1059.412	0.131	Ok
17	0.00015234	0.00035668	0.427	70.550	1410.884	0.050	154.958	1457.022	0.106	Ok
18	0.00015268	0.00035676	0.428	70.550	1415.316	0.050	154.958	1461.454	0.106	Ok
19	0.00016022	0.00035810	0.447	70.550	1491.920	0.047	154.958	1538.058	0.101	Ok
20	0.00016057	0.00035818	0.448	70.550	1496.352	0.047	154.958	1542.490	0.100	Ok
21	0.00010715	0.00035037	0.306	62.032	1026.066	0.060	138.793	1072.204	0.129	Ok
22	0.00010750	0.00035051	0.307	62.032	1030.498	0.060	138.793	1076.636	0.129	Ok
23	0.00011503	0.00035278	0.326	62.032	1107.102	0.056	138.793	1153.240	0.120	Ok
24	0.00011538	0.00035291	0.327	62.032	1111.534	0.056	138.793	1157.672	0.120	Ok
25	0.00014222	0.00034829	0.408	84.967	1308.191	0.065	191.347	1354.329	0.141	Ok
26	0.00014257	0.00034841	0.409	84.967	1312.625	0.065	191.348	1358.763	0.141	Ok
27	0.00015011	0.00035031	0.428	84.967	1389.227	0.061	191.347	1435.365	0.133	Ok
28	0.00015045	0.00035042	0.429	84.967	1393.660	0.061	191.347	1439.798	0.133	Ok
29	0.00009704	0.00033765	0.287	76.449	923.374	0.083	175.182	969.512	0.181	Ok
30	0.00009738	0.00033787	0.288	76.449	927.806	0.082	175.182	973.944	0.180	Ok
31	0.00010492	0.00034136	0.307	76.449	1004.409	0.076	175.182	1050.547	0.167	Ok
32	0.00010526	0.00034155	0.308	76.449	1008.841	0.076	175.182	1054.980	0.166	Ok
33	0.00024730	0.00030157	0.820	283.489	1015.816	0.279	366.545	1051.306	0.349	Ok
34	0.00028094	0.00029405	0.955	21.923	1012.189	0.022	401.817	1047.679	0.384	Ok
35	0.00024437	0.00024958	0.979	126.678	1008.677	0.126	627.106	1044.168	0.601	Ok
36	0.00021900	0.00025581	0.856	178.734	1005.050	0.178	591.833	1040.541	0.569	Ok
37	0.00024666	0.00030302	0.814	281.422	1015.577	0.277	359.452	1051.068	0.342	Ok
38	0.00028167	0.00029262	0.963	19.856	1012.428	0.020	408.911	1047.919	0.390	Ok
39	0.00024439	0.00024822	0.985	124.611	1008.438	0.124	634.199	1043.929	0.608	Ok
40	0.00021898	0.00025719	0.851	176.667	1005.290	0.176	584.740	1040.781	0.562	Ok
41	0.00024894	0.00030114	0.827	236.765	1015.469	0.233	368.512	1050.960	0.351	Ok
42	0.00027545	0.00029361	0.938	68.648	1011.842	0.068	403.784	1047.333	0.386	Ok
43	0.00024271	0.00024925	0.974	173.402	1009.023	0.172	629.073	1044.514	0.602	Ok
44	0.00021734	0.00025548	0.851	132.010	1005.397	0.131	593.800	1040.888	0.570	Ok



117	0.00021131	0.00030359	0.696	413.453	1015.345	0.407	60.268	1050.836	0.057	Ok
118	0.00018902	0.00032447	0.583	296.615	1006.755	0.295	22.260	1042.246	0.021	Ok
119	0.00017429	0.00030568	0.570	401.370	1014.110	0.396	247.549	1049.601	0.236	Ok
120	0.00013247	0.00032214	0.411	308.699	1005.521	0.307	165.021	1041.012	0.159	Ok
121	0.00020949	0.00030290	0.692	417.074	1014.855	0.411	78.558	1050.346	0.075	Ok
122	0.00019180	0.00032704	0.586	283.133	1007.384	0.281	39.531	1042.875	0.038	Ok
123	0.00017309	0.00030807	0.562	387.887	1013.482	0.383	264.819	1048.973	0.252	Ok
124	0.00013322	0.00032149	0.414	312.320	1006.011	0.310	146.731	1041.502	0.141	Ok
125	0.00020980	0.00030444	0.689	408.523	1014.786	0.403	78.048	1050.277	0.074	Ok
126	0.00019079	0.00032543	0.586	291.684	1007.314	0.290	40.041	1042.805	0.038	Ok
127	0.00017277	0.00030653	0.564	396.439	1013.552	0.391	265.329	1049.043	0.253	Ok
128	0.00013424	0.00032309	0.415	303.768	1006.080	0.302	147.241	1041.571	0.141	Ok

Risultati più gravosi per cmb. di tipo **SLU STR**:

Sgm. Lt (tens. litostatica) = -0.00002880 kN/mm<sup>2</sup>

Qlim = Qlim c + Qlim q + Qlim g + Qres P = 0.00000000 + 0.00025802 + 0.00008755 + 0.00001260

Qmax / Qlim = 0.00016057 / 0.00035818 = 0.448 Ok (Cmb. n. 020)

TB / TBlim = 175.182 / 969.512 = 0.181 Ok (Cmb. n. 029)

TL / TLim = 76.449 / 923.374 = 0.083 Ok (Cmb. n. 029)

Risultati più gravosi per cmb. di tipo **SLV A1 sism.**:

Sgm. Lt (tens. litostatica) = -0.00002880 kN/mm<sup>2</sup>

Qlim = Qlim c + Qlim q + Qlim g + Qres P = 0.00000000 + 0.00018458 + 0.00005104 + 0.00001260

Qmax / Qlim = 0.00024439 / 0.00024822 = 0.985 Ok (Cmb. n. 039)

TB / TBlim = 636.166 / 1044.275 = 0.609 Ok (Cmb. n. 047)

TL / TLim = 584.919 / 1017.548 = 0.575 Ok (Cmb. n. 049)

Risultati più gravosi per cmb. di tipo **SLD sism.**:

Sgm. Lt (tens. litostatica) = -0.00002880 kN/mm<sup>2</sup>

Qlim = Qlim c + Qlim q + Qlim g + Qres P = 0.00000000 + 0.00020999 + 0.00006082 + 0.00001260

Qmax / Qlim = 0.00023793 / 0.00028341 = 0.840 Ok (Cmb. n. 081)

TB / TBlim = 550.505 / 1044.634 = 0.527 Ok (Cmb. n. 079)

TL / TLim = 528.151 / 1016.874 = 0.519 Ok (Cmb. n. 081)

## VALORI DI CALCOLO DEI CEDIMENTI PER FONDAZIONI SUPERFICIALI

### Elemento Platea n. 163

Cmb. n.	Tipo	Car. Netto kN/mm <sup>2</sup>	Prof. mm	Sigm.Z/Sigm.Lit. %	Cedim.Edom. mm
129	SLE rare	-0.00002178	435.0	18.562	-8.96
130	SLE rare	-0.00002202	435.0	18.720	-9.05
131	SLE rare	-0.00002710	510.0	18.857	-13.70
132	SLE rare	-0.00002734	510.0	18.983	-13.81
133	SLE rare	-0.00002226	435.0	18.878	-9.14
134	SLE rare	-0.00002550	460.0	19.602	-11.05
135	SLE rare	-0.00002598	460.0	19.888	-11.24
136	SLE rare	-0.00002662	510.0	18.522	-13.45
137	SLE rare	-0.00002686	510.0	18.648	-13.56
138	SLE rare	-0.00003035	560.0	18.427	-17.26
139	SLE rare	-0.00003059	560.0	18.536	-17.38
140	SLE rare	-0.00002202	435.0	18.641	-9.03
141	SLE rare	-0.00002226	435.0	18.799	-9.12
142	SLE rare	-0.00002575	460.0	19.666	-11.13
143	SLE rare	-0.00002598	460.0	19.809	-11.22
144	SLE freq	-0.00002170	435.0	18.536	-8.93
145	SLE freq	-0.00002542	450.0	19.980	-10.76
146	SLE freq	-0.00002179	435.0	18.599	-8.97
147	SLE freq	-0.00002489	450.0	19.638	-10.55
148	SLE freq	-0.00002499	450.0	19.697	-10.59
149	SLE freq	-0.00002178	435.0	18.562	-8.96
150	SLE freq	-0.00002497	450.0	19.661	-10.57
151	SLE q.p.	-0.00002170	435.0	18.536	-8.93
152	SLE q.p.	-0.00002489	450.0	19.638	-10.55

Cedimento massimo in cmb n. 139 = -17.38 mm

### Elemento Platea n. 164

Cmb. n.	Tipo	Car. Netto kN/mm <sup>2</sup>	Prof. mm	Sigm.Z/Sigm.Lit. %	Cedim.Edom. mm
129	SLE rare	-0.00002537	510.0	18.909	-13.66

130	SLE rare	-0.00002561	510.0	19.051	-13.78
131	SLE rare	-0.00003068	560.0	19.603	-18.60
132	SLE rare	-0.00003091	560.0	19.724	-18.73
133	SLE rare	-0.00002585	510.0	19.193	-13.90
134	SLE rare	-0.00002909	560.0	18.739	-17.68
135	SLE rare	-0.00002956	560.0	18.982	-17.95
136	SLE rare	-0.00003018	560.0	19.272	-18.28
137	SLE rare	-0.00003041	560.0	19.393	-18.41
138	SLE rare	-0.00003389	630.0	17.936	-22.51
139	SLE rare	-0.00003413	630.0	18.035	-22.66
140	SLE rare	-0.00002551	510.0	18.937	-13.72
141	SLE rare	-0.00002575	510.0	19.079	-13.84
142	SLE rare	-0.00002922	560.0	18.757	-17.74
143	SLE rare	-0.00002946	560.0	18.878	-17.87
144	SLE freq	-0.00002533	510.0	18.900	-13.65
145	SLE freq	-0.00002904	560.0	18.733	-17.66
146	SLE freq	-0.00002542	510.0	18.957	-13.69
147	SLE freq	-0.00002851	560.0	18.446	-17.36
148	SLE freq	-0.00002860	560.0	18.494	-17.41
149	SLE freq	-0.00002537	510.0	18.909	-13.66
150	SLE freq	-0.00002855	560.0	18.451	-17.38
151	SLE q.p.	-0.00002533	510.0	18.900	-13.65
152	SLE q.p.	-0.00002851	560.0	18.446	-17.36

Cedimento massimo in cmb n. 139 = -22.66 mm

#### Elemento Platea n. 165

Cmb. n.	Tipo	Car. Netto kN/mm <sup>2</sup>	Prof. mm	Sigm.Z/Sigm.Lit. %	Cedim.Edom. mm
129	SLE rare	-0.00002908	560.0	18.884	-18.03
130	SLE rare	-0.00002931	560.0	19.014	-18.17
131	SLE rare	-0.00003438	630.0	18.248	-23.38
132	SLE rare	-0.00003461	630.0	18.353	-23.53
133	SLE rare	-0.00002955	560.0	19.144	-18.31
134	SLE rare	-0.00003279	580.0	19.947	-21.16
135	SLE rare	-0.00003326	630.0	17.699	-22.64
136	SLE rare	-0.00003385	630.0	17.953	-23.01
137	SLE rare	-0.00003409	630.0	18.058	-23.16
138	SLE rare	-0.00003756	630.0	19.723	-25.44
139	SLE rare	-0.00003780	630.0	19.828	-25.60
140	SLE rare	-0.00002911	560.0	18.880	-18.05
141	SLE rare	-0.00002935	560.0	19.010	-18.19
142	SLE rare	-0.00003282	580.0	19.943	-21.17
143	SLE rare	-0.00003306	630.0	17.589	-22.50
144	SLE freq	-0.00002907	560.0	18.885	-18.03
145	SLE freq	-0.00003278	580.0	19.948	-21.16
146	SLE freq	-0.00002916	560.0	18.937	-18.09
147	SLE freq	-0.00003225	580.0	19.656	-20.83
148	SLE freq	-0.00003234	580.0	19.705	-20.88
149	SLE freq	-0.00002908	560.0	18.884	-18.03
150	SLE freq	-0.00003226	580.0	19.655	-20.83
151	SLE q.p.	-0.00002907	560.0	18.885	-18.03
152	SLE q.p.	-0.00003225	580.0	19.656	-20.83

Cedimento massimo in cmb n. 139 = -25.60 mm

#### Elemento Platea n. 166

Cmb. n.	Tipo	Car. Netto kN/mm <sup>2</sup>	Prof. mm	Sigm.Z/Sigm.Lit. %	Cedim.Edom. mm
129	SLE rare	-0.00003295	580.0	19.488	-21.22
130	SLE rare	-0.00003318	580.0	19.615	-21.37
131	SLE rare	-0.00003827	630.0	19.558	-25.93
132	SLE rare	-0.00003850	630.0	19.667	-26.09
133	SLE rare	-0.00003342	580.0	19.742	-21.51
134	SLE rare	-0.00003667	630.0	18.771	-24.86
135	SLE rare	-0.00003714	630.0	18.989	-25.17
136	SLE rare	-0.00003771	630.0	19.250	-25.54
137	SLE rare	-0.00003795	630.0	19.359	-25.69
138	SLE rare	-0.00004144	680.0	18.404	-29.33
139	SLE rare	-0.00004167	680.0	18.498	-29.49
140	SLE rare	-0.00003288	580.0	19.461	-21.18
141	SLE rare	-0.00003311	580.0	19.588	-21.33
142	SLE rare	-0.00003660	630.0	18.750	-24.82

143	SLE rare	-0.00003683	630.0	18.858	-24.98
144	SLE freq	-0.00003297	580.0	19.497	-21.23
145	SLE freq	-0.00003669	630.0	18.778	-24.87
146	SLE freq	-0.00003307	580.0	19.548	-21.29
147	SLE freq	-0.00003616	630.0	18.516	-24.52
148	SLE freq	-0.00003626	630.0	18.559	-24.58
149	SLE freq	-0.00003295	580.0	19.488	-21.22
150	SLE freq	-0.00003614	630.0	18.509	-24.50
151	SLE q.p.	-0.00003297	580.0	19.497	-21.23
152	SLE q.p.	-0.00003616	630.0	18.516	-24.52

Cedimento massimo in cmb n. 139 = -29.49 mm

#### Elemento Platea n. 167

Cmb. n.	Tipo	Car. Netto kN/mm <sup>2</sup>	Prof. mm	Sigm.Z/Sigm.Lit. %	Cedim.Edom. mm
129	SLE rare	-0.00003704	630.0	17.731	-24.58
130	SLE rare	-0.00003728	630.0	17.841	-24.73
131	SLE rare	-0.00004241	680.0	17.690	-29.43
132	SLE rare	-0.00004264	680.0	17.785	-29.59
133	SLE rare	-0.00003752	630.0	17.950	-24.89
134	SLE rare	-0.00004080	630.0	19.582	-27.10
135	SLE rare	-0.00004127	630.0	19.801	-27.41
136	SLE rare	-0.00004182	680.0	17.419	-29.00
137	SLE rare	-0.00004206	680.0	17.513	-29.16
138	SLE rare	-0.00004557	680.0	19.025	-31.64
139	SLE rare	-0.00004581	680.0	19.119	-31.80
140	SLE rare	-0.00003687	630.0	17.693	-24.48
141	SLE rare	-0.00003710	630.0	17.803	-24.64
142	SLE rare	-0.00004062	630.0	19.543	-27.01
143	SLE rare	-0.00004086	630.0	19.653	-27.16
144	SLE freq	-0.00003710	630.0	17.744	-24.61
145	SLE freq	-0.00004086	630.0	19.594	-27.13
146	SLE freq	-0.00003720	630.0	17.788	-24.67
147	SLE freq	-0.00004032	630.0	19.330	-26.77
148	SLE freq	-0.00004041	630.0	19.374	-26.84
149	SLE freq	-0.00003704	630.0	17.731	-24.58
150	SLE freq	-0.00004026	630.0	19.317	-26.74
151	SLE q.p.	-0.00003710	630.0	17.744	-24.61
152	SLE q.p.	-0.00004032	630.0	19.330	-26.77

Cedimento massimo in cmb n. 139 = -31.80 mm

#### Elemento Platea n. 168

Cmb. n.	Tipo	Car. Netto kN/mm <sup>2</sup>	Prof. mm	Sigm.Z/Sigm.Lit. %	Cedim.Edom. mm
129	SLE rare	-0.00004139	630.0	18.015	-26.42
130	SLE rare	-0.00004163	630.0	18.122	-26.57
131	SLE rare	-0.00004683	680.0	17.841	-31.26
132	SLE rare	-0.00004707	680.0	17.933	-31.42
133	SLE rare	-0.00004187	630.0	18.229	-26.73
134	SLE rare	-0.00004520	630.0	19.828	-28.93
135	SLE rare	-0.00004567	680.0	17.350	-30.46
136	SLE rare	-0.00004621	680.0	17.573	-30.82
137	SLE rare	-0.00004644	680.0	17.665	-30.98
138	SLE rare	-0.00005001	680.0	19.149	-33.44
139	SLE rare	-0.00005025	680.0	19.242	-33.60
140	SLE rare	-0.00004111	630.0	17.962	-26.27
141	SLE rare	-0.00004135	630.0	18.069	-26.43
142	SLE rare	-0.00004492	630.0	19.775	-28.78
143	SLE rare	-0.00004515	630.0	19.882	-28.94
144	SLE freq	-0.00004149	630.0	18.033	-26.47
145	SLE freq	-0.00004529	630.0	19.846	-28.98
146	SLE freq	-0.00004158	630.0	18.076	-26.53
147	SLE freq	-0.00004475	630.0	19.587	-28.62
148	SLE freq	-0.00004484	630.0	19.630	-28.68
149	SLE freq	-0.00004139	630.0	18.015	-26.42
150	SLE freq	-0.00004465	630.0	19.569	-28.57
151	SLE q.p.	-0.00004149	630.0	18.033	-26.47
152	SLE q.p.	-0.00004475	630.0	19.587	-28.62

Cedimento massimo in cmb n. 139 = -33.60 mm

#### Elemento Platea n. 169



Cmb. n.	Tipo	Car. Netto kN/mm <sup>2</sup>	Prof. mm	Sigm.Z/Sigm.Lit. %	Cedim.Edom. mm
129	SLE rare	-0.00004601	630.0	17.721	-27.61
130	SLE rare	-0.00004625	630.0	17.823	-27.76
131	SLE rare	-0.00005154	680.0	17.493	-32.34
132	SLE rare	-0.00005178	680.0	17.581	-32.49
133	SLE rare	-0.00004649	630.0	17.924	-27.91
134	SLE rare	-0.00004988	630.0	19.447	-30.06
135	SLE rare	-0.00004567	680.0	17.350	-30.46
136	SLE rare	-0.00004621	680.0	17.573	-30.82
137	SLE rare	-0.00004644	680.0	17.665	-30.98
138	SLE rare	-0.00005475	680.0	18.742	-34.45
139	SLE rare	-0.00005499	680.0	18.830	-34.60
140	SLE rare	-0.00004561	630.0	17.656	-27.42
141	SLE rare	-0.00004585	630.0	17.758	-27.57
142	SLE rare	-0.00004949	630.0	19.382	-29.86
143	SLE rare	-0.00004973	630.0	19.484	-30.01
144	SLE freq	-0.00004614	630.0	17.743	-27.67
145	SLE freq	-0.00005001	630.0	19.469	-30.12
146	SLE freq	-0.00004623	630.0	17.783	-27.73
147	SLE freq	-0.00004946	630.0	19.222	-29.77
148	SLE freq	-0.00004955	630.0	19.263	-29.83
149	SLE freq	-0.00004601	630.0	17.721	-27.61
150	SLE freq	-0.00004933	630.0	19.201	-29.71
151	SLE q.p.	-0.00004614	630.0	17.743	-27.67
152	SLE q.p.	-0.00004946	630.0	19.222	-29.77

Cedimento massimo in cmb n. 139 = -34.60 mm

#### Elemento Platea n. 170

Cmb. n.	Tipo	Car. Netto kN/mm <sup>2</sup>	Prof. mm	Sigm.Z/Sigm.Lit. %	Cedim.Edom. mm
129	SLE rare	-0.00004601	630.0	17.721	-27.61
130	SLE rare	-0.00004625	630.0	17.823	-27.76
131	SLE rare	-0.00005154	680.0	17.493	-32.34
132	SLE rare	-0.00005178	680.0	17.581	-32.49
133	SLE rare	-0.00004649	630.0	17.924	-27.91
134	SLE rare	-0.00004988	630.0	19.447	-30.06
135	SLE rare	-0.00005036	630.0	19.650	-30.35
136	SLE rare	-0.00005087	630.0	19.890	-30.68
137	SLE rare	-0.00005111	630.0	19.992	-30.83
138	SLE rare	-0.00005475	680.0	18.742	-34.45
139	SLE rare	-0.00005499	680.0	18.830	-34.60
140	SLE rare	-0.00004561	630.0	17.656	-27.42
141	SLE rare	-0.00004585	630.0	17.758	-27.57
142	SLE rare	-0.00004949	630.0	19.382	-29.86
143	SLE rare	-0.00004973	630.0	19.484	-30.01
144	SLE freq	-0.00004614	630.0	17.743	-27.67
145	SLE freq	-0.00005001	630.0	19.469	-30.12
146	SLE freq	-0.00004623	630.0	17.783	-27.73
147	SLE freq	-0.00004946	630.0	19.222	-29.77
148	SLE freq	-0.00004955	630.0	19.263	-29.83
149	SLE freq	-0.00004601	630.0	17.721	-27.61
150	SLE freq	-0.00004933	630.0	19.201	-29.71
151	SLE q.p.	-0.00004614	630.0	17.743	-27.67
152	SLE q.p.	-0.00004946	630.0	19.222	-29.77

Cedimento massimo in cmb n. 139 = -34.60 mm

#### Elemento Platea n. 171

Cmb. n.	Tipo	Car. Netto kN/mm <sup>2</sup>	Prof. mm	Sigm.Z/Sigm.Lit. %	Cedim.Edom. mm
129	SLE rare	-0.00005085	580.0	19.526	-26.42
130	SLE rare	-0.00005109	580.0	19.633	-26.56
131	SLE rare	-0.00005651	630.0	19.106	-30.85
132	SLE rare	-0.00005675	630.0	19.200	-30.99
133	SLE rare	-0.00005134	580.0	19.741	-26.69
134	SLE rare	-0.00005481	630.0	18.423	-29.86
135	SLE rare	-0.00005530	630.0	18.610	-30.14
136	SLE rare	-0.00005579	630.0	18.830	-30.44
137	SLE rare	-0.00005604	630.0	18.924	-30.58
138	SLE rare	-0.00005975	680.0	17.807	-33.99
139	SLE rare	-0.00006000	680.0	17.889	-34.14

140	SLE rare	-0.00005034	580.0	19.432	-26.21
141	SLE rare	-0.00005059	580.0	19.539	-26.34
142	SLE rare	-0.00005430	630.0	18.352	-29.64
143	SLE rare	-0.00005455	630.0	18.446	-29.78
144	SLE freq	-0.00005102	580.0	19.557	-26.50
145	SLE freq	-0.00005498	630.0	18.447	-29.94
146	SLE freq	-0.00005112	580.0	19.600	-26.55
147	SLE freq	-0.00005441	630.0	18.219	-29.61
148	SLE freq	-0.00005451	630.0	18.257	-29.67
149	SLE freq	-0.00005085	580.0	19.526	-26.42
150	SLE freq	-0.00005425	630.0	18.196	-29.54
151	SLE q.p.	-0.00005102	580.0	19.557	-26.50
152	SLE q.p.	-0.00005441	630.0	18.219	-29.61

Cedimento massimo in cmb n. 139 = -34.14 mm

#### Elemento Platea n. 172

Cmb. n.	Tipo	Car. Netto kN/mm <sup>2</sup>	Prof. mm	Sigm.Z/Sigm.Lit. %	Cedim.Edom. mm
129	SLE rare	-0.00002052	460.0	19.888	-10.08
130	SLE rare	-0.00002075	510.0	18.370	-12.13
131	SLE rare	-0.00002579	560.0	19.280	-16.89
132	SLE rare	-0.00002602	560.0	19.403	-17.03
133	SLE rare	-0.00002098	510.0	18.513	-12.25
134	SLE rare	-0.00002421	560.0	18.397	-15.98
135	SLE rare	-0.00002467	560.0	18.643	-16.24
136	SLE rare	-0.00002522	560.0	18.937	-16.55
137	SLE rare	-0.00002545	560.0	19.060	-16.69
138	SLE rare	-0.00002891	630.0	17.901	-20.78
139	SLE rare	-0.00002914	630.0	18.001	-20.92
140	SLE rare	-0.00002079	460.0	19.972	-10.17
141	SLE rare	-0.00002102	510.0	18.431	-12.23
142	SLE rare	-0.00002447	560.0	18.439	-16.09
143	SLE rare	-0.00002470	560.0	18.563	-16.22
144	SLE freq	-0.00002043	460.0	19.860	-10.05
145	SLE freq	-0.00002412	560.0	18.382	-15.94
146	SLE freq	-0.00002052	460.0	19.926	-10.09
147	SLE freq	-0.00002359	560.0	18.088	-15.64
148	SLE freq	-0.00002368	560.0	18.137	-15.69
149	SLE freq	-0.00002052	460.0	19.888	-10.08
150	SLE freq	-0.00002368	560.0	18.102	-15.68
151	SLE q.p.	-0.00002043	460.0	19.860	-10.05
152	SLE q.p.	-0.00002359	560.0	18.088	-15.64

Cedimento massimo in cmb n. 139 = -20.92 mm

#### Elemento Platea n. 173

Cmb. n.	Tipo	Car. Netto kN/mm <sup>2</sup>	Prof. mm	Sigm.Z/Sigm.Lit. %	Cedim.Edom. mm
129	SLE rare	-0.00002386	560.0	19.096	-16.83
130	SLE rare	-0.00002409	560.0	19.234	-16.97
131	SLE rare	-0.00002906	630.0	18.717	-22.38
132	SLE rare	-0.00002929	630.0	18.828	-22.53
133	SLE rare	-0.00002432	560.0	19.371	-17.12
134	SLE rare	-0.00002750	630.0	17.912	-21.28
135	SLE rare	-0.00002796	630.0	18.134	-21.59
136	SLE rare	-0.00002850	630.0	18.403	-21.97
137	SLE rare	-0.00002873	630.0	18.514	-22.12
138	SLE rare	-0.00003214	680.0	17.892	-25.77
139	SLE rare	-0.00003237	680.0	17.988	-25.94
140	SLE rare	-0.00002403	560.0	19.123	-16.90
141	SLE rare	-0.00002425	560.0	19.261	-17.05
142	SLE rare	-0.00002767	630.0	17.928	-21.35
143	SLE rare	-0.00002789	630.0	18.039	-21.51
144	SLE freq	-0.00002380	560.0	19.087	-16.80
145	SLE freq	-0.00002745	630.0	17.907	-21.25
146	SLE freq	-0.00002390	560.0	19.142	-16.86
147	SLE freq	-0.00002693	630.0	17.639	-20.89
148	SLE freq	-0.00002702	630.0	17.683	-20.95
149	SLE freq	-0.00002386	560.0	19.096	-16.83
150	SLE freq	-0.00002698	630.0	17.644	-20.91
151	SLE q.p.	-0.00002380	560.0	19.087	-16.80
152	SLE q.p.	-0.00002693	630.0	17.639	-20.89

Cedimento massimo in cmb n. 139 = -25.94 mm

**Elemento Platea n. 174**

Cmb. n.	Tipo	Car. Netto kN/mm <sup>2</sup>	Prof. mm	Sigm.Z/Sigm.Lit. %	Cedim.Edom. mm
129	SLE rare	-0.00002739	630.0	17.795	-21.66
130	SLE rare	-0.00002762	630.0	17.914	-21.82
131	SLE rare	-0.00003255	680.0	18.054	-26.76
132	SLE rare	-0.00003278	680.0	18.155	-26.93
133	SLE rare	-0.00002784	630.0	18.032	-21.99
134	SLE rare	-0.00003100	630.0	19.801	-24.35
135	SLE rare	-0.00003146	680.0	17.514	-25.90
136	SLE rare	-0.00003199	680.0	17.763	-26.31
137	SLE rare	-0.00003221	680.0	17.864	-26.48
138	SLE rare	-0.00003560	680.0	19.497	-29.12
139	SLE rare	-0.00003583	680.0	19.598	-29.29
140	SLE rare	-0.00002746	630.0	17.795	-21.69
141	SLE rare	-0.00002768	630.0	17.913	-21.85
142	SLE rare	-0.00003107	630.0	19.801	-24.37
143	SLE rare	-0.00003130	630.0	19.919	-24.54
144	SLE freq	-0.00002737	630.0	17.795	-21.65
145	SLE freq	-0.00003098	630.0	19.801	-24.34
146	SLE freq	-0.00002746	630.0	17.843	-21.72
147	SLE freq	-0.00003047	630.0	19.515	-23.95
148	SLE freq	-0.00003056	630.0	19.562	-24.02
149	SLE freq	-0.00002739	630.0	17.795	-21.66
150	SLE freq	-0.00003049	630.0	19.515	-23.96
151	SLE q.p.	-0.00002737	630.0	17.795	-21.65
152	SLE q.p.	-0.00003047	630.0	19.515	-23.95

Cedimento massimo in cmb n. 139 = -29.29 mm

**Elemento Platea n. 175**

Cmb. n.	Tipo	Car. Netto kN/mm <sup>2</sup>	Prof. mm	Sigm.Z/Sigm.Lit. %	Cedim.Edom. mm
129	SLE rare	-0.00003122	630.0	19.187	-24.39
130	SLE rare	-0.00003144	630.0	19.310	-24.56
131	SLE rare	-0.00003638	680.0	19.205	-29.68
132	SLE rare	-0.00003661	680.0	19.310	-29.85
133	SLE rare	-0.00003167	630.0	19.432	-24.73
134	SLE rare	-0.00003484	680.0	18.437	-28.44
135	SLE rare	-0.00003528	680.0	18.646	-28.79
136	SLE rare	-0.00003581	680.0	18.903	-29.20
137	SLE rare	-0.00003603	680.0	19.007	-29.38
138	SLE rare	-0.00003942	730.0	18.026	-33.40
139	SLE rare	-0.00003965	730.0	18.116	-33.58
140	SLE rare	-0.00003119	630.0	19.169	-24.36
141	SLE rare	-0.00003141	630.0	19.291	-24.53
142	SLE rare	-0.00003480	680.0	18.422	-28.41
143	SLE rare	-0.00003503	680.0	18.527	-28.59
144	SLE freq	-0.00003123	630.0	19.194	-24.40
145	SLE freq	-0.00003485	680.0	18.442	-28.45
146	SLE freq	-0.00003132	630.0	19.242	-24.47
147	SLE freq	-0.00003433	680.0	18.186	-28.04
148	SLE freq	-0.00003442	680.0	18.228	-28.11
149	SLE freq	-0.00003122	630.0	19.187	-24.39
150	SLE freq	-0.00003432	680.0	18.181	-28.03
151	SLE q.p.	-0.00003123	630.0	19.194	-24.40
152	SLE q.p.	-0.00003433	680.0	18.186	-28.04

Cedimento massimo in cmb n. 139 = -33.58 mm

**Elemento Platea n. 176**

Cmb. n.	Tipo	Car. Netto kN/mm <sup>2</sup>	Prof. mm	Sigm.Z/Sigm.Lit. %	Cedim.Edom. mm
129	SLE rare	-0.00003546	680.0	17.324	-28.11
130	SLE rare	-0.00003568	680.0	17.430	-28.29
131	SLE rare	-0.00004067	680.0	19.902	-32.27
132	SLE rare	-0.00004090	730.0	17.352	-33.72
133	SLE rare	-0.00003591	680.0	17.535	-28.47
134	SLE rare	-0.00003911	680.0	19.129	-31.02
135	SLE rare	-0.00003956	680.0	19.339	-31.37
136	SLE rare	-0.00004007	680.0	19.596	-31.78

137	SLE rare	-0.00004030	680.0	19.702	-31.96
138	SLE rare	-0.00004372	730.0	18.560	-36.05
139	SLE rare	-0.00004395	730.0	18.651	-36.23
140	SLE rare	-0.00003532	680.0	17.295	-28.03
141	SLE rare	-0.00003554	680.0	17.401	-28.20
142	SLE rare	-0.00003897	680.0	19.100	-30.93
143	SLE rare	-0.00003920	680.0	19.205	-31.11
144	SLE freq	-0.00003550	680.0	17.334	-28.14
145	SLE freq	-0.00003915	680.0	19.139	-31.05
146	SLE freq	-0.00003559	680.0	17.376	-28.21
147	SLE freq	-0.00003863	680.0	18.881	-30.64
148	SLE freq	-0.00003872	680.0	18.923	-30.71
149	SLE freq	-0.00003546	680.0	17.324	-28.11
150	SLE freq	-0.00003859	680.0	18.871	-30.61
151	SLE q.p.	-0.00003550	680.0	17.334	-28.14
152	SLE q.p.	-0.00003863	680.0	18.881	-30.64

Cedimento massimo in cmb n. 139 = -36.23 mm

#### Elemento Platea n. 177

Cmb. n.	Tipo	Car. Netto kN/mm <sup>2</sup>	Prof. mm	Sigm.Z/Sigm.Lit. %	Cedim.Edom. mm
129	SLE rare	-0.00004014	680.0	17.540	-30.23
130	SLE rare	-0.00004037	680.0	17.643	-30.41
131	SLE rare	-0.00004546	730.0	17.372	-35.64
132	SLE rare	-0.00004568	730.0	17.461	-35.82
133	SLE rare	-0.00004059	680.0	17.746	-30.58
134	SLE rare	-0.00004386	680.0	19.311	-33.13
135	SLE rare	-0.00004432	680.0	19.517	-33.47
136	SLE rare	-0.00004482	680.0	19.767	-33.87
137	SLE rare	-0.00004505	680.0	19.870	-34.04
138	SLE rare	-0.00004855	730.0	18.647	-38.13
139	SLE rare	-0.00004877	730.0	18.736	-38.31
140	SLE rare	-0.00003990	680.0	17.498	-30.09
141	SLE rare	-0.00004012	680.0	17.601	-30.26
142	SLE rare	-0.00004362	680.0	19.269	-32.98
143	SLE rare	-0.00004385	680.0	19.372	-33.15
144	SLE freq	-0.00004022	680.0	17.554	-30.28
145	SLE freq	-0.00004394	680.0	19.324	-33.18
146	SLE freq	-0.00004031	680.0	17.595	-30.35
147	SLE freq	-0.00004341	680.0	19.071	-32.76
148	SLE freq	-0.00004350	680.0	19.113	-32.83
149	SLE freq	-0.00004014	680.0	17.540	-30.23
150	SLE freq	-0.00004333	680.0	19.058	-32.71
151	SLE q.p.	-0.00004022	680.0	17.554	-30.28
152	SLE q.p.	-0.00004341	680.0	19.071	-32.76

Cedimento massimo in cmb n. 139 = -38.31 mm

#### Elemento Platea n. 178

Cmb. n.	Tipo	Car. Netto kN/mm <sup>2</sup>	Prof. mm	Sigm.Z/Sigm.Lit. %	Cedim.Edom. mm
129	SLE rare	-0.00004525	680.0	17.251	-31.58
130	SLE rare	-0.00004548	680.0	17.350	-31.75
131	SLE rare	-0.00004546	730.0	17.372	-35.64
132	SLE rare	-0.00004568	730.0	17.461	-35.82
133	SLE rare	-0.00004571	680.0	17.448	-31.92
134	SLE rare	-0.00004908	680.0	18.943	-34.40
135	SLE rare	-0.00004954	680.0	19.140	-34.74
136	SLE rare	-0.00005004	680.0	19.378	-35.11
137	SLE rare	-0.00005027	680.0	19.476	-35.28
138	SLE rare	-0.00005387	730.0	18.269	-39.27
139	SLE rare	-0.00005410	730.0	18.354	-39.45
140	SLE rare	-0.00004490	680.0	17.200	-31.38
141	SLE rare	-0.00004513	680.0	17.298	-31.55
142	SLE rare	-0.00004873	680.0	18.892	-34.20
143	SLE rare	-0.00004896	680.0	18.990	-34.37
144	SLE freq	-0.00004537	680.0	17.269	-31.64
145	SLE freq	-0.00004919	680.0	18.961	-34.47
146	SLE freq	-0.00004546	680.0	17.308	-31.71
147	SLE freq	-0.00004865	680.0	18.719	-34.06
148	SLE freq	-0.00004874	680.0	18.758	-34.13
149	SLE freq	-0.00004525	680.0	17.251	-31.58

150	SLE freq	-0.00004853	680.0	18.702	-34.00
151	SLE q.p.	-0.00004537	680.0	17.269	-31.64
152	SLE q.p.	-0.00004865	680.0	18.719	-34.06

Cedimento massimo in cmb n. 139 = -39.45 mm

#### Elemento Platea n. 179

Cmb. n.	Tipo	Car. Netto kN/mm <sup>2</sup>	Prof. mm	Sigm.Z/Sigm.Lit. %	Cedim.Edom. mm
129	SLE rare	-0.00004525	680.0	17.251	-31.58
130	SLE rare	-0.00004548	680.0	17.350	-31.75
131	SLE rare	-0.00005072	680.0	19.669	-35.61
132	SLE rare	-0.00005095	680.0	19.767	-35.78
133	SLE rare	-0.00004571	680.0	17.448	-31.92
134	SLE rare	-0.00004908	680.0	18.943	-34.40
135	SLE rare	-0.00004954	680.0	19.140	-34.74
136	SLE rare	-0.00005004	680.0	19.378	-35.11
137	SLE rare	-0.00005027	680.0	19.476	-35.28
138	SLE rare	-0.00005387	730.0	18.269	-39.27
139	SLE rare	-0.00005410	730.0	18.354	-39.45
140	SLE rare	-0.00004490	680.0	17.200	-31.38
141	SLE rare	-0.00004513	680.0	17.298	-31.55
142	SLE rare	-0.00004873	680.0	18.892	-34.20
143	SLE rare	-0.00004896	680.0	18.990	-34.37
144	SLE freq	-0.00004537	680.0	17.269	-31.64
145	SLE freq	-0.00004919	680.0	18.961	-34.47
146	SLE freq	-0.00004546	680.0	17.308	-31.71
147	SLE freq	-0.00004865	680.0	18.719	-34.06
148	SLE freq	-0.00004874	680.0	18.758	-34.13
149	SLE freq	-0.00004525	680.0	17.251	-31.58
150	SLE freq	-0.00004853	680.0	18.702	-34.00
151	SLE q.p.	-0.00004537	680.0	17.269	-31.64
152	SLE q.p.	-0.00004865	680.0	18.719	-34.06

Cedimento massimo in cmb n. 139 = -39.45 mm

#### Elemento Platea n. 180

Cmb. n.	Tipo	Car. Netto kN/mm <sup>2</sup>	Prof. mm	Sigm.Z/Sigm.Lit. %	Cedim.Edom. mm
129	SLE rare	-0.00005083	630.0	19.044	-30.32
130	SLE rare	-0.00005107	630.0	19.149	-30.47
131	SLE rare	-0.00005649	680.0	18.688	-35.26
132	SLE rare	-0.00005673	680.0	18.779	-35.42
133	SLE rare	-0.00005131	630.0	19.253	-30.62
134	SLE rare	-0.00005480	680.0	18.014	-34.13
135	SLE rare	-0.00005527	680.0	18.196	-34.44
136	SLE rare	-0.00005576	680.0	18.416	-34.78
137	SLE rare	-0.00005600	680.0	18.507	-34.94
138	SLE rare	-0.00005972	680.0	19.988	-37.43
139	SLE rare	-0.00005996	730.0	17.501	-38.87
140	SLE rare	-0.00005037	630.0	18.968	-30.09
141	SLE rare	-0.00005060	630.0	19.073	-30.24
142	SLE rare	-0.00005433	680.0	17.957	-33.89
143	SLE rare	-0.00005457	680.0	18.048	-34.05
144	SLE freq	-0.00005099	630.0	19.069	-30.40
145	SLE freq	-0.00005495	680.0	18.034	-34.20
146	SLE freq	-0.00005108	630.0	19.111	-30.46
147	SLE freq	-0.00005439	680.0	17.809	-33.83
148	SLE freq	-0.00005448	680.0	17.845	-33.89
149	SLE freq	-0.00005083	630.0	19.044	-30.32
150	SLE freq	-0.00005423	680.0	17.790	-33.75
151	SLE q.p.	-0.00005099	630.0	19.069	-30.40
152	SLE q.p.	-0.00005439	680.0	17.809	-33.83

Cedimento massimo in cmb n. 139 = -38.87 mm

#### Elemento Platea n. 181

Cmb. n.	Tipo	Car. Netto kN/mm <sup>2</sup>	Prof. mm	Sigm.Z/Sigm.Lit. %	Cedim.Edom. mm
129	SLE rare	-0.00001983	560.0	17.980	-14.43
130	SLE rare	-0.00002006	560.0	18.114	-14.57
131	SLE rare	-0.00002511	630.0	18.091	-19.76
132	SLE rare	-0.00002534	630.0	18.200	-19.91
133	SLE rare	-0.00002028	560.0	18.248	-14.71

134	SLE rare	-0.00002353	580.0	19.357	-17.55
135	SLE rare	-0.00002398	580.0	19.610	-17.84
136	SLE rare	-0.00002445	580.0	19.916	-18.15
137	SLE rare	-0.00002468	630.0	17.887	-19.49
138	SLE rare	-0.00002815	630.0	19.646	-21.81
139	SLE rare	-0.00002838	630.0	19.755	-21.96
140	SLE rare	-0.00002011	560.0	18.034	-14.56
141	SLE rare	-0.00002034	560.0	18.168	-14.69
142	SLE rare	-0.00002381	580.0	19.405	-17.68
143	SLE rare	-0.00002404	580.0	19.532	-17.82
144	SLE freq	-0.00001973	560.0	17.961	-14.39
145	SLE freq	-0.00002343	580.0	19.341	-17.51
146	SLE freq	-0.00001982	560.0	18.015	-14.45
147	SLE freq	-0.00002290	560.0	19.909	-16.32
148	SLE freq	-0.00002300	560.0	19.963	-16.38
149	SLE freq	-0.00001983	560.0	17.980	-14.43
150	SLE freq	-0.00002300	560.0	19.927	-16.36
151	SLE q.p.	-0.00001973	560.0	17.961	-14.39
152	SLE q.p.	-0.00002290	560.0	19.909	-16.32

Cedimento massimo in cmb n. 139 = -21.96 mm

### Elemento Platea n. 182

Cmb. n.	Tipo	Car. Netto kN/mm <sup>2</sup>	Prof. mm	Sigm.Z/Sigm.Lit. %	Cedim.Edom. mm
129	SLE rare	-0.00002285	630.0	17.629	-19.57
130	SLE rare	-0.00002307	630.0	17.749	-19.74
131	SLE rare	-0.00002801	680.0	18.113	-24.71
132	SLE rare	-0.00002823	680.0	18.217	-24.88
133	SLE rare	-0.00002329	630.0	17.870	-19.90
134	SLE rare	-0.00002646	630.0	19.692	-22.28
135	SLE rare	-0.00002691	630.0	19.933	-22.61
136	SLE rare	-0.00002738	680.0	17.813	-24.22
137	SLE rare	-0.00002761	680.0	17.917	-24.39
138	SLE rare	-0.00003100	680.0	19.600	-27.06
139	SLE rare	-0.00003122	680.0	19.703	-27.23
140	SLE rare	-0.00002304	630.0	17.652	-19.67
141	SLE rare	-0.00002326	630.0	17.772	-19.83
142	SLE rare	-0.00002665	630.0	19.715	-22.38
143	SLE rare	-0.00002687	630.0	19.835	-22.54
144	SLE freq	-0.00002279	580.0	19.990	-18.37
145	SLE freq	-0.00002640	630.0	19.684	-22.25
146	SLE freq	-0.00002288	630.0	17.669	-19.61
147	SLE freq	-0.00002588	630.0	19.389	-21.87
148	SLE freq	-0.00002597	630.0	19.438	-21.93
149	SLE freq	-0.00002285	630.0	17.629	-19.57
150	SLE freq	-0.00002595	630.0	19.397	-21.90
151	SLE q.p.	-0.00002279	580.0	19.990	-18.37
152	SLE q.p.	-0.00002588	630.0	19.389	-21.87

Cedimento massimo in cmb n. 139 = -27.23 mm

### Elemento Platea n. 183

Cmb. n.	Tipo	Car. Netto kN/mm <sup>2</sup>	Prof. mm	Sigm.Z/Sigm.Lit. %	Cedim.Edom. mm
129	SLE rare	-0.00002618	630.0	19.584	-22.64
130	SLE rare	-0.00002639	630.0	19.712	-22.81
131	SLE rare	-0.00003126	680.0	19.799	-28.08
132	SLE rare	-0.00003147	680.0	19.910	-28.26
133	SLE rare	-0.00002661	630.0	19.841	-22.98
134	SLE rare	-0.00002973	680.0	18.986	-26.81
135	SLE rare	-0.00003017	680.0	19.206	-27.17
136	SLE rare	-0.00003065	680.0	19.480	-27.58
137	SLE rare	-0.00003087	680.0	19.590	-27.76
138	SLE rare	-0.00003421	730.0	18.672	-31.91
139	SLE rare	-0.00003442	730.0	18.766	-32.09
140	SLE rare	-0.00002627	630.0	19.590	-22.69
141	SLE rare	-0.00002648	630.0	19.718	-22.86
142	SLE rare	-0.00002982	680.0	18.989	-26.85
143	SLE rare	-0.00003004	680.0	19.099	-27.03
144	SLE freq	-0.00002615	630.0	19.581	-22.63
145	SLE freq	-0.00002970	680.0	18.984	-26.80
146	SLE freq	-0.00002623	630.0	19.633	-22.70

147	SLE freq	-0.00002919	680.0	18.713	-26.37
148	SLE freq	-0.00002928	680.0	18.757	-26.44
149	SLE freq	-0.00002618	630.0	19.584	-22.64
150	SLE freq	-0.00002922	680.0	18.714	-26.39
151	SLE q.p.	-0.00002615	630.0	19.581	-22.63
152	SLE q.p.	-0.00002919	680.0	18.713	-26.37

Cedimento massimo in cmb n. 139 = -32.09 mm

#### Elemento Platea n. 184

Cmb. n.	Tipo	Car. Netto kN/mm <sup>2</sup>	Prof. mm	Sigm.Z/Sigm.Lit. %	Cedim.Edom. mm
129	SLE rare	-0.00002994	680.0	18.266	-26.80
130	SLE rare	-0.00003016	680.0	18.380	-26.99
131	SLE rare	-0.00003501	730.0	18.286	-32.49
132	SLE rare	-0.00003522	730.0	18.384	-32.68
133	SLE rare	-0.00003038	680.0	18.494	-27.17
134	SLE rare	-0.00003349	730.0	17.560	-31.13
135	SLE rare	-0.00003392	730.0	17.755	-31.51
136	SLE rare	-0.00003441	730.0	18.001	-31.95
137	SLE rare	-0.00003462	730.0	18.098	-32.14
138	SLE rare	-0.00003795	730.0	19.695	-35.12
139	SLE rare	-0.00003816	730.0	19.792	-35.30
140	SLE rare	-0.00002994	680.0	18.255	-26.79
141	SLE rare	-0.00003016	680.0	18.369	-26.97
142	SLE rare	-0.00003348	730.0	17.551	-31.12
143	SLE rare	-0.00003370	730.0	17.649	-31.31
144	SLE freq	-0.00002995	680.0	18.270	-26.81
145	SLE freq	-0.00003349	730.0	17.563	-31.14
146	SLE freq	-0.00003003	680.0	18.316	-26.88
147	SLE freq	-0.00003298	680.0	19.952	-29.42
148	SLE freq	-0.00003307	680.0	19.998	-29.49
149	SLE freq	-0.00002994	680.0	18.266	-26.80
150	SLE freq	-0.00003298	680.0	19.949	-29.41
151	SLE q.p.	-0.00002995	680.0	18.270	-26.81
152	SLE q.p.	-0.00003298	680.0	19.952	-29.42

Cedimento massimo in cmb n. 139 = -35.30 mm

#### Elemento Platea n. 185

Cmb. n.	Tipo	Car. Netto kN/mm <sup>2</sup>	Prof. mm	Sigm.Z/Sigm.Lit. %	Cedim.Edom. mm
129	SLE rare	-0.00003430	680.0	19.013	-29.53
130	SLE rare	-0.00003451	680.0	19.127	-29.71
131	SLE rare	-0.00003941	730.0	18.863	-35.30
132	SLE rare	-0.00003963	730.0	18.961	-35.49
133	SLE rare	-0.00003473	680.0	19.241	-29.89
134	SLE rare	-0.00003788	730.0	18.133	-33.93
135	SLE rare	-0.00003831	730.0	18.329	-34.31
136	SLE rare	-0.00003880	730.0	18.575	-34.75
137	SLE rare	-0.00003901	730.0	18.673	-34.94
138	SLE rare	-0.00004238	780.0	17.613	-39.28
139	SLE rare	-0.00004259	780.0	17.698	-39.48
140	SLE rare	-0.00003419	680.0	18.987	-29.45
141	SLE rare	-0.00003441	680.0	19.101	-29.63
142	SLE rare	-0.00003777	730.0	18.113	-33.85
143	SLE rare	-0.00003799	730.0	18.211	-34.04
144	SLE freq	-0.00003433	680.0	19.022	-29.55
145	SLE freq	-0.00003791	730.0	18.139	-33.95
146	SLE freq	-0.00003442	680.0	19.067	-29.62
147	SLE freq	-0.00003740	730.0	17.896	-33.50
148	SLE freq	-0.00003749	730.0	17.935	-33.57
149	SLE freq	-0.00003430	680.0	19.013	-29.53
150	SLE freq	-0.00003737	730.0	17.889	-33.47
151	SLE q.p.	-0.00003433	680.0	19.022	-29.55
152	SLE q.p.	-0.00003740	730.0	17.896	-33.50

Cedimento massimo in cmb n. 139 = -39.48 mm

#### Elemento Platea n. 186

Cmb. n.	Tipo	Car. Netto kN/mm <sup>2</sup>	Prof. mm	Sigm.Z/Sigm.Lit. %	Cedim.Edom. mm
129	SLE rare	-0.00003929	680.0	19.244	-31.82
130	SLE rare	-0.00003951	680.0	19.356	-32.00

131	SLE rare	-0.00004453	730.0	18.979	-37.58
132	SLE rare	-0.00004475	730.0	19.075	-37.76
133	SLE rare	-0.00003973	680.0	19.468	-32.18
134	SLE rare	-0.00004296	730.0	18.262	-36.21
135	SLE rare	-0.00004340	730.0	18.454	-36.59
136	SLE rare	-0.00004389	730.0	18.694	-37.02
137	SLE rare	-0.00004411	730.0	18.790	-37.21
138	SLE rare	-0.00004755	780.0	17.671	-41.55
139	SLE rare	-0.00004777	780.0	17.754	-41.74
140	SLE rare	-0.00003908	680.0	19.204	-31.68
141	SLE rare	-0.00003930	680.0	19.316	-31.86
142	SLE rare	-0.00004275	730.0	18.231	-36.08
143	SLE rare	-0.00004297	730.0	18.327	-36.27
144	SLE freq	-0.00003936	680.0	19.258	-31.86
145	SLE freq	-0.00004303	730.0	18.272	-36.26
146	SLE freq	-0.00003944	680.0	19.302	-31.93
147	SLE freq	-0.00004250	730.0	18.032	-35.81
148	SLE freq	-0.00004259	730.0	18.071	-35.88
149	SLE freq	-0.00003929	680.0	19.244	-31.82
150	SLE freq	-0.00004243	730.0	18.022	-35.76
151	SLE q.p.	-0.00003936	680.0	19.258	-31.86
152	SLE q.p.	-0.00004250	730.0	18.032	-35.81

Cedimento massimo in cmb n. 139 = -41.74 mm

#### Elemento Platea n. 187

Cmb. n.	Tipo	Car. Netto kN/mm <sup>2</sup>	Prof. mm	Sigm.Z/Sigm.Lit. %	Cedim.Edom. mm
129	SLE rare	-0.00004488	680.0	18.914	-33.29
130	SLE rare	-0.00004511	680.0	19.020	-33.47
131	SLE rare	-0.00005032	730.0	18.609	-38.92
132	SLE rare	-0.00005054	730.0	18.701	-39.10
133	SLE rare	-0.00004534	680.0	19.127	-33.64
134	SLE rare	-0.00004869	730.0	17.921	-37.59
135	SLE rare	-0.00004914	730.0	18.105	-37.95
136	SLE rare	-0.00004963	730.0	18.335	-38.37
137	SLE rare	-0.00004986	730.0	18.426	-38.55
138	SLE rare	-0.00004755	780.0	17.671	-41.55
139	SLE rare	-0.00005366	780.0	17.407	-42.97
140	SLE rare	-0.00004457	680.0	18.863	-33.10
141	SLE rare	-0.00004479	680.0	18.969	-33.28
142	SLE rare	-0.00004837	730.0	17.882	-37.40
143	SLE rare	-0.00004860	730.0	17.974	-37.58
144	SLE freq	-0.00004499	680.0	18.931	-33.35
145	SLE freq	-0.00004879	730.0	17.934	-37.65
146	SLE freq	-0.00004508	680.0	18.974	-33.42
147	SLE freq	-0.00004825	730.0	17.704	-37.21
148	SLE freq	-0.00004834	730.0	17.741	-37.28
149	SLE freq	-0.00004488	680.0	18.914	-33.29
150	SLE freq	-0.00004814	730.0	17.691	-37.15
151	SLE q.p.	-0.00004499	680.0	18.931	-33.35
152	SLE q.p.	-0.00004825	730.0	17.704	-37.21

Cedimento massimo in cmb n. 139 = -42.97 mm

#### Elemento Platea n. 188

Cmb. n.	Tipo	Car. Netto kN/mm <sup>2</sup>	Prof. mm	Sigm.Z/Sigm.Lit. %	Cedim.Edom. mm
129	SLE rare	-0.00004488	680.0	18.914	-33.29
130	SLE rare	-0.00004511	680.0	19.020	-33.47
131	SLE rare	-0.00005032	730.0	18.609	-38.92
132	SLE rare	-0.00005054	730.0	18.701	-39.10
133	SLE rare	-0.00004534	680.0	19.127	-33.64
134	SLE rare	-0.00004869	730.0	17.921	-37.59
135	SLE rare	-0.00004914	730.0	18.105	-37.95
136	SLE rare	-0.00004963	730.0	18.335	-38.37
137	SLE rare	-0.00004986	730.0	18.426	-38.55
138	SLE rare	-0.00005343	730.0	19.941	-41.46
139	SLE rare	-0.00005366	780.0	17.407	-42.97
140	SLE rare	-0.00004457	680.0	18.863	-33.10
141	SLE rare	-0.00004479	680.0	18.969	-33.28
142	SLE rare	-0.00004837	730.0	17.882	-37.40
143	SLE rare	-0.00004860	730.0	17.974	-37.58



144	SLE freq	-0.00004499	680.0	18.931	-33.35
145	SLE freq	-0.00004879	730.0	17.934	-37.65
146	SLE freq	-0.00004508	680.0	18.974	-33.42
147	SLE freq	-0.00004825	730.0	17.704	-37.21
148	SLE freq	-0.00004834	730.0	17.741	-37.28
149	SLE freq	-0.00004488	680.0	18.914	-33.29
150	SLE freq	-0.00004814	730.0	17.691	-37.15
151	SLE q.p.	-0.00004499	680.0	18.931	-33.35
152	SLE q.p.	-0.00004825	730.0	17.704	-37.21

Cedimento massimo in cmb n. 139 = -42.97 mm

#### Elemento Platea n. 189

Cmb. n.	Tipo	Car. Netto kN/mm <sup>2</sup>	Prof. mm	Sigm.Z/Sigm.Lit. %	Cedim.Edom. mm
129	SLE rare	-0.00005106	680.0	18.014	-33.21
130	SLE rare	-0.00005130	680.0	18.112	-33.37
131	SLE rare	-0.00005675	730.0	17.757	-38.51
132	SLE rare	-0.00005699	730.0	17.843	-38.68
133	SLE rare	-0.00005153	680.0	18.210	-33.53
134	SLE rare	-0.00005505	680.0	19.731	-36.01
135	SLE rare	-0.00005551	680.0	19.927	-36.33
136	SLE rare	-0.00005600	730.0	17.499	-37.98
137	SLE rare	-0.00005624	730.0	17.585	-38.15
138	SLE rare	-0.00005998	730.0	19.001	-40.89
139	SLE rare	-0.00006022	730.0	19.087	-41.06
140	SLE rare	-0.00005063	680.0	17.956	-32.98
141	SLE rare	-0.00005087	680.0	18.054	-33.15
142	SLE rare	-0.00005461	680.0	19.673	-35.78
143	SLE rare	-0.00005485	680.0	19.771	-35.95
144	SLE freq	-0.00005121	680.0	18.033	-33.28
145	SLE freq	-0.00005519	680.0	19.750	-36.08
146	SLE freq	-0.00005130	680.0	18.072	-33.35
147	SLE freq	-0.00005462	680.0	19.505	-35.68
148	SLE freq	-0.00005471	680.0	19.544	-35.75
149	SLE freq	-0.00005106	680.0	18.014	-33.21
150	SLE freq	-0.00005448	680.0	19.485	-35.61
151	SLE q.p.	-0.00005121	680.0	18.033	-33.28
152	SLE q.p.	-0.00005462	680.0	19.505	-35.68

Cedimento massimo in cmb n. 139 = -41.06 mm

#### Elemento Platea n. 190

Cmb. n.	Tipo	Car. Netto kN/mm <sup>2</sup>	Prof. mm	Sigm.Z/Sigm.Lit. %	Cedim.Edom. mm
129	SLE rare	-0.00001988	560.0	19.285	-14.95
130	SLE rare	-0.00002011	560.0	19.427	-15.09
131	SLE rare	-0.00002526	630.0	19.410	-20.56
132	SLE rare	-0.00002549	630.0	19.526	-20.71
133	SLE rare	-0.00002034	560.0	19.569	-15.23
134	SLE rare	-0.00002365	630.0	18.553	-19.45
135	SLE rare	-0.00002410	630.0	18.785	-19.76
136	SLE rare	-0.00002452	630.0	19.074	-20.09
137	SLE rare	-0.00002475	630.0	19.190	-20.24
138	SLE rare	-0.00002829	680.0	18.754	-23.97
139	SLE rare	-0.00002851	680.0	18.854	-24.13
140	SLE rare	-0.00002018	560.0	19.351	-15.08
141	SLE rare	-0.00002041	560.0	19.493	-15.22
142	SLE rare	-0.00002395	630.0	18.596	-19.59
143	SLE rare	-0.00002418	630.0	18.711	-19.74
144	SLE freq	-0.00001978	560.0	19.263	-14.90
145	SLE freq	-0.00002355	630.0	18.539	-19.41
146	SLE freq	-0.00001987	560.0	19.320	-14.96
147	SLE freq	-0.00002301	630.0	18.253	-19.04
148	SLE freq	-0.00002310	630.0	18.299	-19.10
149	SLE freq	-0.00001988	560.0	19.285	-14.95
150	SLE freq	-0.00002311	630.0	18.267	-19.08
151	SLE q.p.	-0.00001978	560.0	19.263	-14.90
152	SLE q.p.	-0.00002301	630.0	18.253	-19.04

Cedimento massimo in cmb n. 139 = -24.13 mm

#### Elemento Platea n. 191

Cmb.	Tipo	Car. Netto	Prof.	Sigm.Z/Sigm.Lit.	Cedim.Edom.
------	------	------------	-------	------------------	-------------

n.		kN/mm <sup>2</sup>	mm	%	mm
129	SLE rare	-0.00002251	630.0	18.943	-20.24
130	SLE rare	-0.00002272	630.0	19.071	-20.41
131	SLE rare	-0.00002769	680.0	19.433	-25.62
132	SLE rare	-0.00002791	680.0	19.542	-25.79
133	SLE rare	-0.00002294	630.0	19.198	-20.58
134	SLE rare	-0.00002614	680.0	18.613	-24.35
135	SLE rare	-0.00002657	680.0	18.833	-24.70
136	SLE rare	-0.00002701	680.0	19.112	-25.09
137	SLE rare	-0.00002723	680.0	19.222	-25.27
138	SLE rare	-0.00003064	730.0	18.492	-29.38
139	SLE rare	-0.00003086	730.0	18.587	-29.57
140	SLE rare	-0.00002271	630.0	18.974	-20.35
141	SLE rare	-0.00002293	630.0	19.102	-20.52
142	SLE rare	-0.00002634	680.0	18.636	-24.46
143	SLE rare	-0.00002656	680.0	18.746	-24.64
144	SLE freq	-0.00002244	630.0	18.932	-20.21
145	SLE freq	-0.00002607	680.0	18.606	-24.32
146	SLE freq	-0.00002252	630.0	18.984	-20.27
147	SLE freq	-0.00002555	680.0	18.333	-23.90
148	SLE freq	-0.00002564	680.0	18.377	-23.97
149	SLE freq	-0.00002251	630.0	18.943	-20.24
150	SLE freq	-0.00002562	680.0	18.340	-23.93
151	SLE q.p.	-0.00002244	630.0	18.932	-20.21
152	SLE q.p.	-0.00002555	680.0	18.333	-23.90

Cedimento massimo in cmb n. 139 = -29.57 mm

#### Elemento Platea n. 192

Cmb. n.	Tipo	Car. Netto kN/mm <sup>2</sup>	Prof. mm	Sigm.Z/Sigm.Lit. %	Cedim.Edom. mm
129	SLE rare	-0.00002558	680.0	18.355	-24.64
130	SLE rare	-0.00002580	680.0	18.471	-24.82
131	SLE rare	-0.00003064	730.0	18.542	-30.40
132	SLE rare	-0.00003085	730.0	18.642	-30.59
133	SLE rare	-0.00002601	680.0	18.588	-25.01
134	SLE rare	-0.00002912	730.0	17.789	-29.02
135	SLE rare	-0.00002955	730.0	17.990	-29.40
136	SLE rare	-0.00003000	730.0	18.248	-29.83
137	SLE rare	-0.00003021	730.0	18.348	-30.02
138	SLE rare	-0.00003354	780.0	17.489	-34.37
139	SLE rare	-0.00003375	780.0	17.576	-34.57
140	SLE rare	-0.00002570	680.0	18.364	-24.70
141	SLE rare	-0.00002591	680.0	18.481	-24.88
142	SLE rare	-0.00002924	730.0	17.796	-29.08
143	SLE rare	-0.00002945	730.0	17.896	-29.27
144	SLE freq	-0.00002555	680.0	18.351	-24.62
145	SLE freq	-0.00002909	730.0	17.787	-29.00
146	SLE freq	-0.00002563	680.0	18.398	-24.69
147	SLE freq	-0.00002858	730.0	17.536	-28.54
148	SLE freq	-0.00002867	730.0	17.577	-28.62
149	SLE freq	-0.00002558	680.0	18.355	-24.64
150	SLE freq	-0.00002862	730.0	17.539	-28.56
151	SLE q.p.	-0.00002555	680.0	18.351	-24.62
152	SLE q.p.	-0.00002858	730.0	17.536	-28.54

Cedimento massimo in cmb n. 139 = -34.57 mm

#### Elemento Platea n. 193

Cmb. n.	Tipo	Car. Netto kN/mm <sup>2</sup>	Prof. mm	Sigm.Z/Sigm.Lit. %	Cedim.Edom. mm
129	SLE rare	-0.00002927	680.0	19.626	-27.69
130	SLE rare	-0.00002948	680.0	19.746	-27.87
131	SLE rare	-0.00003429	730.0	19.600	-33.62
132	SLE rare	-0.00003450	730.0	19.703	-33.82
133	SLE rare	-0.00002969	680.0	19.866	-28.06
134	SLE rare	-0.00003279	730.0	18.824	-32.22
135	SLE rare	-0.00003320	730.0	19.031	-32.60
136	SLE rare	-0.00003367	730.0	19.296	-33.05
137	SLE rare	-0.00003388	730.0	19.399	-33.25
138	SLE rare	-0.00003718	780.0	18.348	-37.73
139	SLE rare	-0.00003739	780.0	18.437	-37.93
140	SLE rare	-0.00002929	680.0	19.620	-27.69

141	SLE rare	-0.00002950	680.0	19.740	-27.87
142	SLE rare	-0.00003281	730.0	18.820	-32.22
143	SLE rare	-0.00003301	730.0	18.923	-32.41
144	SLE freq	-0.00002927	680.0	19.628	-27.69
145	SLE freq	-0.00003278	730.0	18.826	-32.22
146	SLE freq	-0.00002935	680.0	19.676	-27.76
147	SLE freq	-0.00003228	730.0	18.568	-31.75
148	SLE freq	-0.00003236	730.0	18.609	-31.82
149	SLE freq	-0.00002927	680.0	19.626	-27.69
150	SLE freq	-0.00003228	730.0	18.566	-31.75
151	SLE q.p.	-0.00002927	680.0	19.628	-27.69
152	SLE q.p.	-0.00003228	730.0	18.568	-31.75

Cedimento massimo in cmb n. 139 = -37.93 mm

**Elemento Platea n. 194**

Cmb. n.	Tipo	Car. Netto kN/mm <sup>2</sup>	Prof. mm	Sigm.Z/Sigm.Lit. %	Cedim.Edom. mm
129	SLE rare	-0.00003370	730.0	17.615	-31.80
130	SLE rare	-0.00003391	730.0	17.719	-31.99
131	SLE rare	-0.00003877	780.0	17.515	-37.87
132	SLE rare	-0.00003898	780.0	17.604	-38.07
133	SLE rare	-0.00003412	730.0	17.822	-32.19
134	SLE rare	-0.00003725	730.0	19.436	-35.11
135	SLE rare	-0.00003767	730.0	19.643	-35.50
136	SLE rare	-0.00003814	730.0	19.909	-35.96
137	SLE rare	-0.00003835	780.0	17.339	-37.47
138	SLE rare	-0.00004169	780.0	18.825	-40.70
139	SLE rare	-0.00004190	780.0	18.914	-40.90
140	SLE rare	-0.00003363	730.0	17.598	-31.74
141	SLE rare	-0.00003384	730.0	17.702	-31.93
142	SLE rare	-0.00003717	730.0	19.419	-35.05
143	SLE rare	-0.00003738	730.0	19.523	-35.25
144	SLE freq	-0.00003373	730.0	17.620	-31.82
145	SLE freq	-0.00003728	730.0	19.441	-35.13
146	SLE freq	-0.00003381	730.0	17.662	-31.90
147	SLE freq	-0.00003677	730.0	19.181	-34.66
148	SLE freq	-0.00003685	730.0	19.223	-34.74
149	SLE freq	-0.00003370	730.0	17.615	-31.80
150	SLE freq	-0.00003674	730.0	19.176	-34.64
151	SLE q.p.	-0.00003373	730.0	17.620	-31.82
152	SLE q.p.	-0.00003677	730.0	19.181	-34.66

Cedimento massimo in cmb n. 139 = -40.90 mm

**Elemento Platea n. 195**

Cmb. n.	Tipo	Car. Netto kN/mm <sup>2</sup>	Prof. mm	Sigm.Z/Sigm.Lit. %	Cedim.Edom. mm
129	SLE rare	-0.00003894	730.0	17.779	-34.22
130	SLE rare	-0.00003915	730.0	17.881	-34.41
131	SLE rare	-0.00004415	780.0	17.594	-40.27
132	SLE rare	-0.00004437	780.0	17.682	-40.47
133	SLE rare	-0.00003937	730.0	17.982	-34.60
134	SLE rare	-0.00004259	730.0	19.567	-37.52
135	SLE rare	-0.00004302	730.0	19.770	-37.90
136	SLE rare	-0.00004350	780.0	17.332	-39.67
137	SLE rare	-0.00004371	780.0	17.420	-39.87
138	SLE rare	-0.00004715	780.0	18.882	-43.08
139	SLE rare	-0.00004736	780.0	18.970	-43.28
140	SLE rare	-0.00003876	730.0	17.752	-34.10
141	SLE rare	-0.00003898	730.0	17.853	-34.29
142	SLE rare	-0.00004241	730.0	19.540	-37.39
143	SLE rare	-0.00004263	730.0	19.641	-37.59
144	SLE freq	-0.00003900	730.0	17.788	-34.26
145	SLE freq	-0.00004265	730.0	19.577	-37.56
146	SLE freq	-0.00003908	730.0	17.829	-34.33
147	SLE freq	-0.00004213	730.0	19.321	-37.08
148	SLE freq	-0.00004221	730.0	19.362	-37.16
149	SLE freq	-0.00003894	730.0	17.779	-34.22
150	SLE freq	-0.00004207	730.0	19.312	-37.04
151	SLE q.p.	-0.00003900	730.0	17.788	-34.26
152	SLE q.p.	-0.00004213	730.0	19.321	-37.08

Cedimento massimo in cmb n. 139 = -43.28 mm

**Elemento Platea n. 196**

Cmb. n.	Tipo	Car. Netto kN/mm <sup>2</sup>	Prof. mm	Sigm.Z/Sigm.Lit. %	Cedim.Edom. mm
129	SLE rare	-0.00004494	730.0	17.476	-35.76
130	SLE rare	-0.00004516	730.0	17.574	-35.95
131	SLE rare	-0.00005038	730.0	19.925	-40.36
132	SLE rare	-0.00005060	780.0	17.350	-41.86
133	SLE rare	-0.00004538	730.0	17.671	-36.13
134	SLE rare	-0.00004875	730.0	19.191	-38.98
135	SLE rare	-0.00004919	730.0	19.385	-39.35
136	SLE rare	-0.00004968	730.0	19.633	-39.78
137	SLE rare	-0.00004990	730.0	19.730	-39.96
138	SLE rare	-0.00005349	780.0	18.504	-44.40
139	SLE rare	-0.00005371	780.0	18.588	-44.59
140	SLE rare	-0.00004466	730.0	17.440	-35.59
141	SLE rare	-0.00004488	730.0	17.537	-35.77
142	SLE rare	-0.00004846	730.0	19.154	-38.80
143	SLE rare	-0.00004869	730.0	19.251	-38.99
144	SLE freq	-0.00004503	730.0	17.489	-35.82
145	SLE freq	-0.00004884	730.0	19.203	-39.04
146	SLE freq	-0.00004512	730.0	17.527	-35.89
147	SLE freq	-0.00004830	730.0	18.958	-38.58
148	SLE freq	-0.00004839	730.0	18.997	-38.65
149	SLE freq	-0.00004494	730.0	17.476	-35.76
150	SLE freq	-0.00004820	730.0	18.946	-38.52
151	SLE q.p.	-0.00004503	730.0	17.489	-35.82
152	SLE q.p.	-0.00004830	730.0	18.958	-38.58

Cedimento massimo in cmb n. 139 = -44.59 mm

**Elemento Platea n. 197**

Cmb. n.	Tipo	Car. Netto kN/mm <sup>2</sup>	Prof. mm	Sigm.Z/Sigm.Lit. %	Cedim.Edom. mm
129	SLE rare	-0.00004494	730.0	17.476	-35.76
130	SLE rare	-0.00004516	730.0	17.574	-35.95
131	SLE rare	-0.00005038	730.0	19.925	-40.36
132	SLE rare	-0.00005060	780.0	17.350	-41.86
133	SLE rare	-0.00004538	730.0	17.671	-36.13
134	SLE rare	-0.00004875	730.0	19.191	-38.98
135	SLE rare	-0.00004919	730.0	19.385	-39.35
136	SLE rare	-0.00004968	730.0	19.633	-39.78
137	SLE rare	-0.00004990	730.0	19.730	-39.96
138	SLE rare	-0.00005349	780.0	18.504	-44.40
139	SLE rare	-0.00005371	780.0	18.588	-44.59
140	SLE rare	-0.00004466	730.0	17.440	-35.59
141	SLE rare	-0.00004488	730.0	17.537	-35.77
142	SLE rare	-0.00004846	730.0	19.154	-38.80
143	SLE rare	-0.00004869	730.0	19.251	-38.99
144	SLE freq	-0.00004503	730.0	17.489	-35.82
145	SLE freq	-0.00004884	730.0	19.203	-39.04
146	SLE freq	-0.00004512	730.0	17.527	-35.89
147	SLE freq	-0.00004830	730.0	18.958	-38.58
148	SLE freq	-0.00004839	730.0	18.997	-38.65
149	SLE freq	-0.00004494	730.0	17.476	-35.76
150	SLE freq	-0.00004820	730.0	18.946	-38.52
151	SLE q.p.	-0.00004503	730.0	17.489	-35.82
152	SLE q.p.	-0.00004830	730.0	18.958	-38.58

Cedimento massimo in cmb n. 139 = -44.59 mm

**Elemento Platea n. 198**

Cmb. n.	Tipo	Car. Netto kN/mm <sup>2</sup>	Prof. mm	Sigm.Z/Sigm.Lit. %	Cedim.Edom. mm
129	SLE rare	-0.00005159	680.0	19.318	-34.40
130	SLE rare	-0.00005182	680.0	19.422	-34.57
131	SLE rare	-0.00005732	730.0	19.002	-39.94
132	SLE rare	-0.00005756	730.0	19.093	-40.12
133	SLE rare	-0.00005205	680.0	19.526	-34.74
134	SLE rare	-0.00005560	730.0	18.315	-38.65
135	SLE rare	-0.00005606	730.0	18.496	-39.00
136	SLE rare	-0.00005656	730.0	18.727	-39.39
137	SLE rare	-0.00005679	730.0	18.818	-39.56

138	SLE rare	-0.00006058	780.0	17.706	-43.76
139	SLE rare	-0.00006081	780.0	17.785	-43.94
140	SLE rare	-0.00005119	680.0	19.262	-34.19
141	SLE rare	-0.00005142	680.0	19.366	-34.36
142	SLE rare	-0.00005520	730.0	18.273	-38.44
143	SLE rare	-0.00005543	730.0	18.363	-38.61
144	SLE freq	-0.00005172	680.0	19.336	-34.47
145	SLE freq	-0.00005574	730.0	18.330	-38.72
146	SLE freq	-0.00005181	680.0	19.378	-34.54
147	SLE freq	-0.00005516	730.0	18.101	-38.29
148	SLE freq	-0.00005526	730.0	18.137	-38.36
149	SLE freq	-0.00005159	680.0	19.318	-34.40
150	SLE freq	-0.00005503	730.0	18.087	-38.22
151	SLE q.p.	-0.00005172	680.0	19.336	-34.47
152	SLE q.p.	-0.00005516	730.0	18.101	-38.29

Cedimento massimo in cmb n. 139 = -43.94 mm

#### Elemento Platea n. 199

Cmb. n.	Tipo	Car. Netto kN/mm <sup>2</sup>	Prof. mm	Sigm.Z/Sigm.Lit. %	Cedim.Edom. mm
129	SLE rare	-0.00002059	580.0	19.458	-16.38
130	SLE rare	-0.00002082	580.0	19.596	-16.53
131	SLE rare	-0.00002612	680.0	18.210	-22.60
132	SLE rare	-0.00002635	680.0	18.314	-22.77
133	SLE rare	-0.00002105	580.0	19.734	-16.67
134	SLE rare	-0.00002446	630.0	19.543	-20.20
135	SLE rare	-0.00002492	630.0	19.782	-20.51
136	SLE rare	-0.00002531	680.0	17.906	-22.08
137	SLE rare	-0.00002554	680.0	18.010	-22.25
138	SLE rare	-0.00002919	680.0	19.735	-24.87
139	SLE rare	-0.00002941	680.0	19.839	-25.04
140	SLE rare	-0.00002090	580.0	19.526	-16.53
141	SLE rare	-0.00002113	580.0	19.665	-16.67
142	SLE rare	-0.00002478	630.0	19.593	-20.35
143	SLE rare	-0.00002501	630.0	19.713	-20.51
144	SLE freq	-0.00002048	580.0	19.435	-16.33
145	SLE freq	-0.00002436	630.0	19.526	-20.15
146	SLE freq	-0.00002058	580.0	19.490	-16.39
147	SLE freq	-0.00002380	630.0	19.226	-19.77
148	SLE freq	-0.00002390	630.0	19.274	-19.83
149	SLE freq	-0.00002059	580.0	19.458	-16.38
150	SLE freq	-0.00002391	630.0	19.243	-19.82
151	SLE q.p.	-0.00002048	580.0	19.435	-16.33
152	SLE q.p.	-0.00002380	630.0	19.226	-19.77

Cedimento massimo in cmb n. 139 = -25.04 mm

#### Elemento Platea n. 200

Cmb. n.	Tipo	Car. Netto kN/mm <sup>2</sup>	Prof. mm	Sigm.Z/Sigm.Lit. %	Cedim.Edom. mm
129	SLE rare	-0.00002278	630.0	19.989	-20.91
130	SLE rare	-0.00002299	680.0	17.733	-22.31
131	SLE rare	-0.00002804	730.0	18.013	-27.78
132	SLE rare	-0.00002825	730.0	18.112	-27.97
133	SLE rare	-0.00002321	680.0	17.847	-22.49
134	SLE rare	-0.00002646	680.0	19.624	-25.17
135	SLE rare	-0.00002689	680.0	19.852	-25.53
136	SLE rare	-0.00002732	730.0	17.724	-27.21
137	SLE rare	-0.00002753	730.0	17.823	-27.40
138	SLE rare	-0.00003100	730.0	19.463	-30.38
139	SLE rare	-0.00003122	730.0	19.562	-30.56
140	SLE rare	-0.00002300	680.0	17.648	-22.26
141	SLE rare	-0.00002322	680.0	17.762	-22.44
142	SLE rare	-0.00002668	680.0	19.653	-25.30
143	SLE rare	-0.00002690	680.0	19.767	-25.47
144	SLE freq	-0.00002270	630.0	19.976	-20.87
145	SLE freq	-0.00002639	680.0	19.614	-25.13
146	SLE freq	-0.00002279	680.0	17.655	-22.17
147	SLE freq	-0.00002586	680.0	19.328	-24.70
148	SLE freq	-0.00002595	680.0	19.373	-24.77
149	SLE freq	-0.00002278	630.0	19.989	-20.91
150	SLE freq	-0.00002593	680.0	19.337	-24.74

151	SLE q.p.	-0.00002270	630.0	19.976	-20.87
152	SLE q.p.	-0.00002586	680.0	19.328	-24.70

Cedimento massimo in cmb n. 139 = -30.56 mm

#### Elemento Platea n. 201

Cmb. n.	Tipo	Car. Netto kN/mm <sup>2</sup>	Prof. mm	Sigm.Z/Sigm.Lit. %	Cedim.Edom. mm
129	SLE rare	-0.00002564	680.0	19.386	-25.42
130	SLE rare	-0.00002585	680.0	19.507	-25.60
131	SLE rare	-0.00003073	730.0	19.546	-31.37
132	SLE rare	-0.00003094	730.0	19.650	-31.56
133	SLE rare	-0.00002606	680.0	19.628	-25.78
134	SLE rare	-0.00002920	730.0	18.757	-29.95
135	SLE rare	-0.00002962	730.0	18.965	-30.34
136	SLE rare	-0.00003007	730.0	19.239	-30.79
137	SLE rare	-0.00003027	730.0	19.343	-30.98
138	SLE rare	-0.00003363	780.0	18.400	-35.48
139	SLE rare	-0.00003384	780.0	18.490	-35.68
140	SLE rare	-0.00002577	680.0	19.402	-25.49
141	SLE rare	-0.00002598	680.0	19.523	-25.68
142	SLE rare	-0.00002933	730.0	18.768	-30.03
143	SLE rare	-0.00002954	730.0	18.872	-30.22
144	SLE freq	-0.00002560	680.0	19.380	-25.39
145	SLE freq	-0.00002916	730.0	18.753	-29.93
146	SLE freq	-0.00002568	680.0	19.429	-25.47
147	SLE freq	-0.00002865	730.0	18.490	-29.46
148	SLE freq	-0.00002873	730.0	18.532	-29.53
149	SLE freq	-0.00002564	680.0	19.386	-25.42
150	SLE freq	-0.00002869	730.0	18.494	-29.48
151	SLE q.p.	-0.00002560	680.0	19.380	-25.39
152	SLE q.p.	-0.00002865	730.0	18.490	-29.46

Cedimento massimo in cmb n. 139 = -35.68 mm

#### Elemento Platea n. 202

Cmb. n.	Tipo	Car. Netto kN/mm <sup>2</sup>	Prof. mm	Sigm.Z/Sigm.Lit. %	Cedim.Edom. mm
129	SLE rare	-0.00002922	730.0	17.943	-29.79
130	SLE rare	-0.00002942	730.0	18.051	-29.98
131	SLE rare	-0.00003425	780.0	17.934	-35.98
132	SLE rare	-0.00003445	780.0	18.026	-36.18
133	SLE rare	-0.00002963	730.0	18.158	-30.18
134	SLE rare	-0.00003274	730.0	19.842	-33.16
135	SLE rare	-0.00003315	780.0	17.415	-34.88
136	SLE rare	-0.00003361	780.0	17.660	-35.36
137	SLE rare	-0.00003382	780.0	17.752	-35.56
138	SLE rare	-0.00003713	780.0	19.300	-38.86
139	SLE rare	-0.00003734	780.0	19.393	-39.06
140	SLE rare	-0.00002926	730.0	17.944	-29.81
141	SLE rare	-0.00002947	730.0	18.051	-30.00
142	SLE rare	-0.00003278	730.0	19.842	-33.18
143	SLE rare	-0.00003299	730.0	19.949	-33.38
144	SLE freq	-0.00002921	730.0	17.943	-29.78
145	SLE freq	-0.00003273	730.0	19.842	-33.16
146	SLE freq	-0.00002929	730.0	17.986	-29.86
147	SLE freq	-0.00003222	730.0	19.571	-32.68
148	SLE freq	-0.00003230	730.0	19.613	-32.75
149	SLE freq	-0.00002922	730.0	17.943	-29.79
150	SLE freq	-0.00003224	730.0	19.571	-32.68
151	SLE q.p.	-0.00002921	730.0	17.943	-29.78
152	SLE q.p.	-0.00003222	730.0	19.571	-32.68

Cedimento massimo in cmb n. 139 = -39.06 mm

#### Elemento Platea n. 203

Cmb. n.	Tipo	Car. Netto kN/mm <sup>2</sup>	Prof. mm	Sigm.Z/Sigm.Lit. %	Cedim.Edom. mm
129	SLE rare	-0.00003370	730.0	18.573	-32.72
130	SLE rare	-0.00003390	730.0	18.680	-32.91
131	SLE rare	-0.00003877	780.0	18.427	-38.98
132	SLE rare	-0.00003898	780.0	18.520	-39.19
133	SLE rare	-0.00003411	730.0	18.788	-33.11
134	SLE rare	-0.00003725	780.0	17.720	-37.47

135	SLE rare	-0.00003766	780.0	17.906	-37.87
136	SLE rare	-0.00003814	780.0	18.151	-38.37
137	SLE rare	-0.00003834	780.0	18.244	-38.57
138	SLE rare	-0.00004169	780.0	19.801	-41.90
139	SLE rare	-0.00004190	780.0	19.894	-42.10
140	SLE rare	-0.00003364	730.0	18.561	-32.67
141	SLE rare	-0.00003385	730.0	18.669	-32.87
142	SLE rare	-0.00003720	780.0	17.711	-37.43
143	SLE rare	-0.00003740	780.0	17.804	-37.63
144	SLE freq	-0.00003371	730.0	18.577	-32.73
145	SLE freq	-0.00003727	780.0	17.723	-37.49
146	SLE freq	-0.00003379	730.0	18.620	-32.81
147	SLE freq	-0.00003676	780.0	17.488	-36.98
148	SLE freq	-0.00003684	780.0	17.525	-37.06
149	SLE freq	-0.00003370	730.0	18.573	-32.72
150	SLE freq	-0.00003674	780.0	17.485	-36.97
151	SLE q.p.	-0.00003371	730.0	18.577	-32.73
152	SLE q.p.	-0.00003676	780.0	17.488	-36.98

Cedimento massimo in cmb n. 139 = -42.10 mm

#### Elemento Platea n. 204

Cmb. n.	Tipo	Car. Netto kN/mm <sup>2</sup>	Prof. mm	Sigm.Z/Sigm.Lit. %	Cedim.Edom. mm
129	SLE rare	-0.00003911	730.0	18.740	-35.20
130	SLE rare	-0.00003932	730.0	18.845	-35.39
131	SLE rare	-0.00004434	780.0	18.506	-41.45
132	SLE rare	-0.00004455	780.0	18.597	-41.65
133	SLE rare	-0.00003953	730.0	18.950	-35.59
134	SLE rare	-0.00004277	780.0	17.811	-39.95
135	SLE rare	-0.00004319	780.0	17.992	-40.35
136	SLE rare	-0.00004368	780.0	18.233	-40.83
137	SLE rare	-0.00004389	780.0	18.324	-41.03
138	SLE rare	-0.00004735	780.0	19.857	-44.34
139	SLE rare	-0.00004756	780.0	19.947	-44.54
140	SLE rare	-0.00003896	730.0	18.716	-35.10
141	SLE rare	-0.00003917	730.0	18.822	-35.29
142	SLE rare	-0.00004262	780.0	17.793	-39.84
143	SLE rare	-0.00004283	780.0	17.884	-40.04
144	SLE freq	-0.00003916	730.0	18.747	-35.24
145	SLE freq	-0.00004282	780.0	17.816	-39.98
146	SLE freq	-0.00003924	730.0	18.789	-35.31
147	SLE freq	-0.00004230	780.0	17.585	-39.48
148	SLE freq	-0.00004238	780.0	17.621	-39.56
149	SLE freq	-0.00003911	730.0	18.740	-35.20
150	SLE freq	-0.00004225	780.0	17.579	-39.44
151	SLE q.p.	-0.00003916	730.0	18.747	-35.24
152	SLE q.p.	-0.00004230	780.0	17.585	-39.48

Cedimento massimo in cmb n. 139 = -44.54 mm

#### Elemento Platea n. 205

Cmb. n.	Tipo	Car. Netto kN/mm <sup>2</sup>	Prof. mm	Sigm.Z/Sigm.Lit. %	Cedim.Edom. mm
129	SLE rare	-0.00004539	730.0	18.411	-36.79
130	SLE rare	-0.00004561	730.0	18.512	-36.98
131	SLE rare	-0.00005088	780.0	18.153	-42.89
132	SLE rare	-0.00005109	780.0	18.241	-43.09
133	SLE rare	-0.00004583	730.0	18.613	-37.17
134	SLE rare	-0.00004923	780.0	17.484	-41.43
135	SLE rare	-0.00004967	780.0	17.659	-41.81
136	SLE rare	-0.00005017	780.0	17.890	-42.28
137	SLE rare	-0.00005039	780.0	17.977	-42.47
138	SLE rare	-0.00005401	780.0	19.452	-45.70
139	SLE rare	-0.00005423	780.0	19.539	-45.90
140	SLE rare	-0.00004513	730.0	18.379	-36.63
141	SLE rare	-0.00004535	730.0	18.479	-36.82
142	SLE rare	-0.00004898	780.0	17.459	-41.27
143	SLE rare	-0.00004919	780.0	17.546	-41.46
144	SLE freq	-0.00004547	730.0	18.422	-36.84
145	SLE freq	-0.00004932	780.0	17.492	-41.48
146	SLE freq	-0.00004556	730.0	18.462	-36.92
147	SLE freq	-0.00004877	730.0	19.963	-39.68

148	SLE freq	-0.00004885	780.0	17.304	-41.07
149	SLE freq	-0.00004539	730.0	18.411	-36.79
150	SLE freq	-0.00004868	730.0	19.952	-39.62
151	SLE q.p.	-0.00004547	730.0	18.422	-36.84
152	SLE q.p.	-0.00004877	730.0	19.963	-39.68

Cedimento massimo in cmb n. 139 = -45.90 mm

#### Elemento Platea n. 206

Cmb. n.	Tipo	Car. Netto kN/mm <sup>2</sup>	Prof. mm	Sigm.Z/Sigm.Lit. %	Cedim.Edom. mm
129	SLE rare	-0.00004539	730.0	18.411	-36.79
130	SLE rare	-0.00004561	730.0	18.512	-36.98
131	SLE rare	-0.00005088	780.0	18.153	-42.89
132	SLE rare	-0.00005109	780.0	18.241	-43.09
133	SLE rare	-0.00004583	730.0	18.613	-37.17
134	SLE rare	-0.00004923	780.0	17.484	-41.43
135	SLE rare	-0.00004967	780.0	17.659	-41.81
136	SLE rare	-0.00005017	780.0	17.890	-42.28
137	SLE rare	-0.00005039	780.0	17.977	-42.47
138	SLE rare	-0.00005401	780.0	19.452	-45.70
139	SLE rare	-0.00005423	780.0	19.539	-45.90
140	SLE rare	-0.00004513	730.0	18.379	-36.63
141	SLE rare	-0.00004535	730.0	18.479	-36.82
142	SLE rare	-0.00004898	780.0	17.459	-41.27
143	SLE rare	-0.00004919	780.0	17.546	-41.46
144	SLE freq	-0.00004547	730.0	18.422	-36.84
145	SLE freq	-0.00004932	780.0	17.492	-41.48
146	SLE freq	-0.00004556	730.0	18.462	-36.92
147	SLE freq	-0.00004877	730.0	19.963	-39.68
148	SLE freq	-0.00004885	780.0	17.304	-41.07
149	SLE freq	-0.00004539	730.0	18.411	-36.79
150	SLE freq	-0.00004868	730.0	19.952	-39.62
151	SLE q.p.	-0.00004547	730.0	18.422	-36.84
152	SLE q.p.	-0.00004877	730.0	19.963	-39.68

Cedimento massimo in cmb n. 139 = -45.90 mm

#### Elemento Platea n. 207

Cmb. n.	Tipo	Car. Netto kN/mm <sup>2</sup>	Prof. mm	Sigm.Z/Sigm.Lit. %	Cedim.Edom. mm
129	SLE rare	-0.00005239	730.0	17.595	-36.64
130	SLE rare	-0.00005262	730.0	17.689	-36.81
131	SLE rare	-0.00005821	730.0	19.995	-41.07
132	SLE rare	-0.00005844	780.0	17.464	-42.57
133	SLE rare	-0.00005285	730.0	17.783	-36.99
134	SLE rare	-0.00005646	730.0	19.275	-39.74
135	SLE rare	-0.00005692	730.0	19.463	-40.09
136	SLE rare	-0.00005743	730.0	19.708	-40.50
137	SLE rare	-0.00005766	730.0	19.802	-40.68
138	SLE rare	-0.00006150	780.0	18.602	-45.02
139	SLE rare	-0.00006173	780.0	18.684	-45.20
140	SLE rare	-0.00005202	730.0	17.556	-36.44
141	SLE rare	-0.00005225	730.0	17.650	-36.61
142	SLE rare	-0.00005609	730.0	19.236	-39.54
143	SLE rare	-0.00005632	730.0	19.330	-39.72
144	SLE freq	-0.00005251	730.0	17.608	-36.70
145	SLE freq	-0.00005659	730.0	19.288	-39.81
146	SLE freq	-0.00005261	730.0	17.646	-36.77
147	SLE freq	-0.00005600	730.0	19.048	-39.36
148	SLE freq	-0.00005610	730.0	19.086	-39.43
149	SLE freq	-0.00005239	730.0	17.595	-36.64
150	SLE freq	-0.00005588	730.0	19.035	-39.30
151	SLE q.p.	-0.00005251	730.0	17.608	-36.70
152	SLE q.p.	-0.00005600	730.0	19.048	-39.36

Cedimento massimo in cmb n. 139 = -45.20 mm

#### Elemento Platea n. 208

Cmb. n.	Tipo	Car. Netto kN/mm <sup>2</sup>	Prof. mm	Sigm.Z/Sigm.Lit. %	Cedim.Edom. mm
129	SLE rare	-0.00002150	630.0	18.111	-18.20
130	SLE rare	-0.00002173	630.0	18.233	-18.35
131	SLE rare	-0.00002715	680.0	18.870	-23.40



132	SLE rare	-0.00002738	680.0	18.976	-23.56
133	SLE rare	-0.00002196	630.0	18.355	-18.51
134	SLE rare	-0.00002546	680.0	18.064	-22.18
135	SLE rare	-0.00002592	680.0	18.276	-22.50
136	SLE rare	-0.00002633	680.0	18.560	-22.87
137	SLE rare	-0.00002656	680.0	18.666	-23.04
138	SLE rare	-0.00003029	730.0	18.156	-27.04
139	SLE rare	-0.00003052	730.0	18.248	-27.21
140	SLE rare	-0.00002183	630.0	18.169	-18.36
141	SLE rare	-0.00002206	630.0	18.291	-18.52
142	SLE rare	-0.00002579	680.0	18.107	-22.34
143	SLE rare	-0.00002602	680.0	18.213	-22.51
144	SLE freq	-0.00002139	630.0	18.092	-18.14
145	SLE freq	-0.00002535	680.0	18.049	-22.12
146	SLE freq	-0.00002148	630.0	18.140	-18.21
147	SLE freq	-0.00002478	630.0	19.940	-20.48
148	SLE freq	-0.00002487	630.0	19.989	-20.54
149	SLE freq	-0.00002150	630.0	18.111	-18.20
150	SLE freq	-0.00002489	630.0	19.960	-20.53
151	SLE q.p.	-0.00002139	630.0	18.092	-18.14
152	SLE q.p.	-0.00002478	630.0	19.940	-20.48

Cedimento massimo in cmb n. 139 = -27.21 mm

### Elemento Platea n. 209

Cmb. n.	Tipo	Car. Netto kN/mm <sup>2</sup>	Prof. mm	Sigm.Z/Sigm.Lit. %	Cedim.Edom. mm
129	SLE rare	-0.00002344	680.0	18.297	-22.88
130	SLE rare	-0.00002366	680.0	18.413	-23.06
131	SLE rare	-0.00002878	730.0	18.669	-28.67
132	SLE rare	-0.00002900	730.0	18.770	-28.86
133	SLE rare	-0.00002387	680.0	18.529	-23.24
134	SLE rare	-0.00002718	730.0	17.902	-27.29
135	SLE rare	-0.00002761	730.0	18.103	-27.66
136	SLE rare	-0.00002806	730.0	18.374	-28.10
137	SLE rare	-0.00002828	730.0	18.475	-28.28
138	SLE rare	-0.00003180	780.0	17.722	-32.67
139	SLE rare	-0.00003202	780.0	17.809	-32.86
140	SLE rare	-0.00002368	680.0	18.332	-23.02
141	SLE rare	-0.00002390	680.0	18.448	-23.20
142	SLE rare	-0.00002742	730.0	17.928	-27.43
143	SLE rare	-0.00002764	730.0	18.029	-27.61
144	SLE freq	-0.00002336	680.0	18.285	-22.84
145	SLE freq	-0.00002710	730.0	17.893	-27.24
146	SLE freq	-0.00002345	680.0	18.331	-22.91
147	SLE freq	-0.00002657	730.0	17.637	-26.78
148	SLE freq	-0.00002665	730.0	17.677	-26.85
149	SLE freq	-0.00002344	680.0	18.297	-22.88
150	SLE freq	-0.00002665	730.0	17.646	-26.83
151	SLE q.p.	-0.00002336	680.0	18.285	-22.84
152	SLE q.p.	-0.00002657	730.0	17.637	-26.78

Cedimento massimo in cmb n. 139 = -32.86 mm

### Elemento Platea n. 210

Cmb. n.	Tipo	Car. Netto kN/mm <sup>2</sup>	Prof. mm	Sigm.Z/Sigm.Lit. %	Cedim.Edom. mm
129	SLE rare	-0.00002616	730.0	17.544	-27.45
130	SLE rare	-0.00002637	730.0	17.650	-27.64
131	SLE rare	-0.00003132	780.0	17.669	-33.60
132	SLE rare	-0.00003152	780.0	17.760	-33.80
133	SLE rare	-0.00002658	730.0	17.756	-27.83
134	SLE rare	-0.00002977	730.0	19.441	-30.82
135	SLE rare	-0.00003018	730.0	19.653	-31.20
136	SLE rare	-0.00003065	730.0	19.941	-31.67
137	SLE rare	-0.00003086	780.0	17.490	-33.19
138	SLE rare	-0.00003426	780.0	19.040	-36.49
139	SLE rare	-0.00003447	780.0	19.131	-36.69
140	SLE rare	-0.00002631	730.0	17.561	-27.54
141	SLE rare	-0.00002652	730.0	17.667	-27.73
142	SLE rare	-0.00002992	730.0	19.458	-30.91
143	SLE rare	-0.00003013	730.0	19.564	-31.10
144	SLE freq	-0.00002611	730.0	17.539	-27.42

145	SLE freq	-0.00002972	730.0	19.436	-30.79
146	SLE freq	-0.00002620	730.0	17.581	-27.49
147	SLE freq	-0.00002920	730.0	19.165	-30.31
148	SLE freq	-0.00002929	730.0	19.207	-30.38
149	SLE freq	-0.00002616	730.0	17.544	-27.45
150	SLE freq	-0.00002925	730.0	19.170	-30.34
151	SLE q.p.	-0.00002611	730.0	17.539	-27.42
152	SLE q.p.	-0.00002920	730.0	19.165	-30.31

Cedimento massimo in cmb n. 139 = -36.69 mm

#### Elemento Platea n. 211

Cmb. n.	Tipo	Car. Netto kN/mm <sup>2</sup>	Prof. mm	Sigm.Z/Sigm.Lit. %	Cedim.Edom. mm
129	SLE rare	-0.00002975	730.0	18.631	-30.66
130	SLE rare	-0.00002995	730.0	18.740	-30.86
131	SLE rare	-0.00003483	780.0	18.583	-37.00
132	SLE rare	-0.00003504	780.0	18.677	-37.20
133	SLE rare	-0.00003015	730.0	18.850	-31.05
134	SLE rare	-0.00003331	780.0	17.859	-35.47
135	SLE rare	-0.00003371	780.0	18.047	-35.87
136	SLE rare	-0.00003420	780.0	18.303	-36.38
137	SLE rare	-0.00003440	780.0	18.397	-36.59
138	SLE rare	-0.00003776	780.0	19.994	-39.96
139	SLE rare	-0.00003796	830.0	17.475	-41.54
140	SLE rare	-0.00002981	730.0	18.637	-30.70
141	SLE rare	-0.00003001	730.0	18.746	-30.89
142	SLE rare	-0.00003337	780.0	17.863	-35.50
143	SLE rare	-0.00003357	780.0	17.957	-35.71
144	SLE freq	-0.00002973	730.0	18.629	-30.65
145	SLE freq	-0.00003329	780.0	17.857	-35.46
146	SLE freq	-0.00002981	730.0	18.673	-30.73
147	SLE freq	-0.00003278	780.0	17.616	-34.95
148	SLE freq	-0.00003286	780.0	17.653	-35.03
149	SLE freq	-0.00002975	730.0	18.631	-30.66
150	SLE freq	-0.00003280	780.0	17.617	-34.96
151	SLE q.p.	-0.00002973	730.0	18.629	-30.65
152	SLE q.p.	-0.00003278	780.0	17.616	-34.95

Cedimento massimo in cmb n. 139 = -41.54 mm

#### Elemento Platea n. 212

Cmb. n.	Tipo	Car. Netto kN/mm <sup>2</sup>	Prof. mm	Sigm.Z/Sigm.Lit. %	Cedim.Edom. mm
129	SLE rare	-0.00003427	730.0	19.294	-33.64
130	SLE rare	-0.00003447	730.0	19.403	-33.83
131	SLE rare	-0.00003940	780.0	19.105	-40.06
132	SLE rare	-0.00003961	780.0	19.199	-40.27
133	SLE rare	-0.00003467	730.0	19.513	-34.03
134	SLE rare	-0.00003786	780.0	18.376	-38.52
135	SLE rare	-0.00003827	780.0	18.565	-38.92
136	SLE rare	-0.00003877	780.0	18.822	-39.44
137	SLE rare	-0.00003897	780.0	18.917	-39.64
138	SLE rare	-0.00004236	830.0	17.804	-44.45
139	SLE rare	-0.00004257	830.0	17.886	-44.66
140	SLE rare	-0.00003424	730.0	19.287	-33.61
141	SLE rare	-0.00003444	730.0	19.397	-33.81
142	SLE rare	-0.00003783	780.0	18.371	-38.49
143	SLE rare	-0.00003804	780.0	18.465	-38.70
144	SLE freq	-0.00003428	730.0	19.296	-33.65
145	SLE freq	-0.00003787	780.0	18.377	-38.53
146	SLE freq	-0.00003436	730.0	19.340	-33.73
147	SLE freq	-0.00003736	780.0	18.134	-38.01
148	SLE freq	-0.00003744	780.0	18.172	-38.09
149	SLE freq	-0.00003427	730.0	19.294	-33.64
150	SLE freq	-0.00003735	780.0	18.133	-38.00
151	SLE q.p.	-0.00003428	730.0	19.296	-33.65
152	SLE q.p.	-0.00003736	780.0	18.134	-38.01

Cedimento massimo in cmb n. 139 = -44.66 mm

#### Elemento Platea n. 213

Cmb. n.	Tipo	Car. Netto kN/mm <sup>2</sup>	Prof. mm	Sigm.Z/Sigm.Lit. %	Cedim.Edom. mm
---------	------	----------------------------------	-------------	-----------------------	-------------------

129	SLE rare	-0.00003978	730.0	19.461	-36.15
130	SLE rare	-0.00003998	730.0	19.568	-36.34
131	SLE rare	-0.00004508	780.0	19.184	-42.56
132	SLE rare	-0.00004528	780.0	19.276	-42.76
133	SLE rare	-0.00004019	730.0	19.676	-36.53
134	SLE rare	-0.00004349	780.0	18.466	-41.02
135	SLE rare	-0.00004390	780.0	18.652	-41.42
136	SLE rare	-0.00004441	780.0	18.904	-41.93
137	SLE rare	-0.00004462	780.0	18.997	-42.13
138	SLE rare	-0.00004812	830.0	17.840	-46.92
139	SLE rare	-0.00004833	830.0	17.920	-47.13
140	SLE rare	-0.00003965	730.0	19.443	-36.06
141	SLE rare	-0.00003986	730.0	19.550	-36.26
142	SLE rare	-0.00004336	780.0	18.453	-40.93
143	SLE rare	-0.00004357	780.0	18.545	-41.13
144	SLE freq	-0.00003982	730.0	19.467	-36.18
145	SLE freq	-0.00004353	780.0	18.471	-41.05
146	SLE freq	-0.00003990	730.0	19.510	-36.25
147	SLE freq	-0.00004300	780.0	18.232	-40.53
148	SLE freq	-0.00004308	780.0	18.269	-40.61
149	SLE freq	-0.00003978	730.0	19.461	-36.15
150	SLE freq	-0.00004296	780.0	18.227	-40.51
151	SLE q.p.	-0.00003982	730.0	19.467	-36.18
152	SLE q.p.	-0.00004300	780.0	18.232	-40.53

Cedimento massimo in cmb n. 139 = -47.13 mm

#### Elemento Platea n. 214

Cmb. n.	Tipo	Car. Netto kN/mm <sup>2</sup>	Prof. mm	Sigm.Z/Sigm.Lit. %	Cedim.Edom. mm
129	SLE rare	-0.00004623	730.0	19.110	-37.74
130	SLE rare	-0.00004645	730.0	19.213	-37.92
131	SLE rare	-0.00005180	780.0	18.811	-43.99
132	SLE rare	-0.00005201	780.0	18.900	-44.19
133	SLE rare	-0.00004666	730.0	19.315	-38.11
134	SLE rare	-0.00005013	780.0	18.120	-42.49
135	SLE rare	-0.00005056	780.0	18.298	-42.88
136	SLE rare	-0.00005108	780.0	18.540	-43.37
137	SLE rare	-0.00005130	780.0	18.629	-43.56
138	SLE rare	-0.00005498	830.0	17.500	-48.25
139	SLE rare	-0.00005519	830.0	17.577	-48.45
140	SLE rare	-0.00004600	730.0	19.082	-37.60
141	SLE rare	-0.00004622	730.0	19.185	-37.78
142	SLE rare	-0.00004990	780.0	18.099	-42.35
143	SLE rare	-0.00005011	780.0	18.188	-42.55
144	SLE freq	-0.00004631	730.0	19.119	-37.78
145	SLE freq	-0.00005020	780.0	18.127	-42.54
146	SLE freq	-0.00004639	730.0	19.160	-37.86
147	SLE freq	-0.00004965	780.0	17.897	-42.04
148	SLE freq	-0.00004973	780.0	17.933	-42.12
149	SLE freq	-0.00004623	730.0	19.110	-37.74
150	SLE freq	-0.00004957	780.0	17.890	-41.99
151	SLE q.p.	-0.00004631	730.0	19.119	-37.78
152	SLE q.p.	-0.00004965	780.0	17.897	-42.04

Cedimento massimo in cmb n. 139 = -48.45 mm

#### Elemento Platea n. 215

Cmb. n.	Tipo	Car. Netto kN/mm <sup>2</sup>	Prof. mm	Sigm.Z/Sigm.Lit. %	Cedim.Edom. mm
129	SLE rare	-0.00004623	730.0	19.110	-37.74
130	SLE rare	-0.00004645	730.0	19.213	-37.92
131	SLE rare	-0.00005180	780.0	18.811	-43.99
132	SLE rare	-0.00005201	780.0	18.900	-44.19
133	SLE rare	-0.00004666	730.0	19.315	-38.11
134	SLE rare	-0.00005013	780.0	18.120	-42.49
135	SLE rare	-0.00005056	780.0	18.298	-42.88
136	SLE rare	-0.00005108	780.0	18.540	-43.37
137	SLE rare	-0.00005130	780.0	18.629	-43.56
138	SLE rare	-0.00005498	830.0	17.500	-48.25
139	SLE rare	-0.00005519	830.0	17.577	-48.45
140	SLE rare	-0.00004600	730.0	19.082	-37.60
141	SLE rare	-0.00004622	730.0	19.185	-37.78

142	SLE rare	-0.00004990	780.0	18.099	-42.35
143	SLE rare	-0.00005011	780.0	18.188	-42.55
144	SLE freq	-0.00004631	730.0	19.119	-37.78
145	SLE freq	-0.00005020	780.0	18.127	-42.54
146	SLE freq	-0.00004639	730.0	19.160	-37.86
147	SLE freq	-0.00004965	780.0	17.897	-42.04
148	SLE freq	-0.00004973	780.0	17.933	-42.12
149	SLE freq	-0.00004623	730.0	19.110	-37.74
150	SLE freq	-0.00004957	780.0	17.890	-41.99
151	SLE q.p.	-0.00004631	730.0	19.119	-37.78
152	SLE q.p.	-0.00004965	780.0	17.897	-42.04

Cedimento massimo in cmb n. 139 = -48.45 mm

### Elemento Platea n. 216

Cmb. n.	Tipo	Car. Netto kN/mm <sup>2</sup>	Prof. mm	Sigm.Z/Sigm.Lit. %	Cedim.Edom. mm
129	SLE rare	-0.00005342	730.0	18.254	-37.51
130	SLE rare	-0.00005365	730.0	18.350	-37.69
131	SLE rare	-0.00005934	780.0	18.005	-43.41
132	SLE rare	-0.00005957	780.0	18.088	-43.59
133	SLE rare	-0.00005388	730.0	18.445	-37.86
134	SLE rare	-0.00005756	730.0	19.988	-40.68
135	SLE rare	-0.00005802	780.0	17.522	-42.36
136	SLE rare	-0.00005855	780.0	17.749	-42.81
137	SLE rare	-0.00005878	780.0	17.832	-42.99
138	SLE rare	-0.00006269	780.0	19.265	-46.10
139	SLE rare	-0.00006292	780.0	19.348	-46.28
140	SLE rare	-0.00005308	730.0	18.219	-37.33
141	SLE rare	-0.00005331	730.0	18.315	-37.51
142	SLE rare	-0.00005722	730.0	19.953	-40.50
143	SLE rare	-0.00005745	780.0	17.412	-42.00
144	SLE freq	-0.00005354	730.0	18.266	-37.57
145	SLE freq	-0.00005768	730.0	20.000	-40.74
146	SLE freq	-0.00005363	730.0	18.304	-37.64
147	SLE freq	-0.00005709	730.0	19.752	-40.29
148	SLE freq	-0.00005718	730.0	19.790	-40.36
149	SLE freq	-0.00005342	730.0	18.254	-37.51
150	SLE freq	-0.00005697	730.0	19.740	-40.23
151	SLE q.p.	-0.00005354	730.0	18.266	-37.57
152	SLE q.p.	-0.00005709	730.0	19.752	-40.29

Cedimento massimo in cmb n. 139 = -46.28 mm

### Elemento Platea n. 217

Cmb. n.	Tipo	Car. Netto kN/mm <sup>2</sup>	Prof. mm	Sigm.Z/Sigm.Lit. %	Cedim.Edom. mm
129	SLE rare	-0.00002219	630.0	18.517	-18.76
130	SLE rare	-0.00002241	630.0	18.638	-18.92
131	SLE rare	-0.00002787	680.0	19.249	-24.03
132	SLE rare	-0.00002810	680.0	19.355	-24.20
133	SLE rare	-0.00002264	630.0	18.760	-19.07
134	SLE rare	-0.00002617	680.0	18.433	-22.79
135	SLE rare	-0.00002662	680.0	18.645	-23.12
136	SLE rare	-0.00002710	680.0	18.939	-23.52
137	SLE rare	-0.00002732	680.0	19.045	-23.69
138	SLE rare	-0.00003108	730.0	18.498	-27.75
139	SLE rare	-0.00003130	730.0	18.591	-27.92
140	SLE rare	-0.00002253	630.0	18.581	-18.93
141	SLE rare	-0.00002276	630.0	18.702	-19.09
142	SLE rare	-0.00002651	680.0	18.481	-22.97
143	SLE rare	-0.00002674	680.0	18.587	-23.14
144	SLE freq	-0.00002207	630.0	18.495	-18.70
145	SLE freq	-0.00002605	680.0	18.417	-22.74
146	SLE freq	-0.00002216	630.0	18.544	-18.76
147	SLE freq	-0.00002548	680.0	18.144	-22.32
148	SLE freq	-0.00002557	680.0	18.187	-22.39
149	SLE freq	-0.00002219	630.0	18.517	-18.76
150	SLE freq	-0.00002560	680.0	18.161	-22.38
151	SLE q.p.	-0.00002207	630.0	18.495	-18.70
152	SLE q.p.	-0.00002548	680.0	18.144	-22.32

Cedimento massimo in cmb n. 139 = -27.92 mm

**Elemento Platea n. 218**

Cmb. n.	Tipo	Car. Netto kN/mm <sup>2</sup>	Prof. mm	Sigm.Z/Sigm.Lit. %	Cedim.Edom. mm
129	SLE rare	-0.00002437	680.0	18.732	-23.63
130	SLE rare	-0.00002459	680.0	18.848	-23.81
131	SLE rare	-0.00002979	730.0	19.071	-29.52
132	SLE rare	-0.00003000	730.0	19.171	-29.70
133	SLE rare	-0.00002480	680.0	18.964	-23.98
134	SLE rare	-0.00002816	730.0	18.292	-28.11
135	SLE rare	-0.00002859	730.0	18.494	-28.48
136	SLE rare	-0.00002909	730.0	18.775	-28.95
137	SLE rare	-0.00002931	730.0	18.876	-29.14
138	SLE rare	-0.00003288	780.0	18.080	-33.60
139	SLE rare	-0.00003310	780.0	18.167	-33.79
140	SLE rare	-0.00002463	680.0	18.773	-23.78
141	SLE rare	-0.00002484	680.0	18.889	-23.96
142	SLE rare	-0.00002842	730.0	18.323	-28.26
143	SLE rare	-0.00002863	730.0	18.424	-28.45
144	SLE freq	-0.00002429	680.0	18.718	-23.58
145	SLE freq	-0.00002808	730.0	18.282	-28.06
146	SLE freq	-0.00002437	680.0	18.765	-23.65
147	SLE freq	-0.00002753	730.0	18.023	-27.59
148	SLE freq	-0.00002762	730.0	18.063	-27.66
149	SLE freq	-0.00002437	680.0	18.732	-23.63
150	SLE freq	-0.00002762	730.0	18.033	-27.64
151	SLE q.p.	-0.00002429	680.0	18.718	-23.58
152	SLE q.p.	-0.00002753	730.0	18.023	-27.59

Cedimento massimo in cmb n. 139 = -33.79 mm

**Elemento Platea n. 219**

Cmb. n.	Tipo	Car. Netto kN/mm <sup>2</sup>	Prof. mm	Sigm.Z/Sigm.Lit. %	Cedim.Edom. mm
129	SLE rare	-0.00002718	730.0	17.964	-28.32
130	SLE rare	-0.00002739	730.0	18.070	-28.51
131	SLE rare	-0.00003242	780.0	18.052	-34.59
132	SLE rare	-0.00003263	780.0	18.144	-34.79
133	SLE rare	-0.00002759	730.0	18.177	-28.70
134	SLE rare	-0.00003085	730.0	19.890	-31.75
135	SLE rare	-0.00003126	780.0	17.522	-33.46
136	SLE rare	-0.00003178	780.0	17.780	-33.99
137	SLE rare	-0.00003199	780.0	17.872	-34.18
138	SLE rare	-0.00003545	780.0	19.446	-37.54
139	SLE rare	-0.00003566	780.0	19.538	-37.74
140	SLE rare	-0.00002735	730.0	17.985	-28.43
141	SLE rare	-0.00002755	730.0	18.092	-28.62
142	SLE rare	-0.00003102	730.0	19.911	-31.85
143	SLE rare	-0.00003122	780.0	17.446	-33.37
144	SLE freq	-0.00002712	730.0	17.957	-28.28
145	SLE freq	-0.00003079	730.0	19.883	-31.71
146	SLE freq	-0.00002721	730.0	17.999	-28.36
147	SLE freq	-0.00003027	730.0	19.607	-31.22
148	SLE freq	-0.00003035	730.0	19.650	-31.30
149	SLE freq	-0.00002718	730.0	17.964	-28.32
150	SLE freq	-0.00003033	730.0	19.615	-31.26
151	SLE q.p.	-0.00002712	730.0	17.957	-28.28
152	SLE q.p.	-0.00003027	730.0	19.607	-31.22

Cedimento massimo in cmb n. 139 = -37.74 mm

**Elemento Platea n. 220**

Cmb. n.	Tipo	Car. Netto kN/mm <sup>2</sup>	Prof. mm	Sigm.Z/Sigm.Lit. %	Cedim.Edom. mm
129	SLE rare	-0.00003077	730.0	19.076	-31.57
130	SLE rare	-0.00003098	730.0	19.186	-31.77
131	SLE rare	-0.00003596	780.0	18.987	-38.03
132	SLE rare	-0.00003616	780.0	19.082	-38.23
133	SLE rare	-0.00003118	730.0	19.296	-31.96
134	SLE rare	-0.00003440	780.0	18.252	-36.47
135	SLE rare	-0.00003480	780.0	18.441	-36.87
136	SLE rare	-0.00003533	780.0	18.706	-37.42
137	SLE rare	-0.00003553	780.0	18.800	-37.62
138	SLE rare	-0.00003896	830.0	17.747	-42.45

139	SLE rare	-0.00003916	830.0	17.829	-42.66
140	SLE rare	-0.00003085	730.0	19.087	-31.62
141	SLE rare	-0.00003106	730.0	19.196	-31.82
142	SLE rare	-0.00003448	780.0	18.260	-36.52
143	SLE rare	-0.00003468	780.0	18.354	-36.72
144	SLE freq	-0.00003075	730.0	19.073	-31.56
145	SLE freq	-0.00003437	780.0	18.249	-36.45
146	SLE freq	-0.00003083	730.0	19.117	-31.63
147	SLE freq	-0.00003386	780.0	18.004	-35.93
148	SLE freq	-0.00003394	780.0	18.042	-36.01
149	SLE freq	-0.00003077	730.0	19.076	-31.57
150	SLE freq	-0.00003388	780.0	18.007	-35.95
151	SLE q.p.	-0.00003075	730.0	19.073	-31.56
152	SLE q.p.	-0.00003386	780.0	18.004	-35.93

Cedimento massimo in cmb n. 139 = -42.66 mm

### Elemento Platea n. 221

Cmb. n.	Tipo	Car. Netto kN/mm <sup>2</sup>	Prof. mm	Sigm.Z/Sigm.Lit. %	Cedim.Edom. mm
129	SLE rare	-0.00003528	730.0	19.744	-34.55
130	SLE rare	-0.00003548	730.0	19.854	-34.75
131	SLE rare	-0.00004051	780.0	19.513	-41.09
132	SLE rare	-0.00004072	780.0	19.607	-41.30
133	SLE rare	-0.00003568	730.0	19.964	-34.94
134	SLE rare	-0.00003894	780.0	18.772	-39.52
135	SLE rare	-0.00003935	780.0	18.962	-39.93
136	SLE rare	-0.00003988	780.0	19.228	-40.47
137	SLE rare	-0.00004009	780.0	19.323	-40.67
138	SLE rare	-0.00004355	830.0	18.159	-45.57
139	SLE rare	-0.00004375	830.0	18.241	-45.78
140	SLE rare	-0.00003527	730.0	19.742	-34.54
141	SLE rare	-0.00003547	730.0	19.852	-34.74
142	SLE rare	-0.00003893	780.0	18.771	-39.51
143	SLE rare	-0.00003914	780.0	18.866	-39.72
144	SLE freq	-0.00003528	730.0	19.744	-34.55
145	SLE freq	-0.00003895	780.0	18.772	-39.52
146	SLE freq	-0.00003536	730.0	19.788	-34.63
147	SLE freq	-0.00003842	780.0	18.526	-39.00
148	SLE freq	-0.00003850	780.0	18.564	-39.08
149	SLE freq	-0.00003528	730.0	19.744	-34.55
150	SLE freq	-0.00003842	780.0	18.525	-39.00
151	SLE q.p.	-0.00003528	730.0	19.744	-34.55
152	SLE q.p.	-0.00003842	780.0	18.526	-39.00

Cedimento massimo in cmb n. 139 = -45.78 mm

### Elemento Platea n. 222

Cmb. n.	Tipo	Car. Netto kN/mm <sup>2</sup>	Prof. mm	Sigm.Z/Sigm.Lit. %	Cedim.Edom. mm
129	SLE rare	-0.00004080	730.0	19.910	-37.05
130	SLE rare	-0.00004101	780.0	17.255	-38.56
131	SLE rare	-0.00004620	780.0	19.591	-43.57
132	SLE rare	-0.00004641	780.0	19.684	-43.77
133	SLE rare	-0.00004121	780.0	17.348	-38.76
134	SLE rare	-0.00004458	780.0	18.862	-42.01
135	SLE rare	-0.00004499	780.0	19.049	-42.41
136	SLE rare	-0.00004554	780.0	19.309	-42.94
137	SLE rare	-0.00004574	780.0	19.402	-43.14
138	SLE rare	-0.00004931	830.0	18.194	-48.03
139	SLE rare	-0.00004952	830.0	18.275	-48.23
140	SLE rare	-0.00004070	730.0	19.897	-36.98
141	SLE rare	-0.00004090	780.0	17.245	-38.49
142	SLE rare	-0.00004448	780.0	18.852	-41.94
143	SLE rare	-0.00004468	780.0	18.946	-42.14
144	SLE freq	-0.00004084	730.0	19.915	-37.07
145	SLE freq	-0.00004461	780.0	18.865	-42.03
146	SLE freq	-0.00004092	730.0	19.958	-37.15
147	SLE freq	-0.00004407	780.0	18.622	-41.51
148	SLE freq	-0.00004416	780.0	18.660	-41.59
149	SLE freq	-0.00004080	730.0	19.910	-37.05
150	SLE freq	-0.00004404	780.0	18.619	-41.49
151	SLE q.p.	-0.00004084	730.0	19.915	-37.07

152 SLE q.p. -0.00004407 780.0 18.622 -41.51  
 Cedimento massimo in cmb n. 139 = -48.23 mm

**Elemento Platea n. 223**

Cmb. n.	Tipo	Car. Netto kN/mm <sup>2</sup>	Prof. mm	Sigm.Z/Sigm.Lit. %	Cedim.Edom. mm
129	SLE rare	-0.00004729	730.0	19.543	-38.58
130	SLE rare	-0.00004750	730.0	19.646	-38.77
131	SLE rare	-0.00005295	780.0	19.204	-44.95
132	SLE rare	-0.00005317	780.0	19.294	-45.15
133	SLE rare	-0.00004771	730.0	19.749	-38.96
134	SLE rare	-0.00005125	780.0	18.503	-43.43
135	SLE rare	-0.00005168	780.0	18.682	-43.81
136	SLE rare	-0.00005223	780.0	18.932	-44.33
137	SLE rare	-0.00005245	780.0	19.021	-44.52
138	SLE rare	-0.00005620	830.0	17.843	-49.29
139	SLE rare	-0.00005641	830.0	17.921	-49.49
140	SLE rare	-0.00004708	730.0	19.520	-38.46
141	SLE rare	-0.00004729	730.0	19.623	-38.65
142	SLE rare	-0.00005105	780.0	18.486	-43.30
143	SLE rare	-0.00005126	780.0	18.575	-43.50
144	SLE freq	-0.00004735	730.0	19.550	-38.62
145	SLE freq	-0.00005132	780.0	18.509	-43.47
146	SLE freq	-0.00004744	730.0	19.592	-38.70
147	SLE freq	-0.00005075	780.0	18.275	-42.96
148	SLE freq	-0.00005084	780.0	18.311	-43.04
149	SLE freq	-0.00004729	730.0	19.543	-38.58
150	SLE freq	-0.00005069	780.0	18.269	-42.92
151	SLE q.p.	-0.00004735	730.0	19.550	-38.62
152	SLE q.p.	-0.00005075	780.0	18.275	-42.96

Cedimento massimo in cmb n. 139 = -49.49 mm

**Elemento Platea n. 224**

Cmb. n.	Tipo	Car. Netto kN/mm <sup>2</sup>	Prof. mm	Sigm.Z/Sigm.Lit. %	Cedim.Edom. mm
129	SLE rare	-0.00004729	730.0	19.543	-38.58
130	SLE rare	-0.00004750	730.0	19.646	-38.77
131	SLE rare	-0.00005295	780.0	19.204	-44.95
132	SLE rare	-0.00005317	780.0	19.294	-45.15
133	SLE rare	-0.00004771	730.0	19.749	-38.96
134	SLE rare	-0.00005125	780.0	18.503	-43.43
135	SLE rare	-0.00005168	780.0	18.682	-43.81
136	SLE rare	-0.00005223	780.0	18.932	-44.33
137	SLE rare	-0.00005245	780.0	19.021	-44.52
138	SLE rare	-0.00005620	830.0	17.843	-49.29
139	SLE rare	-0.00005641	830.0	17.921	-49.49
140	SLE rare	-0.00004708	730.0	19.520	-38.46
141	SLE rare	-0.00004729	730.0	19.623	-38.65
142	SLE rare	-0.00005105	780.0	18.486	-43.30
143	SLE rare	-0.00005126	780.0	18.575	-43.50
144	SLE freq	-0.00004735	730.0	19.550	-38.62
145	SLE freq	-0.00005132	780.0	18.509	-43.47
146	SLE freq	-0.00004744	730.0	19.592	-38.70
147	SLE freq	-0.00005075	780.0	18.275	-42.96
148	SLE freq	-0.00005084	780.0	18.311	-43.04
149	SLE freq	-0.00004729	730.0	19.543	-38.58
150	SLE freq	-0.00005069	780.0	18.269	-42.92
151	SLE q.p.	-0.00004735	730.0	19.550	-38.62
152	SLE q.p.	-0.00005075	780.0	18.275	-42.96

Cedimento massimo in cmb n. 139 = -49.49 mm

**Elemento Platea n. 225**

Cmb. n.	Tipo	Car. Netto kN/mm <sup>2</sup>	Prof. mm	Sigm.Z/Sigm.Lit. %	Cedim.Edom. mm
129	SLE rare	-0.00005452	730.0	18.656	-38.24
130	SLE rare	-0.00005475	730.0	18.752	-38.42
131	SLE rare	-0.00006054	780.0	18.373	-44.24
132	SLE rare	-0.00006077	780.0	18.457	-44.42
133	SLE rare	-0.00005498	730.0	18.848	-38.59
134	SLE rare	-0.00005874	780.0	17.713	-42.81
135	SLE rare	-0.00005919	780.0	17.881	-43.17

136	SLE rare	-0.00005974	780.0	18.115	-43.64
137	SLE rare	-0.00005997	780.0	18.199	-43.82
138	SLE rare	-0.00006395	780.0	19.655	-46.97
139	SLE rare	-0.00006418	780.0	19.739	-47.15
140	SLE rare	-0.00005421	730.0	18.626	-38.08
141	SLE rare	-0.00005443	730.0	18.722	-38.26
142	SLE rare	-0.00005842	780.0	17.690	-42.65
143	SLE rare	-0.00005865	780.0	17.774	-42.83
144	SLE freq	-0.00005463	730.0	18.666	-38.30
145	SLE freq	-0.00005884	780.0	17.721	-42.86
146	SLE freq	-0.00005472	730.0	18.704	-38.37
147	SLE freq	-0.00005824	780.0	17.501	-42.39
148	SLE freq	-0.00005833	780.0	17.535	-42.46
149	SLE freq	-0.00005452	730.0	18.656	-38.24
150	SLE freq	-0.00005814	780.0	17.493	-42.33
151	SLE q.p.	-0.00005463	730.0	18.666	-38.30
152	SLE q.p.	-0.00005824	780.0	17.501	-42.39

Cedimento massimo in cmb n. 139 = -47.15 mm

**Elemento Platea n. 226**

Cmb. n.	Tipo	Car. Netto kN/mm <sup>2</sup>	Prof. mm	Sigm.Z/Sigm.Lit. %	Cedim.Edom. mm
129	SLE rare	-0.00002321	630.0	18.705	-19.33
130	SLE rare	-0.00002343	630.0	18.824	-19.49
131	SLE rare	-0.00002893	680.0	19.391	-24.63
132	SLE rare	-0.00002916	680.0	19.496	-24.80
133	SLE rare	-0.00002366	630.0	18.944	-19.64
134	SLE rare	-0.00002721	680.0	18.577	-23.39
135	SLE rare	-0.00002766	680.0	18.786	-23.71
136	SLE rare	-0.00002824	680.0	19.087	-24.16
137	SLE rare	-0.00002846	680.0	19.192	-24.32
138	SLE rare	-0.00003224	730.0	18.615	-28.40
139	SLE rare	-0.00003247	730.0	18.707	-28.57
140	SLE rare	-0.00002357	630.0	18.773	-19.52
141	SLE rare	-0.00002380	630.0	18.893	-19.67
142	SLE rare	-0.00002758	680.0	18.629	-23.58
143	SLE rare	-0.00002780	680.0	18.733	-23.74
144	SLE freq	-0.00002309	630.0	18.682	-19.27
145	SLE freq	-0.00002709	680.0	18.560	-23.33
146	SLE freq	-0.00002318	630.0	18.730	-19.33
147	SLE freq	-0.00002652	680.0	18.288	-22.91
148	SLE freq	-0.00002661	680.0	18.330	-22.98
149	SLE freq	-0.00002321	630.0	18.705	-19.33
150	SLE freq	-0.00002664	680.0	18.306	-22.98
151	SLE q.p.	-0.00002309	630.0	18.682	-19.27
152	SLE q.p.	-0.00002652	680.0	18.288	-22.91

Cedimento massimo in cmb n. 139 = -28.57 mm

**Elemento Platea n. 227**

Cmb. n.	Tipo	Car. Netto kN/mm <sup>2</sup>	Prof. mm	Sigm.Z/Sigm.Lit. %	Cedim.Edom. mm
129	SLE rare	-0.00002572	680.0	18.945	-24.41
130	SLE rare	-0.00002593	680.0	19.060	-24.58
131	SLE rare	-0.00003123	730.0	19.240	-30.35
132	SLE rare	-0.00003144	730.0	19.340	-30.53
133	SLE rare	-0.00002614	680.0	19.175	-24.76
134	SLE rare	-0.00002957	730.0	18.462	-28.93
135	SLE rare	-0.00003000	730.0	18.661	-29.29
136	SLE rare	-0.00003059	730.0	18.948	-29.81
137	SLE rare	-0.00003080	730.0	19.048	-29.99
138	SLE rare	-0.00003444	780.0	18.219	-34.50
139	SLE rare	-0.00003466	780.0	18.305	-34.69
140	SLE rare	-0.00002599	680.0	18.990	-24.57
141	SLE rare	-0.00002620	680.0	19.105	-24.74
142	SLE rare	-0.00002985	730.0	18.496	-29.09
143	SLE rare	-0.00003006	730.0	18.595	-29.27
144	SLE freq	-0.00002562	680.0	18.930	-24.35
145	SLE freq	-0.00002948	730.0	18.450	-28.87
146	SLE freq	-0.00002571	680.0	18.976	-24.42
147	SLE freq	-0.00002893	730.0	18.191	-28.40
148	SLE freq	-0.00002902	730.0	18.231	-28.47



149	SLE freq	-0.00002572	680.0	18.945	-24.41
150	SLE freq	-0.00002902	730.0	18.202	-28.45
151	SLE q.p.	-0.00002562	680.0	18.930	-24.35
152	SLE q.p.	-0.00002893	730.0	18.191	-28.40

Cedimento massimo in cmb n. 139 = -34.69 mm

#### Elemento Platea n. 228

Cmb. n.	Tipo	Car. Netto kN/mm <sup>2</sup>	Prof. mm	Sigm.Z/Sigm.Lit. %	Cedim.Edom. mm
129	SLE rare	-0.00002869	730.0	18.175	-29.24
130	SLE rare	-0.00002889	730.0	18.280	-29.43
131	SLE rare	-0.00003405	780.0	18.222	-35.59
132	SLE rare	-0.00003426	780.0	18.313	-35.78
133	SLE rare	-0.00002910	730.0	18.386	-29.62
134	SLE rare	-0.00003244	780.0	17.507	-34.04
135	SLE rare	-0.00003286	780.0	17.689	-34.44
136	SLE rare	-0.00003344	780.0	17.953	-35.00
137	SLE rare	-0.00003365	780.0	18.044	-35.20
138	SLE rare	-0.00003720	780.0	19.622	-38.60
139	SLE rare	-0.00003741	780.0	19.713	-38.80
140	SLE rare	-0.00002887	730.0	18.200	-29.36
141	SLE rare	-0.00002908	730.0	18.306	-29.55
142	SLE rare	-0.00003263	780.0	17.526	-34.16
143	SLE rare	-0.00003283	780.0	17.617	-34.36
144	SLE freq	-0.00002862	730.0	18.166	-29.20
145	SLE freq	-0.00003238	780.0	17.500	-34.00
146	SLE freq	-0.00002871	730.0	18.208	-29.28
147	SLE freq	-0.00003185	730.0	19.820	-32.18
148	SLE freq	-0.00003193	730.0	19.863	-32.25
149	SLE freq	-0.00002869	730.0	18.175	-29.24
150	SLE freq	-0.00003191	730.0	19.829	-32.22
151	SLE q.p.	-0.00002862	730.0	18.166	-29.20
152	SLE q.p.	-0.00003185	730.0	19.820	-32.18

Cedimento massimo in cmb n. 139 = -38.80 mm

#### Elemento Platea n. 229

Cmb. n.	Tipo	Car. Netto kN/mm <sup>2</sup>	Prof. mm	Sigm.Z/Sigm.Lit. %	Cedim.Edom. mm
129	SLE rare	-0.00003230	730.0	19.308	-32.55
130	SLE rare	-0.00003250	730.0	19.416	-32.74
131	SLE rare	-0.00003762	780.0	19.174	-39.09
132	SLE rare	-0.00003782	780.0	19.268	-39.29
133	SLE rare	-0.00003270	730.0	19.525	-32.93
134	SLE rare	-0.00003602	780.0	18.437	-37.51
135	SLE rare	-0.00003643	780.0	18.624	-37.91
136	SLE rare	-0.00003701	780.0	18.895	-38.49
137	SLE rare	-0.00003722	780.0	18.989	-38.69
138	SLE rare	-0.00004074	830.0	17.899	-43.59
139	SLE rare	-0.00004094	830.0	17.980	-43.80
140	SLE rare	-0.00003239	730.0	19.323	-32.61
141	SLE rare	-0.00003260	730.0	19.431	-32.80
142	SLE rare	-0.00003612	780.0	18.448	-37.57
143	SLE rare	-0.00003632	780.0	18.542	-37.78
144	SLE freq	-0.00003226	730.0	19.303	-32.52
145	SLE freq	-0.00003599	780.0	18.433	-37.49
146	SLE freq	-0.00003235	730.0	19.346	-32.60
147	SLE freq	-0.00003546	780.0	18.187	-36.96
148	SLE freq	-0.00003554	780.0	18.225	-37.04
149	SLE freq	-0.00003230	730.0	19.308	-32.55
150	SLE freq	-0.00003549	780.0	18.191	-36.98
151	SLE q.p.	-0.00003226	730.0	19.303	-32.52
152	SLE q.p.	-0.00003546	780.0	18.187	-36.96

Cedimento massimo in cmb n. 139 = -43.80 mm

#### Elemento Platea n. 230

Cmb. n.	Tipo	Car. Netto kN/mm <sup>2</sup>	Prof. mm	Sigm.Z/Sigm.Lit. %	Cedim.Edom. mm
129	SLE rare	-0.00003675	730.0	19.986	-35.53
130	SLE rare	-0.00003696	780.0	17.327	-37.04
131	SLE rare	-0.00004212	780.0	19.709	-42.16
132	SLE rare	-0.00004233	780.0	19.803	-42.37

133	SLE rare	-0.00003716	780.0	17.421	-37.24
134	SLE rare	-0.00004051	780.0	18.966	-40.57
135	SLE rare	-0.00004092	780.0	19.155	-40.97
136	SLE rare	-0.00004150	780.0	19.426	-41.55
137	SLE rare	-0.00004171	780.0	19.521	-41.75
138	SLE rare	-0.00004526	830.0	18.318	-46.72
139	SLE rare	-0.00004547	830.0	18.400	-46.93
140	SLE rare	-0.00003676	730.0	19.990	-35.53
141	SLE rare	-0.00003697	780.0	17.330	-37.05
142	SLE rare	-0.00004052	780.0	18.969	-40.58
143	SLE rare	-0.00004073	780.0	19.063	-40.78
144	SLE freq	-0.00003675	730.0	19.985	-35.52
145	SLE freq	-0.00004051	780.0	18.965	-40.56
146	SLE freq	-0.00003683	780.0	17.269	-36.92
147	SLE freq	-0.00003997	780.0	18.718	-40.03
148	SLE freq	-0.00004005	780.0	18.755	-40.11
149	SLE freq	-0.00003675	730.0	19.986	-35.53
150	SLE freq	-0.00003998	780.0	18.718	-40.04
151	SLE q.p.	-0.00003675	730.0	19.985	-35.52
152	SLE q.p.	-0.00003997	780.0	18.718	-40.03

Cedimento massimo in cmb n. 139 = -46.93 mm

### Elemento Platea n. 231

Cmb. n.	Tipo	Car. Netto kN/mm <sup>2</sup>	Prof. mm	Sigm.Z/Sigm.Lit. %	Cedim.Edom. mm
129	SLE rare	-0.00004220	780.0	17.350	-39.31
130	SLE rare	-0.00004240	780.0	17.442	-39.51
131	SLE rare	-0.00004773	780.0	19.789	-44.60
132	SLE rare	-0.00004793	780.0	19.881	-44.80
133	SLE rare	-0.00004261	780.0	17.535	-39.71
134	SLE rare	-0.00004607	780.0	19.057	-43.01
135	SLE rare	-0.00004648	780.0	19.242	-43.41
136	SLE rare	-0.00004707	780.0	19.509	-43.98
137	SLE rare	-0.00004727	780.0	19.601	-44.18
138	SLE rare	-0.00005094	830.0	18.354	-49.13
139	SLE rare	-0.00005114	830.0	18.435	-49.34
140	SLE rare	-0.00004212	780.0	17.344	-39.26
141	SLE rare	-0.00004232	780.0	17.437	-39.45
142	SLE rare	-0.00004599	780.0	19.051	-42.96
143	SLE rare	-0.00004619	780.0	19.144	-43.16
144	SLE freq	-0.00004223	780.0	17.352	-39.32
145	SLE freq	-0.00004610	780.0	19.059	-43.03
146	SLE freq	-0.00004231	780.0	17.389	-39.40
147	SLE freq	-0.00004554	780.0	18.815	-42.50
148	SLE freq	-0.00004562	780.0	18.852	-42.58
149	SLE freq	-0.00004220	780.0	17.350	-39.31
150	SLE freq	-0.00004551	780.0	18.813	-42.48
151	SLE q.p.	-0.00004223	780.0	17.352	-39.32
152	SLE q.p.	-0.00004554	780.0	18.815	-42.50

Cedimento massimo in cmb n. 139 = -49.34 mm

### Elemento Platea n. 232

Cmb. n.	Tipo	Car. Netto kN/mm <sup>2</sup>	Prof. mm	Sigm.Z/Sigm.Lit. %	Cedim.Edom. mm
129	SLE rare	-0.00004861	730.0	19.774	-39.43
130	SLE rare	-0.00004882	730.0	19.877	-39.62
131	SLE rare	-0.00005440	780.0	19.394	-45.89
132	SLE rare	-0.00005461	780.0	19.483	-46.08
133	SLE rare	-0.00004904	730.0	19.979	-39.80
134	SLE rare	-0.00005266	780.0	18.690	-44.34
135	SLE rare	-0.00005309	780.0	18.868	-44.72
136	SLE rare	-0.00005367	780.0	19.123	-45.26
137	SLE rare	-0.00005389	780.0	19.212	-45.45
138	SLE rare	-0.00005773	830.0	17.998	-50.29
139	SLE rare	-0.00005794	830.0	18.076	-50.49
140	SLE rare	-0.00004842	730.0	19.756	-39.33
141	SLE rare	-0.00004864	730.0	19.859	-39.51
142	SLE rare	-0.00005248	780.0	18.677	-44.23
143	SLE rare	-0.00005269	780.0	18.766	-44.43
144	SLE freq	-0.00004867	730.0	19.780	-39.47
145	SLE freq	-0.00005272	780.0	18.695	-44.37

146	SLE freq	-0.00004875	730.0	19.821	-39.54
147	SLE freq	-0.00005214	780.0	18.460	-43.86
148	SLE freq	-0.00005223	780.0	18.495	-43.94
149	SLE freq	-0.00004861	730.0	19.774	-39.43
150	SLE freq	-0.00005208	780.0	18.455	-43.82
151	SLE q.p.	-0.00004867	730.0	19.780	-39.47
152	SLE q.p.	-0.00005214	780.0	18.460	-43.86

Cedimento massimo in cmb n. 139 = -50.49 mm

#### Elemento Platea n. 233

Cmb. n.	Tipo	Car. Netto kN/mm <sup>2</sup>	Prof. mm	Sigm.Z/Sigm.Lit. %	Cedim.Edom. mm
129	SLE rare	-0.00004861	730.0	19.774	-39.43
130	SLE rare	-0.00004882	730.0	19.877	-39.62
131	SLE rare	-0.00005440	780.0	19.394	-45.89
132	SLE rare	-0.00005461	780.0	19.483	-46.08
133	SLE rare	-0.00004904	730.0	19.979	-39.80
134	SLE rare	-0.00005266	780.0	18.690	-44.34
135	SLE rare	-0.00005309	780.0	18.868	-44.72
136	SLE rare	-0.00005367	780.0	19.123	-45.26
137	SLE rare	-0.00005389	780.0	19.212	-45.45
138	SLE rare	-0.00005773	830.0	17.998	-50.29
139	SLE rare	-0.00005794	830.0	18.076	-50.49
140	SLE rare	-0.00004842	730.0	19.756	-39.33
141	SLE rare	-0.00004864	730.0	19.859	-39.51
142	SLE rare	-0.00005248	780.0	18.677	-44.23
143	SLE rare	-0.00005269	780.0	18.766	-44.43
144	SLE freq	-0.00004867	730.0	19.780	-39.47
145	SLE freq	-0.00005272	780.0	18.695	-44.37
146	SLE freq	-0.00004875	730.0	19.821	-39.54
147	SLE freq	-0.00005214	780.0	18.460	-43.86
148	SLE freq	-0.00005223	780.0	18.495	-43.94
149	SLE freq	-0.00004861	730.0	19.774	-39.43
150	SLE freq	-0.00005208	780.0	18.455	-43.82
151	SLE q.p.	-0.00004867	730.0	19.780	-39.47
152	SLE q.p.	-0.00005214	780.0	18.460	-43.86

Cedimento massimo in cmb n. 139 = -50.49 mm

#### Elemento Platea n. 234

Cmb. n.	Tipo	Car. Netto kN/mm <sup>2</sup>	Prof. mm	Sigm.Z/Sigm.Lit. %	Cedim.Edom. mm
129	SLE rare	-0.00005578	730.0	18.866	-38.93
130	SLE rare	-0.00005601	730.0	18.961	-39.10
131	SLE rare	-0.00006191	780.0	18.548	-45.00
132	SLE rare	-0.00006214	780.0	18.631	-45.18
133	SLE rare	-0.00005623	730.0	19.057	-39.28
134	SLE rare	-0.00006007	780.0	17.885	-43.55
135	SLE rare	-0.00006052	780.0	18.052	-43.91
136	SLE rare	-0.00006111	780.0	18.291	-44.40
137	SLE rare	-0.00006133	780.0	18.374	-44.58
138	SLE rare	-0.00006540	780.0	19.837	-47.77
139	SLE rare	-0.00006562	780.0	19.921	-47.95
140	SLE rare	-0.00005549	730.0	18.840	-38.79
141	SLE rare	-0.00005571	730.0	18.936	-38.96
142	SLE rare	-0.00005978	780.0	17.866	-43.41
143	SLE rare	-0.00006001	780.0	17.949	-43.59
144	SLE freq	-0.00005588	730.0	18.874	-38.98
145	SLE freq	-0.00006017	780.0	17.891	-43.60
146	SLE freq	-0.00005597	730.0	18.912	-39.05
147	SLE freq	-0.00005956	780.0	17.670	-43.12
148	SLE freq	-0.00005965	780.0	17.704	-43.19
149	SLE freq	-0.00005578	730.0	18.866	-38.93
150	SLE freq	-0.00005946	780.0	17.664	-43.07
151	SLE q.p.	-0.00005588	730.0	18.874	-38.98
152	SLE q.p.	-0.00005956	780.0	17.670	-43.12

Cedimento massimo in cmb n. 139 = -47.95 mm

#### Elemento Platea n. 235

Cmb. n.	Tipo	Car. Netto kN/mm <sup>2</sup>	Prof. mm	Sigm.Z/Sigm.Lit. %	Cedim.Edom. mm
129	SLE rare	-0.00002492	630.0	18.667	-19.94

130	SLE rare	-0.00002515	630.0	18.784	-20.09
131	SLE rare	-0.00003074	680.0	19.298	-25.23
132	SLE rare	-0.00003097	680.0	19.399	-25.39
133	SLE rare	-0.00002537	630.0	18.900	-20.24
134	SLE rare	-0.00002900	680.0	18.497	-23.99
135	SLE rare	-0.00002945	680.0	18.700	-24.31
136	SLE rare	-0.00003014	680.0	19.005	-24.79
137	SLE rare	-0.00003037	680.0	19.106	-24.95
138	SLE rare	-0.00003422	730.0	18.509	-29.03
139	SLE rare	-0.00003444	730.0	18.598	-29.20
140	SLE rare	-0.00002531	630.0	18.738	-20.13
141	SLE rare	-0.00002553	630.0	18.855	-20.28
142	SLE rare	-0.00002938	680.0	18.551	-24.18
143	SLE rare	-0.00002961	680.0	18.652	-24.34
144	SLE freq	-0.00002479	630.0	18.644	-19.87
145	SLE freq	-0.00002887	680.0	18.479	-23.92
146	SLE freq	-0.00002488	630.0	18.690	-19.93
147	SLE freq	-0.00002829	680.0	18.212	-23.51
148	SLE freq	-0.00002838	680.0	18.252	-23.57
149	SLE freq	-0.00002492	630.0	18.667	-19.94
150	SLE freq	-0.00002842	680.0	18.230	-23.57
151	SLE q.p.	-0.00002479	630.0	18.644	-19.87
152	SLE q.p.	-0.00002829	680.0	18.212	-23.51

Cedimento massimo in cmb n. 139 = -29.20 mm

#### Elemento Platea n. 236

Cmb. n.	Tipo	Car. Netto kN/mm <sup>2</sup>	Prof. mm	Sigm.Z/Sigm.Lit. %	Cedim.Edom. mm
129	SLE rare	-0.00002769	680.0	18.938	-25.20
130	SLE rare	-0.00002791	680.0	19.051	-25.38
131	SLE rare	-0.00003335	730.0	19.183	-31.16
132	SLE rare	-0.00003357	730.0	19.281	-31.34
133	SLE rare	-0.00002812	680.0	19.163	-25.55
134	SLE rare	-0.00003165	730.0	18.415	-29.73
135	SLE rare	-0.00003209	730.0	18.609	-30.09
136	SLE rare	-0.00003278	730.0	18.900	-30.66
137	SLE rare	-0.00003299	730.0	18.997	-30.84
138	SLE rare	-0.00003674	780.0	18.147	-35.35
139	SLE rare	-0.00003695	780.0	18.232	-35.54
140	SLE rare	-0.00002798	680.0	18.987	-25.37
141	SLE rare	-0.00002820	680.0	19.099	-25.55
142	SLE rare	-0.00003195	730.0	18.451	-29.91
143	SLE rare	-0.00003216	730.0	18.549	-30.09
144	SLE freq	-0.00002760	680.0	18.922	-25.14
145	SLE freq	-0.00003156	730.0	18.403	-29.68
146	SLE freq	-0.00002768	680.0	18.967	-25.21
147	SLE freq	-0.00003099	730.0	18.146	-29.20
148	SLE freq	-0.00003108	730.0	18.185	-29.27
149	SLE freq	-0.00002769	680.0	18.938	-25.20
150	SLE freq	-0.00003109	730.0	18.159	-29.26
151	SLE q.p.	-0.00002760	680.0	18.922	-25.14
152	SLE q.p.	-0.00003099	730.0	18.146	-29.20

Cedimento massimo in cmb n. 139 = -35.54 mm

#### Elemento Platea n. 237

Cmb. n.	Tipo	Car. Netto kN/mm <sup>2</sup>	Prof. mm	Sigm.Z/Sigm.Lit. %	Cedim.Edom. mm
129	SLE rare	-0.00003082	730.0	18.191	-30.22
130	SLE rare	-0.00003102	730.0	18.294	-30.41
131	SLE rare	-0.00003636	780.0	18.195	-36.60
132	SLE rare	-0.00003657	780.0	18.284	-36.80
133	SLE rare	-0.00003123	730.0	18.398	-30.60
134	SLE rare	-0.00003470	780.0	17.487	-35.05
135	SLE rare	-0.00003512	780.0	17.666	-35.44
136	SLE rare	-0.00003579	780.0	17.932	-36.05
137	SLE rare	-0.00003600	780.0	18.021	-36.24
138	SLE rare	-0.00003967	780.0	19.584	-39.67
139	SLE rare	-0.00003988	780.0	19.674	-39.87
140	SLE rare	-0.00003102	730.0	18.220	-30.35
141	SLE rare	-0.00003123	730.0	18.323	-30.54
142	SLE rare	-0.00003490	780.0	17.508	-35.18

143	SLE rare	-0.00003511	780.0	17.598	-35.37
144	SLE freq	-0.00003075	730.0	18.182	-30.18
145	SLE freq	-0.00003463	780.0	17.479	-35.00
146	SLE freq	-0.00003083	730.0	18.223	-30.25
147	SLE freq	-0.00003408	730.0	19.819	-33.18
148	SLE freq	-0.00003416	730.0	19.860	-33.25
149	SLE freq	-0.00003082	730.0	18.191	-30.22
150	SLE freq	-0.00003414	730.0	19.829	-33.22
151	SLE q.p.	-0.00003075	730.0	18.182	-30.18
152	SLE q.p.	-0.00003408	730.0	19.819	-33.18

Cedimento massimo in cmb n. 139 = -39.87 mm

#### Elemento Platea n. 238

Cmb. n.	Tipo	Car. Netto kN/mm <sup>2</sup>	Prof. mm	Sigm.Z/Sigm.Lit. %	Cedim.Edom. mm
129	SLE rare	-0.00003435	730.0	19.321	-33.54
130	SLE rare	-0.00003455	730.0	19.428	-33.73
131	SLE rare	-0.00003985	780.0	19.143	-40.14
132	SLE rare	-0.00004006	780.0	19.235	-40.34
133	SLE rare	-0.00003476	730.0	19.535	-33.93
134	SLE rare	-0.00003820	780.0	18.412	-38.54
135	SLE rare	-0.00003861	780.0	18.596	-38.94
136	SLE rare	-0.00003928	780.0	18.870	-39.56
137	SLE rare	-0.00003948	780.0	18.962	-39.76
138	SLE rare	-0.00004313	830.0	17.850	-44.70
139	SLE rare	-0.00004333	830.0	17.930	-44.90
140	SLE rare	-0.00003446	730.0	19.340	-33.62
141	SLE rare	-0.00003467	730.0	19.447	-33.81
142	SLE rare	-0.00003832	780.0	18.426	-38.62
143	SLE rare	-0.00003852	780.0	18.518	-38.82
144	SLE freq	-0.00003431	730.0	19.315	-33.51
145	SLE freq	-0.00003816	780.0	18.407	-38.52
146	SLE freq	-0.00003439	730.0	19.358	-33.59
147	SLE freq	-0.00003761	780.0	18.164	-37.98
148	SLE freq	-0.00003769	780.0	18.201	-38.06
149	SLE freq	-0.00003435	730.0	19.321	-33.54
150	SLE freq	-0.00003765	780.0	18.169	-38.01
151	SLE q.p.	-0.00003431	730.0	19.315	-33.51
152	SLE q.p.	-0.00003761	780.0	18.164	-37.98

Cedimento massimo in cmb n. 139 = -44.90 mm

#### Elemento Platea n. 239

Cmb. n.	Tipo	Car. Netto kN/mm <sup>2</sup>	Prof. mm	Sigm.Z/Sigm.Lit. %	Cedim.Edom. mm
129	SLE rare	-0.00003867	780.0	17.229	-37.84
130	SLE rare	-0.00003887	780.0	17.322	-38.04
131	SLE rare	-0.00004421	780.0	19.684	-43.22
132	SLE rare	-0.00004442	780.0	19.777	-43.42
133	SLE rare	-0.00003908	780.0	17.414	-38.24
134	SLE rare	-0.00004255	780.0	18.948	-41.61
135	SLE rare	-0.00004296	780.0	19.133	-42.01
136	SLE rare	-0.00004361	780.0	19.407	-42.62
137	SLE rare	-0.00004381	780.0	19.500	-42.82
138	SLE rare	-0.00004749	830.0	18.274	-47.83
139	SLE rare	-0.00004770	830.0	18.354	-48.04
140	SLE rare	-0.00003870	780.0	17.235	-37.86
141	SLE rare	-0.00003890	780.0	17.328	-38.06
142	SLE rare	-0.00004258	780.0	18.954	-41.63
143	SLE rare	-0.00004278	780.0	19.047	-41.83
144	SLE freq	-0.00003866	780.0	17.227	-37.83
145	SLE freq	-0.00004254	780.0	18.946	-41.60
146	SLE freq	-0.00003874	780.0	17.264	-37.91
147	SLE freq	-0.00004198	780.0	18.700	-41.06
148	SLE freq	-0.00004207	780.0	18.737	-41.14
149	SLE freq	-0.00003867	780.0	17.229	-37.84
150	SLE freq	-0.00004199	780.0	18.702	-41.07
151	SLE q.p.	-0.00003866	780.0	17.227	-37.83
152	SLE q.p.	-0.00004198	780.0	18.700	-41.06

Cedimento massimo in cmb n. 139 = -48.04 mm

#### Elemento Platea n. 240

Cmb. n.	Tipo	Car. Netto kN/mm <sup>2</sup>	Prof. mm	Sigm.Z/Sigm.Lit. %	Cedim.Edom. mm
129	SLE rare	-0.00004394	780.0	17.347	-40.24
130	SLE rare	-0.00004414	780.0	17.438	-40.44
131	SLE rare	-0.00004963	780.0	19.767	-45.60
132	SLE rare	-0.00004983	780.0	19.858	-45.80
133	SLE rare	-0.00004435	780.0	17.529	-40.64
134	SLE rare	-0.00004792	780.0	19.041	-43.99
135	SLE rare	-0.00004834	780.0	19.223	-44.39
136	SLE rare	-0.00004897	780.0	19.492	-44.98
137	SLE rare	-0.00004918	780.0	19.583	-45.18
138	SLE rare	-0.00005295	830.0	18.313	-50.18
139	SLE rare	-0.00005316	830.0	18.392	-50.39
140	SLE rare	-0.00004387	780.0	17.345	-40.21
141	SLE rare	-0.00004408	780.0	17.436	-40.40
142	SLE rare	-0.00004786	780.0	19.039	-43.96
143	SLE rare	-0.00004807	780.0	19.130	-44.16
144	SLE freq	-0.00004396	780.0	17.348	-40.25
145	SLE freq	-0.00004794	780.0	19.042	-44.00
146	SLE freq	-0.00004404	780.0	17.384	-40.33
147	SLE freq	-0.00004737	780.0	18.800	-43.47
148	SLE freq	-0.00004745	780.0	18.836	-43.55
149	SLE freq	-0.00004394	780.0	17.347	-40.24
150	SLE freq	-0.00004735	780.0	18.799	-43.46
151	SLE q.p.	-0.00004396	780.0	17.348	-40.25
152	SLE q.p.	-0.00004737	780.0	18.800	-43.47

Cedimento massimo in cmb n. 139 = -50.39 mm

#### Elemento Platea n. 241

Cmb. n.	Tipo	Car. Netto kN/mm <sup>2</sup>	Prof. mm	Sigm.Z/Sigm.Lit. %	Cedim.Edom. mm
129	SLE rare	-0.00005017	730.0	19.793	-40.25
130	SLE rare	-0.00004414	780.0	17.438	-40.44
131	SLE rare	-0.00005611	780.0	19.371	-46.76
132	SLE rare	-0.00005632	780.0	19.459	-46.95
133	SLE rare	-0.00004435	780.0	17.529	-40.64
134	SLE rare	-0.00005433	780.0	18.672	-45.20
135	SLE rare	-0.00005476	780.0	18.847	-45.58
136	SLE rare	-0.00005538	780.0	19.105	-46.14
137	SLE rare	-0.00005560	780.0	19.192	-46.33
138	SLE rare	-0.00005954	830.0	17.956	-51.21
139	SLE rare	-0.00005975	830.0	18.032	-51.41
140	SLE rare	-0.00004387	780.0	17.345	-40.21
141	SLE rare	-0.00004408	780.0	17.436	-40.40
142	SLE rare	-0.00005417	780.0	18.663	-45.11
143	SLE rare	-0.00005438	780.0	18.750	-45.30
144	SLE freq	-0.00005023	730.0	19.797	-40.28
145	SLE freq	-0.00005438	780.0	18.675	-45.23
146	SLE freq	-0.00005031	730.0	19.837	-40.35
147	SLE freq	-0.00005379	780.0	18.442	-44.71
148	SLE freq	-0.00005387	780.0	18.477	-44.78
149	SLE freq	-0.00005017	730.0	19.793	-40.25
150	SLE freq	-0.00005373	780.0	18.439	-44.68
151	SLE q.p.	-0.00005023	730.0	19.797	-40.28
152	SLE q.p.	-0.00005379	780.0	18.442	-44.71

Cedimento massimo in cmb n. 139 = -51.41 mm

#### Elemento Platea n. 242

Cmb. n.	Tipo	Car. Netto kN/mm <sup>2</sup>	Prof. mm	Sigm.Z/Sigm.Lit. %	Cedim.Edom. mm
129	SLE rare	-0.00005017	730.0	19.793	-40.25
130	SLE rare	-0.00005039	730.0	19.893	-40.43
131	SLE rare	-0.00005611	780.0	19.371	-46.76
132	SLE rare	-0.00005632	780.0	19.459	-46.95
133	SLE rare	-0.00005060	730.0	19.994	-40.62
134	SLE rare	-0.00005433	780.0	18.672	-45.20
135	SLE rare	-0.00005476	780.0	18.847	-45.58
136	SLE rare	-0.00005538	780.0	19.105	-46.14
137	SLE rare	-0.00005560	780.0	19.192	-46.33
138	SLE rare	-0.00005954	830.0	17.956	-51.21
139	SLE rare	-0.00005975	830.0	18.032	-51.41

140	SLE rare	-0.00005001	730.0	19.780	-40.16
141	SLE rare	-0.00005023	730.0	19.881	-40.35
142	SLE rare	-0.00005417	780.0	18.663	-45.11
143	SLE rare	-0.00005438	780.0	18.750	-45.30
144	SLE freq	-0.00005023	730.0	19.797	-40.28
145	SLE freq	-0.00005438	780.0	18.675	-45.23
146	SLE freq	-0.00005031	730.0	19.837	-40.35
147	SLE freq	-0.00005379	780.0	18.442	-44.71
148	SLE freq	-0.00005387	780.0	18.477	-44.78
149	SLE freq	-0.00005017	730.0	19.793	-40.25
150	SLE freq	-0.00005373	780.0	18.439	-44.68
151	SLE q.p.	-0.00005023	730.0	19.797	-40.28
152	SLE q.p.	-0.00005379	780.0	18.442	-44.71

Cedimento massimo in cmb n. 139 = -51.41 mm

#### Elemento Platea n. 243

Cmb. n.	Tipo	Car. Netto kN/mm <sup>2</sup>	Prof. mm	Sigm.Z/Sigm.Lit. %	Cedim.Edom. mm
129	SLE rare	-0.00005720	730.0	18.873	-39.56
130	SLE rare	-0.00005742	730.0	18.967	-39.73
131	SLE rare	-0.00006346	780.0	18.520	-45.67
132	SLE rare	-0.00006368	780.0	18.602	-45.85
133	SLE rare	-0.00005765	730.0	19.061	-39.90
134	SLE rare	-0.00006158	780.0	17.862	-44.21
135	SLE rare	-0.00006203	780.0	18.026	-44.57
136	SLE rare	-0.00006264	780.0	18.267	-45.08
137	SLE rare	-0.00006287	780.0	18.349	-45.25
138	SLE rare	-0.00006703	780.0	19.803	-48.48
139	SLE rare	-0.00006725	780.0	19.885	-48.66
140	SLE rare	-0.00005693	730.0	18.853	-39.43
141	SLE rare	-0.00005715	730.0	18.947	-39.61
142	SLE rare	-0.00006131	780.0	17.846	-44.08
143	SLE rare	-0.00006154	780.0	17.928	-44.26
144	SLE freq	-0.00005729	730.0	18.880	-39.60
145	SLE freq	-0.00006167	780.0	17.867	-44.26
146	SLE freq	-0.00005738	730.0	18.918	-39.67
147	SLE freq	-0.00006104	780.0	17.648	-43.77
148	SLE freq	-0.00006113	780.0	17.680	-43.84
149	SLE freq	-0.00005720	730.0	18.873	-39.56
150	SLE freq	-0.00006095	780.0	17.642	-43.73
151	SLE q.p.	-0.00005729	730.0	18.880	-39.60
152	SLE q.p.	-0.00006104	780.0	17.648	-43.77

Cedimento massimo in cmb n. 139 = -48.66 mm

#### Elemento Platea n. 244

Cmb. n.	Tipo	Car. Netto kN/mm <sup>2</sup>	Prof. mm	Sigm.Z/Sigm.Lit. %	Cedim.Edom. mm
129	SLE rare	-0.00002737	630.0	18.362	-20.40
130	SLE rare	-0.00002760	630.0	18.474	-20.55
131	SLE rare	-0.00003337	680.0	18.940	-25.62
132	SLE rare	-0.00003360	680.0	19.038	-25.77
133	SLE rare	-0.00002783	630.0	18.585	-20.69
134	SLE rare	-0.00003157	680.0	18.164	-24.39
135	SLE rare	-0.00003203	680.0	18.359	-24.70
136	SLE rare	-0.00003286	680.0	18.662	-25.23
137	SLE rare	-0.00003309	680.0	18.760	-25.38
138	SLE rare	-0.00003707	730.0	18.163	-29.40
139	SLE rare	-0.00003729	730.0	18.249	-29.56
140	SLE rare	-0.00002778	630.0	18.433	-20.60
141	SLE rare	-0.00002801	630.0	18.545	-20.74
142	SLE rare	-0.00003198	680.0	18.219	-24.59
143	SLE rare	-0.00003221	680.0	18.316	-24.75
144	SLE freq	-0.00002724	630.0	18.339	-20.33
145	SLE freq	-0.00003144	680.0	18.146	-24.32
146	SLE freq	-0.00002733	630.0	18.383	-20.39
147	SLE freq	-0.00003084	680.0	17.887	-23.92
148	SLE freq	-0.00003093	680.0	17.926	-23.98
149	SLE freq	-0.00002737	630.0	18.362	-20.40
150	SLE freq	-0.00003097	680.0	17.905	-23.98
151	SLE q.p.	-0.00002724	630.0	18.339	-20.33
152	SLE q.p.	-0.00003084	680.0	17.887	-23.92

Cedimento massimo in cmb n. 139 = -29.56 mm

**Elemento Platea n. 245**

Cmb. n.	Tipo	Car. Netto kN/mm <sup>2</sup>	Prof. mm	Sigm.Z/Sigm.Lit. %	Cedim.Edom. mm
129	SLE rare	-0.00003032	680.0	18.678	-25.82
130	SLE rare	-0.00003054	680.0	18.785	-25.99
131	SLE rare	-0.00003620	730.0	18.877	-31.73
132	SLE rare	-0.00003642	730.0	18.971	-31.90
133	SLE rare	-0.00003076	680.0	18.893	-26.16
134	SLE rare	-0.00003444	730.0	18.129	-30.31
135	SLE rare	-0.00003488	730.0	18.316	-30.66
136	SLE rare	-0.00003569	730.0	18.606	-31.27
137	SLE rare	-0.00003591	730.0	18.699	-31.44
138	SLE rare	-0.00003980	780.0	17.849	-35.92
139	SLE rare	-0.00004002	780.0	17.931	-36.10
140	SLE rare	-0.00003064	680.0	18.727	-26.00
141	SLE rare	-0.00003086	680.0	18.835	-26.17
142	SLE rare	-0.00003475	730.0	18.167	-30.49
143	SLE rare	-0.00003497	730.0	18.261	-30.67
144	SLE freq	-0.00003022	680.0	18.661	-25.76
145	SLE freq	-0.00003433	730.0	18.116	-30.25
146	SLE freq	-0.00003031	680.0	18.704	-25.83
147	SLE freq	-0.00003374	730.0	17.867	-29.78
148	SLE freq	-0.00003383	730.0	17.904	-29.85
149	SLE freq	-0.00003032	680.0	18.678	-25.82
150	SLE freq	-0.00003385	730.0	17.879	-29.84
151	SLE q.p.	-0.00003022	680.0	18.661	-25.76
152	SLE q.p.	-0.00003374	730.0	17.867	-29.78

Cedimento massimo in cmb n. 139 = -36.10 mm

**Elemento Platea n. 246**

Cmb. n.	Tipo	Car. Netto kN/mm <sup>2</sup>	Prof. mm	Sigm.Z/Sigm.Lit. %	Cedim.Edom. mm
129	SLE rare	-0.00003351	730.0	17.966	-31.02
130	SLE rare	-0.00003372	730.0	18.066	-31.20
131	SLE rare	-0.00003929	780.0	17.934	-37.38
132	SLE rare	-0.00003950	780.0	18.020	-37.57
133	SLE rare	-0.00003393	730.0	18.166	-31.39
134	SLE rare	-0.00003470	780.0	17.487	-35.05
135	SLE rare	-0.00003798	780.0	17.415	-36.21
136	SLE rare	-0.00003876	780.0	17.680	-36.86
137	SLE rare	-0.00003898	780.0	17.766	-37.05
138	SLE rare	-0.00004281	780.0	19.294	-40.48
139	SLE rare	-0.00004303	780.0	19.381	-40.67
140	SLE rare	-0.00003373	730.0	17.997	-31.15
141	SLE rare	-0.00003394	730.0	18.097	-31.34
142	SLE rare	-0.00003490	780.0	17.508	-35.18
143	SLE rare	-0.00003511	780.0	17.598	-35.37
144	SLE freq	-0.00003343	730.0	17.956	-30.97
145	SLE freq	-0.00003463	780.0	17.479	-35.00
146	SLE freq	-0.00003352	730.0	17.996	-31.04
147	SLE freq	-0.00003690	730.0	19.554	-33.97
148	SLE freq	-0.00003699	730.0	19.594	-34.04
149	SLE freq	-0.00003351	730.0	17.966	-31.02
150	SLE freq	-0.00003698	730.0	19.565	-34.02
151	SLE q.p.	-0.00003343	730.0	17.956	-30.97
152	SLE q.p.	-0.00003690	730.0	19.554	-33.97

Cedimento massimo in cmb n. 139 = -40.67 mm

**Elemento Platea n. 247**

Cmb. n.	Tipo	Car. Netto kN/mm <sup>2</sup>	Prof. mm	Sigm.Z/Sigm.Lit. %	Cedim.Edom. mm
129	SLE rare	-0.00003689	730.0	19.101	-34.44
130	SLE rare	-0.00003710	730.0	19.204	-34.63
131	SLE rare	-0.00004263	780.0	18.882	-41.04
132	SLE rare	-0.00004284	780.0	18.971	-41.24
133	SLE rare	-0.00003731	730.0	19.307	-34.82
134	SLE rare	-0.00004091	780.0	18.168	-39.44
135	SLE rare	-0.00004133	780.0	18.346	-39.83
136	SLE rare	-0.00004208	780.0	18.619	-40.49



137	SLE rare	-0.00004229	780.0	18.708	-40.69
138	SLE rare	-0.00004609	830.0	17.595	-45.62
139	SLE rare	-0.00004630	830.0	17.672	-45.83
140	SLE rare	-0.00003703	730.0	19.123	-34.53
141	SLE rare	-0.00003724	730.0	19.226	-34.72
142	SLE rare	-0.00004104	780.0	18.185	-39.53
143	SLE rare	-0.00004125	780.0	18.274	-39.73
144	SLE freq	-0.00003685	730.0	19.094	-34.41
145	SLE freq	-0.00004086	780.0	18.162	-39.41
146	SLE freq	-0.00003693	730.0	19.135	-34.49
147	SLE freq	-0.00004029	780.0	17.924	-38.88
148	SLE freq	-0.00004037	780.0	17.960	-38.95
149	SLE freq	-0.00003689	730.0	19.101	-34.44
150	SLE freq	-0.00004033	780.0	17.930	-38.91
151	SLE q.p.	-0.00003685	730.0	19.094	-34.41
152	SLE q.p.	-0.00004029	780.0	17.924	-38.88

Cedimento massimo in cmb n. 139 = -45.83 mm

#### Elemento Platea n. 248

Cmb. n.	Tipo	Car. Netto kN/mm <sup>2</sup>	Prof. mm	Sigm.Z/Sigm.Lit. %	Cedim.Edom. mm
129	SLE rare	-0.00003867	780.0	17.229	-37.84
130	SLE rare	-0.00003887	780.0	17.322	-38.04
131	SLE rare	-0.00004671	780.0	19.428	-44.16
132	SLE rare	-0.00004692	780.0	19.517	-44.35
133	SLE rare	-0.00004137	780.0	17.202	-39.13
134	SLE rare	-0.00004498	780.0	18.706	-42.53
135	SLE rare	-0.00004540	780.0	18.886	-42.93
136	SLE rare	-0.00004612	780.0	19.160	-43.58
137	SLE rare	-0.00004633	780.0	19.249	-43.77
138	SLE rare	-0.00005015	830.0	18.020	-48.80
139	SLE rare	-0.00005036	830.0	18.098	-49.00
140	SLE rare	-0.00003870	780.0	17.235	-37.86
141	SLE rare	-0.00003890	780.0	17.328	-38.06
142	SLE rare	-0.00004503	780.0	18.716	-42.57
143	SLE rare	-0.00004524	780.0	18.805	-42.76
144	SLE freq	-0.00003866	780.0	17.227	-37.83
145	SLE freq	-0.00004497	780.0	18.703	-42.52
146	SLE freq	-0.00003874	780.0	17.264	-37.91
147	SLE freq	-0.00004439	780.0	18.463	-41.97
148	SLE freq	-0.00004447	780.0	18.499	-42.05
149	SLE freq	-0.00003867	780.0	17.229	-37.84
150	SLE freq	-0.00004441	780.0	18.466	-41.99
151	SLE q.p.	-0.00003866	780.0	17.227	-37.83
152	SLE q.p.	-0.00004439	780.0	18.463	-41.97

Cedimento massimo in cmb n. 139 = -49.00 mm

#### Elemento Platea n. 249

Cmb. n.	Tipo	Car. Netto kN/mm <sup>2</sup>	Prof. mm	Sigm.Z/Sigm.Lit. %	Cedim.Edom. mm
129	SLE rare	-0.00004394	780.0	17.347	-40.24
130	SLE rare	-0.00004616	780.0	17.231	-41.27
131	SLE rare	-0.00005182	780.0	19.515	-46.47
132	SLE rare	-0.00005203	780.0	19.603	-46.67
133	SLE rare	-0.00004637	780.0	17.319	-41.47
134	SLE rare	-0.00005006	780.0	18.803	-44.85
135	SLE rare	-0.00005048	780.0	18.980	-45.25
136	SLE rare	-0.00005117	780.0	19.249	-45.87
137	SLE rare	-0.00005138	780.0	19.337	-46.07
138	SLE rare	-0.00005529	830.0	18.062	-51.08
139	SLE rare	-0.00005550	830.0	18.139	-51.28
140	SLE rare	-0.00004387	780.0	17.345	-40.21
141	SLE rare	-0.00004612	780.0	17.232	-41.25
142	SLE rare	-0.00005002	780.0	18.805	-44.84
143	SLE rare	-0.00005023	780.0	18.893	-45.03
144	SLE freq	-0.00004396	780.0	17.348	-40.25
145	SLE freq	-0.00005007	780.0	18.803	-44.86
146	SLE freq	-0.00004604	780.0	17.178	-41.16
147	SLE freq	-0.00004948	780.0	18.566	-44.32
148	SLE freq	-0.00004957	780.0	18.601	-44.40
149	SLE freq	-0.00004394	780.0	17.347	-40.24

150	SLE freq	-0.00004947	780.0	18.566	-44.31
151	SLE q.p.	-0.00004396	780.0	17.348	-40.25
152	SLE q.p.	-0.00004948	780.0	18.566	-44.32

Cedimento massimo in cmb n. 139 = -51.28 mm

#### Elemento Platea n. 250

Cmb. n.	Tipo	Car. Netto kN/mm <sup>2</sup>	Prof. mm	Sigm.Z/Sigm.Lit. %	Cedim.Edom. mm
129	SLE rare	-0.00005194	730.0	19.582	-40.97
130	SLE rare	-0.00004616	780.0	17.231	-41.27
131	SLE rare	-0.00005803	780.0	19.125	-47.50
132	SLE rare	-0.00005825	780.0	19.210	-47.69
133	SLE rare	-0.00004637	780.0	17.319	-41.47
134	SLE rare	-0.00005620	780.0	18.439	-45.93
135	SLE rare	-0.00005664	780.0	18.609	-46.31
136	SLE rare	-0.00005731	780.0	18.866	-46.90
137	SLE rare	-0.00005752	780.0	18.951	-47.08
138	SLE rare	-0.00006157	830.0	17.712	-51.97
139	SLE rare	-0.00006179	830.0	17.786	-52.16
140	SLE rare	-0.00005180	730.0	19.574	-40.90
141	SLE rare	-0.00004612	780.0	17.232	-41.25
142	SLE rare	-0.00005607	780.0	18.433	-45.86
143	SLE rare	-0.00005628	780.0	18.518	-46.05
144	SLE freq	-0.00005198	730.0	19.585	-40.99
145	SLE freq	-0.00005625	780.0	18.441	-45.95
146	SLE freq	-0.00004604	780.0	17.178	-41.16
147	SLE freq	-0.00005564	780.0	18.212	-45.43
148	SLE freq	-0.00005572	780.0	18.246	-45.50
149	SLE freq	-0.00005194	730.0	19.582	-40.97
150	SLE freq	-0.00005559	780.0	18.210	-45.41
151	SLE q.p.	-0.00005198	730.0	19.585	-40.99
152	SLE q.p.	-0.00005564	780.0	18.212	-45.43

Cedimento massimo in cmb n. 139 = -52.16 mm

#### Elemento Platea n. 251

Cmb. n.	Tipo	Car. Netto kN/mm <sup>2</sup>	Prof. mm	Sigm.Z/Sigm.Lit. %	Cedim.Edom. mm
129	SLE rare	-0.00005194	730.0	19.582	-40.97
130	SLE rare	-0.00005215	730.0	19.680	-41.15
131	SLE rare	-0.00005803	780.0	19.125	-47.50
132	SLE rare	-0.00005825	780.0	19.210	-47.69
133	SLE rare	-0.00005237	730.0	19.778	-41.33
134	SLE rare	-0.00005620	780.0	18.439	-45.93
135	SLE rare	-0.00005664	780.0	18.609	-46.31
136	SLE rare	-0.00005731	780.0	18.866	-46.90
137	SLE rare	-0.00005752	780.0	18.951	-47.08
138	SLE rare	-0.00006157	830.0	17.712	-51.97
139	SLE rare	-0.00006179	830.0	17.786	-52.16
140	SLE rare	-0.00005180	730.0	19.574	-40.90
141	SLE rare	-0.00005201	730.0	19.672	-41.08
142	SLE rare	-0.00005607	780.0	18.433	-45.86
143	SLE rare	-0.00005628	780.0	18.518	-46.05
144	SLE freq	-0.00005198	730.0	19.585	-40.99
145	SLE freq	-0.00005625	780.0	18.441	-45.95
146	SLE freq	-0.00005207	730.0	19.624	-41.07
147	SLE freq	-0.00005564	780.0	18.212	-45.43
148	SLE freq	-0.00005572	780.0	18.246	-45.50
149	SLE freq	-0.00005194	730.0	19.582	-40.97
150	SLE freq	-0.00005559	780.0	18.210	-45.41
151	SLE q.p.	-0.00005198	730.0	19.585	-40.99
152	SLE q.p.	-0.00005564	780.0	18.212	-45.43

Cedimento massimo in cmb n. 139 = -52.16 mm

#### Elemento Platea n. 252

Cmb. n.	Tipo	Car. Netto kN/mm <sup>2</sup>	Prof. mm	Sigm.Z/Sigm.Lit. %	Cedim.Edom. mm
129	SLE rare	-0.00005874	730.0	18.665	-40.08
130	SLE rare	-0.00005896	730.0	18.756	-40.25
131	SLE rare	-0.00006514	780.0	18.280	-46.20
132	SLE rare	-0.00006536	780.0	18.360	-46.37
133	SLE rare	-0.00005919	730.0	18.847	-40.42

134	SLE rare	-0.00006322	780.0	17.634	-44.73
135	SLE rare	-0.00006367	780.0	17.794	-45.08
136	SLE rare	-0.00006432	780.0	18.035	-45.61
137	SLE rare	-0.00006455	780.0	18.114	-45.78
138	SLE rare	-0.00006880	780.0	19.541	-49.03
139	SLE rare	-0.00006902	780.0	19.621	-49.21
140	SLE rare	-0.00005850	730.0	18.649	-39.97
141	SLE rare	-0.00005872	730.0	18.740	-40.14
142	SLE rare	-0.00006297	780.0	17.623	-44.62
143	SLE rare	-0.00006320	780.0	17.703	-44.80
144	SLE freq	-0.00005882	730.0	18.670	-40.12
145	SLE freq	-0.00006330	780.0	17.638	-44.77
146	SLE freq	-0.00005891	730.0	18.706	-40.18
147	SLE freq	-0.00006266	780.0	17.423	-44.28
148	SLE freq	-0.00006275	780.0	17.455	-44.35
149	SLE freq	-0.00005874	730.0	18.665	-40.08
150	SLE freq	-0.00006258	780.0	17.419	-44.24
151	SLE q.p.	-0.00005882	730.0	18.670	-40.12
152	SLE q.p.	-0.00006266	780.0	17.423	-44.28

Cedimento massimo in cmb n. 139 = -49.21 mm

#### Elemento Platea n. 253

Cmb. n.	Tipo	Car. Netto kN/mm <sup>2</sup>	Prof. mm	Sigm.Z/Sigm.Lit. %	Cedim.Edom. mm
129	SLE rare	-0.00002737	630.0	18.362	-20.40
130	SLE rare	-0.00002760	630.0	18.474	-20.55
131	SLE rare	-0.00003337	680.0	18.940	-25.62
132	SLE rare	-0.00003360	680.0	19.038	-25.77
133	SLE rare	-0.00002783	630.0	18.585	-20.69
134	SLE rare	-0.00003157	680.0	18.164	-24.39
135	SLE rare	-0.00003203	680.0	18.359	-24.70
136	SLE rare	-0.00003286	680.0	18.662	-25.23
137	SLE rare	-0.00003309	680.0	18.760	-25.38
138	SLE rare	-0.00003707	730.0	18.163	-29.40
139	SLE rare	-0.00003729	730.0	18.249	-29.56
140	SLE rare	-0.00002778	630.0	18.433	-20.60
141	SLE rare	-0.00002801	630.0	18.545	-20.74
142	SLE rare	-0.00003198	680.0	18.219	-24.59
143	SLE rare	-0.00003221	680.0	18.316	-24.75
144	SLE freq	-0.00002724	630.0	18.339	-20.33
145	SLE freq	-0.00003144	680.0	18.146	-24.32
146	SLE freq	-0.00002733	630.0	18.383	-20.39
147	SLE freq	-0.00003084	680.0	17.887	-23.92
148	SLE freq	-0.00003093	680.0	17.926	-23.98
149	SLE freq	-0.00002737	630.0	18.362	-20.40
150	SLE freq	-0.00003097	680.0	17.905	-23.98
151	SLE q.p.	-0.00002724	630.0	18.339	-20.33
152	SLE q.p.	-0.00003084	680.0	17.887	-23.92

Cedimento massimo in cmb n. 139 = -29.56 mm

#### Elemento Platea n. 254

Cmb. n.	Tipo	Car. Netto kN/mm <sup>2</sup>	Prof. mm	Sigm.Z/Sigm.Lit. %	Cedim.Edom. mm
129	SLE rare	-0.00003349	680.0	18.150	-25.83
130	SLE rare	-0.00003371	680.0	18.252	-25.99
131	SLE rare	-0.00003620	730.0	18.877	-31.73
132	SLE rare	-0.00003642	730.0	18.971	-31.90
133	SLE rare	-0.00003076	680.0	18.893	-26.16
134	SLE rare	-0.00003444	730.0	18.129	-30.31
135	SLE rare	-0.00003488	730.0	18.316	-30.66
136	SLE rare	-0.00003569	730.0	18.606	-31.27
137	SLE rare	-0.00003591	730.0	18.699	-31.44
138	SLE rare	-0.00003980	780.0	17.849	-35.92
139	SLE rare	-0.00004002	780.0	17.931	-36.10
140	SLE rare	-0.00003382	680.0	18.200	-26.01
141	SLE rare	-0.00003405	680.0	18.302	-26.17
142	SLE rare	-0.00003475	730.0	18.167	-30.49
143	SLE rare	-0.00003497	730.0	18.261	-30.67
144	SLE freq	-0.00003337	680.0	18.133	-25.77
145	SLE freq	-0.00003433	730.0	18.116	-30.25
146	SLE freq	-0.00003346	680.0	18.174	-25.84

147	SLE freq	-0.00003374	730.0	17.867	-29.78
148	SLE freq	-0.00003383	730.0	17.904	-29.85
149	SLE freq	-0.00003349	680.0	18.150	-25.83
150	SLE freq	-0.00003385	730.0	17.879	-29.84
151	SLE q.p.	-0.00003337	680.0	18.133	-25.77
152	SLE q.p.	-0.00003374	730.0	17.867	-29.78

Cedimento massimo in cmb n. 139 = -36.10 mm

#### Elemento Platea n. 255

Cmb. n.	Tipo	Car. Netto kN/mm <sup>2</sup>	Prof. mm	Sigm.Z/Sigm.Lit. %	Cedim.Edom. mm
129	SLE rare	-0.00003671	730.0	17.503	-31.38
130	SLE rare	-0.00003693	730.0	17.598	-31.56
131	SLE rare	-0.00004279	780.0	17.447	-37.62
132	SLE rare	-0.00004301	780.0	17.529	-37.81
133	SLE rare	-0.00003715	730.0	17.693	-31.73
134	SLE rare	-0.00004097	730.0	19.297	-34.82
135	SLE rare	-0.00003798	780.0	17.415	-36.21
136	SLE rare	-0.00003876	780.0	17.680	-36.86
137	SLE rare	-0.00003898	780.0	17.766	-37.05
138	SLE rare	-0.00004656	780.0	18.761	-40.70
139	SLE rare	-0.00004678	780.0	18.843	-40.89
140	SLE rare	-0.00003696	730.0	17.535	-31.52
141	SLE rare	-0.00003718	730.0	17.630	-31.70
142	SLE rare	-0.00004121	730.0	19.329	-34.96
143	SLE rare	-0.00004143	730.0	19.424	-35.14
144	SLE freq	-0.00003663	730.0	17.492	-31.33
145	SLE freq	-0.00004089	730.0	19.286	-34.77
146	SLE freq	-0.00003672	730.0	17.530	-31.40
147	SLE freq	-0.00004028	730.0	19.030	-34.28
148	SLE freq	-0.00004037	730.0	19.068	-34.35
149	SLE freq	-0.00003671	730.0	17.503	-31.38
150	SLE freq	-0.00004036	730.0	19.041	-34.33
151	SLE q.p.	-0.00003663	730.0	17.492	-31.33
152	SLE q.p.	-0.00004028	730.0	19.030	-34.28

Cedimento massimo in cmb n. 139 = -40.89 mm

#### Elemento Platea n. 256

Cmb. n.	Tipo	Car. Netto kN/mm <sup>2</sup>	Prof. mm	Sigm.Z/Sigm.Lit. %	Cedim.Edom. mm
129	SLE rare	-0.00003979	730.0	18.630	-35.05
130	SLE rare	-0.00004000	730.0	18.728	-35.23
131	SLE rare	-0.00004580	780.0	18.386	-41.59
132	SLE rare	-0.00004601	780.0	18.471	-41.78
133	SLE rare	-0.00004022	730.0	18.827	-35.42
134	SLE rare	-0.00004400	780.0	17.697	-39.99
135	SLE rare	-0.00004443	780.0	17.867	-40.38
136	SLE rare	-0.00004527	780.0	18.135	-41.06
137	SLE rare	-0.00004548	780.0	18.220	-41.26
138	SLE rare	-0.00004609	830.0	17.595	-45.62
139	SLE rare	-0.00004630	830.0	17.672	-45.83
140	SLE rare	-0.00003995	730.0	18.654	-35.15
141	SLE rare	-0.00004016	730.0	18.752	-35.33
142	SLE rare	-0.00004415	780.0	17.715	-40.09
143	SLE rare	-0.00004437	780.0	17.800	-40.29
144	SLE freq	-0.00003974	730.0	18.622	-35.01
145	SLE freq	-0.00004394	780.0	17.690	-39.96
146	SLE freq	-0.00003982	730.0	18.662	-35.09
147	SLE freq	-0.00004334	780.0	17.461	-39.43
148	SLE freq	-0.00004343	780.0	17.495	-39.51
149	SLE freq	-0.00003979	730.0	18.630	-35.05
150	SLE freq	-0.00004339	780.0	17.467	-39.46
151	SLE q.p.	-0.00003974	730.0	18.622	-35.01
152	SLE q.p.	-0.00004334	780.0	17.461	-39.43

Cedimento massimo in cmb n. 139 = -45.83 mm

#### Elemento Platea n. 257

Cmb. n.	Tipo	Car. Netto kN/mm <sup>2</sup>	Prof. mm	Sigm.Z/Sigm.Lit. %	Cedim.Edom. mm
129	SLE rare	-0.00004345	730.0	19.321	-38.11
130	SLE rare	-0.00004367	730.0	19.420	-38.30

131	SLE rare	-0.00004945	780.0	18.930	-44.80
132	SLE rare	-0.00004966	780.0	19.016	-45.00
133	SLE rare	-0.00004137	780.0	17.202	-39.13
134	SLE rare	-0.00004765	780.0	18.233	-43.18
135	SLE rare	-0.00004807	780.0	18.404	-43.56
136	SLE rare	-0.00004887	780.0	18.674	-44.24
137	SLE rare	-0.00004908	780.0	18.760	-44.44
138	SLE rare	-0.00005306	830.0	17.552	-49.42
139	SLE rare	-0.00005327	830.0	17.627	-49.62
140	SLE rare	-0.00004353	730.0	19.336	-38.16
141	SLE rare	-0.00004374	730.0	19.435	-38.35
142	SLE rare	-0.00004772	780.0	18.244	-43.23
143	SLE rare	-0.00004793	780.0	18.330	-43.42
144	SLE freq	-0.00004343	730.0	19.316	-38.10
145	SLE freq	-0.00004763	780.0	18.229	-43.16
146	SLE freq	-0.00004352	730.0	19.356	-38.17
147	SLE freq	-0.00004703	780.0	17.997	-42.62
148	SLE freq	-0.00004711	780.0	18.031	-42.70
149	SLE freq	-0.00004345	730.0	19.321	-38.11
150	SLE freq	-0.00004705	780.0	18.000	-42.63
151	SLE q.p.	-0.00004343	730.0	19.316	-38.10
152	SLE q.p.	-0.00004703	780.0	17.997	-42.62

Cedimento massimo in cmb n. 139 = -49.62 mm

#### Elemento Platea n. 258

Cmb. n.	Tipo	Car. Netto kN/mm <sup>2</sup>	Prof. mm	Sigm.Z/Sigm.Lit. %	Cedim.Edom. mm
129	SLE rare	-0.00004811	730.0	19.497	-40.40
130	SLE rare	-0.00004616	780.0	17.231	-41.27
131	SLE rare	-0.00005418	780.0	19.023	-47.09
132	SLE rare	-0.00005440	780.0	19.107	-47.28
133	SLE rare	-0.00004637	780.0	17.319	-41.47
134	SLE rare	-0.00005236	780.0	18.334	-45.47
135	SLE rare	-0.00005279	780.0	18.503	-45.85
136	SLE rare	-0.00005354	780.0	18.768	-46.50
137	SLE rare	-0.00005375	780.0	18.853	-46.69
138	SLE rare	-0.00005779	830.0	17.599	-51.68
139	SLE rare	-0.00005800	830.0	17.673	-51.88
140	SLE rare	-0.00004809	730.0	19.502	-40.40
141	SLE rare	-0.00004612	780.0	17.232	-41.25
142	SLE rare	-0.00005234	780.0	18.339	-45.46
143	SLE rare	-0.00005256	780.0	18.423	-45.65
144	SLE freq	-0.00004811	730.0	19.496	-40.40
145	SLE freq	-0.00005237	780.0	18.333	-45.47
146	SLE freq	-0.00004604	780.0	17.178	-41.16
147	SLE freq	-0.00005176	780.0	18.103	-44.93
148	SLE freq	-0.00005184	780.0	18.137	-45.00
149	SLE freq	-0.00004811	730.0	19.497	-40.40
150	SLE freq	-0.00005175	780.0	18.105	-44.93
151	SLE q.p.	-0.00004811	730.0	19.496	-40.40
152	SLE q.p.	-0.00005176	780.0	18.103	-44.93

Cedimento massimo in cmb n. 139 = -51.88 mm

#### Elemento Platea n. 259

Cmb. n.	Tipo	Car. Netto kN/mm <sup>2</sup>	Prof. mm	Sigm.Z/Sigm.Lit. %	Cedim.Edom. mm
129	SLE rare	-0.00005381	730.0	19.125	-41.49
130	SLE rare	-0.00005402	730.0	19.218	-41.67
131	SLE rare	-0.00006007	780.0	18.645	-48.00
132	SLE rare	-0.00006029	780.0	18.727	-48.18
133	SLE rare	-0.00005424	730.0	19.312	-41.85
134	SLE rare	-0.00005819	780.0	17.981	-46.42
135	SLE rare	-0.00005863	780.0	18.144	-46.79
136	SLE rare	-0.00005934	780.0	18.398	-47.40
137	SLE rare	-0.00005956	780.0	18.479	-47.59
138	SLE rare	-0.00006157	830.0	17.712	-51.97
139	SLE rare	-0.00006395	830.0	17.331	-52.63
140	SLE rare	-0.00005369	730.0	19.121	-41.43
141	SLE rare	-0.00005391	730.0	19.214	-41.61
142	SLE rare	-0.00005808	780.0	17.979	-46.37
143	SLE rare	-0.00005830	780.0	18.060	-46.55

144	SLE freq	-0.00005384	730.0	19.126	-41.50
145	SLE freq	-0.00005823	780.0	17.982	-46.44
146	SLE freq	-0.00005393	730.0	19.163	-41.58
147	SLE freq	-0.00005760	780.0	17.761	-45.91
148	SLE freq	-0.00005769	780.0	17.793	-45.99
149	SLE freq	-0.00005381	730.0	19.125	-41.49
150	SLE freq	-0.00005757	780.0	17.760	-45.90
151	SLE q.p.	-0.00005384	730.0	19.126	-41.50
152	SLE q.p.	-0.00005760	780.0	17.761	-45.91

Cedimento massimo in cmb n. 139 = -52.63 mm

#### Elemento Platea n. 260

Cmb. n.	Tipo	Car. Netto kN/mm <sup>2</sup>	Prof. mm	Sigm.Z/Sigm.Lit. %	Cedim.Edom. mm
129	SLE rare	-0.00005381	730.0	19.125	-41.49
130	SLE rare	-0.00005402	730.0	19.218	-41.67
131	SLE rare	-0.00006007	780.0	18.645	-48.00
132	SLE rare	-0.00006029	780.0	18.727	-48.18
133	SLE rare	-0.00005424	730.0	19.312	-41.85
134	SLE rare	-0.00005819	780.0	17.981	-46.42
135	SLE rare	-0.00005863	780.0	18.144	-46.79
136	SLE rare	-0.00005934	780.0	18.398	-47.40
137	SLE rare	-0.00005956	780.0	18.479	-47.59
138	SLE rare	-0.00006157	830.0	17.712	-51.97
139	SLE rare	-0.00006395	830.0	17.331	-52.63
140	SLE rare	-0.00005369	730.0	19.121	-41.43
141	SLE rare	-0.00005391	730.0	19.214	-41.61
142	SLE rare	-0.00005808	780.0	17.979	-46.37
143	SLE rare	-0.00005830	780.0	18.060	-46.55
144	SLE freq	-0.00005384	730.0	19.126	-41.50
145	SLE freq	-0.00005823	780.0	17.982	-46.44
146	SLE freq	-0.00005393	730.0	19.163	-41.58
147	SLE freq	-0.00005760	780.0	17.761	-45.91
148	SLE freq	-0.00005769	780.0	17.793	-45.99
149	SLE freq	-0.00005381	730.0	19.125	-41.49
150	SLE freq	-0.00005757	780.0	17.760	-45.90
151	SLE q.p.	-0.00005384	730.0	19.126	-41.50
152	SLE q.p.	-0.00005760	780.0	17.761	-45.91

Cedimento massimo in cmb n. 139 = -52.63 mm

#### Elemento Platea n. 261

Cmb. n.	Tipo	Car. Netto kN/mm <sup>2</sup>	Prof. mm	Sigm.Z/Sigm.Lit. %	Cedim.Edom. mm
129	SLE rare	-0.00006036	730.0	18.223	-40.40
130	SLE rare	-0.00006059	730.0	18.310	-40.57
131	SLE rare	-0.00006690	780.0	17.820	-46.49
132	SLE rare	-0.00006713	780.0	17.896	-46.66
133	SLE rare	-0.00006081	730.0	18.397	-40.73
134	SLE rare	-0.00006322	780.0	17.634	-44.73
135	SLE rare	-0.00006539	780.0	17.347	-45.36
136	SLE rare	-0.00006608	780.0	17.585	-45.91
137	SLE rare	-0.00006631	780.0	17.661	-46.08
138	SLE rare	-0.00007066	780.0	19.045	-49.33
139	SLE rare	-0.00007088	780.0	19.121	-49.50
140	SLE rare	-0.00006014	730.0	18.212	-40.31
141	SLE rare	-0.00006037	730.0	18.299	-40.47
142	SLE rare	-0.00006297	780.0	17.623	-44.62
143	SLE rare	-0.00006320	780.0	17.703	-44.80
144	SLE freq	-0.00006043	730.0	18.226	-40.43
145	SLE freq	-0.00006330	780.0	17.638	-44.77
146	SLE freq	-0.00006052	730.0	18.261	-40.50
147	SLE freq	-0.00006266	780.0	17.423	-44.28
148	SLE freq	-0.00006275	780.0	17.455	-44.35
149	SLE freq	-0.00006036	730.0	18.223	-40.40
150	SLE freq	-0.00006258	780.0	17.419	-44.24
151	SLE q.p.	-0.00006043	730.0	18.226	-40.43
152	SLE q.p.	-0.00006266	780.0	17.423	-44.28

Cedimento massimo in cmb n. 139 = -49.50 mm

#### Elemento Platea n. 262

Cmb.	Tipo	Car. Netto	Prof.	Sigm.Z/Sigm.Lit.	Cedim.Edom.
------	------	------------	-------	------------------	-------------

n.		kN/mm <sup>2</sup>	mm	%	mm
129	SLE rare	-0.00003044	580.0	19.878	-19.08
130	SLE rare	-0.00003068	580.0	19.997	-19.21
131	SLE rare	-0.00003669	680.0	18.302	-25.26
132	SLE rare	-0.00003693	680.0	18.394	-25.41
133	SLE rare	-0.00003091	630.0	17.967	-20.54
134	SLE rare	-0.00003482	630.0	19.723	-22.87
135	SLE rare	-0.00003528	630.0	19.932	-23.15
136	SLE rare	-0.00003627	680.0	18.042	-24.93
137	SLE rare	-0.00003650	680.0	18.134	-25.07
138	SLE rare	-0.00004064	680.0	19.768	-27.66
139	SLE rare	-0.00004088	680.0	19.860	-27.81
140	SLE rare	-0.00003088	580.0	19.968	-19.27
141	SLE rare	-0.00003111	630.0	17.932	-20.59
142	SLE rare	-0.00003525	630.0	19.792	-23.06
143	SLE rare	-0.00003549	630.0	19.897	-23.20
144	SLE freq	-0.00003030	580.0	19.849	-19.02
145	SLE freq	-0.00003467	630.0	19.700	-22.81
146	SLE freq	-0.00003039	580.0	19.896	-19.07
147	SLE freq	-0.00003405	630.0	19.420	-22.43
148	SLE freq	-0.00003414	630.0	19.461	-22.49
149	SLE freq	-0.00003044	580.0	19.878	-19.08
150	SLE freq	-0.00003419	630.0	19.443	-22.50
151	SLE q.p.	-0.00003030	580.0	19.849	-19.02
152	SLE q.p.	-0.00003405	630.0	19.420	-22.43

Cedimento massimo in cmb n. 139 = -27.81 mm

#### Elemento Platea n. 263

Cmb. n.	Tipo	Car. Netto kN/mm <sup>2</sup>	Prof. mm	Sigm.Z/Sigm.Lit. %	Cedim.Edom. mm
129	SLE rare	-0.00003349	680.0	18.150	-25.83
130	SLE rare	-0.00003371	680.0	18.252	-25.99
131	SLE rare	-0.00003964	730.0	18.318	-31.55
132	SLE rare	-0.00003987	730.0	18.407	-31.72
133	SLE rare	-0.00003394	680.0	18.354	-26.16
134	SLE rare	-0.00003780	730.0	17.600	-30.18
135	SLE rare	-0.00003825	730.0	17.778	-30.52
136	SLE rare	-0.00003919	730.0	18.062	-31.14
137	SLE rare	-0.00003941	730.0	18.151	-31.31
138	SLE rare	-0.00004350	730.0	19.737	-34.33
139	SLE rare	-0.00004372	730.0	19.826	-34.50
140	SLE rare	-0.00003382	680.0	18.200	-26.01
141	SLE rare	-0.00003405	680.0	18.302	-26.17
142	SLE rare	-0.00003813	730.0	17.638	-30.36
143	SLE rare	-0.00003836	730.0	17.727	-30.53
144	SLE freq	-0.00003337	680.0	18.133	-25.77
145	SLE freq	-0.00003768	730.0	17.587	-30.12
146	SLE freq	-0.00003346	680.0	18.174	-25.84
147	SLE freq	-0.00003707	680.0	19.783	-28.40
148	SLE freq	-0.00003716	680.0	19.824	-28.47
149	SLE freq	-0.00003349	680.0	18.150	-25.83
150	SLE freq	-0.00003718	680.0	19.800	-28.46
151	SLE q.p.	-0.00003337	680.0	18.133	-25.77
152	SLE q.p.	-0.00003707	680.0	19.783	-28.40

Cedimento massimo in cmb n. 139 = -34.50 mm

#### Elemento Platea n. 264

Cmb. n.	Tipo	Car. Netto kN/mm <sup>2</sup>	Prof. mm	Sigm.Z/Sigm.Lit. %	Cedim.Edom. mm
129	SLE rare	-0.00003671	730.0	17.503	-31.38
130	SLE rare	-0.00003693	730.0	17.598	-31.56
131	SLE rare	-0.00004279	780.0	17.447	-37.62
132	SLE rare	-0.00004301	780.0	17.529	-37.81
133	SLE rare	-0.00003715	730.0	17.693	-31.73
134	SLE rare	-0.00004097	730.0	19.297	-34.82
135	SLE rare	-0.00004141	730.0	19.487	-35.18
136	SLE rare	-0.00004230	730.0	19.790	-35.83
137	SLE rare	-0.00004252	730.0	19.885	-36.01
138	SLE rare	-0.00004656	780.0	18.761	-40.70
139	SLE rare	-0.00004678	780.0	18.843	-40.89
140	SLE rare	-0.00003696	730.0	17.535	-31.52

141	SLE rare	-0.00003718	730.0	17.630	-31.70
142	SLE rare	-0.00004121	730.0	19.329	-34.96
143	SLE rare	-0.00004143	730.0	19.424	-35.14
144	SLE freq	-0.00003663	730.0	17.492	-31.33
145	SLE freq	-0.00004089	730.0	19.286	-34.77
146	SLE freq	-0.00003672	730.0	17.530	-31.40
147	SLE freq	-0.00004028	730.0	19.030	-34.28
148	SLE freq	-0.00004037	730.0	19.068	-34.35
149	SLE freq	-0.00003671	730.0	17.503	-31.38
150	SLE freq	-0.00004036	730.0	19.041	-34.33
151	SLE q.p.	-0.00003663	730.0	17.492	-31.33
152	SLE q.p.	-0.00004028	730.0	19.030	-34.28

Cedimento massimo in cmb n. 139 = -40.89 mm

#### Elemento Platea n. 265

Cmb. n.	Tipo	Car. Netto kN/mm <sup>2</sup>	Prof. mm	Sigm.Z/Sigm.Lit. %	Cedim.Edom. mm
129	SLE rare	-0.00004266	730.0	17.900	-35.10
130	SLE rare	-0.00004288	730.0	17.992	-35.28
131	SLE rare	-0.00004580	780.0	18.386	-41.59
132	SLE rare	-0.00004601	780.0	18.471	-41.78
133	SLE rare	-0.00004310	730.0	18.085	-35.46
134	SLE rare	-0.00004400	780.0	17.697	-39.99
135	SLE rare	-0.00004443	780.0	17.867	-40.38
136	SLE rare	-0.00004527	780.0	18.135	-41.06
137	SLE rare	-0.00004548	780.0	18.220	-41.26
138	SLE rare	-0.00004947	780.0	19.744	-44.78
139	SLE rare	-0.00004969	780.0	19.829	-44.98
140	SLE rare	-0.00004284	730.0	17.925	-35.21
141	SLE rare	-0.00004306	730.0	18.017	-35.39
142	SLE rare	-0.00004415	780.0	17.715	-40.09
143	SLE rare	-0.00004437	780.0	17.800	-40.29
144	SLE freq	-0.00004260	730.0	17.892	-35.07
145	SLE freq	-0.00004394	780.0	17.690	-39.96
146	SLE freq	-0.00004268	730.0	17.929	-35.14
147	SLE freq	-0.00004334	780.0	17.461	-39.43
148	SLE freq	-0.00004343	780.0	17.495	-39.51
149	SLE freq	-0.00004266	730.0	17.900	-35.10
150	SLE freq	-0.00004339	780.0	17.467	-39.46
151	SLE q.p.	-0.00004260	730.0	17.892	-35.07
152	SLE q.p.	-0.00004334	780.0	17.461	-39.43

Cedimento massimo in cmb n. 139 = -44.98 mm

#### Elemento Platea n. 266

Cmb. n.	Tipo	Car. Netto kN/mm <sup>2</sup>	Prof. mm	Sigm.Z/Sigm.Lit. %	Cedim.Edom. mm
129	SLE rare	-0.00004594	730.0	18.581	-38.37
130	SLE rare	-0.00004615	730.0	18.675	-38.55
131	SLE rare	-0.00005216	780.0	18.189	-44.95
132	SLE rare	-0.00005237	780.0	18.270	-45.14
133	SLE rare	-0.00004637	730.0	18.768	-38.73
134	SLE rare	-0.00005029	780.0	17.524	-43.34
135	SLE rare	-0.00005072	780.0	17.686	-43.72
136	SLE rare	-0.00005158	780.0	17.948	-44.41
137	SLE rare	-0.00005179	780.0	18.029	-44.60
138	SLE rare	-0.00005306	830.0	17.552	-49.42
139	SLE rare	-0.00005327	830.0	17.627	-49.62
140	SLE rare	-0.00004603	730.0	18.598	-38.43
141	SLE rare	-0.00004625	730.0	18.691	-38.61
142	SLE rare	-0.00005039	780.0	17.537	-43.40
143	SLE rare	-0.00005060	780.0	17.618	-43.59
144	SLE freq	-0.00004590	730.0	18.576	-38.35
145	SLE freq	-0.00005026	780.0	17.520	-43.32
146	SLE freq	-0.00004599	730.0	18.613	-38.42
147	SLE freq	-0.00004964	780.0	17.298	-42.78
148	SLE freq	-0.00004972	780.0	17.331	-42.86
149	SLE freq	-0.00004594	730.0	18.581	-38.37
150	SLE freq	-0.00004967	780.0	17.303	-42.80
151	SLE q.p.	-0.00004590	730.0	18.576	-38.35
152	SLE q.p.	-0.00004964	780.0	17.298	-42.78

Cedimento massimo in cmb n. 139 = -49.62 mm



**Elemento Platea n. 267**

Cmb. n.	Tipo	Car. Netto kN/mm <sup>2</sup>	Prof. mm	Sigm.Z/Sigm.Lit. %	Cedim.Edom. mm
129	SLE rare	-0.00005028	730.0	18.761	-40.65
130	SLE rare	-0.00005049	730.0	18.853	-40.83
131	SLE rare	-0.00005655	780.0	18.287	-47.25
132	SLE rare	-0.00005677	780.0	18.367	-47.43
133	SLE rare	-0.00005071	730.0	18.945	-41.01
134	SLE rare	-0.00005467	780.0	17.630	-45.64
135	SLE rare	-0.00005510	780.0	17.790	-46.01
136	SLE rare	-0.00005590	780.0	18.046	-46.68
137	SLE rare	-0.00005612	780.0	18.126	-46.87
138	SLE rare	-0.00005779	830.0	17.599	-51.68
139	SLE rare	-0.00005800	830.0	17.673	-51.88
140	SLE rare	-0.00005028	730.0	18.769	-40.66
141	SLE rare	-0.00005050	730.0	18.861	-40.84
142	SLE rare	-0.00005467	780.0	17.636	-45.65
143	SLE rare	-0.00005489	780.0	17.716	-45.84
144	SLE freq	-0.00005027	730.0	18.758	-40.65
145	SLE freq	-0.00005467	780.0	17.628	-45.63
146	SLE freq	-0.00005036	730.0	18.795	-40.72
147	SLE freq	-0.00005404	780.0	17.409	-45.10
148	SLE freq	-0.00005412	780.0	17.441	-45.17
149	SLE freq	-0.00005028	730.0	18.761	-40.65
150	SLE freq	-0.00005404	780.0	17.411	-45.10
151	SLE q.p.	-0.00005027	730.0	18.758	-40.65
152	SLE q.p.	-0.00005404	780.0	17.409	-45.10

Cedimento massimo in cmb n. 139 = -51.88 mm

**Elemento Platea n. 268**

Cmb. n.	Tipo	Car. Netto kN/mm <sup>2</sup>	Prof. mm	Sigm.Z/Sigm.Lit. %	Cedim.Edom. mm
129	SLE rare	-0.00005569	730.0	18.405	-41.64
130	SLE rare	-0.00005591	730.0	18.494	-41.82
131	SLE rare	-0.00006213	780.0	17.928	-48.07
132	SLE rare	-0.00006235	780.0	18.005	-48.25
133	SLE rare	-0.00005613	730.0	18.582	-41.99
134	SLE rare	-0.00006020	780.0	17.294	-46.50
135	SLE rare	-0.00006063	780.0	17.448	-46.86
136	SLE rare	-0.00006139	780.0	17.694	-47.49
137	SLE rare	-0.00006161	780.0	17.771	-47.67
138	SLE rare	-0.00005779	830.0	17.599	-51.68
139	SLE rare	-0.00006395	830.0	17.331	-52.63
140	SLE rare	-0.00005560	730.0	18.405	-41.60
141	SLE rare	-0.00005582	730.0	18.494	-41.78
142	SLE rare	-0.00006011	780.0	17.294	-46.46
143	SLE rare	-0.00006033	780.0	17.371	-46.64
144	SLE freq	-0.00005572	730.0	18.405	-41.66
145	SLE freq	-0.00006023	780.0	17.294	-46.52
146	SLE freq	-0.00005581	730.0	18.441	-41.73
147	SLE freq	-0.00005760	780.0	17.761	-45.91
148	SLE freq	-0.00005769	780.0	17.793	-45.99
149	SLE freq	-0.00005569	730.0	18.405	-41.64
150	SLE freq	-0.00005757	780.0	17.760	-45.90
151	SLE q.p.	-0.00005572	730.0	18.405	-41.66
152	SLE q.p.	-0.00005760	780.0	17.761	-45.91

Cedimento massimo in cmb n. 139 = -52.63 mm

**Elemento Platea n. 269**

Cmb. n.	Tipo	Car. Netto kN/mm <sup>2</sup>	Prof. mm	Sigm.Z/Sigm.Lit. %	Cedim.Edom. mm
129	SLE rare	-0.00005569	730.0	18.405	-41.64
130	SLE rare	-0.00005591	730.0	18.494	-41.82
131	SLE rare	-0.00006213	780.0	17.928	-48.07
132	SLE rare	-0.00006235	780.0	18.005	-48.25
133	SLE rare	-0.00005613	730.0	18.582	-41.99
134	SLE rare	-0.00006020	780.0	17.294	-46.50
135	SLE rare	-0.00006063	780.0	17.448	-46.86
136	SLE rare	-0.00006139	780.0	17.694	-47.49
137	SLE rare	-0.00006161	780.0	17.771	-47.67

138	SLE rare	-0.00006590	780.0	19.175	-51.13
139	SLE rare	-0.00006395	830.0	17.331	-52.63
140	SLE rare	-0.00005560	730.0	18.405	-41.60
141	SLE rare	-0.00005582	730.0	18.494	-41.78
142	SLE rare	-0.00006011	780.0	17.294	-46.46
143	SLE rare	-0.00006033	780.0	17.371	-46.64
144	SLE freq	-0.00005572	730.0	18.405	-41.66
145	SLE freq	-0.00006023	780.0	17.294	-46.52
146	SLE freq	-0.00005581	730.0	18.441	-41.73
147	SLE freq	-0.00005760	780.0	17.761	-45.91
148	SLE freq	-0.00005769	780.0	17.793	-45.99
149	SLE freq	-0.00005569	730.0	18.405	-41.64
150	SLE freq	-0.00005757	780.0	17.760	-45.90
151	SLE q.p.	-0.00005572	730.0	18.405	-41.66
152	SLE q.p.	-0.00005760	780.0	17.761	-45.91

Cedimento massimo in cmb n. 139 = -52.63 mm

#### Elemento Platea n. 270

Cmb. n.	Tipo	Car. Netto kN/mm <sup>2</sup>	Prof. mm	Sigm.Z/Sigm.Lit. %	Cedim.Edom. mm
129	SLE rare	-0.00006036	730.0	18.223	-40.40
130	SLE rare	-0.00006059	730.0	18.310	-40.57
131	SLE rare	-0.00006690	780.0	17.820	-46.49
132	SLE rare	-0.00006713	780.0	17.896	-46.66
133	SLE rare	-0.00006081	730.0	18.397	-40.73
134	SLE rare	-0.00006494	730.0	19.898	-43.71
135	SLE rare	-0.00006539	780.0	17.347	-45.36
136	SLE rare	-0.00006608	780.0	17.585	-45.91
137	SLE rare	-0.00006631	780.0	17.661	-46.08
138	SLE rare	-0.00007066	780.0	19.045	-49.33
139	SLE rare	-0.00007088	780.0	19.121	-49.50
140	SLE rare	-0.00006179	730.0	17.527	-40.31
141	SLE rare	-0.00006202	730.0	17.610	-40.47
142	SLE rare	-0.00006472	730.0	19.888	-43.62
143	SLE rare	-0.00006495	730.0	19.975	-43.78
144	SLE freq	-0.00006043	730.0	18.226	-40.43
145	SLE freq	-0.00006501	730.0	19.902	-43.74
146	SLE freq	-0.00006052	730.0	18.261	-40.50
147	SLE freq	-0.00006436	730.0	19.663	-43.27
148	SLE freq	-0.00006445	730.0	19.698	-43.33
149	SLE freq	-0.00006036	730.0	18.223	-40.40
150	SLE freq	-0.00006429	730.0	19.659	-43.24
151	SLE q.p.	-0.00006043	730.0	18.226	-40.43
152	SLE q.p.	-0.00006436	730.0	19.663	-43.27

Cedimento massimo in cmb n. 139 = -49.50 mm

#### Elemento Platea n. 271

Cmb. n.	Tipo	Car. Netto kN/mm <sup>2</sup>	Prof. mm	Sigm.Z/Sigm.Lit. %	Cedim.Edom. mm
129	SLE rare	-0.00006199	730.0	17.534	-40.39
130	SLE rare	-0.00006221	730.0	17.617	-40.55
131	SLE rare	-0.00006867	730.0	19.822	-45.08
132	SLE rare	-0.00006890	730.0	19.904	-45.24
133	SLE rare	-0.00006244	730.0	17.700	-40.71
134	SLE rare	-0.00006667	730.0	19.135	-43.67
135	SLE rare	-0.00006712	730.0	19.301	-43.99
136	SLE rare	-0.00006784	730.0	19.566	-44.53
137	SLE rare	-0.00006807	730.0	19.649	-44.69
138	SLE rare	-0.00007252	780.0	18.308	-49.20
139	SLE rare	-0.00007275	780.0	18.381	-49.37
140	SLE rare	-0.00006179	730.0	17.527	-40.31
141	SLE rare	-0.00006202	730.0	17.610	-40.47
142	SLE rare	-0.00006647	730.0	19.129	-43.59
143	SLE rare	-0.00006670	730.0	19.211	-43.75
144	SLE freq	-0.00006205	730.0	17.537	-40.42
145	SLE freq	-0.00006673	730.0	19.138	-43.70
146	SLE freq	-0.00006214	730.0	17.570	-40.48
147	SLE freq	-0.00006606	730.0	18.909	-43.23
148	SLE freq	-0.00006615	730.0	18.942	-43.29
149	SLE freq	-0.00006199	730.0	17.534	-40.39
150	SLE freq	-0.00006600	730.0	18.907	-43.20

151	SLE q.p.	-0.00006205	730.0	17.537	-40.42
152	SLE q.p.	-0.00006606	730.0	18.909	-43.23

Cedimento massimo in cmb n. 139 = -49.37 mm

#### Elemento Platea n. 272

Cmb. n.	Tipo	Car. Netto kN/mm <sup>2</sup>	Prof. mm	Sigm.Z/Sigm.Lit. %	Cedim.Edom. mm
129	SLE rare	-0.00006317	680.0	19.649	-38.81
130	SLE rare	-0.00006340	680.0	19.739	-38.96
131	SLE rare	-0.00006996	730.0	19.052	-44.67
132	SLE rare	-0.00007018	730.0	19.131	-44.83
133	SLE rare	-0.00006363	680.0	19.829	-39.11
134	SLE rare	-0.00006792	730.0	18.396	-43.28
135	SLE rare	-0.00006837	730.0	18.553	-43.60
136	SLE rare	-0.00006913	730.0	18.810	-44.13
137	SLE rare	-0.00006935	730.0	18.888	-44.29
138	SLE rare	-0.00007387	780.0	17.612	-48.71
139	SLE rare	-0.00007410	780.0	17.681	-48.87
140	SLE rare	-0.00006300	680.0	19.643	-38.74
141	SLE rare	-0.00006322	680.0	19.733	-38.89
142	SLE rare	-0.00006775	730.0	18.391	-43.22
143	SLE rare	-0.00006797	730.0	18.470	-43.37
144	SLE freq	-0.00006323	680.0	19.652	-38.83
145	SLE freq	-0.00006798	730.0	18.397	-43.31
146	SLE freq	-0.00006332	680.0	19.688	-38.89
147	SLE freq	-0.00006730	730.0	18.178	-42.84
148	SLE freq	-0.00006739	730.0	18.210	-42.91
149	SLE freq	-0.00006317	680.0	19.649	-38.81
150	SLE freq	-0.00006724	730.0	18.177	-42.82
151	SLE q.p.	-0.00006323	680.0	19.652	-38.83
152	SLE q.p.	-0.00006730	730.0	18.178	-42.84

Cedimento massimo in cmb n. 139 = -48.87 mm

#### Elemento Platea n. 273

Cmb. n.	Tipo	Car. Netto kN/mm <sup>2</sup>	Prof. mm	Sigm.Z/Sigm.Lit. %	Cedim.Edom. mm
129	SLE rare	-0.00006418	680.0	18.743	-38.25
130	SLE rare	-0.00006440	680.0	18.827	-38.39
131	SLE rare	-0.00007105	730.0	18.189	-43.95
132	SLE rare	-0.00007128	730.0	18.263	-44.10
133	SLE rare	-0.00006463	680.0	18.912	-38.54
134	SLE rare	-0.00006899	730.0	17.564	-42.60
135	SLE rare	-0.00006944	730.0	17.713	-42.90
136	SLE rare	-0.00007022	730.0	17.959	-43.43
137	SLE rare	-0.00007044	730.0	18.034	-43.58
138	SLE rare	-0.00007503	730.0	19.417	-46.60
139	SLE rare	-0.00007526	730.0	19.491	-46.75
140	SLE rare	-0.00006402	680.0	18.739	-38.19
141	SLE rare	-0.00006425	680.0	18.824	-38.34
142	SLE rare	-0.00006884	730.0	17.562	-42.54
143	SLE rare	-0.00006906	730.0	17.636	-42.69
144	SLE freq	-0.00006423	680.0	18.744	-38.27
145	SLE freq	-0.00006904	730.0	17.565	-42.61
146	SLE freq	-0.00006432	680.0	18.778	-38.32
147	SLE freq	-0.00006835	730.0	17.357	-42.16
148	SLE freq	-0.00006844	730.0	17.386	-42.22
149	SLE freq	-0.00006418	680.0	18.743	-38.25
150	SLE freq	-0.00006830	730.0	17.356	-42.14
151	SLE q.p.	-0.00006423	680.0	18.744	-38.27
152	SLE q.p.	-0.00006835	730.0	17.357	-42.16

Cedimento massimo in cmb n. 139 = -46.75 mm

#### Elemento Platea n. 274

Cmb. n.	Tipo	Car. Netto kN/mm <sup>2</sup>	Prof. mm	Sigm.Z/Sigm.Lit. %	Cedim.Edom. mm
129	SLE rare	-0.00006521	680.0	17.659	-37.17
130	SLE rare	-0.00006543	680.0	17.738	-37.31
131	SLE rare	-0.00007217	680.0	19.906	-41.39
132	SLE rare	-0.00007240	680.0	19.985	-41.53
133	SLE rare	-0.00006566	680.0	17.817	-37.45
134	SLE rare	-0.00007008	680.0	19.232	-40.12

135	SLE rare	-0.00007053	680.0	19.390	-40.40
136	SLE rare	-0.00007133	680.0	19.660	-40.90
137	SLE rare	-0.00007156	680.0	19.739	-41.04
138	SLE rare	-0.00007621	730.0	18.334	-45.20
139	SLE rare	-0.00007644	730.0	18.404	-45.35
140	SLE rare	-0.00006507	680.0	17.657	-37.12
141	SLE rare	-0.00006530	680.0	17.736	-37.26
142	SLE rare	-0.00006995	680.0	19.230	-40.07
143	SLE rare	-0.00007017	680.0	19.309	-40.21
144	SLE freq	-0.00006525	680.0	17.659	-37.18
145	SLE freq	-0.00007013	680.0	19.232	-40.14
146	SLE freq	-0.00006534	680.0	17.691	-37.24
147	SLE freq	-0.00006943	680.0	19.007	-39.71
148	SLE freq	-0.00006952	680.0	19.039	-39.77
149	SLE freq	-0.00006521	680.0	17.659	-37.17
150	SLE freq	-0.00006939	680.0	19.007	-39.70
151	SLE q.p.	-0.00006525	680.0	17.659	-37.18
152	SLE q.p.	-0.00006943	680.0	19.007	-39.71

Cedimento massimo in cmb n. 139 = -45.35 mm

### Elemento Platea n. 275

Cmb. n.	Tipo	Car. Netto kN/mm <sup>2</sup>	Prof. mm	Sigm.Z/Sigm.Lit. %	Cedim.Edom. mm
129	SLE rare	-0.00006622	630.0	19.224	-34.23
130	SLE rare	-0.00006644	630.0	19.308	-34.36
131	SLE rare	-0.00007327	680.0	18.587	-39.40
132	SLE rare	-0.00007350	680.0	18.660	-39.53
133	SLE rare	-0.00006667	630.0	19.391	-34.48
134	SLE rare	-0.00007115	680.0	17.959	-38.20
135	SLE rare	-0.00007160	680.0	18.106	-38.46
136	SLE rare	-0.00007243	680.0	18.359	-38.94
137	SLE rare	-0.00007265	680.0	18.433	-39.07
138	SLE rare	-0.00007736	680.0	19.824	-41.74
139	SLE rare	-0.00007759	680.0	19.897	-41.87
140	SLE rare	-0.00006610	630.0	19.224	-34.19
141	SLE rare	-0.00006633	630.0	19.307	-34.32
142	SLE rare	-0.00007104	680.0	17.960	-38.16
143	SLE rare	-0.00007126	680.0	18.033	-38.29
144	SLE freq	-0.00006625	630.0	19.225	-34.24
145	SLE freq	-0.00007119	680.0	17.959	-38.21
146	SLE freq	-0.00006634	630.0	19.258	-34.29
147	SLE freq	-0.00007049	680.0	17.750	-37.81
148	SLE freq	-0.00007058	680.0	17.779	-37.86
149	SLE freq	-0.00006622	630.0	19.224	-34.23
150	SLE freq	-0.00007045	680.0	17.750	-37.80
151	SLE q.p.	-0.00006625	630.0	19.225	-34.24
152	SLE q.p.	-0.00007049	680.0	17.750	-37.81

Cedimento massimo in cmb n. 139 = -41.87 mm

### Elemento Platea n. 276

Cmb. n.	Tipo	Car. Netto kN/mm <sup>2</sup>	Prof. mm	Sigm.Z/Sigm.Lit. %	Cedim.Edom. mm
129	SLE rare	-0.00006705	630.0	17.716	-31.47
130	SLE rare	-0.00006727	630.0	17.793	-31.59
131	SLE rare	-0.00007418	630.0	19.928	-35.01
132	SLE rare	-0.00007441	680.0	17.302	-36.34
133	SLE rare	-0.00006750	630.0	17.869	-31.70
134	SLE rare	-0.00007204	630.0	19.264	-33.95
135	SLE rare	-0.00007249	630.0	19.417	-34.18
136	SLE rare	-0.00007333	630.0	19.689	-34.61
137	SLE rare	-0.00007356	630.0	19.765	-34.72
138	SLE rare	-0.00007833	680.0	18.380	-38.37
139	SLE rare	-0.00007855	680.0	18.447	-38.49
140	SLE rare	-0.00006695	630.0	17.718	-31.45
141	SLE rare	-0.00006718	630.0	17.794	-31.56
142	SLE rare	-0.00007195	630.0	19.265	-33.92
143	SLE rare	-0.00007217	630.0	19.342	-34.03
144	SLE freq	-0.00006708	630.0	17.716	-31.48
145	SLE freq	-0.00007207	630.0	19.264	-33.96
146	SLE freq	-0.00006717	630.0	17.747	-31.53
147	SLE freq	-0.00007136	630.0	19.043	-33.60

148	SLE freq	-0.00007145	630.0	19.073	-33.65
149	SLE freq	-0.00006705	630.0	17.716	-31.47
150	SLE freq	-0.00007133	630.0	19.043	-33.59
151	SLE q.p.	-0.00006708	630.0	17.716	-31.48
152	SLE q.p.	-0.00007136	630.0	19.043	-33.60

Cedimento massimo in cmb n. 139 = -38.49 mm

#### Elemento Platea n. 277

Cmb. n.	Tipo	Car. Netto kN/mm <sup>2</sup>	Prof. mm	Sigm.Z/Sigm.Lit. %	Cedim.Edom. mm
129	SLE rare	-0.00005569	730.0	18.405	-41.64
130	SLE rare	-0.00005591	730.0	18.494	-41.82
131	SLE rare	-0.00006213	780.0	17.928	-48.07
132	SLE rare	-0.00006235	780.0	18.005	-48.25
133	SLE rare	-0.00005613	730.0	18.582	-41.99
134	SLE rare	-0.00006020	780.0	17.294	-46.50
135	SLE rare	-0.00006063	780.0	17.448	-46.86
136	SLE rare	-0.00006139	780.0	17.694	-47.49
137	SLE rare	-0.00006161	780.0	17.771	-47.67
138	SLE rare	-0.00006590	780.0	19.175	-51.13
139	SLE rare	-0.00006612	780.0	19.252	-51.32
140	SLE rare	-0.00005560	730.0	18.405	-41.60
141	SLE rare	-0.00005582	730.0	18.494	-41.78
142	SLE rare	-0.00006011	780.0	17.294	-46.46
143	SLE rare	-0.00006033	780.0	17.371	-46.64
144	SLE freq	-0.00005572	730.0	18.405	-41.66
145	SLE freq	-0.00006023	780.0	17.294	-46.52
146	SLE freq	-0.00005581	730.0	18.441	-41.73
147	SLE freq	-0.00005958	730.0	19.871	-44.69
148	SLE freq	-0.00005967	730.0	19.906	-44.76
149	SLE freq	-0.00005569	730.0	18.405	-41.64
150	SLE freq	-0.00005955	730.0	19.871	-44.67
151	SLE q.p.	-0.00005572	730.0	18.405	-41.66
152	SLE q.p.	-0.00005958	730.0	19.871	-44.69

Cedimento massimo in cmb n. 139 = -51.32 mm

#### Elemento Platea n. 278

Cmb. n.	Tipo	Car. Netto kN/mm <sup>2</sup>	Prof. mm	Sigm.Z/Sigm.Lit. %	Cedim.Edom. mm
129	SLE rare	-0.00005697	730.0	17.707	-41.40
130	SLE rare	-0.00005719	730.0	17.791	-41.57
131	SLE rare	-0.00006353	780.0	17.252	-47.71
132	SLE rare	-0.00006375	780.0	17.325	-47.89
133	SLE rare	-0.00005741	730.0	17.875	-41.74
134	SLE rare	-0.00006156	730.0	19.342	-44.89
135	SLE rare	-0.00006200	730.0	19.510	-45.24
136	SLE rare	-0.00006279	730.0	19.787	-45.84
137	SLE rare	-0.00006301	730.0	19.871	-46.01
138	SLE rare	-0.00006738	780.0	18.447	-50.74
139	SLE rare	-0.00006760	780.0	18.521	-50.92
140	SLE rare	-0.00005691	730.0	17.709	-41.38
141	SLE rare	-0.00005713	730.0	17.793	-41.55
142	SLE rare	-0.00006149	730.0	19.344	-44.87
143	SLE rare	-0.00006171	730.0	19.428	-45.04
144	SLE freq	-0.00005700	730.0	17.706	-41.41
145	SLE freq	-0.00006158	730.0	19.342	-44.90
146	SLE freq	-0.00005709	730.0	17.739	-41.48
147	SLE freq	-0.00006093	730.0	19.108	-44.41
148	SLE freq	-0.00006102	730.0	19.141	-44.47
149	SLE freq	-0.00005697	730.0	17.707	-41.40
150	SLE freq	-0.00006091	730.0	19.109	-44.40
151	SLE q.p.	-0.00005700	730.0	17.706	-41.41
152	SLE q.p.	-0.00006093	730.0	19.108	-44.41

Cedimento massimo in cmb n. 139 = -50.92 mm

#### Elemento Platea n. 279

Cmb. n.	Tipo	Car. Netto kN/mm <sup>2</sup>	Prof. mm	Sigm.Z/Sigm.Lit. %	Cedim.Edom. mm
129	SLE rare	-0.00005820	680.0	19.782	-39.53
130	SLE rare	-0.00005842	680.0	19.873	-39.69
131	SLE rare	-0.00006486	730.0	19.119	-45.66

132	SLE rare	-0.00006508	730.0	19.198	-45.82
133	SLE rare	-0.00005864	680.0	19.964	-39.85
134	SLE rare	-0.00006286	730.0	18.453	-44.19
135	SLE rare	-0.00006330	730.0	18.612	-44.52
136	SLE rare	-0.00006412	730.0	18.877	-45.12
137	SLE rare	-0.00006434	730.0	18.956	-45.29
138	SLE rare	-0.00006878	780.0	17.625	-49.88
139	SLE rare	-0.00006900	780.0	17.694	-50.05
140	SLE rare	-0.00005815	680.0	19.786	-39.51
141	SLE rare	-0.00005837	680.0	19.877	-39.67
142	SLE rare	-0.00006281	730.0	18.457	-44.17
143	SLE rare	-0.00006303	730.0	18.536	-44.34
144	SLE freq	-0.00005821	680.0	19.780	-39.53
145	SLE freq	-0.00006288	730.0	18.452	-44.20
146	SLE freq	-0.00005830	680.0	19.817	-39.60
147	SLE freq	-0.00006221	730.0	18.230	-43.71
148	SLE freq	-0.00006230	730.0	18.262	-43.77
149	SLE freq	-0.00005820	680.0	19.782	-39.53
150	SLE freq	-0.00006219	730.0	18.231	-43.70
151	SLE q.p.	-0.00005821	680.0	19.780	-39.53
152	SLE q.p.	-0.00006221	730.0	18.230	-43.71

Cedimento massimo in cmb n. 139 = -50.05 mm

### Elemento Platea n. 280

Cmb. n.	Tipo	Car. Netto kN/mm <sup>2</sup>	Prof. mm	Sigm.Z/Sigm.Lit. %	Cedim.Edom. mm
129	SLE rare	-0.00005938	680.0	18.643	-38.41
130	SLE rare	-0.00005960	680.0	18.728	-38.56
131	SLE rare	-0.00006615	730.0	18.059	-44.30
132	SLE rare	-0.00006637	730.0	18.133	-44.45
133	SLE rare	-0.00005982	680.0	18.813	-38.71
134	SLE rare	-0.00006412	730.0	17.433	-42.88
135	SLE rare	-0.00006456	730.0	17.581	-43.20
136	SLE rare	-0.00006540	730.0	17.833	-43.79
137	SLE rare	-0.00006562	730.0	17.907	-43.95
138	SLE rare	-0.00007014	730.0	19.295	-47.08
139	SLE rare	-0.00007036	730.0	19.369	-47.24
140	SLE rare	-0.00005935	680.0	18.649	-38.40
141	SLE rare	-0.00005957	680.0	18.734	-38.56
142	SLE rare	-0.00006409	730.0	17.438	-42.88
143	SLE rare	-0.00006431	730.0	17.512	-43.03
144	SLE freq	-0.00005939	680.0	18.641	-38.41
145	SLE freq	-0.00006413	730.0	17.431	-42.89
146	SLE freq	-0.00005948	680.0	18.675	-38.47
147	SLE freq	-0.00006345	730.0	17.222	-42.42
148	SLE freq	-0.00006354	730.0	17.252	-42.48
149	SLE freq	-0.00005938	680.0	18.643	-38.41
150	SLE freq	-0.00006344	730.0	17.224	-42.41
151	SLE q.p.	-0.00005939	680.0	18.641	-38.41
152	SLE q.p.	-0.00006345	730.0	17.222	-42.42

Cedimento massimo in cmb n. 139 = -47.24 mm

### Elemento Platea n. 281

Cmb. n.	Tipo	Car. Netto kN/mm <sup>2</sup>	Prof. mm	Sigm.Z/Sigm.Lit. %	Cedim.Edom. mm
129	SLE rare	-0.00006055	680.0	17.399	-36.54
130	SLE rare	-0.00006078	680.0	17.477	-36.69
131	SLE rare	-0.00006742	680.0	19.640	-40.86
132	SLE rare	-0.00006765	680.0	19.719	-41.00
133	SLE rare	-0.00006100	680.0	17.556	-36.83
134	SLE rare	-0.00006536	680.0	18.968	-39.56
135	SLE rare	-0.00006581	680.0	19.125	-39.85
136	SLE rare	-0.00006667	680.0	19.400	-40.39
137	SLE rare	-0.00006690	680.0	19.479	-40.53
138	SLE rare	-0.00007148	730.0	18.075	-44.74
139	SLE rare	-0.00007170	730.0	18.143	-44.88
140	SLE rare	-0.00006054	680.0	17.406	-36.54
141	SLE rare	-0.00006076	680.0	17.484	-36.69
142	SLE rare	-0.00006535	680.0	18.975	-39.56
143	SLE rare	-0.00006557	680.0	19.053	-39.71
144	SLE freq	-0.00006056	680.0	17.396	-36.54

145	SLE freq	-0.00006537	680.0	18.965	-39.56
146	SLE freq	-0.00006065	680.0	17.428	-36.60
147	SLE freq	-0.00006468	680.0	18.741	-39.13
148	SLE freq	-0.00006477	680.0	18.773	-39.19
149	SLE freq	-0.00006055	680.0	17.399	-36.54
150	SLE freq	-0.00006468	680.0	18.744	-39.13
151	SLE q.p.	-0.00006056	680.0	17.396	-36.54
152	SLE q.p.	-0.00006468	680.0	18.741	-39.13

Cedimento massimo in cmb n. 139 = -44.88 mm

#### Elemento Platea n. 282

Cmb. n.	Tipo	Car. Netto kN/mm <sup>2</sup>	Prof. mm	Sigm.Z/Sigm.Lit. %	Cedim.Edom. mm
129	SLE rare	-0.00006157	630.0	18.823	-32.47
130	SLE rare	-0.00006179	630.0	18.905	-32.59
131	SLE rare	-0.00006853	680.0	18.216	-37.56
132	SLE rare	-0.00006875	680.0	18.288	-37.69
133	SLE rare	-0.00006201	630.0	18.988	-32.72
134	SLE rare	-0.00006644	680.0	17.594	-36.37
135	SLE rare	-0.00006689	680.0	17.739	-36.63
136	SLE rare	-0.00006778	680.0	17.995	-37.14
137	SLE rare	-0.00006800	680.0	18.067	-37.27
138	SLE rare	-0.00007265	680.0	19.446	-39.90
139	SLE rare	-0.00007287	680.0	19.518	-40.03
140	SLE rare	-0.00006158	630.0	18.832	-32.47
141	SLE rare	-0.00006180	630.0	18.914	-32.60
142	SLE rare	-0.00006645	680.0	17.602	-36.38
143	SLE rare	-0.00006667	680.0	17.674	-36.51
144	SLE freq	-0.00006157	630.0	18.820	-32.46
145	SLE freq	-0.00006644	680.0	17.591	-36.37
146	SLE freq	-0.00006166	630.0	18.853	-32.51
147	SLE freq	-0.00006575	680.0	17.384	-35.98
148	SLE freq	-0.00006583	680.0	17.413	-36.03
149	SLE freq	-0.00006157	630.0	18.823	-32.47
150	SLE freq	-0.00006575	680.0	17.387	-35.98
151	SLE q.p.	-0.00006157	630.0	18.820	-32.46
152	SLE q.p.	-0.00006575	680.0	17.384	-35.98

Cedimento massimo in cmb n. 139 = -40.03 mm

#### Elemento Platea n. 283

Cmb. n.	Tipo	Car. Netto kN/mm <sup>2</sup>	Prof. mm	Sigm.Z/Sigm.Lit. %	Cedim.Edom. mm
129	SLE rare	-0.00005569	730.0	18.405	-41.64
130	SLE rare	-0.00005591	730.0	18.494	-41.82
131	SLE rare	-0.00006213	780.0	17.928	-48.07
132	SLE rare	-0.00006235	780.0	18.005	-48.25
133	SLE rare	-0.00005613	730.0	18.582	-41.99
134	SLE rare	-0.00006020	780.0	17.294	-46.50
135	SLE rare	-0.00006063	780.0	17.448	-46.86
136	SLE rare	-0.00006139	780.0	17.694	-47.49
137	SLE rare	-0.00006161	780.0	17.771	-47.67
138	SLE rare	-0.00006590	780.0	19.175	-51.13
139	SLE rare	-0.00006612	780.0	19.252	-51.32
140	SLE rare	-0.00005560	730.0	18.405	-41.60
141	SLE rare	-0.00005582	730.0	18.494	-41.78
142	SLE rare	-0.00006011	780.0	17.294	-46.46
143	SLE rare	-0.00006033	780.0	17.371	-46.64
144	SLE freq	-0.00005572	730.0	18.405	-41.66
145	SLE freq	-0.00006023	780.0	17.294	-46.52
146	SLE freq	-0.00005581	730.0	18.441	-41.73
147	SLE freq	-0.00005404	780.0	17.409	-45.10
148	SLE freq	-0.00005412	780.0	17.441	-45.17
149	SLE freq	-0.00005569	730.0	18.405	-41.64
150	SLE freq	-0.00005404	780.0	17.411	-45.10
151	SLE q.p.	-0.00005572	730.0	18.405	-41.66
152	SLE q.p.	-0.00005404	780.0	17.409	-45.10

Cedimento massimo in cmb n. 139 = -51.32 mm

#### Elemento Platea n. 284

Cmb. n.	Tipo	Car. Netto kN/mm <sup>2</sup>	Prof. mm	Sigm.Z/Sigm.Lit. %	Cedim.Edom. mm
---------	------	----------------------------------	-------------	-----------------------	-------------------

129	SLE rare	-0.00005697	730.0	17.707	-41.40
130	SLE rare	-0.00005719	730.0	17.791	-41.57
131	SLE rare	-0.00006353	780.0	17.252	-47.71
132	SLE rare	-0.00006375	780.0	17.325	-47.89
133	SLE rare	-0.00005741	730.0	17.875	-41.74
134	SLE rare	-0.00006156	730.0	19.342	-44.89
135	SLE rare	-0.00006200	730.0	19.510	-45.24
136	SLE rare	-0.00005751	780.0	17.356	-46.35
137	SLE rare	-0.00005773	780.0	17.432	-46.53
138	SLE rare	-0.00006738	780.0	18.447	-50.74
139	SLE rare	-0.00006760	780.0	18.521	-50.92
140	SLE rare	-0.00005691	730.0	17.709	-41.38
141	SLE rare	-0.00005713	730.0	17.793	-41.55
142	SLE rare	-0.00006149	730.0	19.344	-44.87
143	SLE rare	-0.00006171	730.0	19.428	-45.04
144	SLE freq	-0.00005700	730.0	17.706	-41.41
145	SLE freq	-0.00006158	730.0	19.342	-44.90
146	SLE freq	-0.00005709	730.0	17.739	-41.48
147	SLE freq	-0.00006093	730.0	19.108	-44.41
148	SLE freq	-0.00006102	730.0	19.141	-44.47
149	SLE freq	-0.00005697	730.0	17.707	-41.40
150	SLE freq	-0.00006091	730.0	19.109	-44.40
151	SLE q.p.	-0.00005700	730.0	17.706	-41.41
152	SLE q.p.	-0.00006093	730.0	19.108	-44.41

Cedimento massimo in cmb n. 139 = -50.92 mm

#### Elemento Platea n. 285

Cmb. n.	Tipo	Car. Netto kN/mm <sup>2</sup>	Prof. mm	Sigm.Z/Sigm.Lit. %	Cedim.Edom. mm
129	SLE rare	-0.00005314	730.0	17.201	-39.82
130	SLE rare	-0.00005336	730.0	17.284	-39.99
131	SLE rare	-0.00006486	730.0	19.119	-45.66
132	SLE rare	-0.00006508	730.0	19.198	-45.82
133	SLE rare	-0.00005358	730.0	17.366	-40.16
134	SLE rare	-0.00006286	730.0	18.453	-44.19
135	SLE rare	-0.00006330	730.0	18.612	-44.52
136	SLE rare	-0.00006412	730.0	18.877	-45.12
137	SLE rare	-0.00006434	730.0	18.956	-45.29
138	SLE rare	-0.00006878	780.0	17.625	-49.88
139	SLE rare	-0.00006900	780.0	17.694	-50.05
140	SLE rare	-0.00005318	730.0	17.212	-39.85
141	SLE rare	-0.00005340	730.0	17.294	-40.02
142	SLE rare	-0.00006281	730.0	18.457	-44.17
143	SLE rare	-0.00006303	730.0	18.536	-44.34
144	SLE freq	-0.00005312	730.0	17.198	-39.81
145	SLE freq	-0.00006288	730.0	18.452	-44.20
146	SLE freq	-0.00005321	730.0	17.230	-39.88
147	SLE freq	-0.00006221	730.0	18.230	-43.71
148	SLE freq	-0.00006230	730.0	18.262	-43.77
149	SLE freq	-0.00005314	730.0	17.201	-39.82
150	SLE freq	-0.00006219	730.0	18.231	-43.70
151	SLE q.p.	-0.00005312	730.0	17.198	-39.81
152	SLE q.p.	-0.00006221	730.0	18.230	-43.71

Cedimento massimo in cmb n. 139 = -50.05 mm

#### Elemento Platea n. 286

Cmb. n.	Tipo	Car. Netto kN/mm <sup>2</sup>	Prof. mm	Sigm.Z/Sigm.Lit. %	Cedim.Edom. mm
129	SLE rare	-0.00005938	680.0	18.643	-38.41
130	SLE rare	-0.00005960	680.0	18.728	-38.56
131	SLE rare	-0.00006615	730.0	18.059	-44.30
132	SLE rare	-0.00006637	730.0	18.133	-44.45
133	SLE rare	-0.00005982	680.0	18.813	-38.71
134	SLE rare	-0.00006412	730.0	17.433	-42.88
135	SLE rare	-0.00006456	730.0	17.581	-43.20
136	SLE rare	-0.00006540	730.0	17.833	-43.79
137	SLE rare	-0.00006562	730.0	17.907	-43.95
138	SLE rare	-0.00007014	730.0	19.295	-47.08
139	SLE rare	-0.00007036	730.0	19.369	-47.24
140	SLE rare	-0.00005935	680.0	18.649	-38.40
141	SLE rare	-0.00005957	680.0	18.734	-38.56



142	SLE rare	-0.00006409	730.0	17.438	-42.88
143	SLE rare	-0.00006431	730.0	17.512	-43.03
144	SLE freq	-0.00005939	680.0	18.641	-38.41
145	SLE freq	-0.00006413	730.0	17.431	-42.89
146	SLE freq	-0.00005948	680.0	18.675	-38.47
147	SLE freq	-0.00006345	730.0	17.222	-42.42
148	SLE freq	-0.00006354	730.0	17.252	-42.48
149	SLE freq	-0.00005938	680.0	18.643	-38.41
150	SLE freq	-0.00006344	730.0	17.224	-42.41
151	SLE q.p.	-0.00005939	680.0	18.641	-38.41
152	SLE q.p.	-0.00006345	730.0	17.222	-42.42

Cedimento massimo in cmb n. 139 = -47.24 mm

#### Elemento Platea n. 287

Cmb. n.	Tipo	Car. Netto kN/mm <sup>2</sup>	Prof. mm	Sigm.Z/Sigm.Lit. %	Cedim.Edom. mm
129	SLE rare	-0.00006055	680.0	17.399	-36.54
130	SLE rare	-0.00006078	680.0	17.477	-36.69
131	SLE rare	-0.00006742	680.0	19.640	-40.86
132	SLE rare	-0.00006280	730.0	17.277	-41.37
133	SLE rare	-0.00006100	680.0	17.556	-36.83
134	SLE rare	-0.00006536	680.0	18.968	-39.56
135	SLE rare	-0.00006581	680.0	19.125	-39.85
136	SLE rare	-0.00006667	680.0	19.400	-40.39
137	SLE rare	-0.00006690	680.0	19.479	-40.53
138	SLE rare	-0.00007148	730.0	18.075	-44.74
139	SLE rare	-0.00007170	730.0	18.143	-44.88
140	SLE rare	-0.00006054	680.0	17.406	-36.54
141	SLE rare	-0.00006076	680.0	17.484	-36.69
142	SLE rare	-0.00006535	680.0	18.975	-39.56
143	SLE rare	-0.00006557	680.0	19.053	-39.71
144	SLE freq	-0.00006056	680.0	17.396	-36.54
145	SLE freq	-0.00006537	680.0	18.965	-39.56
146	SLE freq	-0.00006065	680.0	17.428	-36.60
147	SLE freq	-0.00006468	680.0	18.741	-39.13
148	SLE freq	-0.00006477	680.0	18.773	-39.19
149	SLE freq	-0.00006055	680.0	17.399	-36.54
150	SLE freq	-0.00006468	680.0	18.744	-39.13
151	SLE q.p.	-0.00006056	680.0	17.396	-36.54
152	SLE q.p.	-0.00006468	680.0	18.741	-39.13

Cedimento massimo in cmb n. 139 = -44.88 mm

#### Elemento Platea n. 288

Cmb. n.	Tipo	Car. Netto kN/mm <sup>2</sup>	Prof. mm	Sigm.Z/Sigm.Lit. %	Cedim.Edom. mm
129	SLE rare	-0.00006157	630.0	18.823	-32.47
130	SLE rare	-0.00006179	630.0	18.905	-32.59
131	SLE rare	-0.00006853	680.0	18.216	-37.56
132	SLE rare	-0.00006875	680.0	18.288	-37.69
133	SLE rare	-0.00006201	630.0	18.988	-32.72
134	SLE rare	-0.00006644	680.0	17.594	-36.37
135	SLE rare	-0.00006689	680.0	17.739	-36.63
136	SLE rare	-0.00006778	680.0	17.995	-37.14
137	SLE rare	-0.00006800	680.0	18.067	-37.27
138	SLE rare	-0.00007265	680.0	19.446	-39.90
139	SLE rare	-0.00007287	680.0	19.518	-40.03
140	SLE rare	-0.00006158	630.0	18.832	-32.47
141	SLE rare	-0.00006180	630.0	18.914	-32.60
142	SLE rare	-0.00006645	680.0	17.602	-36.38
143	SLE rare	-0.00006667	680.0	17.674	-36.51
144	SLE freq	-0.00006157	630.0	18.820	-32.46
145	SLE freq	-0.00006644	680.0	17.591	-36.37
146	SLE freq	-0.00006166	630.0	18.853	-32.51
147	SLE freq	-0.00006575	680.0	17.384	-35.98
148	SLE freq	-0.00006583	680.0	17.413	-36.03
149	SLE freq	-0.00006157	630.0	18.823	-32.47
150	SLE freq	-0.00006575	680.0	17.387	-35.98
151	SLE q.p.	-0.00006157	630.0	18.820	-32.46
152	SLE q.p.	-0.00006575	680.0	17.384	-35.98

Cedimento massimo in cmb n. 139 = -40.03 mm

**Elemento Platea n. 289**

Cmb. n.	Tipo	Car. Netto kN/mm <sup>2</sup>	Prof. mm	Sigm.Z/Sigm.Lit. %	Cedim.Edom. mm
129	SLE rare	-0.00005028	730.0	18.761	-40.65
130	SLE rare	-0.00005049	730.0	18.853	-40.83
131	SLE rare	-0.00005655	780.0	18.287	-47.25
132	SLE rare	-0.00005677	780.0	18.367	-47.43
133	SLE rare	-0.00005071	730.0	18.945	-41.01
134	SLE rare	-0.00005467	780.0	17.630	-45.64
135	SLE rare	-0.00005510	780.0	17.790	-46.01
136	SLE rare	-0.00005590	780.0	18.046	-46.68
137	SLE rare	-0.00005612	780.0	18.126	-46.87
138	SLE rare	-0.00006029	780.0	19.580	-50.43
139	SLE rare	-0.00006051	780.0	19.660	-50.62
140	SLE rare	-0.00005028	730.0	18.769	-40.66
141	SLE rare	-0.00005050	730.0	18.861	-40.84
142	SLE rare	-0.00005467	780.0	17.636	-45.65
143	SLE rare	-0.00005489	780.0	17.716	-45.84
144	SLE freq	-0.00005027	730.0	18.758	-40.65
145	SLE freq	-0.00005467	780.0	17.628	-45.63
146	SLE freq	-0.00005036	730.0	18.795	-40.72
147	SLE freq	-0.00005404	780.0	17.409	-45.10
148	SLE freq	-0.00005412	780.0	17.441	-45.17
149	SLE freq	-0.00005028	730.0	18.761	-40.65
150	SLE freq	-0.00005404	780.0	17.411	-45.10
151	SLE q.p.	-0.00005027	730.0	18.758	-40.65
152	SLE q.p.	-0.00005404	780.0	17.409	-45.10

Cedimento massimo in cmb n. 139 = -50.62 mm

**Elemento Platea n. 290**

Cmb. n.	Tipo	Car. Netto kN/mm <sup>2</sup>	Prof. mm	Sigm.Z/Sigm.Lit. %	Cedim.Edom. mm
129	SLE rare	-0.00005175	730.0	18.035	-40.43
130	SLE rare	-0.00005197	730.0	18.123	-40.61
131	SLE rare	-0.00005816	780.0	17.584	-46.90
132	SLE rare	-0.00005838	780.0	17.660	-47.08
133	SLE rare	-0.00005219	730.0	18.210	-40.79
134	SLE rare	-0.00005624	730.0	19.732	-44.02
135	SLE rare	-0.00005667	730.0	19.907	-44.37
136	SLE rare	-0.00005751	780.0	17.356	-46.35
137	SLE rare	-0.00005773	780.0	17.432	-46.53
138	SLE rare	-0.00006200	780.0	18.823	-50.05
139	SLE rare	-0.00006222	780.0	18.899	-50.23
140	SLE rare	-0.00005178	730.0	18.045	-40.45
141	SLE rare	-0.00005200	730.0	18.132	-40.63
142	SLE rare	-0.00005627	730.0	19.742	-44.04
143	SLE rare	-0.00005648	730.0	19.830	-44.22
144	SLE freq	-0.00005174	730.0	18.032	-40.43
145	SLE freq	-0.00005623	730.0	19.729	-44.01
146	SLE freq	-0.00005183	730.0	18.067	-40.50
147	SLE freq	-0.00005559	730.0	19.487	-43.50
148	SLE freq	-0.00005568	730.0	19.522	-43.57
149	SLE freq	-0.00005175	730.0	18.035	-40.43
150	SLE freq	-0.00005560	730.0	19.490	-43.51
151	SLE q.p.	-0.00005174	730.0	18.032	-40.43
152	SLE q.p.	-0.00005559	730.0	19.487	-43.50

Cedimento massimo in cmb n. 139 = -50.23 mm

**Elemento Platea n. 291**

Cmb. n.	Tipo	Car. Netto kN/mm <sup>2</sup>	Prof. mm	Sigm.Z/Sigm.Lit. %	Cedim.Edom. mm
129	SLE rare	-0.00005314	730.0	17.201	-39.82
130	SLE rare	-0.00005336	730.0	17.284	-39.99
131	SLE rare	-0.00005968	730.0	19.500	-44.82
132	SLE rare	-0.00005989	730.0	19.583	-44.99
133	SLE rare	-0.00005358	730.0	17.366	-40.16
134	SLE rare	-0.00005771	730.0	18.811	-43.32
135	SLE rare	-0.00005815	730.0	18.975	-43.66
136	SLE rare	-0.00005902	730.0	19.253	-44.31
137	SLE rare	-0.00005924	730.0	19.335	-44.48
138	SLE rare	-0.00006360	780.0	17.971	-49.19

139	SLE rare	-0.00006382	780.0	18.042	-49.36
140	SLE rare	-0.00005318	730.0	17.212	-39.85
141	SLE rare	-0.00005340	730.0	17.294	-40.02
142	SLE rare	-0.00005776	730.0	18.822	-43.35
143	SLE rare	-0.00005798	730.0	18.904	-43.52
144	SLE freq	-0.00005312	730.0	17.198	-39.81
145	SLE freq	-0.00005770	730.0	18.807	-43.31
146	SLE freq	-0.00005321	730.0	17.230	-39.88
147	SLE freq	-0.00005705	730.0	18.577	-42.81
148	SLE freq	-0.00005713	730.0	18.610	-42.88
149	SLE freq	-0.00005314	730.0	17.201	-39.82
150	SLE freq	-0.00005706	730.0	18.581	-42.82
151	SLE q.p.	-0.00005312	730.0	17.198	-39.81
152	SLE q.p.	-0.00005705	730.0	18.577	-42.81

Cedimento massimo in cmb n. 139 = -49.36 mm

### Elemento Platea n. 292

Cmb. n.	Tipo	Car. Netto kN/mm <sup>2</sup>	Prof. mm	Sigm.Z/Sigm.Lit. %	Cedim.Edom. mm
129	SLE rare	-0.00005449	680.0	18.974	-37.44
130	SLE rare	-0.00005471	680.0	19.062	-37.59
131	SLE rare	-0.00006114	730.0	18.399	-43.45
132	SLE rare	-0.00006136	730.0	18.475	-43.61
133	SLE rare	-0.00005493	680.0	19.151	-37.75
134	SLE rare	-0.00005915	730.0	17.751	-42.01
135	SLE rare	-0.00005959	730.0	17.905	-42.33
136	SLE rare	-0.00006049	730.0	18.168	-42.96
137	SLE rare	-0.00006071	730.0	18.245	-43.13
138	SLE rare	-0.00006515	730.0	19.679	-46.34
139	SLE rare	-0.00006537	730.0	19.756	-46.50
140	SLE rare	-0.00005455	680.0	18.988	-37.47
141	SLE rare	-0.00005477	680.0	19.076	-37.63
142	SLE rare	-0.00005921	730.0	17.762	-42.04
143	SLE rare	-0.00005943	730.0	17.839	-42.21
144	SLE freq	-0.00005446	680.0	18.969	-37.42
145	SLE freq	-0.00005913	730.0	17.747	-41.99
146	SLE freq	-0.00005455	680.0	19.004	-37.49
147	SLE freq	-0.00005846	730.0	17.531	-41.51
148	SLE freq	-0.00005855	730.0	17.562	-41.58
149	SLE freq	-0.00005449	680.0	18.974	-37.44
150	SLE freq	-0.00005848	730.0	17.535	-41.52
151	SLE q.p.	-0.00005446	680.0	18.969	-37.42
152	SLE q.p.	-0.00005846	730.0	17.531	-41.51

Cedimento massimo in cmb n. 139 = -46.50 mm

### Elemento Platea n. 293

Cmb. n.	Tipo	Car. Netto kN/mm <sup>2</sup>	Prof. mm	Sigm.Z/Sigm.Lit. %	Cedim.Edom. mm
129	SLE rare	-0.00005581	680.0	17.673	-35.55
130	SLE rare	-0.00005603	680.0	17.754	-35.70
131	SLE rare	-0.00006258	680.0	19.991	-39.95
132	SLE rare	-0.00006280	730.0	17.277	-41.37
133	SLE rare	-0.00005625	680.0	17.836	-35.85
134	SLE rare	-0.00006055	680.0	19.296	-38.63
135	SLE rare	-0.00006099	680.0	19.459	-38.92
136	SLE rare	-0.00006192	680.0	19.747	-39.51
137	SLE rare	-0.00006214	680.0	19.828	-39.66
138	SLE rare	-0.00006666	730.0	18.400	-43.94
139	SLE rare	-0.00006688	730.0	18.471	-44.09
140	SLE rare	-0.00005589	680.0	17.688	-35.60
141	SLE rare	-0.00005611	680.0	17.769	-35.74
142	SLE rare	-0.00006064	680.0	19.311	-38.67
143	SLE rare	-0.00006086	680.0	19.392	-38.82
144	SLE freq	-0.00005578	680.0	17.668	-35.54
145	SLE freq	-0.00006052	680.0	19.291	-38.62
146	SLE freq	-0.00005587	680.0	17.701	-35.60
147	SLE freq	-0.00005984	680.0	19.059	-38.18
148	SLE freq	-0.00005993	680.0	19.092	-38.24
149	SLE freq	-0.00005581	680.0	17.673	-35.55
150	SLE freq	-0.00005987	680.0	19.064	-38.19
151	SLE q.p.	-0.00005578	680.0	17.668	-35.54

152 SLE q.p. -0.00005984 680.0 19.059 -38.18  
 Cedimento massimo in cmb n. 139 = -44.09 mm

**Elemento Platea n. 294**

Cmb. n.	Tipo	Car. Netto kN/mm <sup>2</sup>	Prof. mm	Sigm.Z/Sigm.Lit. %	Cedim.Edom. mm
129	SLE rare	-0.00005700	630.0	19.112	-31.51
130	SLE rare	-0.00005722	630.0	19.198	-31.64
131	SLE rare	-0.00006388	680.0	18.525	-36.69
132	SLE rare	-0.00006410	680.0	18.600	-36.83
133	SLE rare	-0.00005744	630.0	19.283	-31.77
134	SLE rare	-0.00006182	680.0	17.883	-35.49
135	SLE rare	-0.00006226	680.0	18.033	-35.75
136	SLE rare	-0.00006321	680.0	18.300	-36.29
137	SLE rare	-0.00006343	680.0	18.375	-36.42
138	SLE rare	-0.00006803	680.0	19.799	-39.11
139	SLE rare	-0.00006825	680.0	19.874	-39.24
140	SLE rare	-0.00005711	630.0	19.129	-31.56
141	SLE rare	-0.00005733	630.0	19.215	-31.68
142	SLE rare	-0.00006192	680.0	17.897	-35.53
143	SLE rare	-0.00006214	680.0	17.972	-35.66
144	SLE freq	-0.00005697	630.0	19.106	-31.50
145	SLE freq	-0.00006178	680.0	17.878	-35.47
146	SLE freq	-0.00005706	630.0	19.140	-31.55
147	SLE freq	-0.00006109	680.0	17.664	-35.07
148	SLE freq	-0.00006118	680.0	17.694	-35.12
149	SLE freq	-0.00005700	630.0	19.112	-31.51
150	SLE freq	-0.00006113	680.0	17.669	-35.08
151	SLE q.p.	-0.00005697	630.0	19.106	-31.50
152	SLE q.p.	-0.00006109	680.0	17.664	-35.07

Cedimento massimo in cmb n. 139 = -39.24 mm

**Elemento Platea n. 295**

Cmb. n.	Tipo	Car. Netto kN/mm <sup>2</sup>	Prof. mm	Sigm.Z/Sigm.Lit. %	Cedim.Edom. mm
129	SLE rare	-0.00004594	730.0	18.581	-38.37
130	SLE rare	-0.00004615	730.0	18.675	-38.55
131	SLE rare	-0.00005216	780.0	18.189	-44.95
132	SLE rare	-0.00005237	780.0	18.270	-45.14
133	SLE rare	-0.00004637	730.0	18.768	-38.73
134	SLE rare	-0.00005029	780.0	17.524	-43.34
135	SLE rare	-0.00005072	780.0	17.686	-43.72
136	SLE rare	-0.00005158	780.0	17.948	-44.41
137	SLE rare	-0.00005179	780.0	18.029	-44.60
138	SLE rare	-0.00005593	780.0	19.498	-48.16
139	SLE rare	-0.00005615	780.0	19.579	-48.35
140	SLE rare	-0.00004603	730.0	18.598	-38.43
141	SLE rare	-0.00004625	730.0	18.691	-38.61
142	SLE rare	-0.00005039	780.0	17.537	-43.40
143	SLE rare	-0.00005060	780.0	17.618	-43.59
144	SLE freq	-0.00004590	730.0	18.576	-38.35
145	SLE freq	-0.00005026	780.0	17.520	-43.32
146	SLE freq	-0.00004599	730.0	18.613	-38.42
147	SLE freq	-0.00004964	780.0	17.298	-42.78
148	SLE freq	-0.00004972	780.0	17.331	-42.86
149	SLE freq	-0.00004594	730.0	18.581	-38.37
150	SLE freq	-0.00004967	780.0	17.303	-42.80
151	SLE q.p.	-0.00004590	730.0	18.576	-38.35
152	SLE q.p.	-0.00004964	780.0	17.298	-42.78

Cedimento massimo in cmb n. 139 = -48.35 mm

**Elemento Platea n. 296**

Cmb. n.	Tipo	Car. Netto kN/mm <sup>2</sup>	Prof. mm	Sigm.Z/Sigm.Lit. %	Cedim.Edom. mm
129	SLE rare	-0.00004759	730.0	17.846	-38.12
130	SLE rare	-0.00004781	730.0	17.934	-38.30
131	SLE rare	-0.00005397	780.0	17.475	-44.55
132	SLE rare	-0.00005419	780.0	17.552	-44.73
133	SLE rare	-0.00004803	730.0	18.023	-38.47
134	SLE rare	-0.00005205	730.0	19.560	-41.69
135	SLE rare	-0.00005249	730.0	19.737	-42.04

136	SLE rare	-0.00005339	780.0	17.247	-44.04
137	SLE rare	-0.00005361	780.0	17.324	-44.22
138	SLE rare	-0.00005785	780.0	18.728	-47.71
139	SLE rare	-0.00005807	780.0	18.805	-47.90
140	SLE rare	-0.00004771	730.0	17.864	-38.19
141	SLE rare	-0.00004793	730.0	17.952	-38.37
142	SLE rare	-0.00005217	730.0	19.577	-41.76
143	SLE rare	-0.00005239	730.0	19.666	-41.93
144	SLE freq	-0.00004755	730.0	17.840	-38.10
145	SLE freq	-0.00005202	730.0	19.554	-41.66
146	SLE freq	-0.00004764	730.0	17.875	-38.17
147	SLE freq	-0.00005138	730.0	19.309	-41.15
148	SLE freq	-0.00005147	730.0	19.344	-41.23
149	SLE freq	-0.00004759	730.0	17.846	-38.12
150	SLE freq	-0.00005142	730.0	19.315	-41.18
151	SLE q.p.	-0.00004755	730.0	17.840	-38.10
152	SLE q.p.	-0.00005138	730.0	19.309	-41.15

Cedimento massimo in cmb n. 139 = -47.90 mm

**Elemento Platea n. 297**

Cmb. n.	Tipo	Car. Netto kN/mm <sup>2</sup>	Prof. mm	Sigm.Z/Sigm.Lit. %	Cedim.Edom. mm
129	SLE rare	-0.00004910	680.0	19.855	-36.22
130	SLE rare	-0.00004931	680.0	19.951	-36.39
131	SLE rare	-0.00005561	730.0	19.316	-42.43
132	SLE rare	-0.00005583	730.0	19.399	-42.60
133	SLE rare	-0.00004953	730.0	17.165	-37.82
134	SLE rare	-0.00005365	730.0	18.620	-40.95
135	SLE rare	-0.00005409	730.0	18.787	-41.29
136	SLE rare	-0.00005503	730.0	19.069	-41.96
137	SLE rare	-0.00005525	730.0	19.152	-42.13
138	SLE rare	-0.00005958	780.0	17.859	-46.79
139	SLE rare	-0.00005980	780.0	17.932	-46.97
140	SLE rare	-0.00004923	680.0	19.878	-36.30
141	SLE rare	-0.00004945	680.0	19.974	-36.46
142	SLE rare	-0.00005379	730.0	18.639	-41.02
143	SLE rare	-0.00005401	730.0	18.722	-41.19
144	SLE freq	-0.00004905	680.0	19.848	-36.20
145	SLE freq	-0.00005361	730.0	18.614	-40.92
146	SLE freq	-0.00004914	680.0	19.886	-36.26
147	SLE freq	-0.00005296	730.0	18.383	-40.43
148	SLE freq	-0.00005304	730.0	18.416	-40.49
149	SLE freq	-0.00004910	680.0	19.855	-36.22
150	SLE freq	-0.00005300	730.0	18.389	-40.45
151	SLE q.p.	-0.00004905	680.0	19.848	-36.20
152	SLE q.p.	-0.00005296	730.0	18.383	-40.43

Cedimento massimo in cmb n. 139 = -46.97 mm

**Elemento Platea n. 298**

Cmb. n.	Tipo	Car. Netto kN/mm <sup>2</sup>	Prof. mm	Sigm.Z/Sigm.Lit. %	Cedim.Edom. mm
129	SLE rare	-0.00005056	680.0	18.662	-35.12
130	SLE rare	-0.00005078	680.0	18.751	-35.28
131	SLE rare	-0.00005720	730.0	18.201	-41.06
132	SLE rare	-0.00005742	730.0	18.278	-41.23
133	SLE rare	-0.00005100	680.0	18.840	-35.44
134	SLE rare	-0.00005521	730.0	17.549	-39.64
135	SLE rare	-0.00005565	730.0	17.704	-39.96
136	SLE rare	-0.00005661	730.0	17.971	-40.61
137	SLE rare	-0.00005683	730.0	18.049	-40.77
138	SLE rare	-0.00006126	730.0	19.492	-43.95
139	SLE rare	-0.00006148	730.0	19.569	-44.11
140	SLE rare	-0.00005071	680.0	18.685	-35.20
141	SLE rare	-0.00005093	680.0	18.774	-35.36
142	SLE rare	-0.00005536	730.0	17.568	-39.72
143	SLE rare	-0.00005558	730.0	17.645	-39.88
144	SLE freq	-0.00005050	680.0	18.654	-35.10
145	SLE freq	-0.00005515	730.0	17.543	-39.61
146	SLE freq	-0.00005059	680.0	18.690	-35.16
147	SLE freq	-0.00005449	730.0	17.326	-39.13
148	SLE freq	-0.00005458	730.0	17.357	-39.20

149	SLE freq	-0.00005056	680.0	18.662	-35.12
150	SLE freq	-0.00005454	730.0	17.332	-39.16
151	SLE q.p.	-0.00005050	680.0	18.654	-35.10
152	SLE q.p.	-0.00005449	730.0	17.326	-39.13

Cedimento massimo in cmb n. 139 = -44.11 mm

#### Elemento Platea n. 299

Cmb. n.	Tipo	Car. Netto kN/mm <sup>2</sup>	Prof. mm	Sigm.Z/Sigm.Lit. %	Cedim.Edom. mm
129	SLE rare	-0.00005203	680.0	17.375	-33.37
130	SLE rare	-0.00005225	680.0	17.457	-33.52
131	SLE rare	-0.00005880	680.0	19.701	-37.71
132	SLE rare	-0.00005902	680.0	19.783	-37.86
133	SLE rare	-0.00005247	680.0	17.539	-33.66
134	SLE rare	-0.00005677	680.0	19.003	-36.41
135	SLE rare	-0.00005721	680.0	19.167	-36.70
136	SLE rare	-0.00005821	680.0	19.459	-37.31
137	SLE rare	-0.00005843	680.0	19.541	-37.45
138	SLE rare	-0.00006294	730.0	18.217	-41.68
139	SLE rare	-0.00006317	730.0	18.289	-41.83
140	SLE rare	-0.00005220	680.0	17.397	-33.46
141	SLE rare	-0.00005243	680.0	17.479	-33.60
142	SLE rare	-0.00005694	680.0	19.025	-36.49
143	SLE rare	-0.00005716	680.0	19.107	-36.64
144	SLE freq	-0.00005197	680.0	17.368	-33.35
145	SLE freq	-0.00005671	680.0	18.996	-36.38
146	SLE freq	-0.00005206	680.0	17.400	-33.40
147	SLE freq	-0.00005603	680.0	18.763	-35.95
148	SLE freq	-0.00005612	680.0	18.796	-36.01
149	SLE freq	-0.00005203	680.0	17.375	-33.37
150	SLE freq	-0.00005609	680.0	18.771	-35.98
151	SLE q.p.	-0.00005197	680.0	17.368	-33.35
152	SLE q.p.	-0.00005603	680.0	18.763	-35.95

Cedimento massimo in cmb n. 139 = -41.83 mm

#### Elemento Platea n. 300

Cmb. n.	Tipo	Car. Netto kN/mm <sup>2</sup>	Prof. mm	Sigm.Z/Sigm.Lit. %	Cedim.Edom. mm
129	SLE rare	-0.00005336	630.0	18.702	-29.61
130	SLE rare	-0.00005358	630.0	18.788	-29.73
131	SLE rare	-0.00006025	680.0	18.261	-34.71
132	SLE rare	-0.00006047	680.0	18.336	-34.85
133	SLE rare	-0.00005380	630.0	18.874	-29.86
134	SLE rare	-0.00005818	680.0	17.617	-33.52
135	SLE rare	-0.00005863	680.0	17.768	-33.79
136	SLE rare	-0.00005965	680.0	18.039	-34.35
137	SLE rare	-0.00005987	680.0	18.114	-34.48
138	SLE rare	-0.00006447	680.0	19.541	-37.13
139	SLE rare	-0.00006469	680.0	19.617	-37.26
140	SLE rare	-0.00005355	630.0	18.729	-29.68
141	SLE rare	-0.00005378	630.0	18.815	-29.81
142	SLE rare	-0.00005838	680.0	17.638	-33.60
143	SLE rare	-0.00005860	680.0	17.714	-33.74
144	SLE freq	-0.00005329	630.0	18.693	-29.58
145	SLE freq	-0.00005811	680.0	17.610	-33.50
146	SLE freq	-0.00005338	630.0	18.728	-29.63
147	SLE freq	-0.00005743	680.0	17.395	-33.10
148	SLE freq	-0.00005752	680.0	17.425	-33.15
149	SLE freq	-0.00005336	630.0	18.702	-29.61
150	SLE freq	-0.00005749	680.0	17.402	-33.13
151	SLE q.p.	-0.00005329	630.0	18.693	-29.58
152	SLE q.p.	-0.00005743	680.0	17.395	-33.10

Cedimento massimo in cmb n. 139 = -37.26 mm

#### Elemento Platea n. 301

Cmb. n.	Tipo	Car. Netto kN/mm <sup>2</sup>	Prof. mm	Sigm.Z/Sigm.Lit. %	Cedim.Edom. mm
129	SLE rare	-0.00004266	730.0	17.900	-35.10
130	SLE rare	-0.00004288	730.0	17.992	-35.28
131	SLE rare	-0.00004893	780.0	17.653	-41.48
132	SLE rare	-0.00004915	780.0	17.733	-41.67

133	SLE rare	-0.00004310	730.0	18.085	-35.46
134	SLE rare	-0.00004705	730.0	19.671	-38.63
135	SLE rare	-0.00004749	730.0	19.856	-38.98
136	SLE rare	-0.00004841	780.0	17.417	-40.99
137	SLE rare	-0.00004863	780.0	17.497	-41.17
138	SLE rare	-0.00005281	780.0	18.948	-44.63
139	SLE rare	-0.00005303	780.0	19.028	-44.81
140	SLE rare	-0.00004284	730.0	17.925	-35.21
141	SLE rare	-0.00004306	730.0	18.017	-35.39
142	SLE rare	-0.00004723	730.0	19.696	-38.73
143	SLE rare	-0.00004745	730.0	19.788	-38.91
144	SLE freq	-0.00004260	730.0	17.892	-35.07
145	SLE freq	-0.00004699	730.0	19.662	-38.59
146	SLE freq	-0.00004268	730.0	17.929	-35.14
147	SLE freq	-0.00004636	730.0	19.409	-38.09
148	SLE freq	-0.00004645	730.0	19.446	-38.16
149	SLE freq	-0.00004266	730.0	17.900	-35.10
150	SLE freq	-0.00004642	730.0	19.418	-38.12
151	SLE q.p.	-0.00004260	730.0	17.892	-35.07
152	SLE q.p.	-0.00004636	730.0	19.409	-38.09

Cedimento massimo in cmb n. 139 = -44.81 mm

### Elemento Platea n. 302

Cmb. n.	Tipo	Car. Netto kN/mm <sup>2</sup>	Prof. mm	Sigm.Z/Sigm.Lit. %	Cedim.Edom. mm
129	SLE rare	-0.00004437	680.0	19.974	-33.37
130	SLE rare	-0.00004460	730.0	17.270	-34.81
131	SLE rare	-0.00005081	730.0	19.591	-39.53
132	SLE rare	-0.00005103	730.0	19.679	-39.70
133	SLE rare	-0.00004482	730.0	17.357	-34.98
134	SLE rare	-0.00004888	730.0	18.869	-38.06
135	SLE rare	-0.00004932	730.0	19.044	-38.40
136	SLE rare	-0.00005029	730.0	19.336	-39.08
137	SLE rare	-0.00005051	730.0	19.423	-39.25
138	SLE rare	-0.00005480	780.0	18.193	-43.89
139	SLE rare	-0.00005502	780.0	18.269	-44.06
140	SLE rare	-0.00004458	730.0	17.208	-34.74
141	SLE rare	-0.00004480	730.0	17.295	-34.92
142	SLE rare	-0.00004908	730.0	18.894	-38.17
143	SLE rare	-0.00004930	730.0	18.981	-38.34
144	SLE freq	-0.00004431	680.0	19.963	-33.34
145	SLE freq	-0.00004881	730.0	18.860	-38.02
146	SLE freq	-0.00004440	730.0	17.209	-34.67
147	SLE freq	-0.00004817	730.0	18.619	-37.53
148	SLE freq	-0.00004826	730.0	18.654	-37.60
149	SLE freq	-0.00004437	680.0	19.974	-33.37
150	SLE freq	-0.00004824	730.0	18.628	-37.57
151	SLE q.p.	-0.00004431	680.0	19.963	-33.34
152	SLE q.p.	-0.00004817	730.0	18.619	-37.53

Cedimento massimo in cmb n. 139 = -44.06 mm

### Elemento Platea n. 303

Cmb. n.	Tipo	Car. Netto kN/mm <sup>2</sup>	Prof. mm	Sigm.Z/Sigm.Lit. %	Cedim.Edom. mm
129	SLE rare	-0.00004580	680.0	18.951	-32.55
130	SLE rare	-0.00004603	680.0	19.045	-32.70
131	SLE rare	-0.00005237	730.0	18.616	-38.46
132	SLE rare	-0.00005260	730.0	18.698	-38.62
133	SLE rare	-0.00004625	680.0	19.140	-32.86
134	SLE rare	-0.00005040	730.0	17.934	-37.04
135	SLE rare	-0.00005085	730.0	18.098	-37.37
136	SLE rare	-0.00005185	730.0	18.377	-38.03
137	SLE rare	-0.00005208	730.0	18.459	-38.19
138	SLE rare	-0.00005645	730.0	19.970	-41.33
139	SLE rare	-0.00005668	780.0	17.400	-42.81
140	SLE rare	-0.00004603	680.0	18.983	-32.66
141	SLE rare	-0.00004625	680.0	19.077	-32.81
142	SLE rare	-0.00005063	730.0	17.959	-37.16
143	SLE rare	-0.00005085	730.0	18.041	-37.32
144	SLE freq	-0.00004573	680.0	18.940	-32.51
145	SLE freq	-0.00005033	730.0	17.925	-37.01

146	SLE freq	-0.00004582	680.0	18.978	-32.57
147	SLE freq	-0.00004967	730.0	17.698	-36.54
148	SLE freq	-0.00004976	730.0	17.731	-36.60
149	SLE freq	-0.00004580	680.0	18.951	-32.55
150	SLE freq	-0.00004974	730.0	17.706	-36.57
151	SLE q.p.	-0.00004573	680.0	18.940	-32.51
152	SLE q.p.	-0.00004967	730.0	17.698	-36.54

Cedimento massimo in cmb n. 139 = -42.81 mm

#### Elemento Platea n. 304

Cmb. n.	Tipo	Car. Netto kN/mm <sup>2</sup>	Prof. mm	Sigm.Z/Sigm.Lit. %	Cedim.Edom. mm
129	SLE rare	-0.00004736	680.0	17.784	-31.46
130	SLE rare	-0.00004759	680.0	17.871	-31.61
131	SLE rare	-0.00005406	730.0	17.518	-37.08
132	SLE rare	-0.00005429	730.0	17.594	-37.23
133	SLE rare	-0.00004781	680.0	17.959	-31.76
134	SLE rare	-0.00005205	680.0	19.499	-34.50
135	SLE rare	-0.00005250	680.0	19.674	-34.79
136	SLE rare	-0.00005354	680.0	19.981	-35.41
137	SLE rare	-0.00005376	730.0	17.372	-36.83
138	SLE rare	-0.00005823	730.0	18.785	-39.82
139	SLE rare	-0.00005846	730.0	18.861	-39.98
140	SLE rare	-0.00004761	680.0	17.815	-31.57
141	SLE rare	-0.00004783	680.0	17.902	-31.72
142	SLE rare	-0.00005230	680.0	19.530	-34.61
143	SLE rare	-0.00005252	680.0	19.617	-34.76
144	SLE freq	-0.00004728	680.0	17.774	-31.42
145	SLE freq	-0.00005197	680.0	19.489	-34.46
146	SLE freq	-0.00004737	680.0	17.809	-31.48
147	SLE freq	-0.00005130	680.0	19.244	-34.02
148	SLE freq	-0.00005139	680.0	19.279	-34.08
149	SLE freq	-0.00004736	680.0	17.784	-31.46
150	SLE freq	-0.00005138	680.0	19.254	-34.06
151	SLE q.p.	-0.00004728	680.0	17.774	-31.42
152	SLE q.p.	-0.00005130	680.0	19.244	-34.02

Cedimento massimo in cmb n. 139 = -39.98 mm

#### Elemento Platea n. 305

Cmb. n.	Tipo	Car. Netto kN/mm <sup>2</sup>	Prof. mm	Sigm.Z/Sigm.Lit. %	Cedim.Edom. mm
129	SLE rare	-0.00004902	630.0	19.104	-28.70
130	SLE rare	-0.00004925	630.0	19.195	-28.83
131	SLE rare	-0.00005587	680.0	18.776	-33.93
132	SLE rare	-0.00005609	680.0	18.856	-34.07
133	SLE rare	-0.00004948	630.0	19.287	-28.96
134	SLE rare	-0.00005381	680.0	18.098	-32.71
135	SLE rare	-0.00005427	680.0	18.258	-32.99
136	SLE rare	-0.00005534	680.0	18.544	-33.57
137	SLE rare	-0.00005556	680.0	18.624	-33.71
138	SLE rare	-0.00006013	730.0	17.516	-37.71
139	SLE rare	-0.00006035	730.0	17.586	-37.85
140	SLE rare	-0.00004929	630.0	19.140	-28.81
141	SLE rare	-0.00004952	630.0	19.232	-28.94
142	SLE rare	-0.00005408	680.0	18.127	-32.82
143	SLE rare	-0.00005431	680.0	18.207	-32.96
144	SLE freq	-0.00004894	630.0	19.092	-28.66
145	SLE freq	-0.00005373	680.0	18.088	-32.67
146	SLE freq	-0.00004903	630.0	19.128	-28.71
147	SLE freq	-0.00005304	680.0	17.862	-32.27
148	SLE freq	-0.00005313	680.0	17.894	-32.32
149	SLE freq	-0.00004902	630.0	19.104	-28.70
150	SLE freq	-0.00005313	680.0	17.872	-32.30
151	SLE q.p.	-0.00004894	630.0	19.092	-28.66
152	SLE q.p.	-0.00005304	680.0	17.862	-32.27

Cedimento massimo in cmb n. 139 = -37.85 mm

#### Elemento Platea n. 306

Cmb. n.	Tipo	Car. Netto kN/mm <sup>2</sup>	Prof. mm	Sigm.Z/Sigm.Lit. %	Cedim.Edom. mm
129	SLE rare	-0.00005061	630.0	17.492	-26.28



130	SLE rare	-0.00005084	630.0	17.574	-26.40
131	SLE rare	-0.00005760	630.0	19.858	-29.84
132	SLE rare	-0.00005783	630.0	19.941	-29.95
133	SLE rare	-0.00005107	630.0	17.657	-26.52
134	SLE rare	-0.00005550	630.0	19.148	-28.77
135	SLE rare	-0.00005596	630.0	19.314	-29.01
136	SLE rare	-0.00005706	630.0	19.620	-29.53
137	SLE rare	-0.00005729	630.0	19.703	-29.65
138	SLE rare	-0.00006195	680.0	18.545	-33.32
139	SLE rare	-0.00006218	680.0	18.619	-33.44
140	SLE rare	-0.00005090	630.0	17.525	-26.38
141	SLE rare	-0.00005113	630.0	17.608	-26.50
142	SLE rare	-0.00005579	630.0	19.182	-28.87
143	SLE rare	-0.00005602	630.0	19.265	-28.99
144	SLE freq	-0.00005052	630.0	17.480	-26.24
145	SLE freq	-0.00005541	630.0	19.137	-28.73
146	SLE freq	-0.00005061	630.0	17.513	-26.29
147	SLE freq	-0.00005471	630.0	18.900	-28.38
148	SLE freq	-0.00005480	630.0	18.933	-28.42
149	SLE freq	-0.00005061	630.0	17.492	-26.28
150	SLE freq	-0.00005480	630.0	18.912	-28.41
151	SLE q.p.	-0.00005052	630.0	17.480	-26.24
152	SLE q.p.	-0.00005471	630.0	18.900	-28.38

Cedimento massimo in cmb n. 139 = -33.44 mm

#### Elemento Platea n. 307

Cmb. n.	Tipo	Car. Netto kN/mm <sup>2</sup>	Prof. mm	Sigm.Z/Sigm.Lit. %	Cedim.Edom. mm
129	SLE rare	-0.00005231	560.0	19.348	-20.47
130	SLE rare	-0.00005254	560.0	19.437	-20.56
131	SLE rare	-0.00005943	630.0	18.163	-25.37
132	SLE rare	-0.00005966	630.0	18.238	-25.47
133	SLE rare	-0.00005277	560.0	19.526	-20.65
134	SLE rare	-0.00005729	630.0	17.517	-24.47
135	SLE rare	-0.00005775	630.0	17.667	-24.67
136	SLE rare	-0.00005888	630.0	17.947	-25.11
137	SLE rare	-0.00005911	630.0	18.022	-25.21
138	SLE rare	-0.00006386	630.0	19.453	-27.21
139	SLE rare	-0.00006409	630.0	19.528	-27.31
140	SLE rare	-0.00005262	560.0	19.390	-20.55
141	SLE rare	-0.00005285	560.0	19.479	-20.64
142	SLE rare	-0.00005760	630.0	17.548	-24.56
143	SLE rare	-0.00005783	630.0	17.623	-24.66
144	SLE freq	-0.00005221	560.0	19.334	-20.44
145	SLE freq	-0.00005719	630.0	17.507	-24.44
146	SLE freq	-0.00005230	560.0	19.370	-20.48
147	SLE freq	-0.00005648	580.0	19.769	-22.98
148	SLE freq	-0.00005657	580.0	19.803	-23.02
149	SLE freq	-0.00005231	560.0	19.348	-20.47
150	SLE freq	-0.00005658	580.0	19.782	-23.01
151	SLE q.p.	-0.00005221	560.0	19.334	-20.44
152	SLE q.p.	-0.00005648	580.0	19.769	-22.98

Cedimento massimo in cmb n. 139 = -27.31 mm

#### Elemento Platea n. 308

Cmb. n.	Tipo	Car. Netto kN/mm <sup>2</sup>	Prof. mm	Sigm.Z/Sigm.Lit. %	Cedim.Edom. mm
129	SLE rare	-0.00005482	580.0	19.689	-23.71
130	SLE rare	-0.00005505	580.0	19.778	-23.81
131	SLE rare	-0.00006183	630.0	19.229	-28.05
132	SLE rare	-0.00006205	630.0	19.307	-28.16
133	SLE rare	-0.00005527	580.0	19.866	-23.91
134	SLE rare	-0.00005973	630.0	18.559	-27.09
135	SLE rare	-0.00006018	630.0	18.714	-27.30
136	SLE rare	-0.00006122	630.0	19.002	-27.75
137	SLE rare	-0.00006145	630.0	19.079	-27.86
138	SLE rare	-0.00006613	680.0	17.898	-31.24
139	SLE rare	-0.00006635	680.0	17.966	-31.35
140	SLE rare	-0.00005504	580.0	19.720	-23.78
141	SLE rare	-0.00005526	580.0	19.808	-23.88
142	SLE rare	-0.00005994	630.0	18.583	-27.16

143	SLE rare	-0.00006016	630.0	18.661	-27.27
144	SLE freq	-0.00005475	580.0	19.679	-23.69
145	SLE freq	-0.00005966	630.0	18.551	-27.07
146	SLE freq	-0.00005484	580.0	19.714	-23.73
147	SLE freq	-0.00005896	630.0	18.327	-26.75
148	SLE freq	-0.00005905	630.0	18.358	-26.79
149	SLE freq	-0.00005482	580.0	19.689	-23.71
150	SLE freq	-0.00005903	630.0	18.335	-26.77
151	SLE q.p.	-0.00005475	580.0	19.679	-23.69
152	SLE q.p.	-0.00005896	630.0	18.327	-26.75

Cedimento massimo in cmb n. 139 = -31.35 mm

#### Elemento Platea n. 309

Cmb. n.	Tipo	Car. Netto kN/mm <sup>2</sup>	Prof. mm	Sigm.Z/Sigm.Lit. %	Cedim.Edom. mm
129	SLE rare	-0.00005815	630.0	17.384	-26.41
130	SLE rare	-0.00005838	630.0	17.461	-26.51
131	SLE rare	-0.00006513	630.0	19.625	-29.64
132	SLE rare	-0.00006535	630.0	19.702	-29.75
133	SLE rare	-0.00005860	630.0	17.539	-26.62
134	SLE rare	-0.00006304	630.0	18.953	-28.67
135	SLE rare	-0.00006348	630.0	19.108	-28.88
136	SLE rare	-0.00006446	630.0	19.393	-29.32
137	SLE rare	-0.00006468	630.0	19.470	-29.43
138	SLE rare	-0.00006934	680.0	18.157	-32.86
139	SLE rare	-0.00006956	680.0	18.225	-32.97
140	SLE rare	-0.00005828	630.0	17.401	-26.45
141	SLE rare	-0.00005850	630.0	17.479	-26.55
142	SLE rare	-0.00006316	630.0	18.970	-28.71
143	SLE rare	-0.00006338	630.0	19.047	-28.82
144	SLE freq	-0.00005811	630.0	17.378	-26.39
145	SLE freq	-0.00006300	630.0	18.947	-28.66
146	SLE freq	-0.00005820	630.0	17.409	-26.44
147	SLE freq	-0.00006230	630.0	18.723	-28.33
148	SLE freq	-0.00006239	630.0	18.754	-28.38
149	SLE freq	-0.00005815	630.0	17.384	-26.41
150	SLE freq	-0.00006234	630.0	18.729	-28.35
151	SLE q.p.	-0.00005811	630.0	17.378	-26.39
152	SLE q.p.	-0.00006230	630.0	18.723	-28.33

Cedimento massimo in cmb n. 139 = -32.97 mm

#### Elemento Platea n. 310

Cmb. n.	Tipo	Car. Netto kN/mm <sup>2</sup>	Prof. mm	Sigm.Z/Sigm.Lit. %	Cedim.Edom. mm
129	SLE rare	-0.00005815	630.0	17.384	-26.41
130	SLE rare	-0.00006274	630.0	17.183	-27.17
131	SLE rare	-0.00006957	630.0	19.274	-30.23
132	SLE rare	-0.00006979	630.0	19.349	-30.34
133	SLE rare	-0.00006296	630.0	17.258	-27.27
134	SLE rare	-0.00006745	630.0	18.625	-29.28
135	SLE rare	-0.00006789	630.0	18.774	-29.49
136	SLE rare	-0.00006881	630.0	19.046	-29.90
137	SLE rare	-0.00006903	630.0	19.120	-30.00
138	SLE rare	-0.00007374	680.0	17.825	-33.37
139	SLE rare	-0.00007396	680.0	17.891	-33.48
140	SLE rare	-0.00005828	630.0	17.401	-26.45
141	SLE rare	-0.00006277	630.0	17.193	-27.18
142	SLE rare	-0.00006748	630.0	18.634	-29.29
143	SLE rare	-0.00006770	630.0	18.709	-29.40
144	SLE freq	-0.00005811	630.0	17.378	-26.39
145	SLE freq	-0.00006744	630.0	18.621	-29.28
146	SLE freq	-0.00005820	630.0	17.409	-26.44
147	SLE freq	-0.00006674	630.0	18.405	-28.96
148	SLE freq	-0.00006682	630.0	18.435	-29.00
149	SLE freq	-0.00005815	630.0	17.384	-26.41
150	SLE freq	-0.00006675	630.0	18.408	-28.96
151	SLE q.p.	-0.00005811	630.0	17.378	-26.39
152	SLE q.p.	-0.00006674	630.0	18.405	-28.96

Cedimento massimo in cmb n. 139 = -33.48 mm

#### Elemento Platea n. 311

Cmb. n.	Tipo	Car. Netto kN/mm <sup>2</sup>	Prof. mm	Sigm.Z/Sigm.Lit. %	Cedim.Edom. mm
129	SLE rare	-0.00006252	580.0	19.953	-25.90
130	SLE rare	-0.00006274	630.0	17.183	-27.17
131	SLE rare	-0.00006957	630.0	19.274	-30.23
132	SLE rare	-0.00006979	630.0	19.349	-30.34
133	SLE rare	-0.00006296	630.0	17.258	-27.27
134	SLE rare	-0.00006745	630.0	18.625	-29.28
135	SLE rare	-0.00006789	630.0	18.774	-29.49
136	SLE rare	-0.00006881	630.0	19.046	-29.90
137	SLE rare	-0.00006903	630.0	19.120	-30.00
138	SLE rare	-0.00007374	680.0	17.825	-33.37
139	SLE rare	-0.00007396	680.0	17.891	-33.48
140	SLE rare	-0.00006255	580.0	19.964	-25.91
141	SLE rare	-0.00006277	630.0	17.193	-27.18
142	SLE rare	-0.00006748	630.0	18.634	-29.29
143	SLE rare	-0.00006770	630.0	18.709	-29.40
144	SLE freq	-0.00006251	580.0	19.950	-25.90
145	SLE freq	-0.00006744	630.0	18.621	-29.28
146	SLE freq	-0.00006260	580.0	19.984	-25.94
147	SLE freq	-0.00006674	630.0	18.405	-28.96
148	SLE freq	-0.00006682	630.0	18.435	-29.00
149	SLE freq	-0.00006252	580.0	19.953	-25.90
150	SLE freq	-0.00006675	630.0	18.408	-28.96
151	SLE q.p.	-0.00006251	580.0	19.950	-25.90
152	SLE q.p.	-0.00006674	630.0	18.405	-28.96

Cedimento massimo in cmb n. 139 = -33.48 mm

#### Elemento Platea n. 312

Cmb. n.	Tipo	Car. Netto kN/mm <sup>2</sup>	Prof. mm	Sigm.Z/Sigm.Lit. %	Cedim.Edom. mm
129	SLE rare	-0.00006782	560.0	19.913	-24.39
130	SLE rare	-0.00006804	560.0	19.996	-24.48
131	SLE rare	-0.00007503	630.0	18.200	-29.29
132	SLE rare	-0.00007525	630.0	18.269	-29.39
133	SLE rare	-0.00006827	580.0	18.890	-25.42
134	SLE rare	-0.00007287	630.0	17.595	-28.41
135	SLE rare	-0.00007332	630.0	17.734	-28.60
136	SLE rare	-0.00007418	630.0	17.983	-28.96
137	SLE rare	-0.00007440	630.0	18.053	-29.06
138	SLE rare	-0.00007922	630.0	19.395	-31.03
139	SLE rare	-0.00007945	630.0	19.464	-31.13
140	SLE rare	-0.00006775	560.0	19.915	-24.37
141	SLE rare	-0.00006797	560.0	19.997	-24.46
142	SLE rare	-0.00007279	630.0	17.597	-28.39
143	SLE rare	-0.00007302	630.0	17.667	-28.48
144	SLE freq	-0.00006784	560.0	19.913	-24.40
145	SLE freq	-0.00007289	630.0	17.594	-28.41
146	SLE freq	-0.00006793	560.0	19.946	-24.43
147	SLE freq	-0.00007217	630.0	17.392	-28.12
148	SLE freq	-0.00007226	630.0	17.420	-28.15
149	SLE freq	-0.00006782	560.0	19.913	-24.39
150	SLE freq	-0.00007215	630.0	17.393	-28.11
151	SLE q.p.	-0.00006784	560.0	19.913	-24.40
152	SLE q.p.	-0.00007217	630.0	17.392	-28.12

Cedimento massimo in cmb n. 139 = -31.13 mm

#### Elemento Platea n. 313

Cmb. n.	Tipo	Car. Netto kN/mm <sup>2</sup>	Prof. mm	Sigm.Z/Sigm.Lit. %	Cedim.Edom. mm
129	SLE rare	-0.00007367	560.0	17.698	-20.23
130	SLE rare	-0.00007390	560.0	17.770	-20.30
131	SLE rare	-0.00008109	560.0	19.827	-22.42
132	SLE rare	-0.00008132	560.0	19.899	-22.49
133	SLE rare	-0.00007413	560.0	17.843	-20.37
134	SLE rare	-0.00007886	560.0	19.188	-21.76
135	SLE rare	-0.00007932	560.0	19.333	-21.90
136	SLE rare	-0.00008014	560.0	19.594	-22.16
137	SLE rare	-0.00008037	560.0	19.666	-22.23
138	SLE rare	-0.00008534	630.0	17.596	-25.77
139	SLE rare	-0.00008557	630.0	17.658	-25.85

140	SLE rare	-0.00007348	560.0	17.692	-20.20
141	SLE rare	-0.00007371	560.0	17.765	-20.27
142	SLE rare	-0.00007868	560.0	19.182	-21.73
143	SLE rare	-0.00007891	560.0	19.255	-21.80
144	SLE freq	-0.00007373	560.0	17.700	-20.24
145	SLE freq	-0.00007893	560.0	19.190	-21.77
146	SLE freq	-0.00007382	560.0	17.729	-20.27
147	SLE freq	-0.00007818	560.0	18.977	-21.55
148	SLE freq	-0.00007828	560.0	19.006	-21.58
149	SLE freq	-0.00007367	560.0	17.698	-20.23
150	SLE freq	-0.00007812	560.0	18.975	-21.54
151	SLE q.p.	-0.00007373	560.0	17.700	-20.24
152	SLE q.p.	-0.00007818	560.0	18.977	-21.55

Cedimento massimo in cmb n. 139 = -25.85 mm

**Elemento Platea n. 314**

Cmb. n.	Tipo	Car. Netto kN/mm <sup>2</sup>	Prof. mm	Sigm.Z/Sigm.Lit. %	Cedim.Edom. mm
129	SLE rare	-0.00007305	560.0	19.192	-23.43
130	SLE rare	-0.00007328	560.0	19.271	-23.52
131	SLE rare	-0.00008042	630.0	17.718	-28.08
132	SLE rare	-0.00008065	630.0	17.785	-28.17
133	SLE rare	-0.00007351	560.0	19.350	-23.60
134	SLE rare	-0.00007821	580.0	19.658	-26.10
135	SLE rare	-0.00007867	580.0	19.808	-26.27
136	SLE rare	-0.00007948	630.0	17.505	-27.75
137	SLE rare	-0.00007971	630.0	17.572	-27.84
138	SLE rare	-0.00008463	630.0	18.865	-29.69
139	SLE rare	-0.00008486	630.0	18.932	-29.77
140	SLE rare	-0.00007285	560.0	19.185	-23.39
141	SLE rare	-0.00007308	560.0	19.263	-23.48
142	SLE rare	-0.00007801	580.0	19.651	-26.06
143	SLE rare	-0.00007824	580.0	19.726	-26.14
144	SLE freq	-0.00007312	560.0	19.195	-23.45
145	SLE freq	-0.00007828	580.0	19.660	-26.11
146	SLE freq	-0.00007321	560.0	19.227	-23.48
147	SLE freq	-0.00007754	580.0	19.440	-25.85
148	SLE freq	-0.00007763	580.0	19.470	-25.88
149	SLE freq	-0.00007305	560.0	19.192	-23.43
150	SLE freq	-0.00007747	580.0	19.438	-25.83
151	SLE q.p.	-0.00007312	560.0	19.195	-23.45
152	SLE q.p.	-0.00007754	580.0	19.440	-25.85

Cedimento massimo in cmb n. 139 = -29.77 mm

**Elemento Platea n. 315**

Cmb. n.	Tipo	Car. Netto kN/mm <sup>2</sup>	Prof. mm	Sigm.Z/Sigm.Lit. %	Cedim.Edom. mm
129	SLE rare	-0.00007214	630.0	17.317	-28.07
130	SLE rare	-0.00007237	630.0	17.391	-28.17
131	SLE rare	-0.00007943	630.0	19.454	-31.14
132	SLE rare	-0.00007966	630.0	19.528	-31.24
133	SLE rare	-0.00007260	630.0	17.465	-28.27
134	SLE rare	-0.00007724	630.0	18.813	-30.22
135	SLE rare	-0.00007770	630.0	18.961	-30.42
136	SLE rare	-0.00007849	630.0	19.219	-30.78
137	SLE rare	-0.00007872	630.0	19.293	-30.88
138	SLE rare	-0.00008359	680.0	18.053	-34.20
139	SLE rare	-0.00008382	680.0	18.119	-34.30
140	SLE rare	-0.00007192	630.0	17.311	-28.02
141	SLE rare	-0.00007215	630.0	17.385	-28.12
142	SLE rare	-0.00007702	630.0	18.806	-30.17
143	SLE rare	-0.00007725	630.0	18.880	-30.27
144	SLE freq	-0.00007222	630.0	17.319	-28.09
145	SLE freq	-0.00007732	630.0	18.815	-30.24
146	SLE freq	-0.00007231	630.0	17.349	-28.13
147	SLE freq	-0.00007659	630.0	18.601	-29.93
148	SLE freq	-0.00007668	630.0	18.631	-29.97
149	SLE freq	-0.00007214	630.0	17.317	-28.07
150	SLE freq	-0.00007651	630.0	18.599	-29.91
151	SLE q.p.	-0.00007222	630.0	17.319	-28.09
152	SLE q.p.	-0.00007659	630.0	18.601	-29.93

Cedimento massimo in cmb n. 139 = -34.30 mm

**Elemento Platea n. 316**

Cmb. n.	Tipo	Car. Netto kN/mm <sup>2</sup>	Prof. mm	Sigm.Z/Sigm.Lit. %	Cedim.Edom. mm
129	SLE rare	-0.00007125	630.0	18.709	-29.62
130	SLE rare	-0.00007148	630.0	18.790	-29.73
131	SLE rare	-0.00007845	680.0	18.219	-34.16
132	SLE rare	-0.00007869	680.0	18.290	-34.27
133	SLE rare	-0.00007171	630.0	18.871	-29.84
134	SLE rare	-0.00007629	680.0	17.609	-33.14
135	SLE rare	-0.00007676	680.0	17.752	-33.37
136	SLE rare	-0.00007752	680.0	17.994	-33.76
137	SLE rare	-0.00007775	680.0	18.065	-33.87
138	SLE rare	-0.00008256	680.0	19.416	-36.14
139	SLE rare	-0.00008279	680.0	19.488	-36.25
140	SLE rare	-0.00007100	630.0	18.700	-29.56
141	SLE rare	-0.00007124	630.0	18.781	-29.67
142	SLE rare	-0.00007605	680.0	17.602	-33.08
143	SLE rare	-0.00007628	680.0	17.674	-33.19
144	SLE freq	-0.00007133	630.0	18.713	-29.64
145	SLE freq	-0.00007637	680.0	17.611	-33.16
146	SLE freq	-0.00007142	630.0	18.745	-29.68
147	SLE freq	-0.00007565	680.0	17.408	-32.82
148	SLE freq	-0.00007575	680.0	17.437	-32.87
149	SLE freq	-0.00007125	630.0	18.709	-29.62
150	SLE freq	-0.00007557	680.0	17.406	-32.80
151	SLE q.p.	-0.00007133	630.0	18.713	-29.64
152	SLE q.p.	-0.00007565	680.0	17.408	-32.82

Cedimento massimo in cmb n. 139 = -36.25 mm

**Elemento Platea n. 317**

Cmb. n.	Tipo	Car. Netto kN/mm <sup>2</sup>	Prof. mm	Sigm.Z/Sigm.Lit. %	Cedim.Edom. mm
129	SLE rare	-0.00007038	630.0	19.914	-30.54
130	SLE rare	-0.00007061	680.0	17.260	-31.87
131	SLE rare	-0.00007750	680.0	19.348	-35.27
132	SLE rare	-0.00007774	680.0	19.425	-35.39
133	SLE rare	-0.00007084	680.0	17.337	-31.98
134	SLE rare	-0.00007537	680.0	18.699	-34.22
135	SLE rare	-0.00007583	680.0	18.852	-34.45
136	SLE rare	-0.00007657	680.0	19.107	-34.85
137	SLE rare	-0.00007680	680.0	19.184	-34.97
138	SLE rare	-0.00008156	730.0	17.947	-38.63
139	SLE rare	-0.00008179	730.0	18.015	-38.76
140	SLE rare	-0.00007011	630.0	19.901	-30.47
141	SLE rare	-0.00007034	630.0	19.988	-30.58
142	SLE rare	-0.00007510	680.0	18.689	-34.15
143	SLE rare	-0.00007533	680.0	18.766	-34.27
144	SLE freq	-0.00007047	630.0	19.919	-30.56
145	SLE freq	-0.00007545	680.0	18.702	-34.24
146	SLE freq	-0.00007056	630.0	19.954	-30.60
147	SLE freq	-0.00007474	680.0	18.485	-33.89
148	SLE freq	-0.00007483	680.0	18.516	-33.93
149	SLE freq	-0.00007038	630.0	19.914	-30.54
150	SLE freq	-0.00007465	680.0	18.482	-33.86
151	SLE q.p.	-0.00007047	630.0	19.919	-30.56
152	SLE q.p.	-0.00007474	680.0	18.485	-33.89

Cedimento massimo in cmb n. 139 = -38.76 mm

**Elemento Platea n. 318**

Cmb. n.	Tipo	Car. Netto kN/mm <sup>2</sup>	Prof. mm	Sigm.Z/Sigm.Lit. %	Cedim.Edom. mm
129	SLE rare	-0.00006953	680.0	18.029	-32.31
130	SLE rare	-0.00006976	680.0	18.110	-32.44
131	SLE rare	-0.00007658	730.0	17.636	-37.21
132	SLE rare	-0.00007681	730.0	17.708	-37.34
133	SLE rare	-0.00006999	680.0	18.191	-32.56
134	SLE rare	-0.00007446	680.0	19.625	-34.84
135	SLE rare	-0.00007493	680.0	19.787	-35.08
136	SLE rare	-0.00007565	730.0	17.412	-36.76

137	SLE rare	-0.00007588	730.0	17.484	-36.89
138	SLE rare	-0.00008059	730.0	18.813	-39.39
139	SLE rare	-0.00008082	730.0	18.885	-39.51
140	SLE rare	-0.00006924	680.0	18.016	-32.23
141	SLE rare	-0.00006947	680.0	18.098	-32.36
142	SLE rare	-0.00007418	680.0	19.612	-34.76
143	SLE rare	-0.00007441	680.0	19.694	-34.88
144	SLE freq	-0.00006962	680.0	18.033	-32.34
145	SLE freq	-0.00007456	680.0	19.629	-34.86
146	SLE freq	-0.00006972	680.0	18.066	-32.39
147	SLE freq	-0.00007386	680.0	19.401	-34.50
148	SLE freq	-0.00007395	680.0	19.434	-34.55
149	SLE freq	-0.00006953	680.0	18.029	-32.31
150	SLE freq	-0.00007376	680.0	19.397	-34.48
151	SLE q.p.	-0.00006962	680.0	18.033	-32.34
152	SLE q.p.	-0.00007386	680.0	19.401	-34.50

Cedimento massimo in cmb n. 139 = -39.51 mm

#### Elemento Platea n. 319

Cmb. n.	Tipo	Car. Netto kN/mm <sup>2</sup>	Prof. mm	Sigm.Z/Sigm.Lit. %	Cedim.Edom. mm
129	SLE rare	-0.00006874	680.0	18.715	-32.58
130	SLE rare	-0.00006897	680.0	18.800	-32.71
131	SLE rare	-0.00007572	730.0	18.310	-37.58
132	SLE rare	-0.00007595	730.0	18.386	-37.71
133	SLE rare	-0.00006920	680.0	18.885	-32.84
134	SLE rare	-0.00007362	730.0	17.685	-36.44
135	SLE rare	-0.00007409	730.0	17.835	-36.70
136	SLE rare	-0.00007479	730.0	18.075	-37.12
137	SLE rare	-0.00007502	730.0	18.150	-37.25
138	SLE rare	-0.00007967	730.0	19.535	-39.78
139	SLE rare	-0.00007991	730.0	19.610	-39.91
140	SLE rare	-0.00006843	680.0	18.699	-32.50
141	SLE rare	-0.00006866	680.0	18.784	-32.62
142	SLE rare	-0.00007331	730.0	17.673	-36.35
143	SLE rare	-0.00007355	730.0	17.748	-36.48
144	SLE freq	-0.00006884	680.0	18.720	-32.61
145	SLE freq	-0.00007373	730.0	17.689	-36.47
146	SLE freq	-0.00006893	680.0	18.754	-32.66
147	SLE freq	-0.00007303	730.0	17.480	-36.09
148	SLE freq	-0.00007312	730.0	17.510	-36.14
149	SLE freq	-0.00006874	680.0	18.715	-32.58
150	SLE freq	-0.00007292	730.0	17.476	-36.06
151	SLE q.p.	-0.00006884	680.0	18.720	-32.61
152	SLE q.p.	-0.00007303	730.0	17.480	-36.09

Cedimento massimo in cmb n. 139 = -39.91 mm

#### Elemento Platea n. 320

Cmb. n.	Tipo	Car. Netto kN/mm <sup>2</sup>	Prof. mm	Sigm.Z/Sigm.Lit. %	Cedim.Edom. mm
129	SLE rare	-0.00006750	680.0	19.392	-32.61
130	SLE rare	-0.00006774	680.0	19.482	-32.73
131	SLE rare	-0.00007437	730.0	19.002	-37.67
132	SLE rare	-0.00007461	730.0	19.081	-37.81
133	SLE rare	-0.00006797	680.0	19.572	-32.86
134	SLE rare	-0.00007231	730.0	18.349	-36.52
135	SLE rare	-0.00007278	730.0	18.507	-36.79
136	SLE rare	-0.00007345	730.0	18.754	-37.20
137	SLE rare	-0.00007368	730.0	18.833	-37.34
138	SLE rare	-0.00007825	780.0	17.696	-41.23
139	SLE rare	-0.00007849	780.0	17.766	-41.37
140	SLE rare	-0.00006716	680.0	19.371	-32.50
141	SLE rare	-0.00006740	680.0	19.461	-32.63
142	SLE rare	-0.00007197	730.0	18.333	-36.42
143	SLE rare	-0.00007221	730.0	18.412	-36.55
144	SLE freq	-0.00006762	680.0	19.400	-32.64
145	SLE freq	-0.00007242	730.0	18.354	-36.56
146	SLE freq	-0.00006771	680.0	19.435	-32.69
147	SLE freq	-0.00007174	730.0	18.137	-36.17
148	SLE freq	-0.00007183	730.0	18.168	-36.23
149	SLE freq	-0.00006750	680.0	19.392	-32.61

150	SLE freq	-0.00007162	730.0	18.131	-36.14
151	SLE q.p.	-0.00006762	680.0	19.400	-32.64
152	SLE q.p.	-0.00007174	730.0	18.137	-36.17

Cedimento massimo in cmb n. 139 = -41.37 mm

#### Elemento Platea n. 321

Cmb. n.	Tipo	Car. Netto kN/mm <sup>2</sup>	Prof. mm	Sigm.Z/Sigm.Lit. %	Cedim.Edom. mm
129	SLE rare	-0.00006750	680.0	19.392	-32.61
130	SLE rare	-0.00006774	680.0	19.482	-32.73
131	SLE rare	-0.00007437	730.0	19.002	-37.67
132	SLE rare	-0.00007461	730.0	19.081	-37.81
133	SLE rare	-0.00006797	680.0	19.572	-32.86
134	SLE rare	-0.00007231	730.0	18.349	-36.52
135	SLE rare	-0.00007278	730.0	18.507	-36.79
136	SLE rare	-0.00007345	730.0	18.754	-37.20
137	SLE rare	-0.00007368	730.0	18.833	-37.34
138	SLE rare	-0.00007825	780.0	17.696	-41.23
139	SLE rare	-0.00007849	780.0	17.766	-41.37
140	SLE rare	-0.00006716	680.0	19.371	-32.50
141	SLE rare	-0.00006740	680.0	19.461	-32.63
142	SLE rare	-0.00007197	730.0	18.333	-36.42
143	SLE rare	-0.00007221	730.0	18.412	-36.55
144	SLE freq	-0.00006762	680.0	19.400	-32.64
145	SLE freq	-0.00007242	730.0	18.354	-36.56
146	SLE freq	-0.00006771	680.0	19.435	-32.69
147	SLE freq	-0.00007174	730.0	18.137	-36.17
148	SLE freq	-0.00007183	730.0	18.168	-36.23
149	SLE freq	-0.00006750	680.0	19.392	-32.61
150	SLE freq	-0.00007162	730.0	18.131	-36.14
151	SLE q.p.	-0.00006762	680.0	19.400	-32.64
152	SLE q.p.	-0.00007174	730.0	18.137	-36.17

Cedimento massimo in cmb n. 139 = -41.37 mm

#### Elemento Platea n. 322

Cmb. n.	Tipo	Car. Netto kN/mm <sup>2</sup>	Prof. mm	Sigm.Z/Sigm.Lit. %	Cedim.Edom. mm
129	SLE rare	-0.00006632	680.0	19.793	-32.37
130	SLE rare	-0.00006543	730.0	17.447	-33.38
131	SLE rare	-0.00007308	730.0	19.439	-37.46
132	SLE rare	-0.00007332	730.0	19.521	-37.60
133	SLE rare	-0.00006567	730.0	17.532	-33.52
134	SLE rare	-0.00007105	730.0	18.767	-36.31
135	SLE rare	-0.00007153	730.0	18.932	-36.58
136	SLE rare	-0.00007216	730.0	19.181	-36.98
137	SLE rare	-0.00007240	730.0	19.263	-37.12
138	SLE rare	-0.00007689	780.0	18.121	-41.04
139	SLE rare	-0.00007713	780.0	18.194	-41.19
140	SLE rare	-0.00006595	680.0	19.766	-32.25
141	SLE rare	-0.00006503	730.0	17.422	-33.25
142	SLE rare	-0.00007068	730.0	18.747	-36.19
143	SLE rare	-0.00007092	730.0	18.829	-36.33
144	SLE freq	-0.00006644	680.0	19.802	-32.41
145	SLE freq	-0.00007118	730.0	18.774	-36.35
146	SLE freq	-0.00006654	680.0	19.840	-32.46
147	SLE freq	-0.00007050	730.0	18.551	-35.97
148	SLE freq	-0.00007060	730.0	18.583	-36.02
149	SLE freq	-0.00006632	680.0	19.793	-32.37
150	SLE freq	-0.00007038	730.0	18.544	-35.93
151	SLE q.p.	-0.00006644	680.0	19.802	-32.41
152	SLE q.p.	-0.00007050	730.0	18.551	-35.97

Cedimento massimo in cmb n. 139 = -41.19 mm

#### Elemento Platea n. 323

Cmb. n.	Tipo	Car. Netto kN/mm <sup>2</sup>	Prof. mm	Sigm.Z/Sigm.Lit. %	Cedim.Edom. mm
129	SLE rare	-0.00006519	680.0	19.943	-31.97
130	SLE rare	-0.00006543	730.0	17.447	-33.38
131	SLE rare	-0.00007185	730.0	19.635	-37.05
132	SLE rare	-0.00007209	730.0	19.719	-37.19
133	SLE rare	-0.00006567	730.0	17.532	-33.52

134	SLE rare	-0.00006985	730.0	18.953	-35.91
135	SLE rare	-0.00007033	730.0	19.122	-36.19
136	SLE rare	-0.00007093	730.0	19.370	-36.57
137	SLE rare	-0.00007117	730.0	19.455	-36.71
138	SLE rare	-0.00007559	780.0	18.328	-40.63
139	SLE rare	-0.00007583	780.0	18.403	-40.77
140	SLE rare	-0.00006479	680.0	19.910	-31.84
141	SLE rare	-0.00006503	730.0	17.422	-33.25
142	SLE rare	-0.00006945	730.0	18.928	-35.78
143	SLE rare	-0.00006969	730.0	19.012	-35.92
144	SLE freq	-0.00006533	680.0	19.954	-32.02
145	SLE freq	-0.00006999	730.0	18.962	-35.95
146	SLE freq	-0.00006542	680.0	19.993	-32.07
147	SLE freq	-0.00006932	730.0	18.734	-35.57
148	SLE freq	-0.00006942	730.0	18.768	-35.63
149	SLE freq	-0.00006519	680.0	19.943	-31.97
150	SLE freq	-0.00006919	730.0	18.726	-35.53
151	SLE q.p.	-0.00006533	680.0	19.954	-32.02
152	SLE q.p.	-0.00006932	730.0	18.734	-35.57

Cedimento massimo in cmb n. 139 = -40.77 mm

#### Elemento Platea n. 324

Cmb. n.	Tipo	Car. Netto kN/mm <sup>2</sup>	Prof. mm	Sigm.Z/Sigm.Lit. %	Cedim.Edom. mm
129	SLE rare	-0.00006412	680.0	19.869	-31.48
130	SLE rare	-0.00006436	680.0	19.967	-31.62
131	SLE rare	-0.00007068	730.0	19.606	-36.52
132	SLE rare	-0.00007092	730.0	19.692	-36.66
133	SLE rare	-0.00006460	730.0	17.498	-33.03
134	SLE rare	-0.00006872	730.0	18.922	-35.39
135	SLE rare	-0.00006919	730.0	19.094	-35.67
136	SLE rare	-0.00006977	730.0	19.338	-36.04
137	SLE rare	-0.00007001	730.0	19.424	-36.18
138	SLE rare	-0.00007436	780.0	18.327	-40.07
139	SLE rare	-0.00007460	780.0	18.403	-40.21
140	SLE rare	-0.00006370	680.0	19.830	-31.34
141	SLE rare	-0.00006393	680.0	19.927	-31.47
142	SLE rare	-0.00006829	730.0	18.892	-35.24
143	SLE rare	-0.00006853	730.0	18.977	-35.38
144	SLE freq	-0.00006427	680.0	19.883	-31.53
145	SLE freq	-0.00006886	730.0	18.932	-35.44
146	SLE freq	-0.00006436	680.0	19.921	-31.58
147	SLE freq	-0.00006820	730.0	18.704	-35.06
148	SLE freq	-0.00006830	730.0	18.739	-35.12
149	SLE freq	-0.00006412	680.0	19.869	-31.48
150	SLE freq	-0.00006806	730.0	18.694	-35.01
151	SLE q.p.	-0.00006427	680.0	19.883	-31.53
152	SLE q.p.	-0.00006820	730.0	18.704	-35.06

Cedimento massimo in cmb n. 139 = -40.21 mm

#### Elemento Platea n. 325

Cmb. n.	Tipo	Car. Netto kN/mm <sup>2</sup>	Prof. mm	Sigm.Z/Sigm.Lit. %	Cedim.Edom. mm
129	SLE rare	-0.00006312	680.0	19.592	-30.93
130	SLE rare	-0.00006336	680.0	19.690	-31.06
131	SLE rare	-0.00006958	730.0	19.367	-35.90
132	SLE rare	-0.00006982	730.0	19.453	-36.04
133	SLE rare	-0.00006360	680.0	19.787	-31.20
134	SLE rare	-0.00006765	730.0	18.689	-34.78
135	SLE rare	-0.00006813	730.0	18.861	-35.06
136	SLE rare	-0.00006867	730.0	19.099	-35.42
137	SLE rare	-0.00006891	730.0	19.185	-35.56
138	SLE rare	-0.00007320	780.0	18.128	-39.39
139	SLE rare	-0.00007344	780.0	18.204	-39.54
140	SLE rare	-0.00006266	680.0	19.547	-30.77
141	SLE rare	-0.00006290	680.0	19.644	-30.91
142	SLE rare	-0.00006719	730.0	18.654	-34.62
143	SLE rare	-0.00006743	730.0	18.740	-34.76
144	SLE freq	-0.00006327	680.0	19.607	-30.98
145	SLE freq	-0.00006780	730.0	18.700	-34.83
146	SLE freq	-0.00006337	680.0	19.646	-31.04



147	SLE freq	-0.00006715	730.0	18.474	-34.46
148	SLE freq	-0.00006725	730.0	18.509	-34.52
149	SLE freq	-0.00006312	680.0	19.592	-30.93
150	SLE freq	-0.00006700	730.0	18.463	-34.41
151	SLE q.p.	-0.00006327	680.0	19.607	-30.98
152	SLE q.p.	-0.00006715	730.0	18.474	-34.46

Cedimento massimo in cmb n. 139 = -39.54 mm

#### Elemento Platea n. 326

Cmb. n.	Tipo	Car. Netto kN/mm <sup>2</sup>	Prof. mm	Sigm.Z/Sigm.Lit. %	Cedim.Edom. mm
129	SLE rare	-0.00006221	680.0	19.123	-30.32
130	SLE rare	-0.00006245	680.0	19.220	-30.46
131	SLE rare	-0.00006858	730.0	18.929	-35.19
132	SLE rare	-0.00006882	730.0	19.015	-35.33
133	SLE rare	-0.00006269	680.0	19.317	-30.59
134	SLE rare	-0.00006667	730.0	18.264	-34.10
135	SLE rare	-0.00006715	730.0	18.434	-34.38
136	SLE rare	-0.00006768	730.0	18.664	-34.72
137	SLE rare	-0.00006792	730.0	18.750	-34.86
138	SLE rare	-0.00007214	780.0	17.739	-38.62
139	SLE rare	-0.00007238	780.0	17.815	-38.76
140	SLE rare	-0.00006172	680.0	19.072	-30.15
141	SLE rare	-0.00006196	680.0	19.169	-30.29
142	SLE rare	-0.00006618	730.0	18.224	-33.92
143	SLE rare	-0.00006642	730.0	18.310	-34.06
144	SLE freq	-0.00006237	680.0	19.140	-30.38
145	SLE freq	-0.00006683	730.0	18.277	-34.16
146	SLE freq	-0.00006246	680.0	19.179	-30.43
147	SLE freq	-0.00006619	730.0	18.055	-33.79
148	SLE freq	-0.00006629	730.0	18.089	-33.85
149	SLE freq	-0.00006221	680.0	19.123	-30.32
150	SLE freq	-0.00006603	730.0	18.042	-33.73
151	SLE q.p.	-0.00006237	680.0	19.140	-30.38
152	SLE q.p.	-0.00006619	730.0	18.055	-33.79

Cedimento massimo in cmb n. 139 = -38.76 mm

#### Elemento Platea n. 327

Cmb. n.	Tipo	Car. Netto kN/mm <sup>2</sup>	Prof. mm	Sigm.Z/Sigm.Lit. %	Cedim.Edom. mm
129	SLE rare	-0.00006107	680.0	18.391	-29.56
130	SLE rare	-0.00006131	680.0	18.486	-29.70
131	SLE rare	-0.00006733	730.0	18.226	-34.30
132	SLE rare	-0.00006757	730.0	18.309	-34.44
133	SLE rare	-0.00006155	680.0	18.581	-29.83
134	SLE rare	-0.00006545	730.0	17.582	-33.23
135	SLE rare	-0.00006593	730.0	17.750	-33.51
136	SLE rare	-0.00006644	730.0	17.968	-33.83
137	SLE rare	-0.00006668	730.0	18.052	-33.97
138	SLE rare	-0.00007082	730.0	19.469	-36.32
139	SLE rare	-0.00007107	730.0	19.553	-36.46
140	SLE rare	-0.00006055	680.0	18.335	-29.38
141	SLE rare	-0.00006079	680.0	18.430	-29.51
142	SLE rare	-0.00006493	730.0	17.539	-33.04
143	SLE rare	-0.00006517	730.0	17.623	-33.18
144	SLE freq	-0.00006124	680.0	18.410	-29.63
145	SLE freq	-0.00006562	730.0	17.597	-33.29
146	SLE freq	-0.00006134	680.0	18.448	-29.68
147	SLE freq	-0.00006500	680.0	19.865	-31.67
148	SLE freq	-0.00006509	680.0	19.903	-31.72
149	SLE freq	-0.00006107	680.0	18.391	-29.56
150	SLE freq	-0.00006482	680.0	19.846	-31.61
151	SLE q.p.	-0.00006124	680.0	18.410	-29.63
152	SLE q.p.	-0.00006500	680.0	19.865	-31.67

Cedimento massimo in cmb n. 139 = -36.46 mm

#### Elemento Platea n. 328

Cmb. n.	Tipo	Car. Netto kN/mm <sup>2</sup>	Prof. mm	Sigm.Z/Sigm.Lit. %	Cedim.Edom. mm
129	SLE rare	-0.00006001	630.0	19.985	-27.44
130	SLE rare	-0.00006026	680.0	17.517	-28.79

131	SLE rare	-0.00006616	680.0	19.731	-31.96
132	SLE rare	-0.00006640	680.0	19.822	-32.09
133	SLE rare	-0.00006050	680.0	17.608	-28.92
134	SLE rare	-0.00006432	680.0	19.040	-30.97
135	SLE rare	-0.00006480	680.0	19.222	-31.23
136	SLE rare	-0.00006530	680.0	19.451	-31.53
137	SLE rare	-0.00006554	680.0	19.542	-31.66
138	SLE rare	-0.00006960	730.0	18.475	-35.18
139	SLE rare	-0.00006984	730.0	18.555	-35.32
140	SLE rare	-0.00005946	630.0	19.909	-27.24
141	SLE rare	-0.00005970	680.0	17.458	-28.59
142	SLE rare	-0.00006376	680.0	18.980	-30.77
143	SLE rare	-0.00006400	680.0	19.072	-30.90
144	SLE freq	-0.00006020	680.0	17.446	-28.73
145	SLE freq	-0.00006450	680.0	19.059	-31.03
146	SLE freq	-0.00006030	680.0	17.482	-28.78
147	SLE freq	-0.00006389	680.0	18.829	-30.70
148	SLE freq	-0.00006398	680.0	18.865	-30.76
149	SLE freq	-0.00006001	630.0	19.985	-27.44
150	SLE freq	-0.00006370	680.0	18.809	-30.64
151	SLE q.p.	-0.00006020	680.0	17.446	-28.73
152	SLE q.p.	-0.00006389	680.0	18.829	-30.70

Cedimento massimo in cmb n. 139 = -35.32 mm

### Elemento Platea n. 329

Cmb. n.	Tipo	Car. Netto kN/mm <sup>2</sup>	Prof. mm	Sigm.Z/Sigm.Lit. %	Cedim.Edom. mm
129	SLE rare	-0.00005904	630.0	18.585	-26.37
130	SLE rare	-0.00005928	630.0	18.682	-26.49
131	SLE rare	-0.00006507	680.0	18.374	-30.66
132	SLE rare	-0.00006532	680.0	18.460	-30.79
133	SLE rare	-0.00005953	630.0	18.780	-26.61
134	SLE rare	-0.00006326	680.0	17.729	-29.71
135	SLE rare	-0.00006375	680.0	17.901	-29.97
136	SLE rare	-0.00006424	680.0	18.112	-30.25
137	SLE rare	-0.00006448	680.0	18.198	-30.38
138	SLE rare	-0.00006846	680.0	19.618	-32.46
139	SLE rare	-0.00006871	680.0	19.704	-32.59
140	SLE rare	-0.00005845	630.0	18.507	-26.16
141	SLE rare	-0.00005869	630.0	18.604	-26.28
142	SLE rare	-0.00006267	680.0	17.668	-29.51
143	SLE rare	-0.00006292	680.0	17.754	-29.63
144	SLE freq	-0.00005923	630.0	18.611	-26.43
145	SLE freq	-0.00006346	680.0	17.749	-29.78
146	SLE freq	-0.00005933	630.0	18.650	-26.48
147	SLE freq	-0.00006286	680.0	17.534	-29.47
148	SLE freq	-0.00006295	680.0	17.568	-29.52
149	SLE freq	-0.00005904	630.0	18.585	-26.37
150	SLE freq	-0.00006266	680.0	17.514	-29.40
151	SLE q.p.	-0.00005923	630.0	18.611	-26.43
152	SLE q.p.	-0.00006286	680.0	17.534	-29.47

Cedimento massimo in cmb n. 139 = -32.59 mm

### Elemento Platea n. 330

Cmb. n.	Tipo	Car. Netto kN/mm <sup>2</sup>	Prof. mm	Sigm.Z/Sigm.Lit. %	Cedim.Edom. mm
129	SLE rare	-0.00005814	580.0	19.394	-23.73
130	SLE rare	-0.00005839	580.0	19.496	-23.84
131	SLE rare	-0.00006407	630.0	19.092	-27.69
132	SLE rare	-0.00006432	630.0	19.182	-27.81
133	SLE rare	-0.00005864	580.0	19.598	-23.95
134	SLE rare	-0.00006229	630.0	18.429	-26.84
135	SLE rare	-0.00006279	630.0	18.608	-27.08
136	SLE rare	-0.00006326	630.0	18.821	-27.32
137	SLE rare	-0.00006351	630.0	18.911	-27.44
138	SLE rare	-0.00006742	680.0	17.892	-30.55
139	SLE rare	-0.00006766	680.0	17.972	-30.68
140	SLE rare	-0.00005752	580.0	19.295	-23.52
141	SLE rare	-0.00005776	580.0	19.397	-23.64
142	SLE rare	-0.00006167	630.0	18.352	-26.63
143	SLE rare	-0.00006192	630.0	18.442	-26.75

144	SLE freq	-0.00005835	580.0	19.427	-23.80
145	SLE freq	-0.00006250	630.0	18.454	-26.91
146	SLE freq	-0.00005845	580.0	19.468	-23.84
147	SLE freq	-0.00006191	630.0	18.233	-26.63
148	SLE freq	-0.00006201	630.0	18.269	-26.68
149	SLE freq	-0.00005814	580.0	19.394	-23.73
150	SLE freq	-0.00006170	630.0	18.208	-26.56
151	SLE q.p.	-0.00005835	580.0	19.427	-23.80
152	SLE q.p.	-0.00006191	630.0	18.233	-26.63

Cedimento massimo in cmb n. 139 = -30.68 mm

**Elemento Platea n. 331**

Cmb. n.	Tipo	Car. Netto kN/mm <sup>2</sup>	Prof. mm	Sigm.Z/Sigm.Lit. %	Cedim.Edom. mm
129	SLE rare	-0.00005733	560.0	17.935	-20.73
130	SLE rare	-0.00005758	560.0	18.029	-20.83
131	SLE rare	-0.00006317	580.0	19.175	-23.92
132	SLE rare	-0.00006342	580.0	19.265	-24.02
133	SLE rare	-0.00005783	560.0	18.124	-20.93
134	SLE rare	-0.00006141	560.0	19.540	-22.36
135	SLE rare	-0.00006191	560.0	19.729	-22.55
136	SLE rare	-0.00006238	560.0	19.945	-22.75
137	SLE rare	-0.00006263	580.0	18.996	-23.71
138	SLE rare	-0.00006647	630.0	17.993	-26.50
139	SLE rare	-0.00006672	630.0	18.073	-26.61
140	SLE rare	-0.00005667	560.0	17.833	-20.54
141	SLE rare	-0.00005692	560.0	17.928	-20.64
142	SLE rare	-0.00006075	560.0	19.439	-22.16
143	SLE rare	-0.00006100	560.0	19.533	-22.26
144	SLE freq	-0.00005755	560.0	17.968	-20.80
145	SLE freq	-0.00006163	560.0	19.574	-22.42
146	SLE freq	-0.00005765	560.0	18.006	-20.84
147	SLE freq	-0.00006105	560.0	19.345	-22.19
148	SLE freq	-0.00006115	560.0	19.382	-22.23
149	SLE freq	-0.00005733	560.0	17.935	-20.73
150	SLE freq	-0.00006083	560.0	19.311	-22.12
151	SLE q.p.	-0.00005755	560.0	17.968	-20.80
152	SLE q.p.	-0.00006105	560.0	19.345	-22.19

Cedimento massimo in cmb n. 139 = -26.61 mm

**Elemento Platea n. 332**

Cmb. n.	Tipo	Car. Netto kN/mm <sup>2</sup>	Prof. mm	Sigm.Z/Sigm.Lit. %	Cedim.Edom. mm
129	SLE rare	-0.00003089	410.0	18.974	-6.92
130	SLE rare	-0.00003113	410.0	19.100	-6.97
131	SLE rare	-0.00003752	510.0	19.519	-11.68
132	SLE rare	-0.00003776	510.0	19.622	-11.75
133	SLE rare	-0.00003138	410.0	19.226	-7.02
134	SLE rare	-0.00003553	450.0	19.583	-8.92
135	SLE rare	-0.00003602	450.0	19.808	-9.03
136	SLE rare	-0.00003722	510.0	19.252	-11.55
137	SLE rare	-0.00003747	510.0	19.355	-11.62
138	SLE rare	-0.00004187	560.0	19.705	-15.05
139	SLE rare	-0.00004211	560.0	19.799	-15.14
140	SLE rare	-0.00003146	410.0	19.143	-7.02
141	SLE rare	-0.00003170	410.0	19.269	-7.07
142	SLE rare	-0.00003610	450.0	19.717	-9.03
143	SLE rare	-0.00003635	450.0	19.829	-9.09
144	SLE freq	-0.00003070	410.0	18.918	-6.88
145	SLE freq	-0.00003534	450.0	19.539	-8.88
146	SLE freq	-0.00003080	410.0	18.968	-6.90
147	SLE freq	-0.00003468	435.0	19.854	-8.35
148	SLE freq	-0.00003477	435.0	19.901	-8.37
149	SLE freq	-0.00003089	410.0	18.974	-6.92
150	SLE freq	-0.00003487	435.0	19.903	-8.38
151	SLE q.p.	-0.00003070	410.0	18.918	-6.88
152	SLE q.p.	-0.00003468	435.0	19.854	-8.35

Cedimento massimo in cmb n. 139 = -15.14 mm

**Elemento Platea n. 333**

Cmb.	Tipo	Car. Netto	Prof.	Sigm.Z/Sigm.Lit.	Cedim.Edom.
------	------	------------	-------	------------------	-------------

n.		kN/mm <sup>2</sup>	mm	%	mm
129	SLE rare	-0.00003379	560.0	19.604	-15.97
130	SLE rare	-0.00003403	560.0	19.718	-16.08
131	SLE rare	-0.00004033	630.0	19.471	-21.10
132	SLE rare	-0.00004057	630.0	19.567	-21.21
133	SLE rare	-0.00003427	560.0	19.832	-16.18
134	SLE rare	-0.00003837	630.0	18.686	-20.15
135	SLE rare	-0.00003885	630.0	18.879	-20.38
136	SLE rare	-0.00003998	630.0	19.205	-20.85
137	SLE rare	-0.00004022	630.0	19.301	-20.96
138	SLE rare	-0.00004456	680.0	18.768	-24.36
139	SLE rare	-0.00004480	680.0	18.853	-24.48
140	SLE rare	-0.00003426	560.0	19.696	-16.12
141	SLE rare	-0.00003450	560.0	19.810	-16.23
142	SLE rare	-0.00003883	630.0	18.751	-20.31
143	SLE rare	-0.00003907	630.0	18.847	-20.42
144	SLE freq	-0.00003364	560.0	19.573	-15.92
145	SLE freq	-0.00003821	630.0	18.665	-20.09
146	SLE freq	-0.00003374	560.0	19.619	-15.96
147	SLE freq	-0.00003756	630.0	18.403	-19.78
148	SLE freq	-0.00003766	630.0	18.442	-19.82
149	SLE freq	-0.00003379	560.0	19.604	-15.97
150	SLE freq	-0.00003771	630.0	18.425	-19.83
151	SLE q.p.	-0.00003364	560.0	19.573	-15.92
152	SLE q.p.	-0.00003756	630.0	18.403	-19.78

Cedimento massimo in cmb n. 139 = -24.48 mm

**Elemento Platea n. 334**

Cmb. n.	Tipo	Car. Netto kN/mm <sup>2</sup>	Prof. mm	Sigm.Z/Sigm.Lit. %	Cedim.Edom. mm
129	SLE rare	-0.00003684	630.0	19.762	-22.42
130	SLE rare	-0.00003707	630.0	19.870	-22.55
131	SLE rare	-0.00004330	680.0	19.932	-27.49
132	SLE rare	-0.00004353	730.0	17.587	-28.91
133	SLE rare	-0.00003731	630.0	19.979	-22.69
134	SLE rare	-0.00004136	680.0	19.156	-26.33
135	SLE rare	-0.00004183	680.0	19.346	-26.61
136	SLE rare	-0.00004290	680.0	19.663	-27.16
137	SLE rare	-0.00004313	680.0	19.758	-27.30
138	SLE rare	-0.00004742	730.0	18.847	-31.24
139	SLE rare	-0.00004765	730.0	18.931	-31.38
140	SLE rare	-0.00003720	630.0	19.824	-22.57
141	SLE rare	-0.00003744	630.0	19.933	-22.70
142	SLE rare	-0.00004173	680.0	19.204	-26.49
143	SLE rare	-0.00004196	680.0	19.299	-26.63
144	SLE freq	-0.00003672	630.0	19.741	-22.37
145	SLE freq	-0.00004124	680.0	19.140	-26.28
146	SLE freq	-0.00003681	630.0	19.784	-22.42
147	SLE freq	-0.00004060	680.0	18.881	-25.90
148	SLE freq	-0.00004069	680.0	18.919	-25.95
149	SLE freq	-0.00003684	630.0	19.762	-22.42
150	SLE freq	-0.00004072	680.0	18.897	-25.95
151	SLE q.p.	-0.00003672	630.0	19.741	-22.37
152	SLE q.p.	-0.00004060	680.0	18.881	-25.90

Cedimento massimo in cmb n. 139 = -31.38 mm

**Elemento Platea n. 335**

Cmb. n.	Tipo	Car. Netto kN/mm <sup>2</sup>	Prof. mm	Sigm.Z/Sigm.Lit. %	Cedim.Edom. mm
129	SLE rare	-0.00001822	360.0	18.289	-4.80
130	SLE rare	-0.00001846	360.0	18.471	-4.86
131	SLE rare	-0.00002357	410.0	18.644	-7.21
132	SLE rare	-0.00002381	410.0	18.787	-7.27
133	SLE rare	-0.00001870	360.0	18.653	-4.91
134	SLE rare	-0.00002196	385.0	19.251	-6.23
135	SLE rare	-0.00002245	385.0	19.571	-6.36
136	SLE rare	-0.00002311	385.0	19.960	-6.52
137	SLE rare	-0.00002335	410.0	18.432	-7.13
138	SLE rare	-0.00002685	435.0	18.963	-8.71
139	SLE rare	-0.00002709	435.0	19.091	-8.78
140	SLE rare	-0.00001856	360.0	18.444	-4.87

141	SLE rare	-0.00001881	360.0	18.627	-4.93
142	SLE rare	-0.00002231	385.0	19.376	-6.31
143	SLE rare	-0.00002255	385.0	19.536	-6.37
144	SLE freq	-0.00001810	360.0	18.237	-4.78
145	SLE freq	-0.00002185	385.0	19.209	-6.21
146	SLE freq	-0.00001820	360.0	18.310	-4.80
147	SLE freq	-0.00002131	385.0	18.842	-6.07
148	SLE freq	-0.00002141	385.0	18.906	-6.10
149	SLE freq	-0.00001822	360.0	18.289	-4.80
150	SLE freq	-0.00002143	385.0	18.884	-6.10
151	SLE q.p.	-0.00001810	360.0	18.237	-4.78
152	SLE q.p.	-0.00002131	385.0	18.842	-6.07

Cedimento massimo in cmb n. 139 = -8.78 mm

**Elemento Platea n. 336**

Cmb. n.	Tipo	Car. Netto kN/mm <sup>2</sup>	Prof. mm	Sigm.Z/Sigm.Lit. %	Cedim.Edom. mm
129	SLE rare	-0.00001722	385.0	19.152	-5.47
130	SLE rare	-0.00001746	385.0	19.337	-5.53
131	SLE rare	-0.00002257	435.0	19.848	-8.21
132	SLE rare	-0.00002280	435.0	19.995	-8.29
133	SLE rare	-0.00001770	385.0	19.521	-5.60
134	SLE rare	-0.00002096	435.0	18.818	-7.71
135	SLE rare	-0.00002144	435.0	19.111	-7.85
136	SLE rare	-0.00002199	435.0	19.454	-8.03
137	SLE rare	-0.00002223	435.0	19.601	-8.10
138	SLE rare	-0.00002573	510.0	19.193	-11.92
139	SLE rare	-0.00002597	510.0	19.314	-12.01
140	SLE rare	-0.00001759	385.0	19.310	-5.55
141	SLE rare	-0.00001783	385.0	19.494	-5.61
142	SLE rare	-0.00002133	435.0	18.923	-7.80
143	SLE rare	-0.00002157	435.0	19.070	-7.87
144	SLE freq	-0.00001710	385.0	19.100	-5.44
145	SLE freq	-0.00002084	435.0	18.783	-7.68
146	SLE freq	-0.00001720	385.0	19.174	-5.47
147	SLE freq	-0.00002031	410.0	19.932	-6.92
148	SLE freq	-0.00002040	410.0	19.998	-6.95
149	SLE freq	-0.00001722	385.0	19.152	-5.47
150	SLE freq	-0.00002043	410.0	19.975	-6.95
151	SLE q.p.	-0.00001710	385.0	19.100	-5.44
152	SLE q.p.	-0.00002031	410.0	19.932	-6.92

Cedimento massimo in cmb n. 139 = -12.01 mm

**Elemento Platea n. 337**

Cmb. n.	Tipo	Car. Netto kN/mm <sup>2</sup>	Prof. mm	Sigm.Z/Sigm.Lit. %	Cedim.Edom. mm
129	SLE rare	-0.00001601	510.0	15.007	-7.31
130	SLE rare	-0.00001625	510.0	15.131	-7.39
131	SLE rare	-0.00002231	510.0	19.261	-11.14
132	SLE rare	-0.00002254	510.0	19.392	-11.24
133	SLE rare	-0.00001735	410.0	19.546	-6.25
134	SLE rare	-0.00002068	450.0	19.721	-8.30
135	SLE rare	-0.00002115	460.0	19.765	-8.72
136	SLE rare	-0.00002161	510.0	18.888	-10.87
137	SLE rare	-0.00002185	510.0	19.019	-10.96
138	SLE rare	-0.00002541	560.0	19.237	-14.57
139	SLE rare	-0.00002564	560.0	19.352	-14.68
140	SLE rare	-0.00001726	410.0	19.343	-6.20
141	SLE rare	-0.00001750	410.0	19.519	-6.27
142	SLE rare	-0.00002106	450.0	19.832	-8.40
143	SLE rare	-0.00002130	450.0	19.982	-8.48
144	SLE freq	-0.00001587	510.0	14.981	-7.28
145	SLE freq	-0.00002055	450.0	19.683	-8.27
146	SLE freq	-0.00001597	510.0	15.030	-7.31
147	SLE freq	-0.00002001	450.0	19.327	-8.08
148	SLE freq	-0.00002010	450.0	19.387	-8.12
149	SLE freq	-0.00001601	510.0	15.007	-7.31
150	SLE freq	-0.00002014	450.0	19.364	-8.12
151	SLE q.p.	-0.00001587	510.0	14.981	-7.28
152	SLE q.p.	-0.00002001	450.0	19.327	-8.08

Cedimento massimo in cmb n. 139 = -14.68 mm

**Elemento Platea n. 338**

Cmb. n.	Tipo	Car. Netto kN/mm <sup>2</sup>	Prof. mm	Sigm.Z/Sigm.Lit. %	Cedim.Edom. mm
129	SLE rare	-0.00001668	510.0	16.041	-7.63
130	SLE rare	-0.00001692	510.0	16.171	-7.71
131	SLE rare	-0.00002302	560.0	18.873	-13.68
132	SLE rare	-0.00002326	560.0	18.995	-13.80
133	SLE rare	-0.00001716	510.0	16.301	-7.79
134	SLE rare	-0.00002134	510.0	19.570	-10.89
135	SLE rare	-0.00002181	510.0	19.846	-11.09
136	SLE rare	-0.00002220	560.0	18.520	-13.34
137	SLE rare	-0.00002244	560.0	18.642	-13.45
138	SLE rare	-0.00002613	580.0	19.844	-16.08
139	SLE rare	-0.00002636	580.0	19.960	-16.20
140	SLE rare	-0.00001711	510.0	16.134	-7.73
141	SLE rare	-0.00001735	510.0	16.264	-7.80
142	SLE rare	-0.00002173	510.0	19.664	-11.01
143	SLE rare	-0.00002197	510.0	19.802	-11.11
144	SLE freq	-0.00001654	510.0	16.010	-7.60
145	SLE freq	-0.00002121	510.0	19.538	-10.85
146	SLE freq	-0.00001664	510.0	16.062	-7.63
147	SLE freq	-0.00002065	510.0	19.202	-10.62
148	SLE freq	-0.00002074	510.0	19.258	-10.66
149	SLE freq	-0.00001668	510.0	16.041	-7.63
150	SLE freq	-0.00002078	510.0	19.234	-10.66
151	SLE q.p.	-0.00001654	510.0	16.010	-7.60
152	SLE q.p.	-0.00002065	510.0	19.202	-10.62

Cedimento massimo in cmb n. 139 = -16.20 mm

**Elemento Platea n. 339**

Cmb. n.	Tipo	Car. Netto kN/mm <sup>2</sup>	Prof. mm	Sigm.Z/Sigm.Lit. %	Cedim.Edom. mm
129	SLE rare	-0.00001818	510.0	16.836	-7.98
130	SLE rare	-0.00001842	510.0	16.970	-8.06
131	SLE rare	-0.00002460	560.0	19.828	-14.29
132	SLE rare	-0.00002485	560.0	19.953	-14.41
133	SLE rare	-0.00001867	510.0	17.104	-8.14
134	SLE rare	-0.00002284	560.0	18.897	-13.47
135	SLE rare	-0.00002333	560.0	19.148	-13.69
136	SLE rare	-0.00002368	560.0	19.459	-13.92
137	SLE rare	-0.00002392	560.0	19.584	-14.03
138	SLE rare	-0.00002778	630.0	18.941	-18.02
139	SLE rare	-0.00002803	630.0	19.046	-18.15
140	SLE rare	-0.00001861	510.0	16.940	-8.08
141	SLE rare	-0.00001886	510.0	17.074	-8.16
142	SLE rare	-0.00002325	560.0	18.978	-13.60
143	SLE rare	-0.00002349	560.0	19.103	-13.72
144	SLE freq	-0.00001803	510.0	16.802	-7.95
145	SLE freq	-0.00002271	560.0	18.870	-13.42
146	SLE freq	-0.00001813	510.0	16.855	-7.98
147	SLE freq	-0.00002212	560.0	18.560	-13.15
148	SLE freq	-0.00002222	560.0	18.610	-13.19
149	SLE freq	-0.00001818	510.0	16.836	-7.98
150	SLE freq	-0.00002226	560.0	18.587	-13.19
151	SLE q.p.	-0.00001803	510.0	16.802	-7.95
152	SLE q.p.	-0.00002212	560.0	18.560	-13.15

Cedimento massimo in cmb n. 139 = -18.15 mm

**Elemento Platea n. 340**

Cmb. n.	Tipo	Car. Netto kN/mm <sup>2</sup>	Prof. mm	Sigm.Z/Sigm.Lit. %	Cedim.Edom. mm
129	SLE rare	-0.00001983	510.0	17.444	-8.33
130	SLE rare	-0.00002008	510.0	17.579	-8.41
131	SLE rare	-0.00002660	580.0	19.797	-15.75
132	SLE rare	-0.00002685	580.0	19.918	-15.87
133	SLE rare	-0.00002033	510.0	17.714	-8.49
134	SLE rare	-0.00002476	560.0	19.563	-14.02
135	SLE rare	-0.00002526	560.0	19.816	-14.24
136	SLE rare	-0.00002562	580.0	19.443	-15.35
137	SLE rare	-0.00002587	580.0	19.563	-15.47

138	SLE rare	-0.00002990	630.0	19.591	-18.71
139	SLE rare	-0.00003015	630.0	19.697	-18.83
140	SLE rare	-0.00002028	510.0	17.558	-8.44
141	SLE rare	-0.00002053	510.0	17.693	-8.52
142	SLE rare	-0.00002519	560.0	19.652	-14.16
143	SLE rare	-0.00002544	560.0	19.779	-14.27
144	SLE freq	-0.00001968	510.0	17.406	-8.29
145	SLE freq	-0.00002462	560.0	19.533	-13.97
146	SLE freq	-0.00001978	510.0	17.460	-8.33
147	SLE freq	-0.00002401	560.0	19.214	-13.69
148	SLE freq	-0.00002411	560.0	19.265	-13.73
149	SLE freq	-0.00001983	510.0	17.444	-8.33
150	SLE freq	-0.00002415	560.0	19.244	-13.74
151	SLE q.p.	-0.00001968	510.0	17.406	-8.29
152	SLE q.p.	-0.00002401	560.0	19.214	-13.69

Cedimento massimo in cmb n. 139 = -18.83 mm

#### Elemento Platea n. 341

Cmb. n.	Tipo	Car. Netto kN/mm <sup>2</sup>	Prof. mm	Sigm.Z/Sigm.Lit. %	Cedim.Edom. mm
129	SLE rare	-0.00002033	510.0	19.151	-10.40
130	SLE rare	-0.00002057	510.0	19.294	-10.49
131	SLE rare	-0.00002634	630.0	18.354	-17.30
132	SLE rare	-0.00002658	630.0	18.460	-17.42
133	SLE rare	-0.00002081	510.0	19.437	-10.59
134	SLE rare	-0.00002454	560.0	19.954	-14.34
135	SLE rare	-0.00002502	580.0	19.498	-15.44
136	SLE rare	-0.00002546	580.0	19.825	-15.71
137	SLE rare	-0.00002570	580.0	19.945	-15.83
138	SLE rare	-0.00002967	630.0	19.942	-19.10
139	SLE rare	-0.00002991	680.0	18.113	-20.48
140	SLE rare	-0.00002077	510.0	19.276	-10.54
141	SLE rare	-0.00002101	510.0	19.419	-10.63
142	SLE rare	-0.00002497	580.0	19.344	-15.35
143	SLE rare	-0.00002522	580.0	19.464	-15.47
144	SLE freq	-0.00002018	510.0	19.110	-10.35
145	SLE freq	-0.00002439	560.0	19.922	-14.29
146	SLE freq	-0.00002028	510.0	19.167	-10.39
147	SLE freq	-0.00002379	560.0	19.601	-14.01
148	SLE freq	-0.00002389	560.0	19.652	-14.05
149	SLE freq	-0.00002033	510.0	19.151	-10.40
150	SLE freq	-0.00002394	560.0	19.633	-14.06
151	SLE q.p.	-0.00002018	510.0	19.110	-10.35
152	SLE q.p.	-0.00002379	560.0	19.601	-14.01

Cedimento massimo in cmb n. 139 = -20.48 mm

#### Elemento Platea n. 342

Cmb. n.	Tipo	Car. Netto kN/mm <sup>2</sup>	Prof. mm	Sigm.Z/Sigm.Lit. %	Cedim.Edom. mm
129	SLE rare	-0.00002087	510.0	19.389	-10.70
130	SLE rare	-0.00002111	510.0	19.529	-10.79
131	SLE rare	-0.00002684	630.0	18.459	-17.63
132	SLE rare	-0.00002707	630.0	18.563	-17.75
133	SLE rare	-0.00002135	510.0	19.669	-10.89
134	SLE rare	-0.00002505	580.0	19.399	-15.52
135	SLE rare	-0.00002552	580.0	19.635	-15.76
136	SLE rare	-0.00002608	580.0	19.972	-16.07
137	SLE rare	-0.00002631	630.0	18.262	-17.38
138	SLE rare	-0.00003025	680.0	18.104	-20.71
139	SLE rare	-0.00003049	680.0	18.196	-20.84
140	SLE rare	-0.00002133	510.0	19.519	-10.84
141	SLE rare	-0.00002157	510.0	19.659	-10.94
142	SLE rare	-0.00002550	580.0	19.489	-15.69
143	SLE rare	-0.00002574	580.0	19.607	-15.80
144	SLE freq	-0.00002072	510.0	19.346	-10.65
145	SLE freq	-0.00002490	580.0	19.369	-15.47
146	SLE freq	-0.00002082	510.0	19.402	-10.69
147	SLE freq	-0.00002430	560.0	19.760	-14.32
148	SLE freq	-0.00002439	560.0	19.810	-14.37
149	SLE freq	-0.00002087	510.0	19.389	-10.70
150	SLE freq	-0.00002445	560.0	19.793	-14.37

151	SLE q.p.	-0.00002072	510.0	19.346	-10.65
152	SLE q.p.	-0.00002430	560.0	19.760	-14.32

Cedimento massimo in cmb n. 139 = -20.84 mm

#### Elemento Platea n. 343

Cmb. n.	Tipo	Car. Netto kN/mm <sup>2</sup>	Prof. mm	Sigm.Z/Sigm.Lit. %	Cedim.Edom. mm
129	SLE rare	-0.00002225	510.0	19.353	-11.05
130	SLE rare	-0.00002248	510.0	19.487	-11.14
131	SLE rare	-0.00002825	630.0	18.312	-17.94
132	SLE rare	-0.00002848	630.0	18.413	-18.06
133	SLE rare	-0.00002271	510.0	19.622	-11.24
134	SLE rare	-0.00002505	580.0	19.399	-15.52
135	SLE rare	-0.00002691	580.0	19.495	-16.08
136	SLE rare	-0.00002761	580.0	19.837	-16.42
137	SLE rare	-0.00002631	630.0	18.262	-17.38
138	SLE rare	-0.00003025	680.0	18.104	-20.71
139	SLE rare	-0.00003049	680.0	18.196	-20.84
140	SLE rare	-0.00002272	510.0	19.484	-11.20
141	SLE rare	-0.00002296	510.0	19.619	-11.29
142	SLE rare	-0.00002692	580.0	19.358	-16.02
143	SLE rare	-0.00002716	580.0	19.472	-16.13
144	SLE freq	-0.00002209	510.0	19.309	-11.00
145	SLE freq	-0.00002490	580.0	19.369	-15.47
146	SLE freq	-0.00002218	510.0	19.363	-11.04
147	SLE freq	-0.00002569	560.0	19.639	-14.66
148	SLE freq	-0.00002578	560.0	19.687	-14.70
149	SLE freq	-0.00002225	510.0	19.353	-11.05
150	SLE freq	-0.00002585	560.0	19.673	-14.71
151	SLE q.p.	-0.00002209	510.0	19.309	-11.00
152	SLE q.p.	-0.00002569	560.0	19.639	-14.66

Cedimento massimo in cmb n. 139 = -20.84 mm

#### Elemento Platea n. 344

Cmb. n.	Tipo	Car. Netto kN/mm <sup>2</sup>	Prof. mm	Sigm.Z/Sigm.Lit. %	Cedim.Edom. mm
129	SLE rare	-0.00002449	510.0	18.937	-11.35
130	SLE rare	-0.00002472	510.0	19.064	-11.44
131	SLE rare	-0.00002825	630.0	18.312	-17.94
132	SLE rare	-0.00002848	630.0	18.413	-18.06
133	SLE rare	-0.00002496	510.0	19.191	-11.53
134	SLE rare	-0.00002878	560.0	19.510	-15.21
135	SLE rare	-0.00002691	580.0	19.495	-16.08
136	SLE rare	-0.00003011	580.0	19.371	-16.65
137	SLE rare	-0.00003034	580.0	19.479	-16.76
138	SLE rare	-0.00003440	630.0	19.396	-19.95
139	SLE rare	-0.00003464	630.0	19.492	-20.06
140	SLE rare	-0.00002499	510.0	19.065	-11.50
141	SLE rare	-0.00002523	510.0	19.193	-11.60
142	SLE rare	-0.00002692	580.0	19.358	-16.02
143	SLE rare	-0.00002716	580.0	19.472	-16.13
144	SLE freq	-0.00002209	510.0	19.309	-11.00
145	SLE freq	-0.00002861	560.0	19.477	-15.16
146	SLE freq	-0.00002441	510.0	18.945	-11.34
147	SLE freq	-0.00002800	560.0	19.178	-14.88
148	SLE freq	-0.00002809	560.0	19.223	-14.92
149	SLE freq	-0.00002449	510.0	18.937	-11.35
150	SLE freq	-0.00002817	560.0	19.211	-14.94
151	SLE q.p.	-0.00002209	510.0	19.309	-11.00
152	SLE q.p.	-0.00002800	560.0	19.178	-14.88

Cedimento massimo in cmb n. 139 = -20.06 mm

#### Elemento Platea n. 345

Cmb. n.	Tipo	Car. Netto kN/mm <sup>2</sup>	Prof. mm	Sigm.Z/Sigm.Lit. %	Cedim.Edom. mm
129	SLE rare	-0.00002449	510.0	18.937	-11.35
130	SLE rare	-0.00002472	510.0	19.064	-11.44
131	SLE rare	-0.00003062	580.0	19.671	-16.92
132	SLE rare	-0.00003086	580.0	19.779	-17.03
133	SLE rare	-0.00002496	510.0	19.191	-11.53
134	SLE rare	-0.00002878	560.0	19.510	-15.21



135	SLE rare	-0.00002925	560.0	19.736	-15.42
136	SLE rare	-0.00003011	580.0	19.371	-16.65
137	SLE rare	-0.00003034	580.0	19.479	-16.76
138	SLE rare	-0.00003440	630.0	19.396	-19.95
139	SLE rare	-0.00003464	630.0	19.492	-20.06
140	SLE rare	-0.00002499	510.0	19.065	-11.50
141	SLE rare	-0.00002523	510.0	19.193	-11.60
142	SLE rare	-0.00002929	560.0	19.609	-15.38
143	SLE rare	-0.00002952	560.0	19.723	-15.48
144	SLE freq	-0.00002432	460.0	19.987	-9.33
145	SLE freq	-0.00002861	560.0	19.477	-15.16
146	SLE freq	-0.00002441	510.0	18.945	-11.34
147	SLE freq	-0.00002800	560.0	19.178	-14.88
148	SLE freq	-0.00002809	560.0	19.223	-14.92
149	SLE freq	-0.00002449	510.0	18.937	-11.35
150	SLE freq	-0.00002817	560.0	19.211	-14.94
151	SLE q.p.	-0.00002432	460.0	19.987	-9.33
152	SLE q.p.	-0.00002800	560.0	19.178	-14.88

Cedimento massimo in cmb n. 139 = -20.06 mm

#### Elemento Platea n. 346

Cmb. n.	Tipo	Car. Netto kN/mm <sup>2</sup>	Prof. mm	Sigm.Z/Sigm.Lit. %	Cedim.Edom. mm
129	SLE rare	-0.00002744	435.0	19.972	-8.78
130	SLE rare	-0.00002768	450.0	19.347	-9.23
131	SLE rare	-0.00003380	560.0	19.486	-15.75
132	SLE rare	-0.00003404	560.0	19.591	-15.85
133	SLE rare	-0.00002792	450.0	19.477	-9.30
134	SLE rare	-0.00003189	560.0	18.646	-14.97
135	SLE rare	-0.00003237	560.0	18.855	-15.16
136	SLE rare	-0.00003340	560.0	19.203	-15.54
137	SLE rare	-0.00003364	560.0	19.308	-15.64
138	SLE rare	-0.00003785	630.0	18.601	-19.50
139	SLE rare	-0.00003809	630.0	18.691	-19.61
140	SLE rare	-0.00002798	450.0	19.373	-9.29
141	SLE rare	-0.00002822	450.0	19.503	-9.36
142	SLE rare	-0.00003243	560.0	18.740	-15.13
143	SLE rare	-0.00003267	560.0	18.844	-15.23
144	SLE freq	-0.00002726	435.0	19.915	-8.74
145	SLE freq	-0.00003171	560.0	18.615	-14.91
146	SLE freq	-0.00002736	435.0	19.970	-8.76
147	SLE freq	-0.00003108	510.0	19.891	-12.62
148	SLE freq	-0.00003117	510.0	19.938	-12.65
149	SLE freq	-0.00002744	435.0	19.972	-8.78
150	SLE freq	-0.00003126	510.0	19.931	-12.67
151	SLE q.p.	-0.00002726	435.0	19.915	-8.74
152	SLE q.p.	-0.00003108	510.0	19.891	-12.62

Cedimento massimo in cmb n. 139 = -19.61 mm

#### Elemento Platea n. 347

Cmb. n.	Tipo	Car. Netto kN/mm <sup>2</sup>	Prof. mm	Sigm.Z/Sigm.Lit. %	Cedim.Edom. mm
129	SLE rare	-0.00004175	680.0	18.533	-27.76
130	SLE rare	-0.00004198	680.0	18.629	-27.90
131	SLE rare	-0.00004830	730.0	18.409	-33.24
132	SLE rare	-0.00004853	730.0	18.493	-33.39
133	SLE rare	-0.00004221	680.0	18.726	-28.05
134	SLE rare	-0.00004634	730.0	17.717	-31.95
135	SLE rare	-0.00004679	730.0	17.885	-32.25
136	SLE rare	-0.00004784	730.0	18.166	-32.86
137	SLE rare	-0.00004807	730.0	18.251	-33.01
138	SLE rare	-0.00005243	730.0	19.782	-35.88
139	SLE rare	-0.00005266	730.0	19.866	-36.03
140	SLE rare	-0.00004204	680.0	18.573	-27.88
141	SLE rare	-0.00004227	680.0	18.670	-28.03
142	SLE rare	-0.00004663	730.0	17.748	-32.08
143	SLE rare	-0.00004685	730.0	17.832	-32.23
144	SLE freq	-0.00004165	680.0	18.519	-27.72
145	SLE freq	-0.00004624	730.0	17.706	-31.91
146	SLE freq	-0.00004174	680.0	18.558	-27.77
147	SLE freq	-0.00004559	730.0	17.476	-31.48

148	SLE freq	-0.00004568	730.0	17.509	-31.54
149	SLE freq	-0.00004175	680.0	18.533	-27.76
150	SLE freq	-0.00004568	730.0	17.486	-31.52
151	SLE q.p.	-0.00004165	680.0	18.519	-27.72
152	SLE q.p.	-0.00004559	730.0	17.476	-31.48

Cedimento massimo in cmb n. 139 = -36.03 mm

#### Elemento Platea n. 348

Cmb. n.	Tipo	Car. Netto kN/mm <sup>2</sup>	Prof. mm	Sigm.Z/Sigm.Lit. %	Cedim.Edom. mm
129	SLE rare	-0.00004315	680.0	17.547	-26.38
130	SLE rare	-0.00004338	680.0	17.637	-26.52
131	SLE rare	-0.00004982	730.0	17.461	-31.51
132	SLE rare	-0.00005005	730.0	17.539	-31.65
133	SLE rare	-0.00004361	680.0	17.727	-26.65
134	SLE rare	-0.00004782	680.0	19.293	-29.08
135	SLE rare	-0.00004828	680.0	19.473	-29.35
136	SLE rare	-0.00004936	680.0	19.785	-29.91
137	SLE rare	-0.00004959	680.0	19.874	-30.04
138	SLE rare	-0.00005403	730.0	18.755	-33.97
139	SLE rare	-0.00005426	730.0	18.834	-34.11
140	SLE rare	-0.00004346	680.0	17.586	-26.50
141	SLE rare	-0.00004369	680.0	17.675	-26.64
142	SLE rare	-0.00004813	680.0	19.332	-29.20
143	SLE rare	-0.00004836	680.0	19.421	-29.33
144	SLE freq	-0.00004305	680.0	17.534	-26.34
145	SLE freq	-0.00004772	680.0	19.280	-29.04
146	SLE freq	-0.00004314	680.0	17.570	-26.40
147	SLE freq	-0.00004705	680.0	19.031	-28.65
148	SLE freq	-0.00004714	680.0	19.067	-28.71
149	SLE freq	-0.00004315	680.0	17.547	-26.38
150	SLE freq	-0.00004715	680.0	19.044	-28.69
151	SLE q.p.	-0.00004305	680.0	17.534	-26.34
152	SLE q.p.	-0.00004705	680.0	19.031	-28.65

Cedimento massimo in cmb n. 139 = -34.11 mm

#### Elemento Platea n. 349

Cmb. n.	Tipo	Car. Netto kN/mm <sup>2</sup>	Prof. mm	Sigm.Z/Sigm.Lit. %	Cedim.Edom. mm
129	SLE rare	-0.00004470	630.0	18.843	-23.94
130	SLE rare	-0.00004493	630.0	18.937	-24.06
131	SLE rare	-0.00005150	680.0	18.736	-28.70
132	SLE rare	-0.00005173	680.0	18.819	-28.83
133	SLE rare	-0.00004516	630.0	19.031	-24.18
134	SLE rare	-0.00004946	680.0	18.043	-27.62
135	SLE rare	-0.00004992	680.0	18.208	-27.87
136	SLE rare	-0.00005103	680.0	18.500	-28.40
137	SLE rare	-0.00005126	680.0	18.583	-28.52
138	SLE rare	-0.00005579	730.0	17.603	-32.21
139	SLE rare	-0.00005602	730.0	17.676	-32.34
140	SLE rare	-0.00004504	630.0	18.889	-24.06
141	SLE rare	-0.00004527	630.0	18.983	-24.18
142	SLE rare	-0.00004980	680.0	18.079	-27.74
143	SLE rare	-0.00005003	680.0	18.162	-27.86
144	SLE freq	-0.00004459	630.0	18.827	-23.91
145	SLE freq	-0.00004935	680.0	18.031	-27.58
146	SLE freq	-0.00004468	630.0	18.865	-23.95
147	SLE freq	-0.00004867	680.0	17.799	-27.22
148	SLE freq	-0.00004876	680.0	17.832	-27.27
149	SLE freq	-0.00004470	630.0	18.843	-23.94
150	SLE freq	-0.00004878	680.0	17.811	-27.26
151	SLE q.p.	-0.00004459	630.0	18.827	-23.91
152	SLE q.p.	-0.00004867	680.0	17.799	-27.22

Cedimento massimo in cmb n. 139 = -32.34 mm

#### Elemento Platea n. 350

Cmb. n.	Tipo	Car. Netto kN/mm <sup>2</sup>	Prof. mm	Sigm.Z/Sigm.Lit. %	Cedim.Edom. mm
129	SLE rare	-0.00004649	580.0	19.793	-21.32
130	SLE rare	-0.00004672	580.0	19.890	-21.42
131	SLE rare	-0.00005344	630.0	19.726	-25.67

132	SLE rare	-0.00005367	630.0	19.811	-25.78
133	SLE rare	-0.00004695	580.0	19.987	-21.52
134	SLE rare	-0.00005135	630.0	19.002	-24.71
135	SLE rare	-0.00005182	630.0	19.173	-24.93
136	SLE rare	-0.00005296	630.0	19.485	-25.41
137	SLE rare	-0.00005319	630.0	19.571	-25.51
138	SLE rare	-0.00005782	680.0	18.576	-28.94
139	SLE rare	-0.00005805	680.0	18.652	-29.05
140	SLE rare	-0.00004685	580.0	19.846	-21.43
141	SLE rare	-0.00004708	580.0	19.943	-21.53
142	SLE rare	-0.00005171	630.0	19.044	-24.82
143	SLE rare	-0.00005194	630.0	19.129	-24.93
144	SLE freq	-0.00004637	580.0	19.776	-21.28
145	SLE freq	-0.00005124	630.0	18.988	-24.68
146	SLE freq	-0.00004646	580.0	19.814	-21.32
147	SLE freq	-0.00005054	630.0	18.747	-24.36
148	SLE freq	-0.00005063	630.0	18.781	-24.40
149	SLE freq	-0.00004649	580.0	19.793	-21.32
150	SLE freq	-0.00005066	630.0	18.761	-24.40
151	SLE q.p.	-0.00004637	580.0	19.776	-21.28
152	SLE q.p.	-0.00005054	630.0	18.747	-24.36

Cedimento massimo in cmb n. 139 = -29.05 mm

### Elemento Platea n. 351

Cmb. n.	Tipo	Car. Netto kN/mm <sup>2</sup>	Prof. mm	Sigm.Z/Sigm.Lit. %	Cedim.Edom. mm
129	SLE rare	-0.00004852	560.0	18.649	-18.41
130	SLE rare	-0.00004876	560.0	18.738	-18.49
131	SLE rare	-0.00005565	630.0	17.840	-23.09
132	SLE rare	-0.00005588	630.0	17.916	-23.19
133	SLE rare	-0.00004899	560.0	18.828	-18.58
134	SLE rare	-0.00005351	580.0	19.453	-21.09
135	SLE rare	-0.00005398	580.0	19.624	-21.28
136	SLE rare	-0.00005515	580.0	19.949	-21.68
137	SLE rare	-0.00005538	630.0	17.701	-22.95
138	SLE rare	-0.00006014	630.0	19.140	-24.85
139	SLE rare	-0.00006037	630.0	19.217	-24.94
140	SLE rare	-0.00004891	560.0	18.700	-18.50
141	SLE rare	-0.00004914	560.0	18.790	-18.59
142	SLE rare	-0.00005389	580.0	19.500	-21.19
143	SLE rare	-0.00005413	580.0	19.586	-21.28
144	SLE freq	-0.00004840	560.0	18.632	-18.37
145	SLE freq	-0.00005338	580.0	19.438	-21.06
146	SLE freq	-0.00004849	560.0	18.668	-18.41
147	SLE freq	-0.00005267	580.0	19.193	-20.79
148	SLE freq	-0.00005277	580.0	19.228	-20.83
149	SLE freq	-0.00004852	560.0	18.649	-18.41
150	SLE freq	-0.00005280	580.0	19.209	-20.82
151	SLE q.p.	-0.00004840	560.0	18.632	-18.37
152	SLE q.p.	-0.00005267	580.0	19.193	-20.79

Cedimento massimo in cmb n. 139 = -24.94 mm

### Elemento Platea n. 352

Cmb. n.	Tipo	Car. Netto kN/mm <sup>2</sup>	Prof. mm	Sigm.Z/Sigm.Lit. %	Cedim.Edom. mm
129	SLE rare	-0.00005011	510.0	19.200	-14.08
130	SLE rare	-0.00005034	510.0	19.290	-14.15
131	SLE rare	-0.00005737	560.0	19.476	-18.25
132	SLE rare	-0.00005761	560.0	19.557	-18.33
133	SLE rare	-0.00005058	510.0	19.380	-14.22
134	SLE rare	-0.00005519	560.0	18.772	-17.58
135	SLE rare	-0.00005566	560.0	18.935	-17.73
136	SLE rare	-0.00005686	560.0	19.250	-18.07
137	SLE rare	-0.00005709	560.0	19.331	-18.14
138	SLE rare	-0.00006194	580.0	19.953	-20.53
139	SLE rare	-0.00006218	630.0	17.850	-21.79
140	SLE rare	-0.00005051	510.0	19.258	-14.16
141	SLE rare	-0.00005074	510.0	19.348	-14.23
142	SLE rare	-0.00005559	560.0	18.819	-17.66
143	SLE rare	-0.00005583	560.0	18.900	-17.74
144	SLE freq	-0.00004997	510.0	19.180	-14.06

145	SLE freq	-0.00005506	560.0	18.757	-17.55
146	SLE freq	-0.00005007	510.0	19.216	-14.08
147	SLE freq	-0.00005433	560.0	18.522	-17.33
148	SLE freq	-0.00005443	560.0	18.555	-17.36
149	SLE freq	-0.00005011	510.0	19.200	-14.08
150	SLE freq	-0.00005447	560.0	18.538	-17.36
151	SLE q.p.	-0.00004997	510.0	19.180	-14.06
152	SLE q.p.	-0.00005433	560.0	18.522	-17.33

Cedimento massimo in cmb n. 139 = -21.79 mm

**Elemento Platea n. 353**

Cmb. n.	Tipo	Car. Netto kN/mm <sup>2</sup>	Prof. mm	Sigm.Z/Sigm.Lit. %	Cedim.Edom. mm
129	SLE rare	-0.00004048	680.0	19.364	-29.39
130	SLE rare	-0.00004071	680.0	19.467	-29.55
131	SLE rare	-0.00004693	730.0	19.224	-35.28
132	SLE rare	-0.00004716	730.0	19.313	-35.44
133	SLE rare	-0.00004094	680.0	19.569	-29.71
134	SLE rare	-0.00004499	730.0	18.496	-33.88
135	SLE rare	-0.00004545	730.0	18.674	-34.21
136	SLE rare	-0.00004646	730.0	18.966	-34.86
137	SLE rare	-0.00004669	730.0	19.055	-35.03
138	SLE rare	-0.00005097	780.0	17.987	-39.49
139	SLE rare	-0.00005120	780.0	18.065	-39.66
140	SLE rare	-0.00004075	680.0	19.405	-29.53
141	SLE rare	-0.00004098	680.0	19.508	-29.69
142	SLE rare	-0.00004526	730.0	18.528	-34.02
143	SLE rare	-0.00004549	730.0	18.617	-34.19
144	SLE freq	-0.00004039	680.0	19.350	-29.35
145	SLE freq	-0.00004491	730.0	18.485	-33.83
146	SLE freq	-0.00004048	680.0	19.391	-29.41
147	SLE freq	-0.00004426	730.0	18.242	-33.37
148	SLE freq	-0.00004435	730.0	18.278	-33.44
149	SLE freq	-0.00004048	680.0	19.364	-29.39
150	SLE freq	-0.00004435	730.0	18.253	-33.41
151	SLE q.p.	-0.00004039	680.0	19.350	-29.35
152	SLE q.p.	-0.00004426	730.0	18.242	-33.37

Cedimento massimo in cmb n. 139 = -39.66 mm

**Elemento Platea n. 354**

Cmb. n.	Tipo	Car. Netto kN/mm <sup>2</sup>	Prof. mm	Sigm.Z/Sigm.Lit. %	Cedim.Edom. mm
129	SLE rare	-0.00004048	680.0	19.364	-29.39
130	SLE rare	-0.00004071	680.0	19.467	-29.55
131	SLE rare	-0.00004693	730.0	19.224	-35.28
132	SLE rare	-0.00004716	730.0	19.313	-35.44
133	SLE rare	-0.00004094	680.0	19.569	-29.71
134	SLE rare	-0.00004499	730.0	18.496	-33.88
135	SLE rare	-0.00004545	730.0	18.674	-34.21
136	SLE rare	-0.00004646	730.0	18.966	-34.86
137	SLE rare	-0.00004669	730.0	19.055	-35.03
138	SLE rare	-0.00005097	780.0	17.987	-39.49
139	SLE rare	-0.00005120	780.0	18.065	-39.66
140	SLE rare	-0.00004075	680.0	19.405	-29.53
141	SLE rare	-0.00004098	680.0	19.508	-29.69
142	SLE rare	-0.00004526	730.0	18.528	-34.02
143	SLE rare	-0.00004549	730.0	18.617	-34.19
144	SLE freq	-0.00004039	680.0	19.350	-29.35
145	SLE freq	-0.00004491	730.0	18.485	-33.83
146	SLE freq	-0.00004048	680.0	19.391	-29.41
147	SLE freq	-0.00004426	730.0	18.242	-33.37
148	SLE freq	-0.00004435	730.0	18.278	-33.44
149	SLE freq	-0.00004048	680.0	19.364	-29.39
150	SLE freq	-0.00004435	730.0	18.253	-33.41
151	SLE q.p.	-0.00004039	680.0	19.350	-29.35
152	SLE q.p.	-0.00004426	730.0	18.242	-33.37

Cedimento massimo in cmb n. 139 = -39.66 mm

**Elemento Platea n. 355**

Cmb. n.	Tipo	Car. Netto kN/mm <sup>2</sup>	Prof. mm	Sigm.Z/Sigm.Lit. %	Cedim.Edom. mm
---------	------	----------------------------------	-------------	-----------------------	-------------------

129	SLE rare	-0.00001848	560.0	9.037	-5.23
130	SLE rare	-0.00001873	560.0	9.109	-5.28
131	SLE rare	-0.00002390	510.0	11.228	-5.22
132	SLE rare	-0.00002415	510.0	11.305	-5.27
133	SLE rare	-0.00001899	560.0	9.180	-5.33
134	SLE rare	-0.00002227	510.0	10.685	-4.93
135	SLE rare	-0.00002278	510.0	10.840	-5.02
136	SLE rare	-0.00002356	510.0	11.029	-5.13
137	SLE rare	-0.00002381	510.0	11.106	-5.18
138	SLE rare	-0.00002735	510.0	12.295	-5.81
139	SLE rare	-0.00002760	510.0	12.372	-5.86
140	SLE rare	-0.00001882	560.0	9.064	-5.27
141	SLE rare	-0.00001907	560.0	9.135	-5.32
142	SLE rare	-0.00002261	510.0	10.720	-4.97
143	SLE rare	-0.00002286	510.0	10.798	-5.01
144	SLE freq	-0.00001837	560.0	9.029	-5.22
145	SLE freq	-0.00002216	560.0	10.199	-6.03
146	SLE freq	-0.00001847	560.0	9.057	-5.24
147	SLE freq	-0.00002162	560.0	10.032	-5.91
148	SLE freq	-0.00002172	560.0	10.061	-5.93
149	SLE freq	-0.00001848	560.0	9.037	-5.23
150	SLE freq	-0.00002173	560.0	10.041	-5.93
151	SLE q.p.	-0.00001837	560.0	9.029	-5.22
152	SLE q.p.	-0.00002162	560.0	10.032	-5.91

Cedimento massimo in cmb n. 145 = -6.03 mm

#### Elemento Platea n. 356

Cmb. n.	Tipo	Car. Netto kN/mm <sup>2</sup>	Prof. mm	Sigm.Z/Sigm.Lit. %	Cedim.Edom. mm
129	SLE rare	-0.00002319	360.0	19.459	-5.54
130	SLE rare	-0.00002343	360.0	19.639	-5.60
131	SLE rare	-0.00002861	410.0	19.310	-7.99
132	SLE rare	-0.00002885	410.0	19.450	-8.06
133	SLE rare	-0.00002368	360.0	19.819	-5.66
134	SLE rare	-0.00002698	410.0	18.349	-7.55
135	SLE rare	-0.00002748	410.0	18.629	-7.69
136	SLE rare	-0.00002820	410.0	18.975	-7.87
137	SLE rare	-0.00002845	410.0	19.115	-7.93
138	SLE rare	-0.00003199	435.0	19.461	-9.52
139	SLE rare	-0.00003224	435.0	19.586	-9.59
140	SLE rare	-0.00002339	360.0	19.567	-5.59
141	SLE rare	-0.00002364	360.0	19.747	-5.65
142	SLE rare	-0.00002719	410.0	18.417	-7.60
143	SLE rare	-0.00002743	410.0	18.557	-7.67
144	SLE freq	-0.00002312	360.0	19.423	-5.53
145	SLE freq	-0.00002691	410.0	18.327	-7.54
146	SLE freq	-0.00002322	360.0	19.495	-5.55
147	SLE freq	-0.00002637	385.0	19.742	-6.85
148	SLE freq	-0.00002647	385.0	19.806	-6.87
149	SLE freq	-0.00002319	360.0	19.459	-5.54
150	SLE freq	-0.00002644	385.0	19.771	-6.86
151	SLE q.p.	-0.00002312	360.0	19.423	-5.53
152	SLE q.p.	-0.00002637	385.0	19.742	-6.85

Cedimento massimo in cmb n. 139 = -9.59 mm

#### Elemento Platea n. 357

Cmb. n.	Tipo	Car. Netto kN/mm <sup>2</sup>	Prof. mm	Sigm.Z/Sigm.Lit. %	Cedim.Edom. mm
129	SLE rare	-0.00002701	410.0	19.874	-7.94
130	SLE rare	-0.00002726	435.0	18.286	-8.60
131	SLE rare	-0.00003245	460.0	19.969	-10.88
132	SLE rare	-0.00003270	510.0	18.445	-12.91
133	SLE rare	-0.00002751	435.0	18.430	-8.67
134	SLE rare	-0.00003082	450.0	19.425	-10.09
135	SLE rare	-0.00003132	450.0	19.695	-10.25
136	SLE rare	-0.00003201	460.0	19.636	-10.71
137	SLE rare	-0.00003225	460.0	19.767	-10.79
138	SLE rare	-0.00003581	510.0	19.937	-14.08
139	SLE rare	-0.00003606	560.0	17.968	-16.19
140	SLE rare	-0.00002711	410.0	19.918	-7.97
141	SLE rare	-0.00002736	435.0	18.319	-8.63

142	SLE rare	-0.00003092	450.0	19.453	-10.12
143	SLE rare	-0.00003117	450.0	19.588	-10.20
144	SLE freq	-0.00002698	410.0	19.860	-7.93
145	SLE freq	-0.00003079	450.0	19.415	-10.08
146	SLE freq	-0.00002708	410.0	19.925	-7.96
147	SLE freq	-0.00003024	450.0	19.103	-9.90
148	SLE freq	-0.00003034	450.0	19.157	-9.93
149	SLE freq	-0.00002701	410.0	19.874	-7.94
150	SLE freq	-0.00003028	450.0	19.112	-9.91
151	SLE q.p.	-0.00002698	410.0	19.860	-7.93
152	SLE q.p.	-0.00003024	450.0	19.103	-9.90

Cedimento massimo in cmb n. 139 = -16.19 mm

**Elemento Platea n. 358**

Cmb. n.	Tipo	Car. Netto kN/mm <sup>2</sup>	Prof. mm	Sigm.Z/Sigm.Lit. %	Cedim.Edom. mm
129	SLE rare	-0.00003088	460.0	19.596	-10.55
130	SLE rare	-0.00003112	460.0	19.739	-10.63
131	SLE rare	-0.00003634	560.0	18.407	-16.71
132	SLE rare	-0.00003658	560.0	18.516	-16.82
133	SLE rare	-0.00003137	460.0	19.882	-10.71
134	SLE rare	-0.00003470	510.0	19.882	-13.97
135	SLE rare	-0.00003519	560.0	17.850	-16.18
136	SLE rare	-0.00003585	560.0	18.111	-16.45
137	SLE rare	-0.00003610	560.0	18.220	-16.56
138	SLE rare	-0.00003967	560.0	19.922	-18.19
139	SLE rare	-0.00003992	580.0	19.092	-19.15
140	SLE rare	-0.00003087	460.0	19.592	-10.55
141	SLE rare	-0.00003111	460.0	19.735	-10.63
142	SLE rare	-0.00003469	510.0	19.876	-13.97
143	SLE rare	-0.00003494	560.0	17.732	-16.07
144	SLE freq	-0.00003088	460.0	19.598	-10.55
145	SLE freq	-0.00003470	510.0	19.884	-13.97
146	SLE freq	-0.00003098	460.0	19.655	-10.58
147	SLE freq	-0.00003416	510.0	19.589	-13.75
148	SLE freq	-0.00003425	510.0	19.639	-13.79
149	SLE freq	-0.00003088	460.0	19.596	-10.55
150	SLE freq	-0.00003415	510.0	19.586	-13.75
151	SLE q.p.	-0.00003088	460.0	19.598	-10.55
152	SLE q.p.	-0.00003416	510.0	19.589	-13.75

Cedimento massimo in cmb n. 139 = -19.15 mm

**Elemento Platea n. 359**

Cmb. n.	Tipo	Car. Netto kN/mm <sup>2</sup>	Prof. mm	Sigm.Z/Sigm.Lit. %	Cedim.Edom. mm
129	SLE rare	-0.00003478	510.0	19.668	-14.03
130	SLE rare	-0.00003503	510.0	19.800	-14.13
131	SLE rare	-0.00004027	560.0	19.963	-18.54
132	SLE rare	-0.00004052	580.0	19.069	-19.51
133	SLE rare	-0.00003527	510.0	19.931	-14.23
134	SLE rare	-0.00003862	560.0	19.155	-17.77
135	SLE rare	-0.00003912	560.0	19.382	-18.00
136	SLE rare	-0.00003974	560.0	19.651	-18.27
137	SLE rare	-0.00003999	560.0	19.765	-18.38
138	SLE rare	-0.00004358	630.0	18.019	-22.17
139	SLE rare	-0.00004383	630.0	18.112	-22.29
140	SLE rare	-0.00003466	510.0	19.633	-14.00
141	SLE rare	-0.00003491	510.0	19.764	-14.10
142	SLE rare	-0.00003850	560.0	19.126	-17.74
143	SLE rare	-0.00003875	560.0	19.240	-17.85
144	SLE freq	-0.00003482	510.0	19.680	-14.05
145	SLE freq	-0.00003866	560.0	19.164	-17.79
146	SLE freq	-0.00003492	510.0	19.732	-14.09
147	SLE freq	-0.00003811	560.0	18.895	-17.53
148	SLE freq	-0.00003821	560.0	18.940	-17.58
149	SLE freq	-0.00003478	510.0	19.668	-14.03
150	SLE freq	-0.00003807	560.0	18.885	-17.52
151	SLE q.p.	-0.00003482	510.0	19.680	-14.05
152	SLE q.p.	-0.00003811	560.0	18.895	-17.53

Cedimento massimo in cmb n. 139 = -22.29 mm

**Elemento Platea n. 360**

Cmb. n.	Tipo	Car. Netto kN/mm <sup>2</sup>	Prof. mm	Sigm.Z/Sigm.Lit. %	Cedim.Edom. mm
129	SLE rare	-0.00003873	560.0	18.267	-17.57
130	SLE rare	-0.00003898	560.0	18.381	-17.69
131	SLE rare	-0.00004426	580.0	19.873	-21.03
132	SLE rare	-0.00004451	580.0	19.982	-21.15
133	SLE rare	-0.00003923	560.0	18.496	-17.80
134	SLE rare	-0.00004260	580.0	19.100	-20.23
135	SLE rare	-0.00004310	580.0	19.317	-20.46
136	SLE rare	-0.00004369	580.0	19.571	-20.74
137	SLE rare	-0.00004393	580.0	19.679	-20.85
138	SLE rare	-0.00004755	630.0	18.715	-23.87
139	SLE rare	-0.00004780	630.0	18.809	-23.99
140	SLE rare	-0.00003851	560.0	18.216	-17.50
141	SLE rare	-0.00003876	560.0	18.330	-17.61
142	SLE rare	-0.00004238	580.0	19.054	-20.15
143	SLE rare	-0.00004262	580.0	19.162	-20.27
144	SLE freq	-0.00003881	560.0	18.283	-17.60
145	SLE freq	-0.00004268	580.0	19.115	-20.26
146	SLE freq	-0.00003891	560.0	18.329	-17.64
147	SLE freq	-0.00004212	560.0	19.915	-19.14
148	SLE freq	-0.00004222	560.0	19.961	-19.18
149	SLE freq	-0.00003873	560.0	18.267	-17.57
150	SLE freq	-0.00004205	560.0	19.899	-19.11
151	SLE q.p.	-0.00003881	560.0	18.283	-17.60
152	SLE q.p.	-0.00004212	560.0	19.915	-19.14

Cedimento massimo in cmb n. 139 = -23.99 mm

**Elemento Platea n. 361**

Cmb. n.	Tipo	Car. Netto kN/mm <sup>2</sup>	Prof. mm	Sigm.Z/Sigm.Lit. %	Cedim.Edom. mm
129	SLE rare	-0.00004275	560.0	18.680	-18.87
130	SLE rare	-0.00004300	560.0	18.792	-18.98
131	SLE rare	-0.00004831	630.0	17.593	-23.50
132	SLE rare	-0.00004856	630.0	17.685	-23.63
133	SLE rare	-0.00004324	560.0	18.903	-19.09
134	SLE rare	-0.00004664	580.0	19.413	-21.52
135	SLE rare	-0.00004714	580.0	19.624	-21.75
136	SLE rare	-0.00004770	580.0	19.871	-22.02
137	SLE rare	-0.00004795	580.0	19.977	-22.13
138	SLE rare	-0.00005160	630.0	18.880	-25.15
139	SLE rare	-0.00005184	630.0	18.972	-25.27
140	SLE rare	-0.00004241	560.0	18.610	-18.75
141	SLE rare	-0.00004266	560.0	18.721	-18.86
142	SLE rare	-0.00004631	580.0	19.350	-21.41
143	SLE rare	-0.00004656	580.0	19.456	-21.52
144	SLE freq	-0.00004286	560.0	18.703	-18.90
145	SLE freq	-0.00004676	580.0	19.434	-21.56
146	SLE freq	-0.00004296	560.0	18.748	-18.95
147	SLE freq	-0.00004620	580.0	19.182	-21.30
148	SLE freq	-0.00004630	580.0	19.224	-21.34
149	SLE freq	-0.00004275	560.0	18.680	-18.87
150	SLE freq	-0.00004609	580.0	19.161	-21.26
151	SLE q.p.	-0.00004286	560.0	18.703	-18.90
152	SLE q.p.	-0.00004620	580.0	19.182	-21.30

Cedimento massimo in cmb n. 139 = -25.27 mm

**Elemento Platea n. 362**

Cmb. n.	Tipo	Car. Netto kN/mm <sup>2</sup>	Prof. mm	Sigm.Z/Sigm.Lit. %	Cedim.Edom. mm
129	SLE rare	-0.00004683	560.0	18.396	-19.68
130	SLE rare	-0.00004708	560.0	18.502	-19.79
131	SLE rare	-0.00004831	630.0	17.593	-23.50
132	SLE rare	-0.00004856	630.0	17.685	-23.63
133	SLE rare	-0.00004733	560.0	18.608	-19.90
134	SLE rare	-0.00005076	580.0	19.045	-22.28
135	SLE rare	-0.00005126	580.0	19.245	-22.50
136	SLE rare	-0.00005178	580.0	19.476	-22.74
137	SLE rare	-0.00005203	580.0	19.576	-22.86
138	SLE rare	-0.00005571	630.0	18.465	-25.80

139	SLE rare	-0.00005596	630.0	18.552	-25.91
140	SLE rare	-0.00004639	560.0	18.312	-19.53
141	SLE rare	-0.00004664	560.0	18.418	-19.64
142	SLE rare	-0.00005032	580.0	18.969	-22.12
143	SLE rare	-0.00005057	580.0	19.069	-22.24
144	SLE freq	-0.00004698	560.0	18.425	-19.73
145	SLE freq	-0.00005091	580.0	19.070	-22.33
146	SLE freq	-0.00004707	560.0	18.467	-19.77
147	SLE freq	-0.00004620	580.0	19.182	-21.30
148	SLE freq	-0.00004630	580.0	19.224	-21.34
149	SLE freq	-0.00004683	560.0	18.396	-19.68
150	SLE freq	-0.00004609	580.0	19.161	-21.26
151	SLE q.p.	-0.00004698	560.0	18.425	-19.73
152	SLE q.p.	-0.00004620	580.0	19.182	-21.30

Cedimento massimo in cmb n. 139 = -25.91 mm

### Elemento Platea n. 363

Cmb. n.	Tipo	Car. Netto kN/mm <sup>2</sup>	Prof. mm	Sigm.Z/Sigm.Lit. %	Cedim.Edom. mm
129	SLE rare	-0.00004683	560.0	18.396	-19.68
130	SLE rare	-0.00004708	560.0	18.502	-19.79
131	SLE rare	-0.00005244	580.0	19.763	-23.05
132	SLE rare	-0.00005269	580.0	19.863	-23.16
133	SLE rare	-0.00004733	560.0	18.608	-19.90
134	SLE rare	-0.00005076	580.0	19.045	-22.28
135	SLE rare	-0.00005126	580.0	19.245	-22.50
136	SLE rare	-0.00005178	580.0	19.476	-22.74
137	SLE rare	-0.00005203	580.0	19.576	-22.86
138	SLE rare	-0.00005571	630.0	18.465	-25.80
139	SLE rare	-0.00005596	630.0	18.552	-25.91
140	SLE rare	-0.00004639	560.0	18.312	-19.53
141	SLE rare	-0.00004664	560.0	18.418	-19.64
142	SLE rare	-0.00005032	580.0	18.969	-22.12
143	SLE rare	-0.00005057	580.0	19.069	-22.24
144	SLE freq	-0.00004698	560.0	18.425	-19.73
145	SLE freq	-0.00005091	580.0	19.070	-22.33
146	SLE freq	-0.00004707	560.0	18.467	-19.77
147	SLE freq	-0.00005034	560.0	19.938	-21.22
148	SLE freq	-0.00005044	560.0	19.980	-21.26
149	SLE freq	-0.00004683	560.0	18.396	-19.68
150	SLE freq	-0.00005020	560.0	19.909	-21.17
151	SLE q.p.	-0.00004698	560.0	18.425	-19.73
152	SLE q.p.	-0.00005034	560.0	19.938	-21.22

Cedimento massimo in cmb n. 139 = -25.91 mm

### Elemento Platea n. 364

Cmb. n.	Tipo	Car. Netto kN/mm <sup>2</sup>	Prof. mm	Sigm.Z/Sigm.Lit. %	Cedim.Edom. mm
129	SLE rare	-0.00005098	560.0	17.370	-19.65
130	SLE rare	-0.00005123	560.0	17.466	-19.75
131	SLE rare	-0.00005665	560.0	19.674	-21.98
132	SLE rare	-0.00005690	560.0	19.770	-22.08
133	SLE rare	-0.00005148	560.0	17.562	-19.85
134	SLE rare	-0.00005495	560.0	18.983	-21.28
135	SLE rare	-0.00005545	560.0	19.175	-21.49
136	SLE rare	-0.00005595	560.0	19.395	-21.70
137	SLE rare	-0.00005620	560.0	19.491	-21.80
138	SLE rare	-0.00005992	580.0	19.900	-24.22
139	SLE rare	-0.00006017	580.0	19.991	-24.33
140	SLE rare	-0.00005043	510.0	19.976	-17.50
141	SLE rare	-0.00005068	560.0	17.375	-19.58
142	SLE rare	-0.00005440	560.0	18.892	-21.11
143	SLE rare	-0.00005465	560.0	18.988	-21.21
144	SLE freq	-0.00005116	560.0	17.400	-19.71
145	SLE freq	-0.00005513	560.0	19.013	-21.34
146	SLE freq	-0.00005126	560.0	17.438	-19.75
147	SLE freq	-0.00005456	560.0	18.783	-21.11
148	SLE freq	-0.00005466	560.0	18.821	-21.15
149	SLE freq	-0.00005098	560.0	17.370	-19.65
150	SLE freq	-0.00005438	560.0	18.752	-21.05
151	SLE q.p.	-0.00005116	560.0	17.400	-19.71



152 SLE q.p. -0.00005456 560.0 18.783 -21.11  
 Cedimento massimo in cmb n. 139 = -24.33 mm

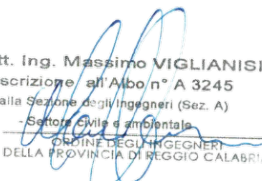

**Elemento Platea n. 365**

Cmb. n.	Tipo	Car. Netto kN/mm <sup>2</sup>	Prof. mm	Sigm.Z/Sigm.Lit. %	Cedim.Edom. mm
129	SLE rare	-0.00005660	450.0	19.202	-12.31
130	SLE rare	-0.00005685	450.0	19.301	-12.37
131	SLE rare	-0.00006236	510.0	19.059	-15.96
132	SLE rare	-0.00006261	510.0	19.148	-16.03
133	SLE rare	-0.00005710	450.0	19.399	-12.43
134	SLE rare	-0.00006063	510.0	18.423	-15.48
135	SLE rare	-0.00006113	510.0	18.600	-15.62
136	SLE rare	-0.00006159	510.0	18.797	-15.75
137	SLE rare	-0.00006184	510.0	18.886	-15.82
138	SLE rare	-0.00006562	560.0	18.026	-18.90
139	SLE rare	-0.00006587	560.0	18.106	-18.98
140	SLE rare	-0.00005590	450.0	19.059	-12.18
141	SLE rare	-0.00005615	450.0	19.157	-12.24
142	SLE rare	-0.00005993	510.0	18.311	-15.33
143	SLE rare	-0.00006018	510.0	18.400	-15.40
144	SLE freq	-0.00005683	450.0	19.250	-12.36
145	SLE freq	-0.00006086	510.0	18.460	-15.53
146	SLE freq	-0.00005693	450.0	19.290	-12.38
147	SLE freq	-0.00006029	510.0	18.247	-15.37
148	SLE freq	-0.00006039	510.0	18.283	-15.40
149	SLE freq	-0.00005660	450.0	19.202	-12.31
150	SLE freq	-0.00006005	510.0	18.210	-15.32
151	SLE q.p.	-0.00005683	450.0	19.250	-12.36
152	SLE q.p.	-0.00006029	510.0	18.247	-15.37

Cedimento massimo in cmb n. 139 = -18.98 mm

Scafati, 02/05/2023

Il Capogruppo Mandatario

  
 Dott. Ing. Massimo VIGLIANISI  
 Iscrizione all'Albo n° A 3245  
 alla Sezione degli Ingegneri (Sez. A)  
 - Settore Civile e ambientale -  
  
 ORDINE DEGLI INGEGNERI  
 DELLA PROVINCIA DI REGGIO CALABRIA